



**PENDAHULUAN
FISIKA INTI**

Iswadi, S.Pd., M.Si.

BUKU SAKSI UN ALAMIRAN RAYASAK
TIDAK DIPERJUALBELIKAN

BUKU DARAS

Pendahuluan Fisika Inti

Iswadi, S.Pd.,M.Si.



Universitas Islam Negeri Alauddin
Makassar
2012

BUKU DARAS

PENDAHULUAN FISIKA INTI

Penulis : Iswadi, S.Pd.,M.Si.

Editor : Dr. Ir. Andi Suarda, M.Si.

Desain Cover : Nursyamsi Machmoed

Lay-Out : Andi Jumardi, S.Kom

Percetakan : Alauddin University Press



Penerbit : Alauddin University Press

Jl. Sultan Alauddin No 63 Makassar 90221

Telp. (0411) 864924 – Fax. (0411) 864923

Hak Cipta@2012, pada Alauddin University Press
All rights reserved

ISBN : 978-602-237-233-2

SAMBUTAN REKTOR
UIN ALAUDDIN MAKASSAR
Prof. Dr. H.A. Qadir Gassing, H.T.,M.S.

Salah satu langkah yang dilakukan oleh UIN Alauddin Makassar pasca diresmikannya pada tanggal 4 Desember 2005 adalah melakukan aktivitas konkret dan nyata untuk mewujudkan obsesi UIN sebagai pusat peradaban Islam di Indonesia Bagian Timur. Upaya yang dilakukan untuk mencapai cita-cita ini adalah dengan mengaktifkan sinerjitas antara ilmu pengetahuan umum dan agama agar supaya tidak terjadi dikotomi antara keduanya.

Langkah konkret yang dilakukan untuk tujuan di atas dimulai dengan menggagas sistem pengajaran pendampingan. Pendampingan dilakukan dengan cara mempertemukan silabi umum dan agama, memadukan dan mensenyawakan literatur umum dan agama, serta pendampingan dan persenyawaan yang dilakukan dalam diskusi-diskusi langsung di ruang kelas yang dihadiri oleh pengajar dan dosen bidang umum dan agama.

Buku ini adalah salah satu bentuk nyata dari realisasi dan pengejawantahan ide sinerjitas ilmu. Buku ini diharapkan untuk memberi kontribusi penting yang dapat melahirkan inspirasi-inspirasi serta kesadaran baru dalam rangka pengembangan keberilmuan kita sebagai bagian dari civitas akademika UIN Alauddin yang muaranya diharapkan untuk pencapaian cita-cita UIN Alauddin seperti yang disebutkan di atas. Hal ini sesuai dengan apa yang dikehendaki oleh para tokoh pendidikan muslim pasca Konferensi Pendidikan Mekkah dan pada konferensi-konferensi pendidikan setelahnya di beberapa negara.

Semoga buku ini yang juga merupakan buku dasar di UIN Alauddin dapat memperoleh ridha Allah. Yang tak kalah pentingnya, buku ini juga dapat menjadi rujukan mahasiswa untuk memandu mereka memperoleh gambaran konkret dari ide sinerjitas pengetahuan agama dan umum yang marak diperbincangkan dewasa ini.

Amin Ya Rabbal-Alamin.

Makassar, Oktober 2012

DAFTAR ISI

SAMBUTAN REKTOR	iii
KATA PENGANTAR	iv
DAFTAR ISI	v
BAB I STRUKTUR MATERI	1
A. GAMBARAN SINGKAT MATERI KULIAH	1
B. PEDOMAN MEMPELAJARI MATERI	1
C. TUJUAN PEMBELAJARAN	1
1.1. Sejarah Singkat Fisika Inti	3
1.1.1. Penemuan Penting dalam Fisika Inti	3
1.2. Atom dan Inti Atom	5
1.3. Symbol, Satuan dan Energi	9
1.4. Stabilitas Inti	12
Latihan	13
Rangkuman	13
Tes Formatif	14
BAB II STRUKTUR INTI ATOM	16
A. GAMBARAN SINGKAT MATERI KULIAH	16
B. PEDOMAN MEMPELAJARI MATERI	16
C. TUJUAN PEMBELAJARAN	17
2.1. Partikel Penyusun Inti	19
2.2. Ukuran dan Bentuk Inti	20
2.3. Model Inti Atom	24
2.3.1. Model Tetes Cairan (<i>The Liquid Model</i>)	24
2.3.2. Model Kulit (<i>The Shell Model</i>)	26
2.4. Energi Ikat Inti	29
2.5. Gaya Inti	31
Latihan	32
Rangkuman	32

Tes Formatif	33
BAB III TRANSFORMASI NUKLIR	35
A. GAMBARAN SINGKAT MATERI KULIAH	35
B. PEDOMAN MEMPELAJARI MATERI	35
C. TUJUAN PEMBELAJARAN	35
3.1. Radioaktivitas	38
3.2. Konstanta Peluruhan	39
3.3. Aktivitas Inti	40
3.4. Waktu Paruh dan Waktu Hidup Rata-rata	40
3.5. Deret Radioaktif	43
3.6. Kesetimbangan Radioaktif	46
3.7. Hukum-hukum Kekekalan dalam Peluruhan Radioaktif	48
3.7.1. Hukum Kekekalan Energi	48
3.7.2. Hukum Kekekalan Momentum	48
3.7.3. Hukum Kekekalan Muatan	49
3.7.4. Hukum kekekalan Nomor Massa	49
3.8. Radioaktivitas Alam	49
Latihan	50
Rangkuman	51
Tes Formatif	51
BAB IV PELURUHAN INTI	53
A. GAMBARAN SINGKAT MATERI KULIAH	53
B. PEDOMAN MEMPELAJARI MATERI	53
C. TUJUAN PEMBELAJARAN	53
4.1. Peluruhan Alfa	55
4.2. Peluruhan Beta	60
4.3. Peluruhan Gamma	62
Latihan	65
Rangkuman	65
Tes Formatif	65
BAB V REAKSI INTI	67
A. GAMBARAN SINGKAT MATERI KULIAH	67

B.	PEDOMAN MEMPELAJARI MATERI	67
C.	TUJUAN PEMBELAJARAN	68
5.1.	Reaksi α, p	69
5.2.	Reaksi α, n	70
5.3.	Reaksi Penembakan proton (<i>proton bombardment</i>)	70
5.4.	Penembakan Deuteron (<i>Deuteron bombardment</i>)	71
5.5.	Penembakan neutron (<i>Neutron bombardment</i>)	71
5.5.1.	Neutron-neutron lambat (<i>slow neutrons</i>)	71
5.5.2.	Neutron-neutron bersuhu tinggi (<i>thermal neutrons</i>)	72
5.6.	Photo disintegration	73
5.7.	Reaksi Fisi	74
5.8.	Reaksi Fusi	78
	Latihan	83
	Rangkuman	84
	Tes Formatif	84
BAB VI	REAKTOR NUKLIR	86
A.	GAMBARAN SINGKAT MATERI KULIAH	86
B.	PEDOMAN MEMPELAJARI MATERI	86
C.	TUJUAN PEMBELAJARAN	86
6.1.	Reaktor Nuklir Pembangkit Tenaga Listrik (<i>Nuclear power plant</i>)	88
6.2.	Reaktor Generasi I	90
6.3.	Reaktor Generasi II	91
6.4.	Reaktor Generasi III	92
6.5.	Reaktor Generasi III+	92
6.6.	Reaktor Generasi IV	93
6.7.	Small Module Reactors (SMRs)	96
6.8.	Jenis reaktor berdasarkan proses kerjanya	97
6.8.1.	Reaktor Air Didih (<i>Boiling water reactors, BWRs</i>)	97
6.8.2.	Reaktor Air Tekan (<i>Pressurized water reactor, PWRs</i>)	98
6.8.3.	Pressurised Heavy Water Reactor (PHWR atau CANDU)	99
6.8.4.	Advanced Gas-cooled Reactor (AGR)	99

6.8.5. Light water graphite-moderated reactor (RBMK)	100
6.8.6. Fast neutron reactors (FNR)	101
6.9. Akselerator (<i>accelerator</i>)	108
6.9.1. Akselerator pertama (<i>Early Accelerators</i>)	109
6.9.2. Akselerator dengan target tetap (<i>Fixed-Target Accelerators</i>)	111
6.9.3. Akselerator penumbuk partikel (<i>Colliders</i>)	115
Latihan	120
Rangkuman	120
Tes Formatif	120
BAB VII APLIKASI FISIKA INTI DALAM KESEHATAN	122
A. GAMBARAN SINGKAT MATERI KULIAH	122
B. PEDOMAN MEMPELAJARI MATERI	122
C. TUJUAN PEMBELAJARAN	122
7.1. Interaksi Partikel Dengan Materi	124
7.1.1. Partikel Berat Bermuatan	124
7.1.2. Elektron	128
7.2. Interaksi Foton dengan Materi	129
7.2.1. Cross-Sections Interaksi Foton	129
7.2.2. Proses Interaksi foton	132
A. Penentuan jenis interaksi dan jarak bebas rata-rata (<i>mean free path</i>)	132
B. Hamburan Koheren	134
C. Efek Fotolistrik	134
D. Hamburan Compton	135
E. Produksi Pasangan	136
7.3. Generator Radiasi Klinik	138
7.3.1. Kilovoltage Unit	138
7.4. Radiotherapy dan Kedokteran Nuklir	139
7.5. Detektor Radiasi	141
7.5.1. Detektor gas (<i>gas filled detectors</i>)	141
7.5.2. Detektor Semikonduktor (<i>semiconductor detectors</i>)	142
7.5.3. Detektor Scintilasi (<i>scintillation detectors</i>)	143
7.6. Manfaat radiasi dan radioaktifitas yang lain	144

Latihan	146
Rangkuman	146
Tes Formatif	146
BAB VIII PARTIKEL ELEMENTER	148
A. GAMBARAN SINGKAT MATERI KULIAH	148
B. PEDOMAN MEMPELAJARI MATERI	148
C. TUJUAN PEMBELAJARAN	148
8.1. Interaksi Dasar (<i>Four Basic Forces</i>)	150
8.2. Partikel dan Anti Partikel	152
8.3. Keluarga Partikel	154
8.4. Interaksi dan Peluruhan Partikel	156
8.5. Energi Peluruhan Partikel	158
8.6. Energi Reaksi Partikel	160
8.7. Model Quark	162
8.8. Model Model	165
Latihan	166
Rangkuman	166
Tes Formatif	166
BAB IX FISIKA NUKLIR DALAM ASTROFISIKA DAN KOSMOLOGI	168
A. GAMBARAN SINGKAT MATERI KULIAH	168
B. PEDOMAN MEMPELAJARI MATERI	168
C. TUJUAN PEMBELAJARAN	168
9.1. Struktur Bintang	170
9.2. Tingkat Pembakaran inti dalam bintang	173
9.2.1. Pembakaran Hydrogen	173
9.2.2. Pembakaran helium	175
9.2.3. Bintang katai putih dan Supernova	175
9.3. Kejadian Awal Alam Semesta	178
9.4. Kenyataan Alam Semesta Masa Kini	183
Latihan	186
Rangkuman	186
Tes Formatif	186

DAFTAR PUSTAKA	187
LAMPIRAN	
FAKTOR KONVERSI	190
KONSTANTA DASAR	191
TABEL MASSA ATOM	193
APLIKASI PEMBANGKIT TENAGA NUKLIR TERBARU DI USA	200
DAFTAR PENERIMA HADIAH NOBEL FISIKA	204
SINGKATAN	218

BAB I STRUKTUR MATERI

A. Gambaran Singkat Mengenai Materi Kuliah

Pada materi ini dibahas tentang struktur materi yang sifatnya untuk membandingkan ukuran dan peran setiap elemen. Pembahasan diawali dengan sejarah singkat fisika nuklir, yang terbagi atas tiga periode. Diuraikan pula beberapa peristiwa dan penemuan penting dalam fisika nuklir. Selanjutnya pembahasan mengenai atom dan inti atom, bagian ini menjelaskan tentang perbedaan dan letak kesamaan antara sebuah atom dengan inti. Ukuran, energi, massa, dan karakteristik lainnya menjadi fokus dalam sub-bab ini. Stabilitas inti menjadi bagian penutup dalam bab ini, yang membahas mengenai inti-inti stabil dan inti-inti berat. Struktur materi ini sangat diperlukan sebagai pengetahuan dasar untuk mempelajari materi pada bab-bab selanjutnya.

B. Pedoman Mempelajari Materi

Materi pada bab ini merupakan pendahuluan, oleh karena itu mahasiswa perlu memahami dengan baik pengetahuan-pengetahuan dasar yang disajikan. Materi disajikan terstruktur agar dapat dipahami dengan baik. Untuk menambah wawasan mahasiswa dapat membaca materi fisika modern yang telah disajikan pada semester sebelumnya.

C. Tujuan Pembelajaran

Setelah mempelajari materi ini, mahasiswa diharapkan mampu;

1. Memahami sejarah singkat perkembangan fisika inti.
2. Mengetahui beberapa penemuan dan peristiwa penting dalam fisika inti.
3. Menghitung jumlah proton, neutron dan elektron dari sebuah atom.
4. Menjelaskan perbedaan ukuran sebuah atom dengan inti atom.
5. Menghitung jumlah atom per gram atau massa dalam 1 atom.
6. Menyebutkan jenis-jenis partikel penyusun sebuah inti atom.
7. Memahami tingkat-tingkat energi yang mungkin dalam inti.
8. Menjelaskan penerapan eksklusi Pauli dalam tingkat-tingkat energi inti.
9. Menjelaskan perbedaan isotop, isoton, isobar dan isomer.
10. Memahami jenis-jenis nuklir mantap dan tidak mantap.
11. Menjelaskan pasangan nukleon genap-genap, genap-ganjil dan ganjil-genap.

Struktur materi menggambarkan ukuran suatu zat, mulai dari ukuran makro (dapat dilihat dengan mata telanjang) hingga ukuran mikroskopik. Ukuran setiap tingkatan dari materi hingga atom yang merupakan struktur terkecil dari materi adalah bervariasi. Ukurannya ditentukan oleh jenis partikel penyusunnya. Ukuran suatu materi telah ditentukan oleh Allah Swt. sesuai dengan firman-Nya dalam surat Al-Qamar ayat 49;

إِنَّا كُلَّ شَيْءٍ خَلَقْنَاهُ بِقَدَرٍ

Terjemahnya:

Sesungguhnya Kami menciptakan segala sesuatu menurut ukuran (QS 54:49).

Atau dalam surat Al-Furqaan ayat 2;

الَّذِي لَهُ مُلْكُ السَّمَوَاتِ وَالْأَرْضِ وَلَمْ يَتَّخِذْ وَلَدًا وَلَمْ يَكُن لَّهُ شَرِيكٌ فِي الْمَلِكِ وَخَلَقَ كُلَّ شَيْءٍ فَقَدَرَهُ تَقْدِيرًا

Terjemahnya:

yang kepunyaan-Nya-lah kerajaan langit dan bumi, dan Dia tidak mempunyai anak, dan tidak ada sekutu bagi-Nya dalam kekuasaan (Nya), dan Dia telah menciptakan segala sesuatu, dan Dia menetapkan ukuran-ukurannya dengan serapi-rapinya (QS 25:2).

Kedua ayat diatas menjelaskan bahwa Allah telah menciptakan segala sesuatu sesuai dengan ukuran yang ditetapkan-Nya. Semua ukuran tersebut dibuat serapi-rapinya. Hal ini dapat dijumpai dalam eksperimen fisika bahwa semua partikel sejenis akan memiliki ukuran yang sama tidak peduli darimana partikel tersebut diperoleh, misalnya elektron atau proton. Elektron atau proton yang terdapat pada emas akan sama dengan yang terdapat dalam besi, tembaga, batu, kain ataupun benda lainnya.

Ayat lain yang menyinggung tentang ukuran terkecil, yaitu *Zarrah* atau dalam sains disebut atom adalah surat Yunus ayat 61;

وَمَا تَكُونُ فِي شَأْنٍ وَمَا تَتْلُوا مِنْهُ مِنْ قُرْءَانٍ وَلَا تَعْمَلُونَ مِنْ عَمَلٍ إِلَّا كُنَّا عَلَيْكُمْ شُهُودًا إِذْ تُفِيضُونَ فِيهِ وَمَا يَعْزُبُ عَنْ رَبِّكَ مِنْ مِثْقَالِ ذَرَّةٍ فِي الْأَرْضِ وَلَا فِي السَّمَاءِ وَلَا أَصْغَرَ مِنْ ذَلِكَ وَلَا أَكْبَرَ إِلَّا فِي كِتَابٍ مُبِينٍ ﴿٦١﴾ أَلَا إِنَّ أَوْلِيَاءَ اللَّهِ لَا خَوْفٌ عَلَيْهِمْ وَلَا هُمْ يَحْزَنُونَ

Terjemahnya:

Kamu tidak berada dalam suatu keadaan dan tidak membaca suatu ayat dari Al Qur'an dan kamu tidak mengerjakan suatu pekerjaan, melainkan Kami menjadi saksi atasmu di waktu kamu melakukannya. Tidak luput dari pengetahuan Tuhanmu biarpun sebesar zarah (atom) di bumi ataupun di langit. Tidak ada yang lebih kecil dan tidak (pula) yang lebih besar dari itu, melainkan (semua tercatat) dalam kitab yang nyata (Laub Mahfuzh) (QS 10:61).

Ayat ini menjelaskan bahwa ukuran terkecil adalah atom atau zarah, tidak ada lagi ukuran yang lebih kecil dari atom.

1.1. Sejarah Singkat Fisika Inti

Perkembangan fisika inti (nuklir) dapat dilihat dalam tiga periode (Basdevant, *et.al.*, 2004).

- Periode pertama dimulai dari penemuan radioaktivitas oleh Becquerel pada tahun 1896 (Basdevant, 2004; Krane, 1988 dan 1996; Beiser, 2003; Serway, 2005) dan diakhiri dengan penemuan fusi pada tahun 1939. Selama periode ini komponen-komponen dasar inti (proton dan neutron) bersama dengan prinsip-prinsip kuantum yang menyertainya.
- Periode kedua dimulai pada tahun 1947 hingga 1969, ditandai dengan perkembangan dalam bidang spektroskopi inti (*nuclear spectroscopy*) dan model nuklir (*nuclear models*).
- Periode ketiga, diawali dari tahun 1960an, merupakan proses penyatuan teori-teori mikroskopis. Proses ini untuk mempelajari karakteristik struktur dari proton dan neutron sebagai partikel inti. Sifat-sifat fundamental seperti jenis interaksi yang terjadi antar partikel inti, penemuan quark dan gluon terjadi pada periode ini.

Sejak tahun 1940an, fisika inti telah mengalami perkembangan yang signifikan, namun umumnya sebatas teori-teori. Penerapan teori secara praktis dan perkembangan teori yang lebih baik baru terjadi pada tahun 1950an. Aplikasi teori-teori fisika inti telah memberikan sumbangsih yang banyak dalam berbagai bidang, diantaranya dalam produksi energi (listrik), bidang kosmologi, bidang astrofisika dan bidang kedokteran (nuklir).

1.1.1. Penemuan-penemuan penting dalam fisika inti

Berikut ini disajikan beberapa penemuan penting dalam fisika inti (Segre, 1980; Pais, 1986; dan *nobelprize.org*).

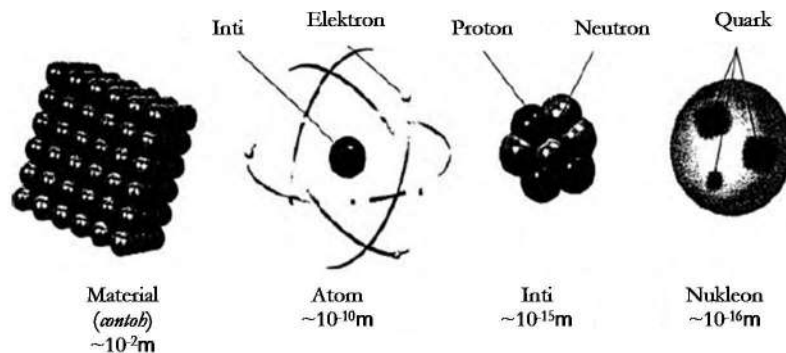
- 1868 Mendeleev menemukan dan mengusulkan system periodik unsur.

- 1895 Penemuan sinar-x oleh Roentgen
- 1896 Penemuan radioaktivitas oleh Becquerel
- 1897 identifikasi elektron oleh J. J. Thomson
- 1898 Pemisahan elemen Polonium dan Radium oleh Pierre dan Marie Curie.
- 1908 Pengukuran muatan +2 partikel alfa, α , oleh Geiger dan Rutherford
- 1911 Penemuan inti dan system planet mini dari model atom oleh Rutherford.
- 1913 Teori spectrum atom oleh N. Bohr
- 1914 Pengukuran massa partikel alfa, α , oleh Robinson dan Rutherford.
- 1924 – 1928 Perkembangan teori kuantum oleh de Broglie, E. Schrodinger, Heisenberg, N. Bohr dan P.A. Dirac).
- 1928 Teori terobosan halang oleh kuantum tunnel (*barrier penetration by quantum tunneling*) yang diaplikasikan pada terobosan partikel alfa, α , oleh suatu penghalang potensial oleh Gamow, Gurney dan Condon.
- 1929 – 1932 Reaksi nuklir pertama dengan akselerator elektrostatik dari Cockroft dan Walton dan dengan akselerator Cyclotron dari Lawrence.
- 1930 – 1933 Wolfgang Pauli mengusulkan keberadaan Neutrino yang kemudian digunakan oleh Fermi dalam teori peluruhan beta, β .
- 1932 Penemuan neutron oleh J. Chadwick.
- 1934 Penemuan radioaktif buatan F. Joliot dan I. Joliot Curie
- 1934 Penemuan penangkapan neutron oleh Fermi .
- 1935 Model tetes cairan (*liquid drop model*) dan model senyawa-inti (*compound-nucleus model*) dari N. Bohr.
- 1935 Formula massa semi empiric oleh H. Bethe dan Weizsacker.
- 1938 Penemuan fisi oleh O. Hahn dan Strassman.
- 1938 Hans Bethe dan Weizsacker mengajukan bahwa energi bintang berasal dari reaksi thermonuklir fusi.
- 1939 Teori interpretasi fisi oleh Meitner, Bohr dan Wheeler.
- 1946 G. Gamow mengembangkan teori kosmologi nukleosintesis.
- 1953 Salpeter menemukan fusi matahari fundamental dari dua proton dalam deutron.
- 1957 Teori nukleosintesis bintang oleh Burbidge, Fowler dan Hoyle.
- 1980 Deteksi neutrino matahari
- 1987 Deteksi neutrino dan sinar gamma dari supernova SN1987a

1.2. Atom dan inti atom (*nucleus*)

Semua materi tersusun atas kumpulan elemen yang disebut unsure. Setiap unsure dengan berbagai sifat fisis dan kimianya dibangun dari suatu bagian yang lebih kecil yaitu atom. Atom biasa disefenisikan sebagai bagian terkecil dari suatu zat yang tidak dapat dibagi lagi. Untuk membelah suatu atom dibutuhkan “pisau” yang ukurannya lebih dari satu atom, sesuatu yang secara nalar tidak mungkin terjadi karena bagian terkecil sendiri adalah seukuran satu atom. Secara umum pernyataan diatas memang benar, namun perlu dipahami bahwa sebuah atom terdiri atas bagian-bagian lebih kecil lagi. Bagian-bagian kecil ini kita kenal sebagai partikel-partikel penyusun sebuah atom seperti proton, elektron dan neutron. Partikel ini memiliki muatan yang berbeda, proton bermuatan positif, elektron bermuatan negative dan neutron sendiri tidak bermuatan. Atom memiliki ukuran yang kecil yaitu sekitar 10^{-10} m atau 1 Amstrong.

Inti atom merupakan bagian yang memiliki kontribusi terbesar terhadap berat sebuah atom, yaitu 99,9% massa atom berasal dari inti. Partikel inti disebut juga nukleon terdiri atas proton dan neutron. Jumlah proton dan neutron umumnya selalu berpasangan, kecuali pada atom dengan nomor massa, A, yang besar jumlah neutron lebih dominan. Inti memiliki ukuran yang jauh lebih kecil dari sebuah atom, yaitu sekitar 10^{-15} m atau 1 femtometer yang oleh sebagian ilmuwan mengatakan sama dengan 1 Fermi, sebagai penghormatan pada Enrico Fermi, seorang fisikawan Teori dan eksperimen berkebangsaan Amerika Serikat keturunan Italia. Gambaran mengenai ukuran dan penyusun suatu materi diperlihatkan pada gambar 1.1 berikut;



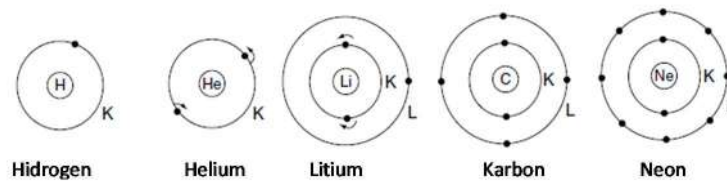
Gambar 1.1 gambaran ukuran atom dan inti atom



Enrico Fermi, lahir 29 September 1901 di Roma, Italia dan meninggal 28 November 1954 di Chicago, USA. Menyelesaikan doktor dalam bidang fisika di University of Pisa pada tahun 1922. Menerima hadiah nobel tahun 1938 atas jasanya dalam demonstrasi tentang keberadaan elemen radioaktif baru yang diciptakan dengan penyinaran neutron, dan untuk penemuannya yang berhubungan dengan reaksi nuklir yang dihasilkan oleh neutron lambat. Fermi merupakan satu-satunya fisikawan teori sekaligus eksperimen, diprediksi bahwa

hanya Newton yang memiliki keterampilan yang sama dengan Fermi. Ia mengemukakan teori peluruhan beta dan statistik untuk partikel berspin $-1/2$ serta memperagakan transmutasi inti atom dengan penembakan neutron. Salah satu jasanya yang paling menonjol adalah mengarahkan pembuatan reaktor nuklir pertama.

Dalam sebuah atom elektron bergerak mengitari inti pada kulit-kulit tertentu. Kumpulan elektron ini biasa disebut sebagai awan elektron (*cloud electrons*) menempati kulit sesuai dengan tingkatan energi yang dimilikinya dengan elektron terluar disebut sebagai elektron valensi, seperti pada gambar berikut;



Gambar 1.2 Konfigurasi elektron pada beberapa unsur

Konfigurasi elektron dalam gambar 1.2 memperlihatkan elektron yang menempati kulit sesuai dengan tingkatan energinya. Atom hydrogen sebagai atom paling sederhana karena hanya memiliki satu elektron, hanya menempati satu kulit, K sedangkan untuk atom yang memiliki elektro yang lebih banyak seperti karbon dan neon akan menempati kulit K dan L. Untuk atom dengan jumlah elektron yang sangat banyak, akan menempati kulit K, L, M, dan seterusnya sesuai dengan bilangan kuantumnya. Banyaknya elektron yang menempati suatu kulit tidaklah sembarang. Jumlahnya tidak boleh melanggar eksklusi Pauli atau yang lebih dikenal sebagai asas larangan Pauli. Konfigurasi elektron menurut eksklusi pauli diperlihatkan dalam gambar berikut;

Atom	1s	2s	2p			Konfigurasi elektron
Li						$1s^2 2s^1$
Be						$1s^2 2s^2$
B						$1s^2 2s^2 2p^1$
C						$1s^2 2s^2 2p^2$
N						$1s^2 2s^2 2p^3$
O						$1s^2 2s^2 2p^4$
F						$1s^2 2s^2 2p^5$
Ne						$1s^2 2s^2 2p^6$

Gambar 1.3 Konfigurasi elektron berdasarkan eksklusi Pauli untuk beberapa atom (Litium hingga Neon)

Konfigurasi struktur untuk keseluruhan unsure dapat dilihat pada table berikut;

Tabel 1.1 Konfigurasi Sistem Periodik Unsur

Z	Simbol	Konfigurasi	Energi Ionisasi (eV)	Z	Simbol	Konfigurasi	Energi Ionisasi (eV)
1	H	1s ¹	13.595	27	Co	3d ⁷ 4s ²	7.86
2	He	1s ²	24.581	28	Ni	3d ⁸ 4s ²	7.633
3	Li	[He] 2s ¹	5.390	29	Cu	3d ¹⁰ 4s ¹	7.724
4	Be	2s ²	9.320	30	Zn	3d ¹⁰ 4s ²	9.391
5	B	2s ² 2p ¹	8.296	31	Ga	3d ¹⁰ 4s ² 4p ¹	6.00
6	C	2s ² 2p ²	11.256	32	Ge	3d ¹⁰ 4s ² 4p ²	7.88
7	N	2s ² 2p ³	14.545	33	As	3d ¹⁰ 4s ² 4p ³	9.81
8	O	2s ² 2p ⁴	13.614	34	Se	3d ¹⁰ 4s ² 4p ⁴	9.75
9	F	2s ² 2p ⁵	17.418	35	Br	3d ¹⁰ 4s ² 4p ⁵	11.84
10	Ne	2s ² 2p ⁶	21.559	36	Kr	3d ¹⁰ 4s ² 4p ⁶	13.996
11	Na	[Ne] 3s ¹	5.138	37	Rb	[Kr] 5s ¹	4.176
12	Mg	3s ²	7.644	38	Sr	5s ²	5.692
13	Al	3s ² 3p ¹	5.984	39	Y	4d ⁵ 5s ²	6.377
14	Si	3s ² 3p ²	8.149	40	Zr	4d ² 5s ²	6.835
15	P	3s ² 3p ³	10.484	41	Nb	4d ⁴ 5s ¹	6.881
16	S	3s ² 3p ⁴	10.357	42	Mo	4d ⁵ 5s ¹	7.10
17	Cl	3s ² 3p ⁵	13.01	43	Tc	4d ⁵ 5s ²	7.228
18	Ar	3s ² 3p ⁶	15.755	44	Ru	4d ⁷ 5s ¹	7.365
19	K	[Ar] 4s ¹	4.339	45	Rh	4d ⁸ 5s ¹	7.461
20	Ca	4s ²	6.111	46	Pd	4d ¹⁰	8.33
21	Sc	3d ¹ 4s ²	6.54	47	Ag	4d ¹⁰ 5s ¹	7.574
22	Ti	3d ² 4s ²	6.83	48	Cd	4d ¹⁰ 5s ²	8.991
23	V	3d ³ 4s ²	6.74	49	In	4d ¹⁰ 5s ² 5p ¹	5.785
24	Cr	3d ⁵ 4s	6.76	50	Sn	4d ¹⁰ 5s ² 5p ²	7.342
25	Mn	3d ⁵ 4s ²	7.432	51	Sb	4d ¹⁰ 5s ² 5p ³	8.639
26	Fe	3d ⁶ 4s ²	7.87	52	Te	4d ¹⁰ 5s ² 5p ⁴	9.01
53	I	4d ¹⁰ 5s ² 5p ⁵	10.454	79	Au	[Xe, 4f ¹⁴ 5d ¹⁰] 6s ¹	9.22
54	Xe	4d ¹⁰ 5s ² 5p ⁶	12.127	80	Hg	6s ²	10.434
55	Cs	[Xe] 6s ¹	3.893	81	Tl	6s ² 6p ¹	6.106
56	Ba	6s ²	5.210	82	Pb	6s ² 6p ²	7.415
57	La	5d ¹ 6s ²	5.61	83	Bi	6s ² 6p ³	7.287
58	Ce	4f ¹ 5d ¹ 6s ²	6.54	84	Po	6s ² 6p ⁴	8.43
59	Pr	4f ³ 6s ²	5.48	85	At	6s ² 6p ⁵	9.54
60	Nd	4f ⁴ 6s ²	5.51	86	Rn	6s ² 6p ⁶	10.745
61	Pm	4f ⁵ 6s ²	5.60	87	Fr	[Rn] 7s ¹	3.94
62	Fm	4f ⁶ 6s ²	5.644	88	Ra	7s ²	5.277
63	Eu	4f ⁷ 6s ²	5.67	89	Ac	6d ¹ 7s ²	5.17
64	Gd	4f ⁷ 5d ¹ 6s ²	6.16	90	Th	6d ² 7s ²	6.08
65	Tb	4f ⁹ 6s ²	6.74	91	Pa	5f ² 6d ¹ 7s ²	5.89
66	Dy	4f ¹⁰ 6s ²	6.82	92	U	5f ³ 6d ¹ 7s ²	6.194
67	Ho	4f ¹¹ 6s ²	6.022	93	Np	5f ⁴ 6d ¹ 7s ²	6.266
68	Er	4f ¹² 6s ²	6.108	94	Pu	5f ⁶ 7s ²	6.061
69	Tm	4f ¹³ 6s ²	6.185	95	Am	5f ⁷ 7s ²	5.99
70	Yb	4f ¹⁴ 6s ²	6.22	96	Cm	5f ⁷ 6d ¹ 7s ²	6.02
71	Lu	4f ¹⁴ 5d ¹ 6s ²	6.15	97	Bk	5f ⁸ 6d ¹ 7s ²	6.23
72	Hf	4f ¹⁴ 5d ² 6s ²	6.83	98	Cf	5f ¹⁰ 7s ²	6.30
73	Ta	4f ¹⁴ 5d ³ 6s ²	7.88	99	Es	5f ¹¹ 7s ²	6.42
74	W	4f ¹⁴ 5d ⁴ 6s ²	7.98	100	Fm	5f ¹² 7s ¹	6.50
75	Re	4f ¹⁴ 5d ⁵ 6s ²	7.87	101	Mv	5f ¹³ 7s ²	6.58
76	Os	4f ¹⁴ 5d ⁶ 6s ²	8.71	102	No	5f ¹⁴ 7s ²	6.65
77	Ir	4f ¹⁴ 5d ⁷ 6s ²	9.12	103	Lw	5f ¹⁴ 6d ¹ 7s ²	
78	Pt	4f ¹⁴ 5d ⁸ 6s ²	8.88	104	Ku	5f ¹⁴ 6d ² 7s ²	

Sumber: Serway, *et. al.*,2005.



Wofgan Pauli, lahir 25 April 1900 diVienna Austria dan meninggal 15 Desember 1958 di Zurch, Swiss.Memperoleh doktor dan bekerja sebagai asisten Max Born di University of Gottingen dan bekerja bersama Niels Bohr di Copenhagen. Antara tahun 1923-1928 mengajar di universitas Hamburg dan memperoleh Professor dalam bidang fisika teori di Federal Institute of Technology in Zurich. Sebagai visiting professor di Institute for Advanced Study, Princeton, New Jersey pada tahun1935-1936 dan pada University of

Michigan tahun1931 dan 1941 serta di Purdue University pada 1942. Menjadi ketua department fisika di Theoretical Physics at Princeton pada tahun 1940 tetapi kembali ke Zurich pada akhir perang Dunia II. Memperoleh Lorentz Medal pada tahun 1930 dan hadiah nobel pada tahun 1945 atas jasanya dalam menemukan prinsip eksklusi yang kemudian dikenal sebagai **prinsip Pauli** atau **eksklusi Pauli**.

1.3. Simbol, Satuan dan Energi

Inti atom terdiri atas partikel inti gabungan antara proton dan neutron. Partikel inti ini disebut sebagai nukleon, proton bermuatan positif dan neutron tak bermuatan. Oleh karena itu inti memiliki muatan positif. Kedua partikel penyusun inti ini memiliki ukuran massa yang hampir sama (lebih detail dijelaskan pada bab berikutnya). Secara simbolis sebuah inti dapat dituliskan sebagai

$${}^A_ZX_N \quad (1.1)$$

Keterangan:

A = Nomor massa = jumlah nukleon inti

Z = Nomor atom = Jumlah proton = jumlah elektron

N = Jumlah neutron = $A - Z$

Satuan massa diberikan dalam “amu” (*atomic mass unit*) dengan perbandingan

$$1 \text{ amu} = 1,66 \times 10^{-27} \text{ kg}$$

$$1 \text{ u} = 1,66 \times 10^{-27} \text{ kg}$$

Selain memakai *amu* juga sering disimbolkan dengan lambang *u*. Untuk satuan energi, terdapat perbedaan antara atom dengan inti atom,

Satuan energi atom : *eV* (*elektron Volt*)

Satuan energi inti atom : *MeV* (*Mega elektron Volt*)

dengan faktor konversi;

$$1 \text{ eV} = 1 \text{ V} \times 1,602 \times 10^{-19} \text{ C}$$

$$= 1,602 \times 10^{-19} \text{ J}$$

$$1 \text{ keV} = 1000 \text{ eV} = 1,062 \times 10^{-16} \text{ J}$$

$$1.000.000 \text{ eV} = 10^6 \text{ eV} = 1 \text{ MeV} = 1,062 \times 10^{-13} \text{ J}$$

$$1 \text{ amu} = 931,5 \text{ MeV}$$

Massa dan energi partikel penyusun atom ditunjukkan pada table berikut;

Table 1.2 Massa dan energi beberapa partikel

Partikel	Massa (u)	$m_0 c^2$ (MeV)
Elektron	$5,48597 \times 10^{-4}$	0,511007
Proton	1,007277	938,258
Neutron	1,008665	939,551
Deutron	2,013554	1875,585
Triton	3,015501	2808,879
Partikel Alfa	4,001506	3727,323

Massa sebuah atom ditentukan oleh nomor massanya, yang tidak lain adalah jumlah partikel penyusunnya, jumlah atom dalam setiap gram sampel dapat ditentukan dengan persamaan,

$$\frac{\text{Jumlah atom}}{\text{gram}} = \frac{N_A}{A_w} \quad (1.2)$$

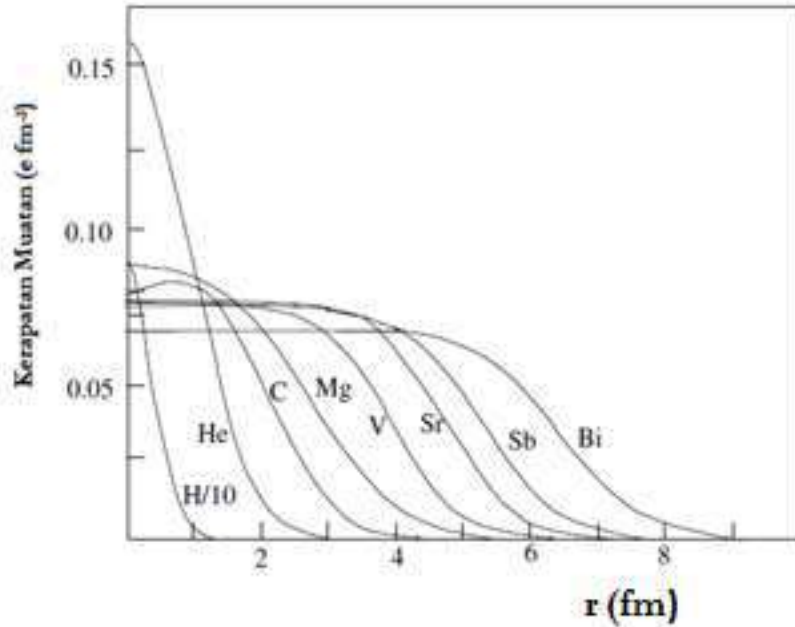
Sedangkan massa per atom dapat ditentukan dengan persamaan sebaliknya

$$\frac{\text{gram}}{\text{atom}} = \frac{A_w}{N_A} \quad (1.3)$$

dan jumlah elektron pada setiap gram sampel dapat dihitung dengan persamaan

$$\frac{\text{Jumlah elektron}}{\text{gram}} = \frac{N_A \cdot Z}{A_w} \quad (1.4)$$

N_A adalah bilangan Avogadro, $6,0228 \times 10^{23}$ atom/gram, sedangkan A_w merupakan berat atom dan Z adalah nomor atom.



Gambar 1.4 Kerapatan beberapa atom

Terdapat beberapa istilah yang berkaitan dengan partikel penyusun atom, yaitu

- Nukleon

Merupakan partikel penyusun inti atom, proton dan neutron

- Nuklida

Nama untuk atom sederhana, misalnya hydrogen, ${}^1_1\text{H}$ dan helium, ${}^4_2\text{He}$.

- Isotop

Atom yang memiliki jumlah proton yang sama, tetapi dengan jumlah neutron yang berbeda.

- Isoton

Atom yang memiliki jumlah neutron yang sama, tetapi dengan jumlah proton yang berbeda

- Isobar

Atom yang memiliki jumlah nukleon yang sama tetapi dengan jumlah proton yang berbeda.

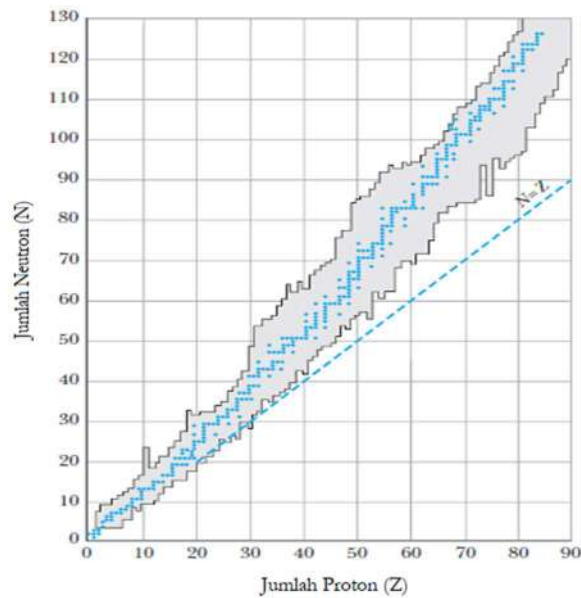
- Isomer

Atom yang memiliki jumlah proton dan neutron yang sama

- Atom dengan nomor massa yang kecil ($Z < 20$) memiliki jumlah proton dan neutron yang sama.
- Atom dengan nomor massa yang besar memiliki rasio proton dan neutron yang berbeda, dengan kecenderungan jumlah neutron lebih banyak (lihat persamaan 1.1).

1.4. Stabilitas inti

Inti yang stabil memiliki jumlah proton dan neutron yang sama. Umumnya jumlah ini akan tercapai pada atom-atom ringan ($A < 20$). Karena memiliki jumlah penyusun nukleon yang sama maka inti menjadi sangat mantap. Sedangkan untuk atom yang lebih berat memiliki jumlah proton dan neutron yang berbeda dengan kecenderungan mengandung neutron yang lebih banyak. Inti seperti ini kurang atau tidak stabil. Inti mantap dengan $N = Z$ ditunjukkan pada gambar berikut;



Gambar 1.5 Plot Neutron-Proton untuk inti stabil

Gambar 1.5 menunjukkan bahwa atom dengan inti stabil berada pada $A < 20$ yang ditunjukkan oleh garis putus-putus. Kenyataan bahwa untuk atom dengan A semakin besar jumlah N lebih banyak dari P sehingga inti tidak stabil atau bersifat radioaktif (untuk inti-inti berat). Berdasarkan data hasil eksperimen (Serway, *et.al.*, 2005) menyatakan bahwa lebih dari 60 persen inti mempunyai Z genap dan N genap dan sisanya mempunyai Z genap dan N ganjil atau Z ganjil dan N genap. Inti dengan Z genap- N genap disebut nuklida *genap-genap*, Z genap- N ganjil disebut nuklida *genap-ganjil* dan Z ganjil- N genap disebut nuklida *ganjil-genap*.

Seperti diungkapkan sebelumnya bahwa untuk mempelajari karakteristik inti (keadaan tingkat-tingkat energi), inti atom dapat “tinjau” sebagaimana halnya sebuah atom, untuk keadaan energi eksitasinya. Model tetes cairan dan model kulit telah menjelaskan keadaan eksitasi partikel inti ini dengan baik. Model tetes cairan dan model kulit inti akan dibahas pada bab yang lain. Dalam kedua model ini dijelaskan bahwa setiap nukleon dikarakterisasikan dalam empat bilangan kuantum (*quantum number*) seperti saat meninjau sebuah atom, namun elektron diganti dengan nukleon,

- Bilangan kuantum utama, n , berhubungan dengan tiap nukleon pada kulit (neutron dan proton).

- Bilangan kuantum orbital, l , berhubungan dengan gerak orbital nukleon dalam inti (dari 0 sampai $n-1$)
- Bilangan kuantum spin, m_s , samadengan $\pm 1/2$
- Bilangan kuantum magnetic, m_l , dari $-l$ hingga l .

Latihan

1. Tuliskan apa yang dimaksud dengan nukleon?
2. Sebutkan perbedaan mendasar antara atom dan inti atom
3. Jelaskan mengapa inti-inti stabil umumnya memiliki $A < 20$?
4. Apa yang dimaksud dengan isotop, isoton, isobar dan isomer?
5. Jelaskan mengapa pada atom yang lebih berat jumlah neutron lebih banyak.

Rangkuman

1. Atom merupakan bagian terkecil dari suatu unsur yang tidak dapat dibagi lagi.
2. Inti atom memiliki ukuran yang sangat kecil dibandingkan ukuran atom, yakni sekitar 10^{-15} m atau 1 fermi.
3. Sebuah atom terdiri atas elektron, proton dan neutron.
4. Kumpulan elektron (*cloud of electron*) berada pada bagian luar sebuah inti atom yang menempati kulit-kulit sesuai dengan tingkat energinya.
5. Konfigurasi elektron dalam kulit-kulit harus memenuhi prinsip eksklusi Pauli.
6. Inti yang memiliki $A < 20$ umumnya lebih stabil karena memiliki jumlah $Z = N$ yang sama.
7. Pada atom yang lebih berat umumnya lebih radioaktif (tidak stabil) karena memiliki jumlah $Z \neq N$, dimana neutron lebih dominan.
8. Nukleon adalah partikel penyusun inti (proton dan neutron).
9. Isotop adalah atom yang memiliki jumlah proton yang sama, tetapi dengan jumlah neutron yang berbeda.
10. Isoton adalah atom yang memiliki jumlah neutron yang sama, tetapi dengan jumlah proton yang berbeda.
11. Isobar adalah atom yang memiliki jumlah nukleon yang sama tetapi dengan jumlah proton yang berbeda.
12. Isomer adalah Atom yang memiliki jumlah proton dan neutron yang sama.
13. Nuklida genap-genap merupakan inti atom yang memiliki gabungan neutron genap dengan proton genap.
14. Nuklida genap-ganjil merupakan nuklida dengan pasangan proton genap dan netron ganjil.

15. Nuklida ganjil-genap merupakan nuklida dengan pasangan proton ganjil dan neutron genap.

Tes Formatif

1. Tuliskan tiga periode dalam sejarah fisika nuklir.
Jawaban: Jelas
2. Jelaskan mengapa perilaku inti dapat ditinjau seperti pada atom dalam mempelajari energi eksitasinya (tingkat-tingkat energinya).
Jawaban: Jelas
3. Tuliskan contoh atom-atom yang termasuk dalam kelompok isotop, isobar, isomer dan isoton.
Jawaban: Jelas
4. Berikan penjelasan yang sesuai untuk grafik pada gambar 1.4.
Jawaban: Jelas
5. Apa yang dimaksud dengan nuklida genap-genap, genap-ganjil dan ganjil genap?
Jawaban: Jelas

BAB II

STRUKTUR INTI ATOM

A. Gambaran singkat mengenai materi kuliah

Materi perkuliahan ini akan membahas mengenai struktur inti sebuah atom. Seperti halnya dengan elektron, inti atom juga memiliki struktur tersendiri namun dalam kerangka yang lebih kompleks. Bagian pertama akan membahas mengenai partikel-partikel (nukleon) penyusun inti atom, selanjutnya bentuk dan ukuran inti, model inti atom, energi ikat inti dan gaya inti secara berurutan. Memahami karakteristik nukleon sangat dibutuhkan dalam mempelajari bentuk dan ukuran inti sebuah atom. Inti sebuah atom memiliki ukuran yang kecil (sekitar 1 fermi) namun memberikan kontribusi terbesar dalam massa sebuah atom, yakni sekitar 99,9 % dari massa sebuah atom. Didalam inti terdapat energi ikat antar nukleon (proton dan neutron) yang besarnya setara dengan energi yang dibutuhkan untuk merontokkan atau memisahkan nukleon-nukleon inti. Selain itu di dalam inti terdapat gaya inti yang merupakan gaya terkuat (*strong force*) yang pernah ditemukan. Gaya ini memiliki peran besar dalam mempertahankan nukleon agar tetap utuh (tidak terpecah). Meskipun gaya inti sangat kuat namun memiliki jangkauan yang sangat pendek yaitu sekitar 10^{-15} m atau 1 femtometer atau sering juga di ungkapkan sebagai 1 Fermi.

Model tetes cairan (*liquid drop model*) dan model kulit atau cangkang (*shell model*) merupakan dua model inti yang diajukan untuk mempelajari karakteristik inti atom. Selain kedua model tersebut terdapat pula model yang pernah diusulkan oleh para fisikawan yaitu, model potensial rata-rata (*mean potential model*), dan model gas Fermi (*the Fermi gas model*). Namun model yang paling cocok dan mendekati untuk menjelaskan inti atom adalah kedua model pertama diatas. A. Bohr dan B. Mottelson (Beiser, 1992) mengusulkan sebuah model yang merupakan gabungan dari model tetes cairan dan model kulit. Model terakhir ini dianggap model yang paling dapat menjelaskan karakteristik sebuah inti atom.

B. Pedoman mempelajari materi

Bacalah dan pahami materi yang disajikan, gunakan contoh yang tersedia untuk mempermudah pemahaman. Pada akhir bab disajikan latihan berupa soal-soal konsep yang sangat membantu dalam mengembangkan dan mendalami konsep pada materi ini. Juga disajikan rangkuman untuk lebih memfokuskan bagian-bagian yang wajib dipahami.

C. Tujuan pembelajaran

Setelah mempelajari materi ini mahasiswa diharapkan mampu

1. Membedakan struktur atom dengan struktur inti atom
2. Memahami bentuk dan ukuran inti
3. Membedakan partikel-partikel penyusun inti atom
4. Memahami model-model inti dengan baik
5. Menghitung energi ikat inti
6. Menhitung energi ikat per nukleon
7. Menjelaskan gaya inti dengan baik

Struktur inti atom memiliki kesamaan dengan struktur atom, sehingga dengan memahami struktur atom akan lebih memudahkan pemahaman pada inti atom itu sendiri. Inti atom juga memiliki keadaan dasar dan keadaan eksitasi serta memancarkan sinar gamma (foton) sebagaimana atom dalam melakukan transisi eksitasinya. Transisi ini biasanya bergantung pada pasangan nukleon yang bersangkutan, apakah berpasangan genap-genap, ganjil-genap atau genap-ganjil. Bilangan genap ganjil ini juga disinggung dalam Alquran pada surat Al-Fajr ayat 3;

وَالشَّفَعِ وَالْوَتْرِ

Terjemahnya:

dan yang genap dan yang ganjil (QS 89:3)

Jika ukuran suatu atom sekitar 10^{-10} atau satu amstrong, maka ukuran inti atom yang bersangkutan sekitar 10^{-15} atau satu Fermi, suatu ukuran yang sangat kecil. Ukuran seperti massa, energi diam, energi ikat dan besaran-besaran lainnya akan selalu sama untuk setiap jenis atom atom atau inti atom yang serupa. Maka maha besar Allah yang telah menciptakan dan mengatur semuanya, sesuai firmanNya dalam surat Al-Furqaan ayat 2;

الَّذِي لَهُ مُلْكُ السَّمَوَاتِ وَالْأَرْضِ وَلَمْ يَتَّخِذْ وَلَدًا وَلَمْ يَكُنْ لَهُ شَرِيكٌ فِي الْمُلْكِ وَخَلَقَ

كُلَّ شَيْءٍ فَقَدَرَهُ تَقْدِيرًا

Terjemahnya:

yang kepunyaan-Nya-lah kerajaan langit dan bumi, dan Dia tidak mempunyai anak, dan tidak ada sekutu bagi-Nya dalam kekuasaan (Nya), dan Dia telah menciptakan segala sesuatu, dan Dia menetapkan ukuran-ukurannya dengan serapi-rapinya (QS 25:2).

dan surat *Al-Hijr* ayat 21,

وَأِن مِّن شَيْءٍ إِلَّا عِنْدَنَا خَزَائِنُهُ وَمَا نُنزِلُهُ إِلَّا بِقَدَرٍ مَّعْلُومٍ

Terjemahnya;

Dan tidak ada sesuatupun melainkan pada sisi Kami-lah khazanahnya; dan Kami tidak menurunkannya melainkan dengan ukuran yang tertentu. (QS 15:21).

Sebuah atom memiliki elektron-elektron yang mengitari inti, sedangkan dalam inti tidak terdapat elektron sehingga model dan gaya Coulomb yang timbul tidak dapat dipahami seperti pada atom. Gaya coulomb pada atom terjadi antara elektron-elektron dan antara elektron dengan inti (proton) positif sedangkan dalam inti gaya hanya ditimbulkan oleh gaya antara penyusun inti itu sendiri, pengaruh elektron sangat kecil sehingga seringkali tidak diperhitungkan. Hal ini dapat dipahami karena massa atom terpusat pada inti atom sehingga kontribusi elektron terhadap gaya dan interaksi inti sangat kecil.

Hingga saat ini ukuran terkecil yang bias tersingkap dari inti sebuah atom adalah sebesar *quark* yang merupakan penyusun nucleon (proton dan neutron). Quark ini hanya sebahagian dari penyusun sebuah nucleon sedangkan penyusun lainnya belum ditemukan. Mungkin suatu saat ketika ilmu pengetahuan sudah lebih maju, ukuran terkecil dari penyusun tersebut dapat ditemukan. Hal ini tersirat dalam surat *Yunus* ayat 61,

وَمَا تَكُونُ فِي شَأْنٍ وَمَا تَتْلُوا مِنْهُ مِنْ قُرْآنٍ وَلَا تَعْمَلُونَ مِنْ عَمَلٍ إِلَّا كُنَّا عَلَيْكُمْ شُهُودًا إِذْ تُفِيضُونَ فِيهِ وَمَا يَعْزُبُ عَنْ رَبِّكَ مِنْ مِثْقَالِ ذَرَّةٍ فِي الْأَرْضِ وَلَا فِي السَّمَاءِ وَلَا أَصْغَرَ مِنْ ذَلِكَ وَلَا أَكْبَرَ إِلَّا فِي كِتَابٍ مُّبِينٍ

Terjemahnya;

Kamu tidak berada dalam suatu keadaan dan tidak membaca suatu ayat dari Al Qur'an dan kamu tidak mengerjakan suatu pekerjaan, melainkan Kami menjadi saksi atasmu di waktu kamu melakukannya. Tidak luput dari pengetahuan Tuhanmu biarpun sebesar zarrah (atom) di bumi ataupun di langit. Tidak ada yang lebih kecil dan tidak (pula) yang lebih besar dari itu, melainkan (semua tercatat) dalam kitab yang nyata (Laub Mahfuẓh).

Jika mengacu pada penjelasan ayat tersebut, maka hanya orang-orang yang paham kitab suci Alqur'an yang dapat memahami dan memiliki peluang untuk menemukannya. Disinilah peranan para ilmuwan muslim untuk kembali menyelaraskan firman Allah Swt. dengan ilmu pengetahuan sains dan teknologi.

2.1. Partikel Penyusun Inti

Berdasarkan teori atom Rutherford (berdasarkan eksperimen Geiger dan Marsden, muridnya) dan atom Bohr, diketahui bahwa muatan positif atom terkumpul pada pusat atom dan memberikan kontribusi 99,0 % massa atom (Krane, S.K., 1996). Penemuan *neutron* pada tahun 1932 oleh James Chadwick melengkapi kajian mengenai partikel penyusun inti sebuah atom. Neutron ini unik karena memiliki kemiripan dengan proton namun tidak memiliki muatan sebagaimana proton yang bermuatan positif. Karena kemiripan ini keduanya dikelompokkan sebagai *nukleon* atau partikel penyusun inti atom (Beiser, 1992).

Sifat nukleon dapat dilihat pada table 2.1 berikut

Table 2.1 sifat-sifat nukleon

	Proton	Neutron
Muatan	+ 1,6 x 10 ⁻¹⁹ C	0 C
Energi	938,256 MeV 1,007277 u	939,550 MeV 1,008665 u
Massa diam	1,67252 x 10 ⁻²⁷ Kg	1,67482 x 10 ⁻²⁷ Kg
Spin	1/2	1/2
Momen magnetik	+ 2,7928β _n	-1,9128β _n

Sumber: Gautreau dan Savin, 1999: 145

Satuan massa unit, *u* sering juga dipakai terutama dalam perhitungan energi ikat inti. Sedangkan symbol β_n menyatakan magneton nuklirnya yang dapat ditentukan dengan persamaan

$$\beta_n = \frac{e\hbar}{2m_p} \quad (2.1)$$

$$\beta_n = \frac{(1,6 \times 10^{-19} \text{ C})(6,58 \times 10^{-16} \text{ eV} \cdot \text{s})}{2(1,673 \times 10^{-27} \text{ kg})}$$

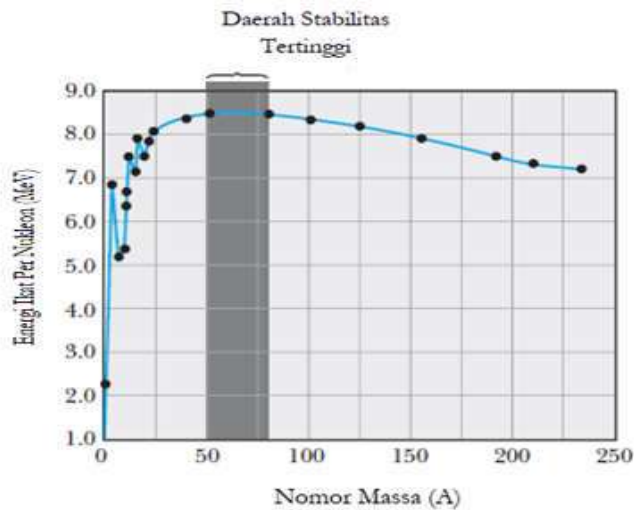
$$\beta_n = 3,15 \times 10^{-8} \text{ eV/T}$$

dengan m_p adalah massa diam proton. Tanda positif atau negative untuk momen magnetic mengindikasikan bahwa momen magnetic dan vector spin masing-masing dalam arah yang sama atau berlawanan. Neutron meskipun bersifat netral (tidak bermuatan) namun tetap memiliki momen magnetik.

Proton memiliki waktu hidup yang hampir tak berhingga, sehingga bila dibiarkan sendiri tanpa berinteraksi dengan atom/partikel lain maka proton hamper tidak pernah mengalami peluruhan (Gautrau dan Savin, 1999). Sedangkan neutron memiliki waktu hidup sekitar 12 menit, sehingga bila terdapat 12 neutron yang hidup sendirian (terpisah satu sama lain) maka separuhnya akan meluruh setelah 12 menit.

2.2. Ukuran dan Bentuk Inti

Ukuran inti atom secara rinci tidak dapat ditentukan, namun eksperimen hamburan Rutherford memberikan bukti bahwa inti atom memiliki ukuran yang berhingga. Eksperimen tersebut menunjukkan bahwa pada daerah tertentu partikel proyektil akan mengalami pembelokan, tidak diteruskan. Hal ini menunjukkan bahwa pada daerah tersebut terdapat partikel yang bermassa massif dan bermuatan positif. Model yang sering digunakan adalah model bola, namun model ini tentulah merupakan “peng-idealan” agar memudahkan dalam karakteristik dan sifat-sifatnya. Bentuk bola ini tidak selamanya bulat sempurna, namun ada juga yang lonjong atau pipih, sehingga sering juga dijumpai istilah “bola tidak jelas”. Model ini ditentukan oleh jumlah nukleon penyusun inti atom yang bersangkutan, juga bergantung dari kerapatan nukleon tersebut. Pengaruh rapat muatan dapat dilihat dari gambar berikut;



Gambar 2.1 Plot energi ikat inti terhadap nomor massa untuk menunjukkan stabilitas Inti

Sebagaimana diketahui bahwa dalam inti atom terdapat proton yang bermuatan positif sehingga terjadi gaya tolak antar nukleon (proton). Gaya tolak ini sangat kuat, namun tidak sampai menghancurkan (memisahkan) partikel nukleon dari inti. Kenyataan ini menarik, karena suatu mekanisme tertentu sehingga nukleon-nukleon inti tetap menyatu meskipun mengalami gaya tolak Coulomb yang sangat besar terus-menerus. Gambar 2.1 memperlihatkan bahwa rapat inti atom pada dasarnya tidak bergantung pada nomor massa A , inti atom yang ringan dan inti atom yang berat memiliki kerapatan muatan (nukleon) yang hampir sama. Hal ini menunjukkan bahwa jumlah neutron dan proton tiap satuan volume kurang lebih tidak berubah diseluruh daerah inti atom, atau secara matematis

$$\frac{\text{Jumlahneutronandanproton}}{\text{Volumeintiatom}} = \frac{A}{\frac{4}{3}\pi R^3} \cong \text{Suatutetapan} \quad (2.2)$$

Jadi

$$A \propto R^3$$

atau

$$R \propto A^{1/3} \quad (2.3)$$

Dengan memasukkan R_0 sebagai tetapan pembanding, maka persamaan (2.3) menjadi

$$R \propto R_0 A^{1/3} \quad (2.4)$$

Tetapan R_0 biasanya ditentukan dari percobaan, besarnya bergantung dari inti atom yang ditinjau. Dari berbagai percobaan diperoleh nilai dalam distribusi antara $1,2 \times 10^{-15} \text{ m}$ hingga $1,5 \times 10^{-15} \text{ m}$. satuan yang lebih sering digunakan adalah dalam femtometer (10^{-15}), sehingga nilai R_0 dituliskan dalam rentang 1,2 fm hingga 1,5 fm. Para fisikawan juga sering mengungkapkan panjang ini dalam satuan Fermi (fm) sebagai penghormatan pada Enrico Fermi.

Contoh 1

Andaikan dapat diciptakan inti atom dengan jari-jari 1 cm, hitunglah kerapatan inti atom, dan massa totalnya dengan jari-jari tersebut.

Jawaban

Kerapatannya dapat dihitung dengan persamaan

$$\begin{aligned} \rho &= \frac{m}{V} = \frac{A}{\frac{4}{3}\pi R_0^3 A} \\ &= \frac{1 \text{ u}}{7 \times 10^{-45} \text{ m}^3} \\ &= 2 \times 10^{17} \text{ kg/m}^3 \end{aligned}$$

Dengan nilai tersebut dapat dihitung massa inti (khayalnya)

$$\rho = \frac{m}{V}$$

$$\begin{aligned} m &= \rho V = \left(2 \times 10^{17} \frac{\text{kg}}{\text{m}^3} \right) \left(\frac{4}{3} \pi \right) (0,01 \text{ m}^3) \\ &= 8 \times 10^{11} \text{ kg} \end{aligned}$$

Nilai tersebut setara dengan massa sebuah bola (berbahan biasa, karet) dengan jari-jari 1 km.

Contoh 2

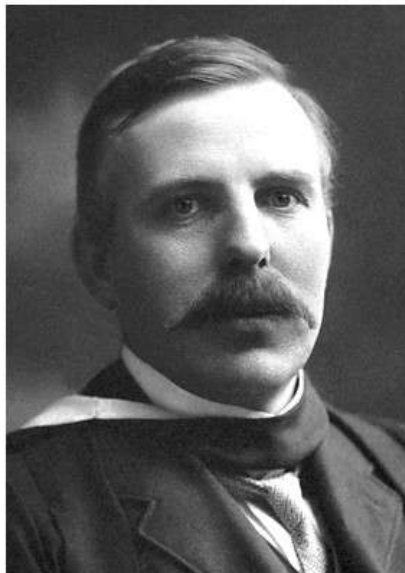
Hitunglah nilai hampiran inti-inti berikut

- a. Karbon ($A = 12$)
- b. Germanium ($A = 70$)
- c. Bismuth ($A = 209$)

Jawaban

- a. $R = (1,2 \text{ fm})A^{1/3} = 1,2 \text{ fm} \times 12^{1/3} = 2,7 \text{ fm}$
- b. $R = (1,2 \text{ fm})A^{1/3} = 1,2 \text{ fm} \times 70^{1/3} = 4,9 \text{ fm}$
- c. $R = (1,2 \text{ fm})A^{1/3} = 1,2 \text{ fm} \times 209^{1/3} = 7,1 \text{ fm}$

Kedua contoh diatas memberikan gambaran bahwa betapa beratnya inti sebuah atom. Jika suatu inti atom memiliki ukuran sebesar gedung bertingkat, maka kemungkinan massanya sama atau lebih besar dari massa bumi. Para fisikawan percaya bahwa massa sebesar ini terdapat dalam bintang yang bertemperatur sangat tinggi. Hal ini dipahami dengan menganggap semua elektron dalam bintang tersebut lepas dari atomnya karena pengaruh panas yang sangat tinggi, sehingga yang tertinggal hanyalah inti-intinya saja. Kumpulan inti ini akan membentuk keseluruhan massa bintang menyebabkan massanya sangat besar.



Ernest Rutherford, lahir 31 Agustus 1871 di Nelson, New Zealand dan meninggal 19 Oktober 1937 di Cambridge, United Kingdom. Meperoleh banyak penghargaan seperti the Rumford Medal (1905) dan the Copley Medal (1922) dari the Royal Society, the Bressa Prize (1910) dari the Turin Academy of Science, the Albert Medal (1928) dari the Royal Society of Arts, the Faraday Medal (1930) dari the Institution of Electrical Engineers, the D.Sc. degree dari the University of New Zealand, and honorary doctorates dari banyak universtas antara lain the Universities of Pennsylvania, Wisconsin, McGill, Birmingham,

Edinburgh, Melbourne, Yale, Glasgow, Giessen, Copenhagen, Cambridge, Dublin, Durham, Oxford, Liverpool, Toronto, Bristol, Cape Town, London

dan Leeds. Menerima hadiah nobel di bidang kimia pada tahun 1908 atas jasanya dalam investigasi disintegrasi unsur dan substansi kimia radiaktif.

Contoh 3

Tentukan sebuah nukleus stabil yang memiliki radius $1/3$ dari ^{189}Os .

Jawaban

Dengan menganggap inti tersebut sebagai bola yang seragam,

$$\begin{aligned} \text{Kerapatan} &= \frac{\text{massa}}{\text{volume}} \\ &\approx \frac{Ax(\text{massa nukleon})}{\frac{4}{3}\pi R^3} \\ &= \frac{A(1,7 \times 10^{-27} \text{ kg})}{\frac{4}{3}\pi(1,4 \times 10^{-15} A^{1/3} \text{ m})^3} \\ &= 1,5 \times 10^{17} \frac{\text{kg}}{\text{m}^3} \end{aligned}$$

2.3. Model Inti Atom

Menurut J. L. Basdevant (2004) banyak model inti atom yang pernah diajukan di antaranya model potensial rata-rata (*mean potential model*), model tetes cairan (*liquid drop model*), model gas Fermi (*the Fermi gas model*) dan model kulit (*shell model*). Dari sekian model yang disebutkan di atas hanya beberapa yang benar-benar cocok dan berhasil menjelaskan sifat-sifat inti atom. Pada bab ini hanya akan dibahas dua model yang secara standar banyak digunakan yaitu, model tetes cairan (*the liquid model*) dan model kulit (*the shell model*).

2.3.1. Model Tetes Cairan (*the liquid model*)

Model ini didasarkan pada teori (temuan) C. v. Wieszaker pada tahun 1935 (Gautreaux *et. al.*, 2006) yang menyatakan bahwa sifat-sifat inti berhubungan dengan ukuran, massa dan energi ikat yang mirip dengan apa yang dijumpai pada setetes cairan. Pada pekerjaan terpisah pada

tahun yang sama H. Bethe juga mengajukan hal yang sama (Basdevant *et. al.*, 2004). Kerapatan tetes cairan adalah konstan, dengan ukuran yang sebanding dengan jumlah partikel atau molekul didalam cairan sedangkan penguapan dan energi ikatnya berbanding lurus dengan massa atau jumlah partikel yang membentuk tetes cairan.

Karena massa suatu inti atom tergantung pada nukleon-nukleonnya (proton dan neutron) maka sangat dipengaruhi oleh nilai A dan Z,

$$M = Zm_p + (A - Z) m_n - b_1A + b_2A^{2/3} + b_3Z^2A^{-1/3} + b_4(A - 2Z) 2 A^{-1} + b_5 A^{-3/4} \quad (2.5)$$

Formula diatas biasa juga dikenal sebagai *formula massa semiempirik*. Konstanta b_1 , b_2 , b_3 , b_4 , dan b_5 dapat ditentukan dalam eksperimen, namun dibawah ini diberikan nilai yang biasa digunakan;

$$b_1 = 14 \text{ MeV}$$

$$b_2 = 13 \text{ MeV}$$

$$b_3 = 0,58 \text{ MeV}$$

$$b_4 = 19,3 \text{ MeV}$$

sedangkan nilai b_5 ditentukan berdasarkan pasangan nukleon-nukleonnya (neutron dan proton) ganjil atau genap;

table 2.2 Pasangan nukleon inti

A	Z	b_5
Genap	Genap	-33,5 MeV
Ganjil		0
Genap	Ganjil	+33,5 MeV

Persamaan (2.5) diatas memerlukan banyak koreksi, seperti berikut

1. Karena energi ikat diabaikan maka untuk massa inti yang tersusun dari proton Z dan neutron N ($A-Z$) memiliki energi ikat sebesar

$$Zm_p + (A - Z)m_n \quad (2.6)$$

2. Karena gaya inti adalah tarik menarik maka energi ikat bernilai positif (kerja positif diperlukan untuk memisahkan nukleon), hal ini menyebabkan massa inti menjadi lebih kecil dari massa nukleon-nukleon yang telah terpisah. Berdasarkan model tetes cairan tersebut, penguapan panas (berupa energi ikat) akan berbanding lurus dengan jumlah nukleon A . dengan demikian akan menghasilkan koreksi sebesar $-b_1 A$ ($b_1 > 0$).

Juga perlu diperhatikan bahwa nukleon-nukleon didalam inti cenderung berpasangan atau dengan kata lain neutron-neutron atau proton-proton berkelompok bersama dalam spin-spin yang berbeda. Akibatnya, didapati bahwa pasangan energi hadir dengan nilai bervariasi sebesar $A^{-3/4}$ dan bertambah sebesar jumlah nukleon-nukleon yang tidak memiliki pasangan. Jumlahnya ditentukan seperti table berikut;

Table 2.3 Kemungkinan nukleon yang tidak berpasangan

A	Z	Jumlah nukleon yang tidak berpasangan
Genap	Genap	0
Ganjil		1
Genap	Ganjil	2 (1 neutron dan 1 proton)

Berdasarkan persamaan (2.5), rata-rata ikat per nukleon dapat ditentukan dengan mengambil perbedaan antara massa energi inti dengan massa nukleon unsure pokoknya kemudian dibagi dengan jumlah nukleon;

$$\begin{aligned} \frac{BE}{A} &= \frac{[Zm_p + (A - Z)m_n - M]c^2}{A} \\ &= b_1 - b_2 A^{-1/3} - b_3 Z^2 A^{-2/3} - b_4 (A - 2Z)^2 A^{-2} - b_5 A^{-7/4} \end{aligned} \quad (2.7)$$

Perlu dipahami bahwa persamaan (2.5) dan (2.7) hanya merupakan model pendekatan yang paling mungkin karena sulit memprediksikan nilai-nilai yang sebenarnya.

2.3.2. Model Kulit (*the shell model*)

Pada model tetes cairan, nukleon-nukleon tidak diperlakukan secara individu dan masing-masing nukleon hanya berinteraksi dengan tetangga terdekatnya. Meskipun model ini berhasil menjelaskan beberapa sifat inti, seperti rata-rata energi ikat per nukleon namun belum untuk sifat-sifat inti lainnya. Sifat inti yang dimaksud adalah energi-energi pada keadaan eksitasi dan momen magnet inti, diperlukan suatu model mikroskopik untuk melihat perilaku nukleon secara individu.

Pada sebuah atom, elektron dapat dibayangkan menduduki tempat dalam kulit pada berbagai bilangan kuantum utama dimana elektron terluar (*Valensi*) paling menentukan aspek perilaku sebuah atom. Atom yang memiliki elektron genap 2, 10, 18, 36, 54, dan 86 akan memiliki kulit yang terisi penuh sehingga atom akan bersifat sangat stabil.

Hal yang sama juga didapati pada inti nuklir yang memiliki jumlah proton dan neutron 2, 8, 20, 28, 50, 82, dan 126. Hal ini menunjukkan bahwa inti tersebut sangat mantap. Angka-angka diatas (jumlah neutron dan proton) dalam struktur nuklir biasa juga disebut sebagai *bilangan ajaib*. Model kulit yang biasa juga disebut sebagai model cangkang hadir untuk menerangkan keberadaan bilangan ajaib diatas dan sifat-sifat nuklir yang lain seperti perilaku nukleon dalam suatu medan gaya.

Pendekatan model atom dapat diterapkan pula pada inti atom. Dengan menganggap bahwa nukleon-nukleon juga menempati tingkatan energi layaknya elektron pada kulit tertentu, maka perlu diperhatikan potensial yang ditimbulkan untuk mempresentasikan gaya-gaya jarak pendek inti. Salah satu asumsi yang dapat digunakan adalah dengan menganggap bahwa nukleon-nukleon bergerak dalam suatu rata-rata potensial osilator harmonis

$$\begin{aligned} V &= \frac{1}{2}kR^2 \\ &= \frac{1}{2}m\omega^2R^2 \end{aligned} \quad (2.7)$$

Kemudian mekanika kuantum memperlihatkan bahwa tingkat-tingkat energinya diberikan oleh

$$E = \left(\mathcal{N} + \frac{1}{2} \right) \hbar \omega \quad (2.8)$$

Dengan $\mathcal{N} = 2(n - 1) + l$ dan besaran l merupakan bilangan kuantum momentum angular orbital dengan nilai 0, 1, 2, 3, serta berhubungan dengan vector momentum angular orbital dalam bentuk $|l| = \sqrt{l(l + 1)}\hbar$. Besaran n merupakan bilangan bulat 1, 2, 3, 4, kecuali untuk atom hydrogen (nilainya tidak dibatasi oleh n). Notasi untuk momentum angular orbital nukleon dapat dilihat seperti berikut;

Nilai l	: 0	1	2	3	4	5
Simbol Huruf	: s	p	d	f	g	h

Jika n diletakkan didepan simbol huruf akan menunjukkan orde (kenaikan energi) dari suatu keadaan l tertentu.

Gambaran mengenai tingkat-tingkat energi dari potensial osilator dapat dilihat pada gambar 2.3. Pada gambar 2.3 (a) tampak tingkat-tingkat energi prediksi dari osilator harmonik dengan menampilkan jumlah maksimum nukleon untuk setiap tingkatan energi sesuai dengan asas larangan Pauli. Terlihat bahwa tingkat energi yang berdekatan adalah nukleon-nukleon 2, 8, 20, 40, 70, 112, dan 168. Dari jumlah nukleon tersebut hanya tiga yang merupakan angka ajaib, yaitu 2, 8 dan 20. Sedangkan gambar 2.3(b) hasil pembuktian secara eksperimen tingkat-tingkat energi osilator harmonik.

Model kulit (cangkang) hadir untuk menghitung bilangan atau angka ajaib ini. Model ini secara terpisah diperkenalkan oleh Maria Mayer dan J. H. D. Jensen pada tahun 1949 (Beiser, 1992). Mayer-Jensen memperlihatkan keberadaan interaksi *spin-orbit* ($\mathbf{l} \cdot \mathbf{s}$) selain potensial harmonik. Karena spin nukleon, $s = 1/2$ yang tunggal untuk bilangan kuantum spinnya, maka efek spin-orbit akan menyebabkan setiap keadaan momentum angular orbital dengan $l > 0$ terbagi menjadi dua orbital. Hal ini mengikuti apakah bilangan kuantum momentum angular j adalah $I = l + s$ atau $j = l - s$.



Maria Goeppert Mayer, lahir 28 Juni 1906 Kattowitz, Jerman (sekarang Polandia) dan meninggal 20 Februari 1972 di San Diego, USA. **J. Hans D. Jensen**, lahir 25 Juni 1907 di Hamburg Jerman dan meninggal 11 Februari 1973 di Heidelberg Jerman. Pasangan suami istri ini menerima hadiah nobel tahun 1963 bersama dengan E. Wigner atas

jasanya dalam penemuan struktur kulit inti (*Shell model*).

Sebuah model yang menggabungkan model tetes cairan dengan model kulit dikemukakan oleh A. Bohr dan B. Mottelson (Beiser, 1992) melengkapi model inti atom. Model gabungan ini terbukti lebih baik karena memasukkan factor-faktor yang tidak dijumpai pada salah satu model (jika berdiri sendiri). Selain itu juga dimasukkan factor seperti bentuk tak sferis dari inti gena-genap dan distorsi sentrifugal yang dialami oleh inti yang berputar.

2.4. Energi Ikat Inti

Energi ikat inti merupakan energi yang menyebabkan nukleon-nukleon inti tetap menyatu meskipun mengalami gaya tolak Coloumb satu sama lain (proton-proton). Besarnya energi ini setara dengan energi yang dibutuhkan untuk melepaskan atau memecahnya (nukleon) menjadi proton dan neutron.

Deuterium adalah salah satu inti atom yang sering digunakan sebagai contoh dalam menjelaskan energi ikat ini. Inti atom detrium ${}^2_1\text{H}$ yang tersusun atas sebuah proton dan sebuah neutron akan memiliki energi ikat sebesar

$$B = m_n c^2 + m_p c^2 - m_D c^2 \quad (2.9)$$

dengan m_D adalah massa inti deuterium. Dalam menghitung energi ikat diperlukan data massa inti sebuah atom, namun data yang tersedia

adalah data massa atom. Sehingga untuk menghitung energi ikat diperlukan modifikasi persamaan seperti berikut;

$$m_{atom} = m_{inti\ atom} + Z \cdot m_{elektron} + energi\ ikat\ elektron\ total \quad (2.10)$$

Mengingat energi massa inti atom berorde 10^9 hingga 10^{11} eV, massa elektron berorde 10^6 hingga 10^8 eV dan energi ikat elektron berorde 1 hingga 10^4 eV, maka suku terakhir pada persamaan (2.10) menjadi sangat kecil. Untuk alasan ini pada sebagian besar kasus nilai suku terakhir ini dapat diabaikan. Massa inti atom hydrogen (massa proton) sama dengan massa atom hydrogen dikurangi massa satu elektron. Demikian pula untuk deuterium, massa inti atom deuterium sama dengan massa atom deuterium dikurangi massa satu elektron. Dengan asumsi ini maka persamaan (2.9) dan (2.10) menjadi

$$\begin{aligned} B &= m_n c^2 + [m(^1H) - m_e]c^2 - [m(^2H) - m_e]c^2 \\ &= [m_n + m(^1H) - m(^2H)]c^2 \end{aligned} \quad (2.11)$$

Atau secara umum dapat dituliskan sebagai berikut

$$B = [Nm_n + Zm(^1_2H) - m(^A_ZX)]c^2 \quad (2.12)$$

Contoh 4

Hitunglah energi ikat deuterium 2_1H

Jawaban

$$\begin{aligned} B &= (1,008665\ u + 1,007825\ u - 2,014102\ u) 931,5\ MeV/u \\ &= 2,224\ MeV \end{aligned}$$

Selain energi ikat inti seperti yang telah dibahas diatas, juga terdapat energi ikat per nukleon. Energi ikat per nukleon dapat diperoleh dengan membagi energi ikat inti dengan jumlah nukleon yang terdapat dalam inti atom yang bersangkutan. Jadi,

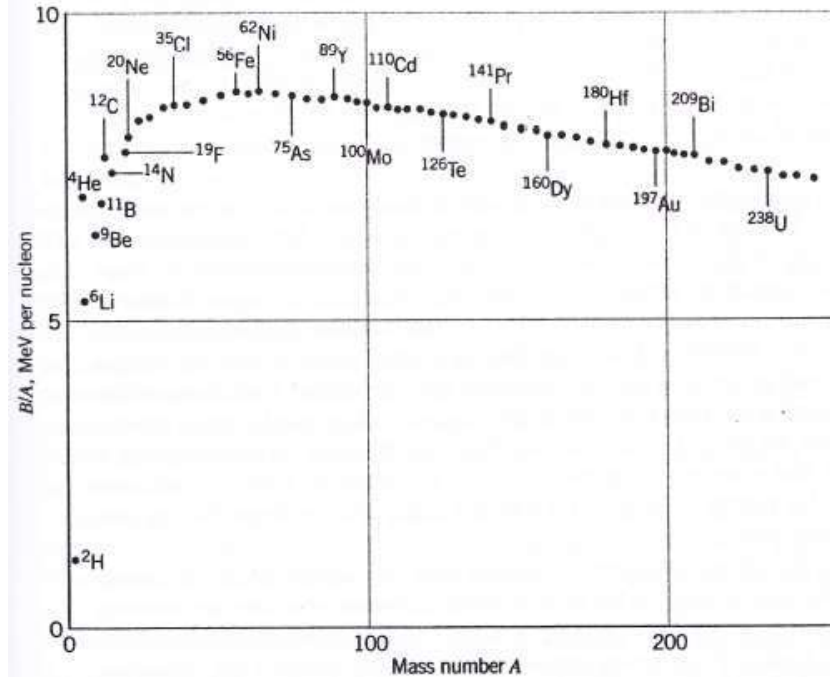
$$\begin{aligned} Energi\ ikat\ per\ nucleon &= \frac{energi\ ikat\ inti\ atom}{jumlah\ nukleon\ inti} \\ &= \frac{B}{A} \end{aligned} \quad (2.13)$$

Jadi untuk deuterium energi ikat per nukleonya

$$B/A = 2,224\ MeV/2\ (1\ proton\ dan\ 1\ neutron)$$

$$= 1,112 \text{ MeV.}$$

Besarnya energi ikat per nukleon dapat dilihat pada gambar berikut



Gambar 2. Energi ikat inti per nukleon

2.5 Gaya Inti

Gaya inti adalah gaya yang unik. Dikatakan demikian karena gaya ini bersifat sangat kuat, jauh lebih kuat dari gaya tolakan Coulomb antar proton dalam inti atom, namun memiliki jangkauan yang sangat pendek. Ketika nukleon-nukleon saling didekatkan dalam orde 10^{-15} m atau 1 femtometer, diperoleh bahwa terjadi gaya tarik menarik sangat kuat antar nukleon namun dalam rentang pendek. Gaya total nukleon pada dasarnya sama dengan nol, artinya bahwa gaya proton-proton, neutron-neutron dan proton-neutron kurang lebih sama. Berdasarkan berbagai eksperimen diperoleh beberapa yang khas dari gaya inti sebuah atom (Krane, 1996) sebagai berikut;

1. Gaya inti berbeda dengan gaya electromagnet, gravitasi dan gaya lainnya yang biasa dijumpai (di fisika klasik).

2. Gaya inti merupakan gaya yang paling kuat yang pernah diketahui, sehingga disebut sebagai gaya kuat (*strong force*).
3. Jangkauan gaya inti sangat pendek
Rentang daerah kerjanya terbatas pada luasan inti atom yang bersangkutan atau sekitar 10^{-15} m. Bukti bahwa jangkauan gaya inti terbatas pada jarak tersebut adalah dari kerapatan inti. Saat sebuah inti ditambahkan atau menyerap neutron atau proton, kerapatan inti tidak berubah. Hal ini menunjukkan bahwa tiap nukleon yang diserap hanya akan merasakan gaya dari nukleon terdekat tidak dari nukleon yang lain yang ada dalam inti atom. Bukti yang lain adalah dari energi ikat per nukleon seperti yang ditunjukkan dalam gambar 2. Dimana energi per nukleon secara umum bernilai tetap maka energi ikat inti total kurang lebih sebanding dengan A .
4. Gaya inti pada duanukleon tidak bergantung pada jenis nukleon.
Tidak bergantung pada jenis nukleon yang berinteraksi, apakah proton-neutron, neutron-neutron atau proton-proton.

Pertanyaan yang menarik adalah bagaimanapun juga sebuah neutron dengan massa diam $m_n c^2$ memancarkan sebuah partikel dengan massa diam $m c^2$ dan tetap sebagai neutron, tanpa melanggar hukum kekekalan energi? Menurut hukum kekekalan energi terdapat selisih energi sebesar $m c^2$ yang merupakan energi diam partikel yang dipertukarkan. Dimana seharusnya jumlah total energi bernilai nol atau sama sebelum reaksi dan sesudah reaksi.

Penjelasan tentang kejadian ini diperoleh dari asas ketidakpastian Heisenberg

$$\Delta E \Delta t \sim \hbar \quad (2.14)$$

Berdasarkan ketidakpastian ini, energi tidak dapat diukur lebih teliti dari ΔE dalam selang waktu Δt . Oleh karena itu kelebihan energi tersebut dapat dipahami bahwa hanya berlangsung sangat singkat yaitu dalam selang waktu

$$\Delta t = \frac{\hbar}{m c^2} \quad (2.15)$$

Latihan

1. Jelaskan mengapa partikel inti tidak runtuh oleh gaya tolak coulomb dari proton padahal berlangsung terus-menerus?
2. Jelaskan mengapa gaya inti dikatakan sebagai gaya paling kuat yang pernah diketahui (*strong force*)
3. Uraikan perbedaan mendasar partikel inti suatu atom dengan partikel sebuah atom.
4. Uraikan tingkat-tingkat energi dalam inti atom, bandingkan dengan tingkat-tingkat energi atom.
5. Jelaskan perbedaan model tetes cairan (*liquid drop model*) dengan model kulit (*shell model*).
6. Kemukakan alasan mengapa model gabungan yang dikemukakan oleh A. Bohr dianggap lebih baik dari kedua model pada soal no.5?
7. Tuliskan perbedaan antara energi ikat inti dengan energi ikat per nukleon inti.

Rangkuman

1. Inti atom pada dasarnya memiliki karakteristik yang ‘mirip’ dengan atom namun lebih kompleks.
2. Partikel penyusun inti disebut juga sebagai nukleon, terdiri atas proton yang bermuatan positif dan neutron yang netral.
3. Inti atom memberikan presentase massa terbesar dari sebuah atom, yaitu sekitar 99,9% dari seluruh berat atom.
4. Energi ikat inti merupakan energi yang dibutuhkan (atau dihasilkan) untuk melepaskan nukleon inti.
5. Energi ikat per nukleon merupakan energi yang dibutuhkan untuk melepaskan satu nukleon inti (proton atau neutron).
6. Gaya inti merupakan gaya kuat (*strong force*) yang memiliki jangkauan yang pendek (10^{-15} m) atau 1 femtometer atau 1 fermi.
7. Model tetes cairan (*liquid drop model*) dan model kulit/cangkang (*shell model*) adalah dua model yang digunakan untuk menjelaskan inti (dan karakteristik) sebuah atom. Sedangkan model gabungan merupakan perpaduan dari model tetes cairan dan model kulit.

Tes Formatif

1. Jelaskan mengapa kerapatan inti relative tidak berubah meskipun menyerap neutron atau proton?

Jawaban: Jelas

2. Tentukanlah jenis inti stabil yang memiliki radius $1/3$ dari ^{189}Os .

Jawaban: ^7Li

3. Hitunglah energi ikat $^{126}_{52}\text{Te}$.

Jawaban: $B = 1,066 \text{ GeV}$

4. Hitunglah energi ikat total (B) dan energi ikat per nukleon (B/A) untuk $^{56}_{26}\text{Fe}$ dan $^{238}_{92}\text{U}$.

Jawaban: Untuk $^{56}_{26}\text{Fe}$, $B = 492,3 \text{ MeV}$ dan $B/A = 8,791 \text{ MeV}$

Untuk $^{238}_{92}\text{U}$, $B = 1802 \text{ MeV}$, dan $B/A = 7,571 \text{ MeV}$

5. Tentukan energi minimum yang dibutuhkan untuk melepaskan ikatan neutron yang cukup kuat dari $^{40}_{20}\text{Ca}$?

Jawaban: $E = 15,6 \text{ MeV}$

6. Tentukan energi kinetic minimum dari sebuah elektron dalam inti yang berdiameter 10^{-14} m .

Jawaban: $K_{\min} = 61 \text{ MeV}$

7. Bandingkan energi-energi minimum untuk melepaskan neutron dari atom-atom karbon berikut; $^{41}_{20}\text{Ca}$, $^{42}_{20}\text{Ca}$, dan $^{43}_{20}\text{Ca}$.

Jawaban: $E (^{41}_{20}\text{Ca}) = 8,36 \text{ MeV}$

$E (^{42}_{20}\text{Ca}) = 11,47 \text{ MeV}$

$E (^{43}_{20}\text{Ca}) = 7,93$

MeV

8. Tentukan kerapatan inti dari $^{12}_6\text{C}$

Jawaban: $\rho = 2,4 \times 10^{-17} \text{ kg/m}^3$

9. Tentukan jari-jari inti ^{16}O dan ^{208}Pb

Jawaban: $R_{\text{O}} = 3,53 \text{ fm}$; $R_{\text{Pb}} = 8,29 \text{ fm}$

10. Hitunglah energi Coulomb dari $^{73}_{32}\text{Ge}$.

Jawaban: $E_C = 146 \text{ MeV}$

BAB III TRANSFORMASI NUKLIR

A. Gambaran Singkat Mengenai Materi Kuliah

Materi kuliah ini membahas tentang transformasi nuklir yang menyangkut inti tidak stabil. Dalam kuliah ini secara detail akan dibahas radioaktivitas, konstanta peluruhan, aktivitas, waktu paruh dan waktu hidup rata-rata, dan deret radioaktif. Selanjutnya dibahas mengenai deret radioaktif, kesetimbangan radioaktif, hukum-hukum kekekalan radioaktif dan radioaktivitas alam.

B. Pedoman Mempelajari Materi

Baca dan pahami dengan baik materi pada bab ini, contoh soal akan memudahkan pemahaman anda pada materi yang disajikan. Pada akhir bab disajikan soal latihan, rangkuman dan tes formatif yang dapat menambah pemahaman anda pada materi ini.

C. Tujuan Pembelajaran

Setelah mengikuti kuliah ini mahasiswa diharapkan dapat

1. Memahami sejarah penemuan radiaktivitas
 2. Memahami proses radioaktivitas
 3. Menentukan konstanta peluruhan inti radioaktif
 4. Menentukan aktivitas unsur radioaktif
 5. Membedakan waktu paruh dan waktu hidup rata-rata
 6. Memahami deret radioaktif
 7. Memahami kesetimbangan radioaktif
 8. Menjelaskan hukum-hukum kekekalan dalam peluruhan radioaktif
 9. Memahami radioaktivitas Alam
 10. Memahami bahaya radiasi
-

Transformasi nuklir menguraikan tentang segala aktivitas sebuah atom atau inti atom yang tidak stabil atau bersifat radioaktif. Inti-inti berat (tidak stabil) akan meluruh dengan kecepatan yang berbeda sesuai dengan konstanta peluruhannya. Dalam setiap reaksi peluruhan selalu disertai dengan proses “penciptaan” inti atom yang baru yang lebih ringan dari inti induknya dan melepaskan (tercipta) partikel-partikel yang lebih ringan seperti alfa, beta dan gamma atau foton. Proses (penciptaan) ini akan terus berlangsung hingga tercapai kesetimbangan atau berakhir dengan unsur yang stabil. Proses penciptaan ini juga tersirat dalam ketiga ayat Alqur’an berikut; Surat *Al-Anbiya* ayat 104,

يَوْمَ نَطْوِي السَّمَاءَ كَطَيِّ السِّجِلِ لِلْكِتَابِ كَمَا بَدَأْنَا أَوَّلَ خَلْقٍ نُعِيدُهُ وَعَدَّا عَلَيْهَا إِنَّا
كُنَّا فَاعِلِينَ

Terjemahnya;

pada hari Kami gulung langit sebagai menggulung lembaran-lembaran kertas. Sebagaimana Kami telah memulai penciptaan pertama begitulah Kami akan mengulanginya. Itulah suatu janji yang pasti Kami tepati; sesungguhnya Kamilah yang akan melaksanakannya. (QS 21:104).

Surat *Ar-rum* ayat 11,

اللَّهُ يَبْدَأُ الْخَلْقَ ثُمَّ يُعِيدُهُ ثُمَّ إِلَيْهِ تُرْجَعُونَ

Terjemahnya;

Allah menciptakan (manusia) dari permulaan, kemudian mengembalikan (menghidupkan)-nya kembali; kemudian kepada-Nyalah kamu dikembalikan. (QS 30:11).

dan surat *Yunus* ayat 34,

قُلْ هَلْ مِنْ شُرَكَائِكُمْ مَنْ يَبْدَأُ الْخَلْقَ ثُمَّ يُعِيدُهُ قُلِ اللَّهُ يَبْدَأُ الْخَلْقَ ثُمَّ يُعِيدُهُ فَأَنَّى تُؤْفَكُونَ

Terjemahnya;

Katakanlah: "Apakah di antara sekutu-sekutumu ada yang dapat memulai penciptaan makhluk, kemudian mengulanginya (menghidupkannya) kembali?" katakanlah: "Allah-lah yang memulai penciptaan makhluk, kemudian mengulanginya (menghidupkannya) kembali; maka bagaimanakah kamu dipalingkan (kepada menyembah yang selain Allah)?" (QS 10:34).

Ketiga ayat tersebut secara abstrak menjelaskan proses penciptaan yang dilakukan berulang. Seperti halnya energi dan partikel yang selalu tercipta dalam setiap proses peluruhan. Meskipun proses peluruhan berlangsung berbeda-beda dan hasil yang juga berbeda, namun semua proses selalu tunduk dengan aturan atau hukum yang dikenal dengan hukum kekekalan. Hukum ini dalam versi agama dapat diartikan sebagai *sunnatullah*, atau sesuai dengan ketetapan yang telah digariskan oleh Allah Swt.

Surat *Al-Fath* ayat 23,

سُنَّةَ اللَّهِ الَّتِي قَدْ خَلَتْ مِنْ قَبْلُ وَلَنْ تَجِدَ لِسُنَّةِ اللَّهِ تَبْدِيلًا

Terjemahnya;

Sebagai suatu sunnatullah yang telah berlaku sejak dahulu, kamu sekali-kali tiada akan menemukan perubahan bagi sunnatullah itu. (QS 48:23)

Surat *Ar-Rahman* ayat 29,

يَسْأَلُهُ مَنْ فِي السَّمَوَاتِ وَالْأَرْضِ كُلَّ يَوْمٍ هُوَ فِي شَأْنٍ

Terjemahnya;

Semua yang ada di langit dan di bumi selalu meminta kepada-Nya. Setiap waktu Dia dalam kesibukan. (QS 55:29).

Surat *Yunus* ayat 3,

إِنَّ رَبَّكُمُ اللَّهُ الَّذِي خَلَقَ السَّمَوَاتِ وَالْأَرْضَ فِي سِتَّةِ أَيَّامٍ ثُمَّ اسْتَوَىٰ عَلَى الْعَرْشِ يُدِيرُ الْأَمْرَ
مَا مِنْ شَيْءٍ إِلَّا مِنْ عِنْدِ إِذْنِهِ ذَلِكُمْ اللَّهُ رَبُّكُمْ فَاعْبُدُوهُ أَفَلَا تَذَكَّرُونَ

Terjemahnya;

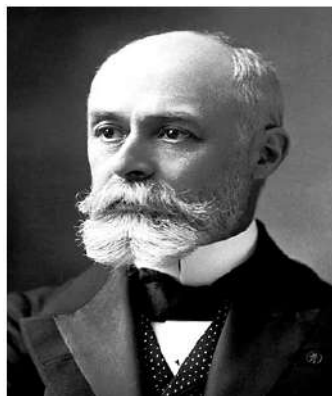
Sesungguhnya Tuhan kamu ialah Allah Yang menciptakan langit dan bumi dalam enam masa, kemudian Dia bersemayam di atas `Arsy untuk mengatur segala urusan. Tiada seorangpun yang akan memberi syafa`at kecuali sesudah ada izin-Nya. (Dzat) yang demikian itulah Allah, Tuhan kamu, maka sembahlah Dia. Maka apakah kamu tidak mengambil pelajaran? (QS 10:3).

Dua ayat diatas mengisyaratkan bahwa Allah pada dasarnya selalu “sibuk” dalam mengatur segala urusan (ciptaannya). Termasuk

mencipta dan memusnahkan partikel. Sibuk dalam artian Allah Swt. telah menetapkan segala sesuatu sesuai dengan kehendaknya.

3.1. Radioaktivitas

Radioaktivitas merupakan proses pemancaran emisi radioaktif secara spontan oleh inti yang tidak stabil. Gejala radioaktivitas pertama kali ditemukan oleh Henri Becquerel pada tahun 1896 dalam bentuk emisi uranium. Emisi ini diperoleh dari garam uranium yang diletakkan dalam plat fotografi dan ditutupi dengan kertas hitam kemudian dijemur dibawah sinar matahari. Hasil yang ia peroleh menunjukkan bahwa plat fotografi itu selalu berkabut setelah dicuci meskipun tidak terkena matahari langsung. Dua tahun setelah penemuan Becquerel (1898) Pierre Curie dan Marie Curie mengumumkan hasil eksperimen mereka bahwa mereka baru saja mengidentifikasi dua unsur yang saat itu belum diketahui, yang kemudian di beri nama polonium dan radium. Kedua unsur ini lebih radioaktif dari uranium. Selama sepuluh tahun berikutnya eksperimen mengenai radioaktif semakin menarik minat para ilmuwan saat itu, H. Becquerel, Pierre dan Marie Curie, Ernest Rutherford dan Frederick Soddy adalah beberapa ilmuwan yang memiliki kontribusi dalam bidang ini pada awal abad ke-20. Salah satu penemuan yang tak kalah penting adalah penemuan radioaktif buatan (*artificial*) oleh Irene dan Frederick Juliot pada tahun 1934, yang memperkenalkan jumlah nuklida dan energi nuklir bumi. Hasil ini kemudian menunjukkan bahwa fenomena radioaktivitas antara radioanuklida buatan dan radioanuklida alami memiliki kesamaan. Blanc dan Portal pada tahun 1999 memperkenalkan energi struktur dari sebuah inti atom dengan prinsip yang berbeda, transformasi radioaktif spontan dapat dikategorikan berdasarkan energinya, apakah interaksi kuat, interaksi elektrostatis atau interaksi lemah.



Antonie Henri Becquerel, lahir 15 Desember 1852 di Paris Prancis dan meninggal 25 Agustus 1908 di Le Croisic, Prancis. Memperoleh gelar ingénieur tahun 1877, dipromosikan menjadi ingénieur-en-chef tahun 1894 dan meraih docteur-ès-sciences pada tahun 1888 di École Polytechnique, Paris. Menerima hadiah nobel pada tahun 1903 (bersama Pierre Curie dan Marie Curie) atas jasanya yang luar biasa dalam penemuan radioaktif spontan.

3.2. Konstanta Peluruhan

Proses peluruhan radioaktif adalah suatu peristiwa statistik (stokastik). Jumlah inti atom yang meluruh setiap satuan waktu, $(\Delta N/\Delta t)$ bersesuaian dengan jumlah inti sebelum meluruh, N , atau secara matematis dapat dituliskan

$$\frac{\Delta N}{\Delta t} \propto N \quad (3.1)$$

atau

$$\frac{\Delta N}{\Delta t} = -\lambda N \quad (3.2)$$

dimana λ merupakan *konstanta peluruhan*, tanda negatif mengindikasikan bahwa jumlah inti atom (N) menurun dengan bertambahnya waktu (t) atau jumlah yang telah meluruh semakin meningkat. Jika ΔN dan Δt sangat kecil (dapat dianggap sebagai sebuah cuplikan) maka persamaan (3.1) menjadi bentuk deffrensial

$$\frac{dN}{dt} = -\lambda N \quad (3.3)$$

atau

$$\frac{dN}{N} = -\lambda dt \quad (3.4)$$

Dengan mengintegrasikan kedua ruas

$$\int_{N_0}^N \frac{dN}{N} = \int_0^t -\lambda dt$$

$$\int_{N_0}^N \frac{dN}{N} = -\lambda \int_0^t dt$$

$$\ln N - \ln N_0 = -\lambda t$$

$$N = N_0 e^{-\lambda t} \quad (3.5)$$

Persamaan (3.5) diatas merupakan persamaan eksponensial peluruhan radioaktif yang menyatakan banyaknya inti *atom* yang belum meluruh atau banyaknya inti atom yang telah meluruh dalam selang waktu t .

3.3. Aktivitas

Aktivitas menyatakan laju peluruhan inti atom radioaktif dengan simbol matematis A . Besarnya aktivitas suatu unsur radioktif dinyatakan

$$A = \frac{dN}{dt}$$

atau

$$A = -\lambda N \quad (3.6)$$

Sehingga dengan menggunakan metode yang sama pada persamaan (3.4) diperoleh

$$A = A_0 e^{-\lambda t} \quad (3.7)$$

dimana A adalah aktivitas akhir dan A_0 aktivitas awal.

Satuan aktivitas adalah *curie (Ci)* yang didefenisikan sebagai aktivitas 1 gram radium.

$$1 \text{ Ci} = 3.7 \times 10^{10} \text{ disintegration/sec (dps)}$$

$$1 \text{ mCi} = 10^{-3} \text{ Ci} = 3.7 \times 10^7 \text{ dps}$$

$$1 \mu\text{Ci} = 10^{-6} \text{ Ci} = 3.7 \times 10^4 \text{ dps}$$

Dalam SI satuan aktivitas dinyatakan dalam Becquerel (Bq), dengan komposisi lebih kecil dari Ci,

$$1 \text{ Bq} = 1 \text{ dps} = 2.70 \times 10^{-11} \text{ Ci}$$

3.4. Waktu paruh dan waktu hidup rata-rata

Waktu Paruh

Waktu paruh ($T_{1/2}$) menyatakan waktu yang diperlukan oleh sebuah unsur radioaktif (jumlah atau aktivitasnya) untuk meluruh hingga menjadi setengah dari nilai semula. Dengan demikian, maka persamaan (3.5 dan (3.7) menjadi

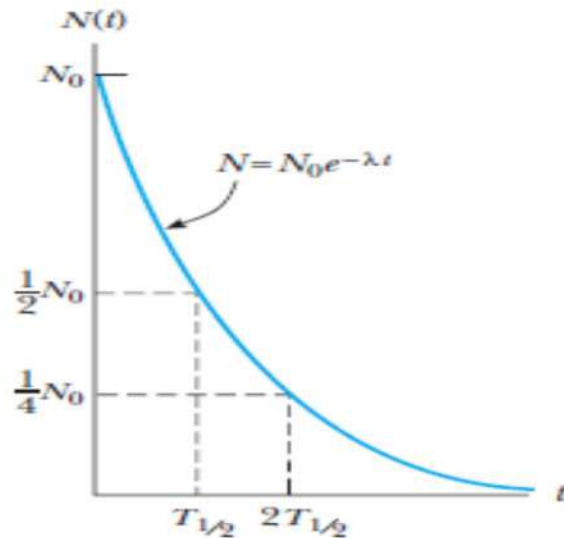
$$\frac{N}{N_0} = \frac{1}{2} \text{ atau } \frac{A}{A_0} = \frac{1}{2} \text{ dan } t = T_{1/2} \quad (3.8)$$

sehingga

$$\frac{1}{2} = e^{-\lambda T_{1/2}} \quad \text{atau} \quad T_{1/2} = \frac{\ln 2}{\lambda} \quad (3.9)$$

Dengan $\ln 2$ bilangan logaritma dengan nilai 0,692, sehingga

$$T_{1/2} = \frac{0,693}{\lambda} \quad (3.10)$$



Gambar 3.1 Skema peluruhan radioaktif terhadap waktu paruh.

Gambar 3.1 diatas mengilustrasikan eksponensial peluruhan radioaktif sebagai fungsi waktu (waktu paruh). Setelah mencapai waktu paruh, aktivitasnya menurun hingga $\frac{1}{2}$ dari nilai semula, setelah dua waktu paruh aktivitasnya menjadi $\frac{1}{4}$ dan seterusnya.



Marie Curie, née Sklodowska Lahir 7 November 1867 di warsawa, Polandia dan meninggal 4 Juli 1934 di Sallanches, Prancis. Memperoleh Doctor of Science di Sorbonne pada tahun 1903 dibawah bimbingan Pierre Curie yang sekaligus sebagai suaminya. Bersama suaminya memperoleh the Davy Medal dari the Royal Society in 1903 dan Menerima hadiah nobel bersama Pierre Curie dan Henry Becquerel pada tahun 1903 atas jasanya terhadap riset dalam fenomena radiasi yang ditemukan oleh professor henri becquerel.

Curie menerima hadiah nobel kedua dalam bidang kimia pada tahun 1911 atas jasanya dalam penemuan unsur radium dan polonium.

Waktu Hidup Rata-Rata

Waktu hidup rata-rata menyatakan waktu yang dibutuhkan oleh inti atom radioaktif untuk meluruh. Meskipun secara teori waktu hidup rata-rata menyatakan waktu keseluruhan untuk meluruh hingga habis, namun waktu hidup rata-rata (T_a) juga dapat dipahami sebagai waktu yang dibutuhkan untuk meluruh dalam selang waktu tertentu ($t = 0$ hingga $t = t$) hingga aktivitasnya konstan. Berdasarkan persamaan (3.6) dan jumlah seluruh atom (yang meluruh dan yang belum meluruh) harus sama dengan N_o , maka

$$T_a \lambda N_o = N_o$$

atau

$$T_a = \frac{1}{\lambda} \quad (3.11)$$

Dengan menggabungkan persamaan (3.10) dan persamaan (3.11) diperoleh hubungan antara waktu paruh dan waktu hidup rata-rata,

$$T_a = 1,44T_{1/2} \quad (3.12)$$

Contoh 1

Setelah selang waktu berapa 60 persen radon ($T_{1/2} \text{ } ^{226}\text{Ra} = 3,8$ hari) meluruh?

Jawaban:

Berdasarkan persamaan (3.5)

$$N = N_o e^{-\lambda t} \text{ atau } -\lambda t = \ln \frac{N}{N_o}$$

$$\lambda t = \ln \frac{N_o}{N}$$

$$t = \frac{1}{\lambda} \ln \frac{N_o}{N}$$

karena $T_{1/2} = \frac{0,693}{\lambda}$ maka,

$$t = \frac{3,8 \text{ hari}}{0,693} \ln \frac{N_o}{(1 - 0,6)N_o}$$

$$t = \frac{3,8 \text{ hari}}{0,693} \ln \frac{1}{0,4}$$

$$t = 5,02 \text{ hari}$$

Contoh 2

Tentukan aktivitas 1 mg ^{222}Rn .

Jawaban:

Terlebih dahulu dihitung konstanta peluruhan radon, yaitu

$$\lambda = \frac{0,693}{T_{1/2}} = \frac{0,693}{3,8 \text{ Hari} \times 86.400 \text{ s}} = 2,1 \times 10^{-6} \text{ s}^{-1}$$

Jumlah atom dalam 1 mg ^{222}Rn adalah

$$N = \frac{1 \times 10^{-6} \text{ kg}}{222 \text{ u} \times (1,66 \times 10^{-27} \text{ kg/u})} = 2,7 \times 10^{18} \text{ atom}$$

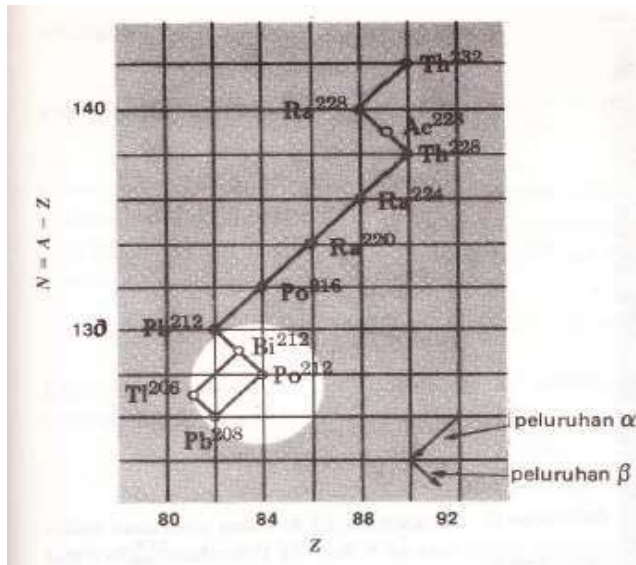
sehingga

$$\begin{aligned} A &= \lambda N = 2,1 \times 10^{-6} \text{ s}^{-1} \times 2,7 \times 10^{18} \\ &= 5,7 \times 10^{12} \text{ kejadian/s} \\ &= 5,7 \times 10^3 \text{ GBq} \\ &= 153 \text{ Ci} \end{aligned}$$

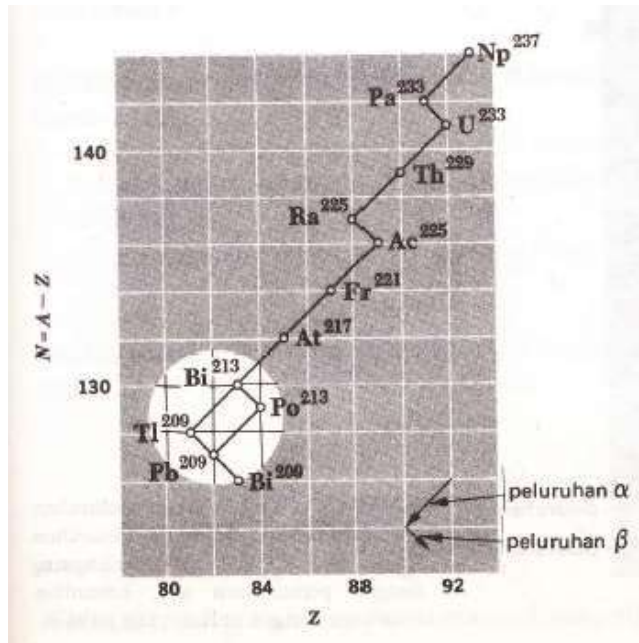
3.5. Deret Radioaktif

Hingga saat ini sudah lebih dari 100 unsur yang telah diketahui, dimana 92 yang pertama ($Z=1$ sampai $Z=92$) merupakan unsur alami dan sisanya merupakan unsur buatan. Secara umum unsur yang memiliki Z yang lebih kecil akan lebih stabil sedangkan unsur dengan Z yang besar akan bersifat radioaktif.

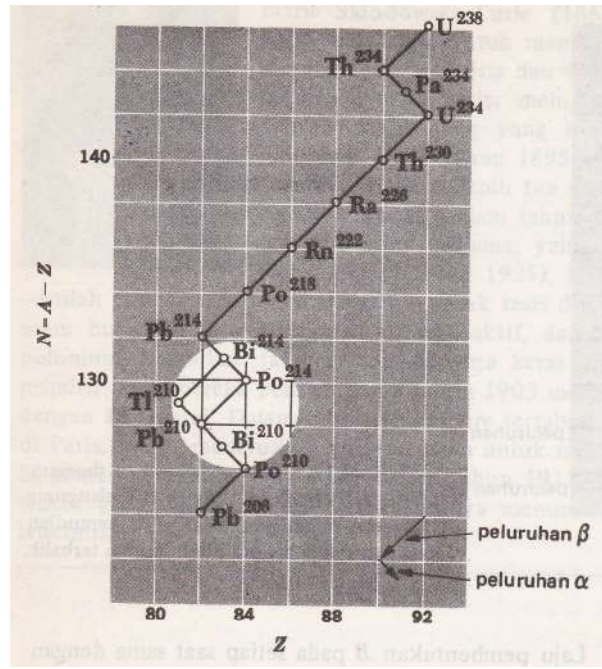
Hingga saat ini hanya terdapat empat jenis deret radioaktif yang diperoleh dari produk nuklida anak yang berasal dari induk radionuklida tunggal. Keempat deret radioaktif tersebut dapat dilihat pada tabel 3.2.



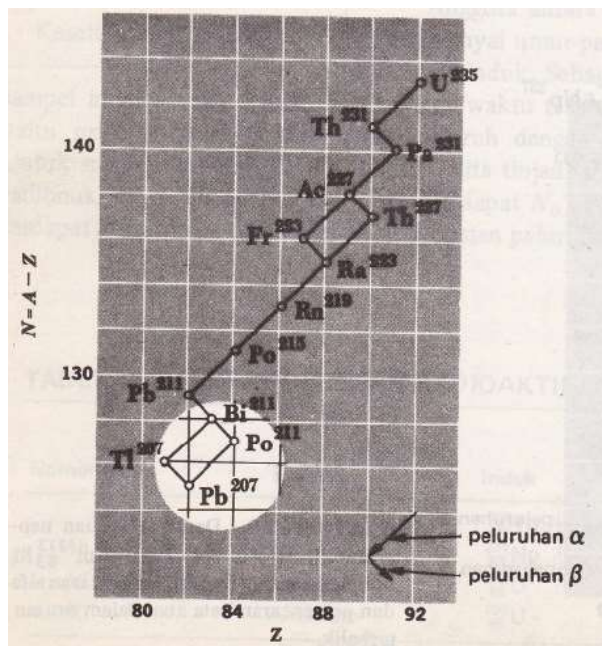
Gambar 3.2 Deret Peluruhan thorium ($A = 4n$)



Gambar 3.3 Deret peluruhan neptunium ($A = 4n + 1$)



Gambar 3.4 Deret peluruhan uranium ($A = 4n + 2$)



Gambar 3.5 Deret peluruhan actinium ($A = 4n + 3$)

Tabel 3.2 deret radioaktif

Nomor Massa	Jenis Deret Radioaktif	Induk	Waktu Paruh (tahun)	Nuklida anak yang mantap
4n	Thorium	${}^{232}_{90}\text{Th}$	$1,93 \times 10^{10}$	${}^{208}_{82}\text{Pb}$
4n + 1	Neptunium	${}^{237}_{93}\text{Np}$	$2,25 \times 10^6$	${}^{209}_{83}\text{Bi}$
4n + 2	Uranium	${}^{238}_{92}\text{U}$	$4,51 \times 10^9$	${}^{206}_{82}\text{Pb}$
4n + 3	Actinium	${}^{235}_{92}\text{U}$	$7,07 \times 10^8$	${}^{207}_{82}\text{Pb}$

3.6. Keseimbangan radioaktif

Keseimbangan radioaktif menyatakan rasio antara aktivitas radionuklida yang meluruh dengan aktivitas radionuklida hasil peluruhan telah konstan. Radionuklida yang meluruh disebut induk (*parent*) dan radionuklida hasil peluruhan disebut radionuklida anak (*daughter*), kedua radionuklida tersebut bersifat radioaktif. Waktu paruh induk radionuklida selalu lebih besar dari waktu paruh yang dimiliki anak radionuklida yang bersangkutan. Jika konstanta peluruhan radionuklida induk adalah λ_1 maka konstanta peluruhan untuk radionuklida anak, λ_2 demikian pula dengan aktivitasnya. Sehingga berdasarkan persamaan (3.3)

$$dN_1 = -\lambda_1 N_1 dt$$

atau

$$dN_2 = \lambda_1 N_1 dt - \lambda_2 N_2 dt \quad (3.13)$$

Sedangkan aktivitasnya menjadi

$$A_{1t} = A_{1t_0} e^{-\lambda_1 t} \quad (3.14)$$

Sehingga

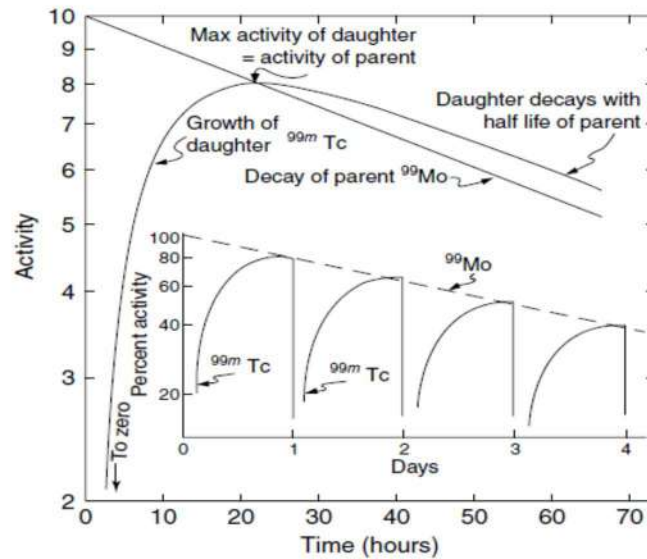
$$\begin{aligned} A_{2t} &= \frac{\lambda_2}{\lambda_2 - \lambda_1} A_{1t_0} [e^{-\lambda_1 t} - e^{-\lambda_2 t}] \\ &= \frac{\lambda_2}{\lambda_2 - \lambda_1} A_{1t_1} (1 - e^{-(\lambda_2 - \lambda_1)t}) \end{aligned} \quad (3.15)$$

A_1 adalah aktivitas radionuklida induk dan meluruh secara eksponensial, sedangkan A_2 , aktivitas radionuklida anak dengan $T_{1/2}$ induk $\gg T_{1/2}$ anak, maka persamaan (3.15) menjadi

$$\frac{A_2}{A_1} = \frac{\lambda_2}{\lambda_2 - \lambda_1}$$

$$\frac{A_1}{A_2} = \frac{\lambda_2 - \lambda_1}{\lambda_2} \quad (3.16)$$

Ilustrasi mengenai aktivitas radionuklida induk dengan anak diperlihatkan dalam gambar 3.6 berikut



Gambar 3.6 Aktivitas peluruhan radionuklida induk ^{99}Mo ($T_{1/2}=66,7$ hari) dan peningkatan aktivitas radionuklida anak ^{99m}Tc ($T_{1/2}=6,03$ hari) sebagai fungsi waktu.

(Sumber: Johns, H.E. dan Cunningham, J.R., *the Physics of Radiology*, 4th Ed dalam P. Mayles, *et. El.*, 2007)

Gambar 3.6 diatas menunjukkan aktivitas radionuklida induk dan anak yang sedang meluruh, rasio aktivitas keduanya (induk dan anak) mendekati nilai konstan. Gambar insert menunjukkan data yang sama ketika radionuklida anak bertambah (“menyusu”) dari radionuklida induk dalam setiap hari. Hal ini juga menunjukkan bahwa hanya sekitar 86% inti ^{99}Mo yang meluruh menjadi ^{99m}Tc , sehingga aktivitas ^{99m}Tc 14% lebih kecil dari aktivitas induknya.

Contoh 3

Secuplik batuan yang memadat dengan bumi $4,55 \times 10^9$ tahun yang lalu mengandung N buah atom ^{235}U . Jika waktu paruh ^{235}U adalah $7,04 \times 10^8$ tahun, berapa banyak atom ^{235}U dikandung oleh batuan yang sama pada saat batuan tersebut memadat?

Jawaban:

Usia batuan

$$\frac{4,55 \times 10^9 \text{ tahun}}{7,04 \times 10^8 \text{ tahun}} = 6,46 \text{ waktu paruh}$$

Karena waktu paruh memperkecil N dengan faktor 2 ($\ln 2$), maka faktor pengurangan N total adalah

$$2^{6,46} = 88,2$$

Dengan demikian pada awalnya batuan tersebut mengandung $88,2N$ atom ^{235}U .

3.7. Hukum-hukum kekekalan dalam peluruhan radioaktif

Meskipun peluruhan radioaktif bersifat stokastik (acak) namun tetap tunduk pada aturan-aturan hukum tertentu. Hukum-hukum kekekalan yang di kenal dalam fisika klasik pada dasarnya juga berlaku dalam peristiwa peluruhan. Berikut beberapa hukum kekekalan yang dimaksud

3.7.1. Hukum kekekalan energi

Hukum ini yang paling berperan dalam fisika inti (proses peluruhan), karena dapat memberikan informasi mengenai peluruhan mana yang paling mungkin terjadi dan memungkinkan menghitung energi diam atau energi kinetic hasil peluruhan. Sebagai contoh, jika sebuah inti atom X hanya dapat meluruh menjadi inti atom X' yang lebih ringan dan memnacarkan satu atau lebih partikel yang kita sebut x , maka jika massa diam X lebih besar daripada massa diam $X'+x$, selisihnya dapat dihitung.

$$m_N(X)c^2 = m_N(X')c^2 + m_N(x)c^2 + Q$$

$$Q = [m_N(X) - m_N(X') - m_N(x)]c^2 \quad (3.17)$$

Q adalah selisih atau kelebihan energi massa kedua inti dan m_N merupakan massa inti. Peluruhan hanya dapat terjadi jika Q bernilai positif, kelebihan energi ini akan muncul sebagai energi kinetik partikel-partikel yang dihasilkan selama peluruhan. Jika X mula-mula diam, maka

$$Q = K_{x'} + K_x \quad (3.18)$$

3.7.2. Hukum kekekalam momentum

- **Kekekalan momentum linier**

Jika partikel yang meluruh mula-mula diam maka momentum total hasil peluruhan haruslah bernilai nol, sehingga

$$px' + px = 0 \quad (3.19)$$

Pada umumnya massa partikel yang dipancarkan lebih kecil dari massa inti sisa X' sehingga *momentum partikel* px , akan menghasilkan energi kinetik Kx' yang kecil. Untuk peluruhan yang hanya menghasilkan satu partikel maka persamaan (3.17) dan (3.18) dapat diterapkan langsung, namun jika partikel yang dihasilkan lebih dari dua, maka energi kinetik dapat ditentukan dengan mengambil sebarang dari suatu nilai minimum hingga nilai maksimum.

- **Kekekalan momentum sudut**

Kekekalan momentum sudut berkaitan dengan spin S dan orbital l . Spin intrinsik s menunjukkan sifat partikel atau inti yang berasal dari nukleon penyusunnya (proton dan neutron). Spin ini memiliki nilai berupa kelipatan bulat atau setengah pecahan dari \hbar , tergantung dari A (jumlah proton) genap atau ganjil. Sedangkan nilai orbital l selalu terkuantisasikan dalam kelipatan bulat dari \hbar . Momentum sudut total sebelum peluruhan dengan inti X yang diam adalah s_x . setelah peluruhan terdapat sejumlah spin dari inti X' dan partikel-partikel x , ditambah dengan sejumlah momentum sudut $l = r \times p$ dari x dan X' yang bergerak relatif terhadap titik ruang yang sebelumnya hanya ditempati oleh inti X . Sehingga total momentum sudut menjadi

$$s_X = s_{X'} + s_x + l_{X'} + l_x \quad (3.20)$$

3.7.3. Hukum kekekalan muatan listrik

Hukum ini sangat fundamental dalam proses peluruhan, karena melibatkan inti atom yang bermuatan, sehingga seluruh kejadian selama proses peluruhan harus tunduk dan memenuhi hukum kekekalan elektrik. Muatan elektrik total sebelum dan sesudah peluruhan haruslah sama besar.

3.7.4. Hukum kekekalan nomor massa

Hukum ini mensyaratkan jumlah nomor massa (A) sebelum dan sesudah peluruhan adalah sama. Sehingga meskipun dalam proses peluruhan terjadi perubahan –apakah proton menjadi neutron atau sebaliknya-neutron menjadi proton- tidak akan berpengaruh karena jumlah Z dan N akan berubah untuk mempertahankan agar jumlah totalnya tetap seperti semula.

3.8. Radioaktivitas Alam

Radioaktivitas alam menyatakan sifat unsur radioaktif yang masih mengalami peluruhan secara alamiah, hal ini dapat terjadi karena unsur tersebut memiliki waktu paruh yang lama (kira-kira sama dengan umur bumi atau lebih besar), sehingga masih dapat diamati. Tabel 3.1 berikut memperlihatkan beberapa radioaktivitas alam yang masih dapat teramati

Table 3.2 beberapa radioaktivitas alam

Isotop	Waktu paruh, $T_{1/2}$
^{40}K	$1,28 \times 10^9$ tahun
^{87}Rb	$4,8 \times 10^{10}$ tahun
^{92}Nb	$3,2 \times 10^7$ tahun
^{113}Cd	9×10^{15} tahun
^{115}In	$5,1 \times 10^{14}$ tahun
^{138}La	$1,1 \times 10^{11}$ tahun
^{176}Lu	$3,6 \times 10^{10}$ tahun
^{187}Re	4×10^{10} tahun

Beberapa unsur radioaktif juga dihasilkan secara kontinu dalam atmosfer bumi sebagai sebagai hasil dari reaksi inti antara molekul udara dengan partikel berenergi tinggi (sinar kosmik). Salah satu yang paling banyak dikenal karena kegunaannya adalah ^{14}C yang mengalami peluruhan beta dengan waktu paruh 5730 Tahun.

Semua tumbuhan yang menyerap CO_2 dari atmosfer akan mengandung atom ^{14}C (sekitar 1 dalam 10^{12}), ^{12}C (99%) dan ^{13}C (1%). Dengan mengetahui komposisi ini maka umur suatu tumbuhan yang telah mati bahkan hingga ribuan tahun yang lalu dapat ditentukan. Metode ini banyak digunakan oleh para arkeologi, geologi dan forensik.

Latihan

Untuk memahami lebih jauh mengenai konsep diatas, kerjakanlah soal berikut:

1. Jelaskan mengapa inti radioaktif selalu merupakan unsur dengan nomor atom yang besar?
2. Kemukakan hukum-hukum kekekalan yang berlaku dalam proses peluruhan radioaktif.
3. Apa yang dimaksud dengan konstanta peluruhan dan jelaskan makna fisisnya.
4. Turunkan persamaan jumlah inti atom yang telah meluruh dan aktivitas radioaktif.
5. Berpakah waktu yang diperlukan bagi 5 mg ^{22}Na ($T_{1/2} = 2,60$ tahun) untuk mereduksi hingga 1 mg?

Rangkuman

1. Radioaktivitas merupakan proses pemancaran emisi radioaktif secara spontan oleh inti yang tidak stabil.
2. Jumlah inti atom yang telah meluruh atau jumlah inti atom yang masih tersisa setelah seang waktu t dapat ditentukan dengan persamaan

$$N = N_0 e^{-\lambda t} \quad (3.5)$$

3. Aktivitas menyatakan laju peluruhan inti atom radioaktif dengan simbol matematis A yang besarnya dapat ditentukan dengan persamaan

$$A = A_0 e^{-\lambda t} \quad (3.7)$$

4. Waktu paruh menyatakan waktu yang dibutuhkan oleh suatu atom untuk meluruh menjadi setengahnya sedangkan waktu hidup rata-rata merupakan waktu yang dibutuhkan suatu radionuklida untuk meluruh hingga aktivitasnya konstan. Secara berturut-turt memenuhi nilai sebesar

$$T_{1/2} = \frac{0,693}{\lambda} \text{ dan } T_a = 1,44T_{1/2}$$

5. Terdapat empat deret radioaktif yakni deret Thorium, Neptunium, Uranium dan Actinium
6. Proses peluruhan radioaktif juga tunduk pada hukum-hukum kekekalan yang dikenal dalam fisika klasik yaitu hukum kekekalan energy, kekekalan massa, kekekalan momentum dan kekekalan muatan.
7. Radioaktivitas alam yang teramati pada dasarnya merupakan unsure radioaktif yang memiliki waktu paruh yang sangat lama, paling tidak seumur dengan bumi dan masih mengalami proses peluruhan.

Tes Formatif

1. Tentukan berapa jumlah atom yang tedapat dalam 1 gram ^{226}Ra
Jawaban: 2.66×10^{21}
2. Berapa aktivitas dari 1 gram ^{226}Ra jika memiliki waktu paruh 1622 tahun.

$$\textit{Jawaban: } 0.975 \text{ Ci/g}$$

3. Tentukan konstanta peluruhan untuk ^{60}Co ($T_{1/2}=5,26$ tahun) dalam satuan bulan.

$$\textit{Jawaban: } 1.0979 \times 10^{-2} / \textit{bulan}$$

4. Berapakah aktivitas ^{60}Co setelah 4 tahun jika diketahui aktivitas awalnya 5000 Ci.

Jawaban: 29,52 Ci

5. Jika diberikan 5 mCi ^{131}I ($T_{1/2}=8,05$ hari) dan 5 mCi ^{32}P ($T_{1/2}=14,3$ hari), tentukan kapan aktivitas keduanya sama.

Jawaban: saat $t = 24,34$ hari

6. Hasil bagi antara isotop uranium ^{238}U dan ^{234}U dalam sampel mineral adalah $1,8 \times 10^4$. Waktu paruh ^{234}U adalah $T_{1/2}(^{234}\text{U})=2,5 \times 10^5$ tahun. Tentukan waktu paruh ^{238}U .

Jawaban: $4,5 \times 10^9$ tahun

7. Pada jarak berapakah intensitas berkas neutron 5 eV tereduksi oleh suatu faktor di dalam ruang hampa? ($T_{1/2}=12,8$ menit)

Jawaban: 23.800 km

8. Jika 3×10^{-9} kg radioaktif $^{200}_{79}\text{Au}$ memiliki aktivitas 58,9 Ci, berapakah waktu paruhnya?

Jawaban: $2,88 \times 10^3 \text{ s} = 48$ menit

9. Aktivitas sampel ^{55}Cr pada akhir interval 5 menit diperoleh sebesar 19,2; 7,131; 2,65; 0,99; dan 0,37 mCi. Berapakah waktu paruh sampel tersebut?

Jawaban: 3,52 menit

10. Tunjukkan bahwa rata-rata waktu paruh suatu inti radioaktif sama dengan, $T_m = \frac{1}{\lambda}$

Jawaban: terbukti

BAB IV PELURUHAN INTI

A. Gambaran Singkat Mengenai Materi Kuliah

Pokok bahasan ini menjelaskan tentang peristiwa peluruhan inti. Peluruhan inti yang dimaksud lebih dikhususkan pada peluruhan partikel alfa, peluruhan beta dan peluruhan partikel gamma. Peluruhan alfa sering juga disebut sebagai peluruhan helium-4, sedangkan peluruhan beta dapat berupa beta positif (e^+) atau beta negative (e^-) maupun penangkapan elektron. Peluruhan gamma pada dasarnya peluruhan yang hanya memancarkan foton tanpa merubah inti induk, sehingga inti induk tetap sama dengan inti anak. Seluruh proses peluruhan tunduk pada hukum kekekalan energi, massa dan momentum. Selain itu persamaan reaksi peluruhan juga tunduk pada kekekalan muatan.

B. Pedoman Mempelajari Materi

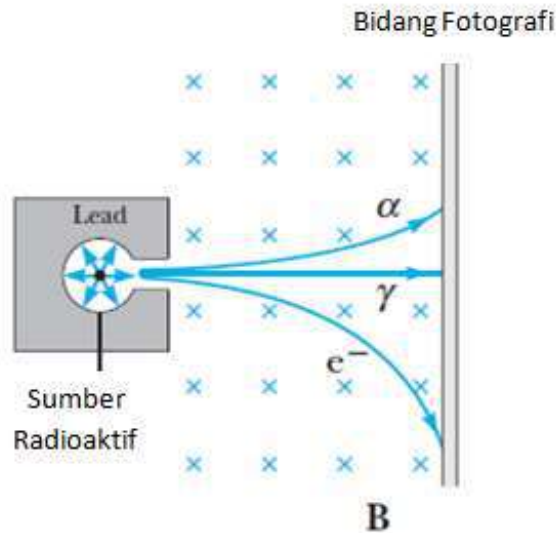
Bacalah dengan seksama dan pahami teori yang disajikan. Untuk lebih memahami, disajikan contoh soal pada setiap akhir materi. Rangkuman materi dapat digunakan untuk memfokuskan pada inti materi yang disajikan. Kerjakanlah soal latihan dan tes formatif agar konsep tertanam dengan baik.

C. Tujuan Pembelajaran

Setelah mempelajari materi ini mahasiswa diharapkan dapat

1. Menjelaskan proses peluruhan alfa dengan baik
2. Menjelaskan potensial halang dengan baik
3. Menjelaskan proses peluruhan beta dengan baik
4. Menjelaskan apa yang dimaksud dengan neutrino dan anti neutrino
5. Menjelaskan jenis-jenis peluruhan beta yang mungkin dengan baik
6. Dapat menjelaskan proses terjadinya peluruhan gamma dengan baik

Proses peluruhan radioaktif secara spontan selalu berlangsung dalam salah satu proses diantara tiga proses, yaitu peluruhan alfa, peluruhan beta atau peluruhan gamma. Ilustrasi reaksi ketiga partikel diperlihatkan pada gambar 4.1.



Gambar 4.1 Ilustrasi reaksi partikel dari suatu sumber radioaktif

Ilustrasi diatas menggambarkan arah setiap jenis partikel yang dihasilkan dari reaksi suatu sampel radioaktif dalam medan magnet B. Medan magnet B mengarah kedalam kertas, tampak bahwa partikel beta (e^-) mengalami pembelokan arah yang sangat besar sedangkan partikel alfa mengalami penyimpangan yang lebih kecil. Hal berbeda ditunjukkan oleh partikel gamma, medan magnet B sama sekali tidak memberikan pengaruh terhadap arah partikel, ini terjadi karena partikel gamma tidak bermuatan. Karakteristik ketiga jenis partikel diberikan oleh table berikut;

Tabel 4.1 Karakteristik partikel

Partikel	Simbol	Muatan	Massa	Kecepatan
Alfa	α	Positif 2 (He)	Realtif berat	Relatif lambat
Beta	β	Negatif (β^-) Positif (β^+)	Sekitar 8.000 kali massa cahaya	Sedikit lebih rendah dari c
Gamma	γ	-	-	$c = 3 \times 10^8$ dalam ruang hampa

Tercipta dari reaksi peluruhan apapun, setiap partikel akan tetap akan berkelakuan sesuai dengan karakteristiknya masing-masing. Karakteristik setiap jenis partikel tersebut memperlihatkan sebuah

keteraturan. Hal ini seakan-akan menunjukkan bahwa setiap partikel telah ditetapkan atau diatur kelakuan atau takdirnya. Hal ini sesuai dengan Firman Allah Swt. Dalam surat *Az-Zumar* ayat 62,

اللَّهُ خَلَقَ كُلَّ شَيْءٍ وَهُوَ عَلَىٰ كُلِّ شَيْءٍ وَكِيلٌ

Terjemahnya;

Allah menciptakan segala sesuatu dan Dia memelihara segala sesuatu.

(QS39:62).

dan surat *Al-Fath* ayat 23,

سُنَّةَ اللَّهِ الَّتِي قَدْ خَلَتْ مِن قَبْلُ وَلَنْ تَجِدَ لِسُنَّةِ اللَّهِ تَبْدِيلًا

Terjemahnya;

Sebagai suatu sunnatullah yang telah berlaku sejak dahulu, kamu sekali-kali tiada akan menemukan perubahan bagi sunnatullah itu. (QS 48:23).

4.1. Peluruhan Alfa, α

Ketika sebuah inti tidak stabil meluruh dan memancarkan sebuah partikel alfa, α , (${}^4_2\text{He}$), inti akan kehilangan dua proton dan dua neutron. Pada reaksi ini nomor atom Z berkurang dua dan massa atom A berkurang dua sedangkan neutron juga berkurang dua partikel. Proses reaksi ini dapat digambarkan menurut persamaan reaksi berikut;

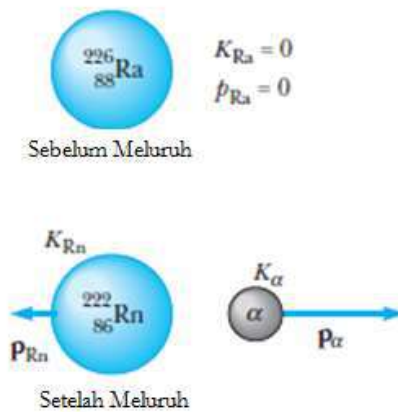


dimana X disebut sebagai *inti induk* dan Y sebagai *inti anak*. Sebagai contoh, ${}^{238}_{92}\text{U}$ dan ${}^{226}_{88}\text{Ra}$, keduanya memancarkan partikel alfa, α , saat meluruh menurut persamaan



dengan waktu paruh masing-masing, ${}^{238}\text{U} = 4,47 \times 10^9$ tahun dan ${}^{226}\text{Ra} = 1,60 \times 10^3$ tahun. Pada kedua reaksi peluruhan diatas, yang menarik adalah bahwa nomor massa inti anak (*daughter nucleus*) 4 kali lebih kecil dari nomor massa inti induk (*parent nucleus*), demikian halnya untuk nomor atomnya, masing-masing berkurang 2. Hasil eksperimen menunjukkan bahwa ketika terjadi emisi partikel alfa, α , atau setiap

peluruhan partikel α , akan menghasilkan (melepaskan) energi karena hasil peluruhan (partikel α selalu dihasilkan bersama dengan inti anak). Gambaran mengenai peluruhan α dapat dilihat pada gambar 4.2 berikut;



Gambar 4.2 Gambaran peluruhan partikel alfa dari Radium

Gambar 4.2 melukiskan peluruhan spontan dari ^{226}Ra . Sebagaimana hukum yang umum dalam peluruhan, reaksi harus;

- Jumlah nomor massa A harus sama untuk kedua ruas (sebelum dan sesudah reaksi).
- Muatan juga harus sama pada kedua ruas persamaan reaksi.

Sebagai tambahan, total dari energi relativistic dan momentum harus tetap. Jika massa atom inti induk adalah M_X , massa atom inti anak, M_Y dan massa untuk partikel alfa, M_α maka dapat ditentukan energi, Q disintegrasinya

$$Q = (M_X - M_Y - M_\alpha) c^2 \quad (4.4)$$

Catatan bahwa massa atom lebih besar dari massa inti dapat diterapkan, sebab massa elektron tidak digunakan dalam evaluasi perbedaan massa. Q dalam joule dan massa dalam kilogram, sedangkan c adalah kecepatan cahaya, $c = 3,0 \times 10^8$ m/s. Jika satuan dibuat dalam satuan massa atom, u maka persamaan (4.4) dapat dituliskan

$$Q = (M_X - M_Y - M_\alpha) \times 931,5 \text{ MeV}/u \quad (4.5)$$

Energi Q muncul sebagai energi kinetic inti anak dan partikel alfa, α . Dalam gambar 4.1, peluruhan partikel ^{226}Ra , energi kinetic Q yang dihasilkan sebesar 4,87 MeV. Kebanyakan energi kinetic ini berasal dari partikel alfa karena massanya lebih ringan dari inti anak, ^{222}Rn . Karena lebih ringan tetapi dengan momentum yang sama (^{222}Rn) maka partikel alfa akan memiliki kecepatan yang lebih tinggi dari inti anak, ^{222}Rn .

Pada dasarnya sangat mudah untuk menghitung fraksi (bagian) dari reaksi yang menghasilkan partikel alfa, α , yaitu dengan meninjau kekekalan energi dan momentumnya:

$$Q = K_Y = K_\alpha \quad (4.6)$$

dan

$$p_Y = p_\alpha \quad (4.7)$$

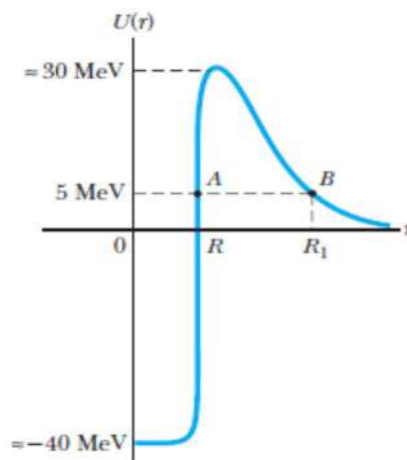
dengan Y menunjukkan inti anak. Karena total energi kinetic yang dilepaskan dalam peluruhan alfa (beberapa MeV) lebih kecil dari energi diam partikel alfa (3726 MeV) dan energi inti anak (206,793 MeV untuk ^{222}Rn , maka dapat digunakan ekspresi klasik dari energi kinetik dan momentum dalam persamaan 4.6 dan 4.7

$$K_\alpha = \frac{M_Y}{M_Y + M_\alpha} Q \quad (4.8)$$

Dimana M_Y dan M_α merupakan massa atom partikel anak dan partikel alfa, α .

Bagian yang menarik adalah jika diasumsikan bahwa ^{238}U (atupun emisi alfa yang lain) meluruh habis dengan mengemisikan proton atau neutron, massa dari hasil peluruhan akan melebihi partikel induk, namun dengan nilai energi Q negative. Nilai Q yang negative mengindikasikan bahwa peluruhan tidak berlangsung spontan.

Bayangkan perilaku sebuah partikel alfa dalam inti atom. Gambar 4.3 berikut mengilustrasikan sebuah partikel alfa yang terperangkap dalam inti.



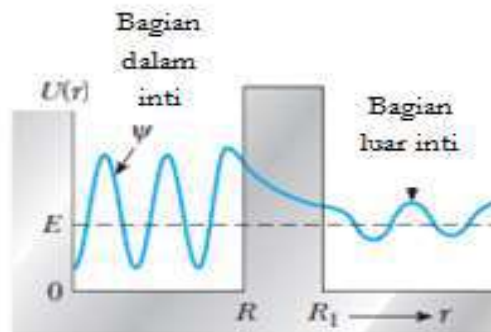
Gambar 4.3 Partikel alfa (5 MeV) yang terperangkap dalam potensial inti suatu atom

Pada gambar 4.3 yang di plot sebagai potensial energi versus jarak r dari inti untuk menggambarkan karakteristik partikel alfa dan system inti, dimana R adalah rentang dari gaya inti. Berdasarkan kurva dalam gambar diatas merepresentasikan beberapa efek kombinasi yakni

- Energi gaya tolak Coloumb, akan memberikan puncak positif untuk $r > R$.
- Gaya tarik-menarik inti, akan menyebabkan kurva bernilai negative untuk $r < R$.

Berdasarkan fisika klasik partikel alfa terperangkap dan tidak mungkin dapat lolos atau keluar dari inti (potensial inti).

Jawaban mengenai kasus tersebut pertama kali diungkapkan oleh George Gamow pada tahun 1928 (Serway *et.al.*, 2005) dan secara terpisah oleh R.W. Gurney dan E. U. Condon dalam tahun 1929 (Nobelprize.org), dengan menggunakan mekanika kuantum. Menurut mekanika kuantum partikel alfa kemungkinan dapat meloloskan diri dari potensial inti tersebut, meskipun energinya lebih kecil dari potensial halang. Peristiwa lolosnya partikel alfa ini disebut sebagai efek terobosan (*tunneling*), jadi partikel alfa tidak meloncati potensial halang tetapi menerobos dinding potensial. Probabilitas lokasi partikel tergantung dari fungsi gelombang ψ dan bahwa probabilitas lokasi partikel ini dapat diukur dengan $|\psi|^2$.



Gambar 4.4 Ilustrasi tunneling partikel alfa pada potensial inti

Ilustrasi diatas menunjukkan fungsi gelombang partikel alfa dengan energi E dalam kotak potensial (potensial inti). Tampak bahwa fungsi gelombang terdeteksi di dalam dan di luar kotak potensial. Meskipun amplitude fungsi gelombang menurun saat dan setelah berada di luar kotak , namun hal ini mengindikasikan bahwa partikel memiliki

probabilitas untuk keluar dari kotak potensial inti. Peningkatan energi partikel E memungkinkan probabilitas partikel untuk meloloskan diri semakin besar dan semakin tipis atau kecil barrier (dinding) potensial semakin mudah partikel meloloskan diri.

Contoh1

Carilah energi kinetik emisi partikel alfa dalam peluruhan partikel alfa pada ^{226}Ra .

Jawaban

Menggunakan persamaan (4.5)

$$Q = (M_X - M_Y - M_\alpha) \times 931,5 \text{ MeV}/u$$

Persamaan reaksinya



Sehingga energinya

$$\begin{aligned} Q &= [m(^{226}\text{Ra}) - m(^{222}\text{Rn}) - m(^4\text{He})]c^2 \\ &= (226,025403 \text{ u} - 222,017571 \text{ u} - 4,002603 \text{ u})(931,5 \text{ MeV}/u) \\ &= 4,871 \text{ MeV} \end{aligned}$$

Maka energi kinetiknya

$$\begin{aligned} K_\alpha &= \frac{M_Y}{M_Y + M_\alpha} Q \text{ atau } K_\alpha = \frac{A-4}{A} Q \\ &= \frac{222}{226} 4,871 \text{ MeV} \\ &= 4,785 \text{ MeV} \end{aligned}$$

Peluruhan partikel alfa pada berbagai reaksi inti dapat dilihat pada table 4.2 berikut;

Table 4.2 Energi partikel alfa pada beberapa reaksi peluruhan

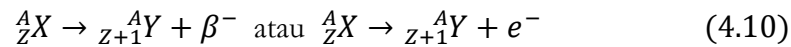
Isotop	K_α (MeV)	$T_{1/2}$	λ (s^{-1})
^{232}Th	4,01	$1,4 \times 10^{10}$ tahun	$1,6 \times 10^{-18}$
^{238}U	4,19	$4,5 \times 10^9$ tahun	$4,9 \times 10^{-18}$
^{230}Th	4,69	8×10^4 tahun	$2,8 \times 10^{-13}$
^{241}Am	5,64	433 tahun	$5,1 \times 10^{-11}$
^{230}U	5,89	20,8 hari	$3,9 \times 10^{-7}$
^{210}Rn	6,16	2,4 jam	$8,0 \times 10^{-5}$
^{220}Rn	6,69	56 detik	$1,2 \times 10^{-2}$
^{222}Ac	7,01	5 detik	0,14

^{215}Po	7,53	1,8 millidetik	$3,9 \times 10^2$
^{218}Th	9,85	0,11 mikrodetik	$6,3 \times 10^6$

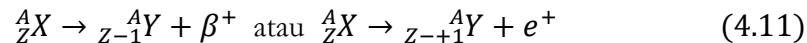
Table diatas menunjukkan perubahan kecil dalam energi peluruhan (dengan faktor 2) tetapi dengan perubahan yang besar pada waktu paruhnya. Sebagai contoh, isotop ^{232}Th dan ^{230}Th (yang mana mempunyai Z yang sama dan oleh karena itu memiliki interaksi Coloumb antara partikel alfa dan partikel produk, anak) energi kinetic berubah hanya 0,68 MeV atau sekitar 15 % saja, sementara waktu paruhnya berubah signifikan.

4.2. Peluruhan Beta, β

Ketika sebuah inti radioaktif meluruh dan menghasilkan partikel beta, β , inti anak akan memiliki jumlah nukleon yang tetap sama dengan inti induk tetapi dengan massa atom yang berbeda. Peluruhan beta dapat terjadi menurut persamaan reaksi berikut



dan



Seperti pada peluruhan partikel alfa dan peluruhan lainnya, pada reaksi ini hokum kekekalan muatan dan kekekalan massa juga berlaku untuk persamaan diatas. Tinjau peluruhan beta berikut



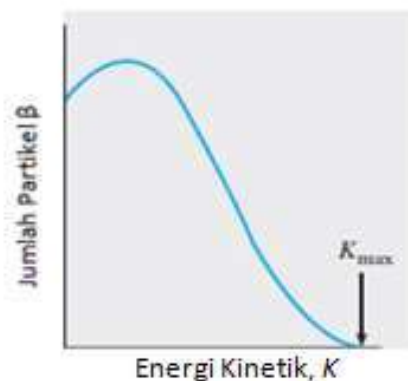
dan



Pada peluruhan beta, sebuah neutron dapat berubah (meluruh) menjadi proton atau sebaliknya. Hal penting yang harus dipahami adalah bahwa elekton atau positron yang muncul ini bukan elektron atau positron yang ada/sudah ada dalam inti (tidak ada elektron atau positron dalam inti tetapi diluar inti yang menempati kulit K, L, M.....) tetapi dihasilkan dalam proses peluruhan.

Berdasarkan energi system sebelum dan sesudah peluruhan, seperti pada peluruhan partikel alfa, dapat diasumsikan bahwa energinya tetap dan inti anak yang lebih berat memiliki energi kinetic yang kecil (tidak signifikan). Hasil eksperimen menunjukkan bahwa partikel beta dari inti tunggal diemisikan dalam range energi kinetic yang kontinu hingga

maksimum, K_{max} . Energi kinetic system setelah peluruhan setara dengan penurunan massa-energi kinetic system, Q . Karena semua inti induk memiliki inisial massa yang sama, maka nilai Q , harus sama untuk setiap peluruhan, seperti pada gambar berikut;



Gambar 4.5 Kurva peluruhan beta.

Gambar 4.5 menunjukkan bahwa energi kinetic maksimum dalam peluruhan beta yang teramati dalam eksperimen bersesuaian dengan nilai Q yang dihasilkan dalam reaksi.

Setelah data hasil eksperimen menunjukkan kesamaan dengan teori, Pauli dalam tahun 1930 mengusulkan bahwa partikel ketiga harus hadir dalam setiap prose peluruhan beta. Partikel ketiga ini dianggap bertanggung jawab atas hilangnya energi dan momentum yang harusnya hadir pada setiap hasil reaksi. E. Fermi kemudian menamakan partikel ini sebagai **neutrino** (partikel kecil yang netral) karena hanya memiliki massa diam yang kecil dan tidak bermuatan. Partikel neutrino, ν , ini kemudian secara eksperimen terdeteksi pada tahun 1956 dengan karakteristik

- Tidak bermuatan
- Memiliki massa diam yang lebih kecil dari elektron. Data eksperimen menunjukkan bahwa neutrino memiliki energi diam tidak nol tetapi lebih kecil dari $2,8 \text{ eV}/c^2$
- Memiliki spin $\frac{1}{2}$, yang mana tunduk pada hukum kekekalan momentum angular saat diaplikasikan dalam peluruhan beta.
- Interaksi dengan materi sangat lemah, sehingga menyebabkan sangat sulit dideteksi.

Untuk analisis peluruhan beta dapat digunakan persamaan berikut



dan



dengan symbol $\bar{\nu}$ sebagai **antineutrino**, anti partikel untuk neutrino. Seperti pada peluruhan alfa, peluruhan-peluruhan ini hanya dapat dianalisis kekekalan energi dan momentumnya, tetapi harus menggunakan ekspresi relativistic. Ekspresi relativistic diperlukan mengingat energi kinetic elektron tidak dapat dibandingkan dengan neutrino karena energi diam neutrino terlalu kecil.

Peruses yang menghasilkan peluruhan e^+ disebut penangkapan elektron (*electron capture*). Hal ini dapat terjadi ketika inti induk menangkap elektron dari orbital atom miliknya sambil mengemisikan sebuah neutrino. Produk akhir hasil peluruhan adalah sebuah inti bermuatan dengan Z-1;



Dalam kebanyakan kasus, penangkapan elektron berasal dari kulit K, sehingga disebut juga penangkapan K (*K capture*). Salah satu contoh proses penangkapan ini terjadi pada reaksi ${}^7_4\text{Be}$ menjadi ${}^7_3\text{Li}$, menurut persamaan reaksi



Bagaiman dengan nilai Q-nya? Nilai Q untuk peluruhan e^- dan penangkapan elektron diberikan oleh

$$Q = (M_X - M_Y)c^2 \quad (4.18)$$

dan nilai Q untuk peluruhan e^+ diberikan oleh

$$Q = (M_X - M_Y - 2m_e)c^2 \quad (4.19)$$

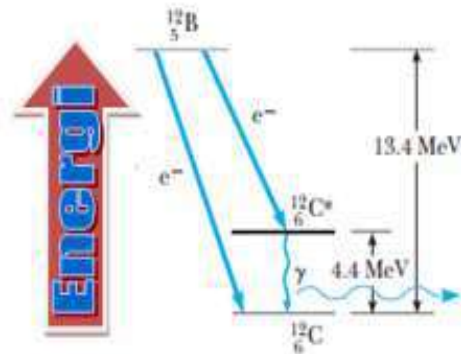
Dengan M_X dan M_Y masing-masing sebagai massa inti induk dan inti anak secara berurutan. Hubungan diatas sangat membantu dalam menentukan apakah memungkinkan atau tidak terjadinya peluruhan beta.

4.3. Peluruhan Gamma, γ

Secara umum sebuah inti radioaktif mengalami peluruhan akibat perpindahan partikel dalam tingkat energi satu tingkatan energi ke tingkat energi yang lain. Demikian halnya pada peristiwa peluruhan gamma, ketika sebuah partikel (inti) naik ke tingkat energi diatasnya kemudian kembali ke energi yang lebih rendah maka akan memancarkan sebuah foton. Partikel foton ini berenergi tinggi (*high energi-photon*);



dimana X^* mengindikasikan inti yang mengalami eksitasi. Proses eksitasi ini berlangsung sangat singkat, dengan waktu paruh inti yang tereksitasi $T_{1/2} = 10^{-10}$ detik. Foton akan tercipta saat inti yang tereksitasi kembali ke keadaan dasarnya, foton ini biasa juga disebut sinar gamma. Setiap foton yang tercipta memiliki energi yang tinggi, dalam range energi 1 MeV hingga 1 GeV relative terhadap energi cahaya tampak (sekitar 1 eV). Energi ini diperoleh dari selisih energi inti saat tereksitasi dengan saat kembali ke keadaan dasar (perbedaan tingkat energi eksitasi, eksitasi pertama ke tingkat dasar). Ketika inti meluruh dan mengemisikan sinar gamma, inti tidak berubah dalam artian massa A dan nomor massa Z -nya tetap.



Gambar 4. 6 Skema peluruhan beta yang diikuti dengan peluruhan gamma.

Inti yang mengalami peluruhan alfa dan peluruhan beta juga memiliki kemungkinan besar mengalami eksitasi dan menghasilkan foton (sinar gamma) dalam reaksi berikutnya. Reaksi seperti itu dapat dilihat berikut



Reaksi selanjutnya



Gambar 4.6 menunjukkan skema peluruhan untuk ${}^{12}\text{B}$, yang mengalami peluruhan beta dengan waktu paruh, $T_{1/2} = 20,4$ ms naik dua level menjadi ${}^{12}\text{C}$. dari reaksi tersebut tampak bahwa;

- Peluruhan langsung ke keadaan dasar (*ground state*) dari ${}^{12}\text{C}$ dengan mengemisikan elektron berenergi 13,4 MeV

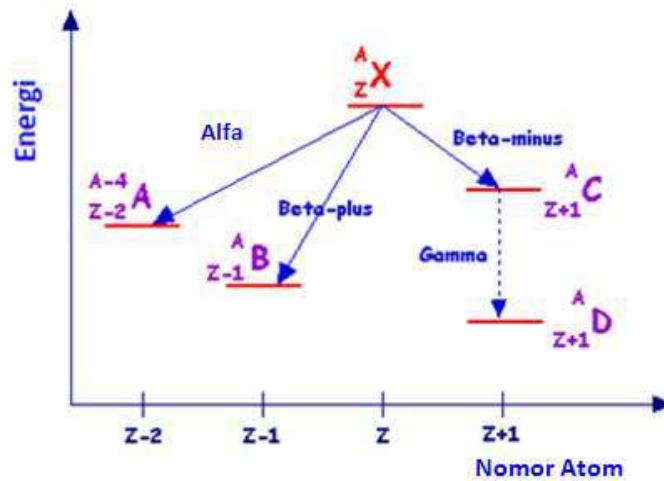
- Peluruhan beta (e^-) ke keadaan eksitasi $^{12}\text{C}^*$ dan ke tingkat energi dasar sambil memancarkan sinar gamma foton berenergi 4,4 MeV dan elektron dengan energi 9,0 MeV.

Persamaan reaksi untuk seluruh jenis reaksi yang telah diungkapkan diatas dapat dilihat pada table berikut

Tabel 4.3 Persamaan reaksi peluruhan partikel

Jenis Peluruhan	Persamaan Reaksi
Peluruhan Alfa	${}^A_ZX \rightarrow {}^{A-4}_{Z-2}Y + {}^4_2\text{He}$
Peluruhan Beta (e^-)	${}^A_ZX \rightarrow {}^A_{Z+1}Y + e^- + \bar{\nu}$
Peluruhan Beta (e^+)	${}^A_ZX \rightarrow {}^A_{Z-1}Y + e^+ + \nu$
Penangkapan elektron	${}^A_ZX + e^- \rightarrow {}^A_{Z-1}X + \nu$
Peluruhan Gamma	${}^A_ZX^* + e^- \rightarrow {}^A_ZX + \gamma$

Ilustrasi ketiga jenis peluruhan partikel (alfa, beta dan gamma) dapat dilihat pada gambar berikut;



Gambar 4.7 Plot energi terhadap nomor atom untuk peluruhan partikel alfa, beta dan gamma.

Latihan

1. Tuliskan jenis peluruhan yang dalam peluruhan inti
2. Mengapa partikel alfa dan gamma dibelokkan oleh medan magnet sedangkan partikel gamma tidak?
3. Dari ketiga partikel alfa, beta dan gamma, yang manakah yang memiliki daya tembus paling besar?
4. Apa yang dimaksud dengan efek Tunneling?
5. Mengapa dalam peluruhan partikel alfa, partikel alfa sering digantikan dengan inti helium dalam persamaan reaksi?

Rangkuman

1. Peluruhan radioaktif dapat terjadi pada salah satu peluruhan yang ada, yaitu alfa, beta atau gamma.
2. Partikel alfa dan beta dibelokkan dalam medan magnet sedangkan partikel gamma tidak.
3. Partikel alfa sering juga disebut sebagai inti atom helium, karena memiliki massa yang sama.
4. Menurut mekanika klasik, partikel alfa tidak mungkin dapat lolos dari dalam inti, karena energinya jauh lebih kecil dari energi potensial halang inti.
5. Mekanika kuantum mempredikasikan (dan terbukti secara eksperimen) bahwa partikel alfa dapat lolos dari medan potensial inti.
6. Proses penerobosan partikel alfa dari inti disebut sebagai efek *tunneling*.
7. Energi kinetik partikel alfa setelah keluar dari inti mengecil dari saat masih di dalam inti.
8. Besarnya energi partikel alfa, tinggi dan tebalnya potensial inti mempengaruhi peluang partikel alfa dalam meloloskan diri.
9. Peluruhan partikel beta dapat terjadi dalam tiga tipe, yakni beta minus (e^-), beta positif (e^+) dan penangkapan elektron (*electron capture*).
10. Pada peluruhan partikel gamma inti induk tidak mengalami perubahan A dan Z sehingga sama dengan partikel anak.

Tes Formstif

1. Uraikan proses peluruhan partikel alfa
Jawaban: Jelas
2. Menurut teori mekanika klasik partikel alfa tidak mungkin dapat lolos dari inti, jelaskan.
Jawaban: Jelas
3. Jelaskan mengapa partikel alfa dapat meloloskan diri dari potensial inti menurut mekanika kuantum.
Jawaban: Jelas

4. Jelaskan tiga jenis peluruhan beta.
Jawaban: Jelas
5. Nucleon inti hanya terdiri dari proton dan neutron, sedangkan dalam peluruhan beta dihasilkan elektron. Berikan penjelasan!
Jawaban: Jelas
6. Apa yang dimaksud dengan penangkapan elektron?
Jawaban: Jelas
7. Tuliskan contoh persamaan reaksi peluruhan untuk membedakan antara peluruhan beta positif dan beta negative.
Jawaban: Jelas
8. Jelaskan proses peluruhan gamma.
Jawaban: Jelas
9. Mengapa dalam peluruhan gamma, inti induk dan inti anak tetap memiliki A dan Z yang sama.
Jawaban: Jelas
10. Apa yang dimaksud dengan neutrino dan antineutrino.
Jawaban: Jelas
11. Inti ^{226}Ra ($T_{1/2} = 1602$ tahun) meluruh sambil mengemisikan alfa dan juga ^{12}C . Tentukan nilai Q untuk emisi ^{14}C .
Jawaban: 28,215 MeV
12. Inti ^{23}Na meluruh menjadi ^{23}Na dengan mengemisikan beta negative. Tentukan energi kinetic maksimum dari pancaran elektron?
Jawaban: 4.375 MeV
13. Inti ^{40}K adalah isotop yang istimewa, dalam peluruhannya dapat mengemisikan beta negative, beta positif dan penangkapan elektron sekaligus. Tentukan energi Q untuk emisi beta positif.
Jawaban: 0,482 MeV
14. Tentukan nilai Q pada soal no. 13 untuk emisi beta negative dan penangkapan elektron
Jawaban: $Q_{\text{beta}^-} = 1.312 \text{ MeV}; Q_{\text{ec}} = 1.504 \text{ MeV}$
15. Inti ^{12}N meluruh ke tingkat energi eksitasi dari ^{12}C , kemudian turun ke tingkat energi dasar sambil memancarkan sinar gamma berenergi 4,43 MeV. Tentukan energi kinetic maksimum dari emisi partikel beta ini.
Jawaban: 11,89 MeV

BAB V

REAKSI INTI

A. Gambaran Singkat Mengenai Materi Kuliah

Materi kuliah ini membahas tentang reaksi-reaksi nuklir yang terdiri atas reaksi *alfa-proton*, *alfa-neutron*, *penembakan proton*, *penembakan deuteron*, *penembakan neutron*, *photo disintegrasi*, *fisi* dan reaksi *fusi*. Sebagaimana diketahui bahwa partikel inti atau nukleon hanya terdiri atas dua jenis partikel yaitu proton yang bermuatan positif dan neutron yang tidak bermuatan. Oleh karena itu seluruh proses reaksi yang disebutkan merupakan reaksi yang melibatkan salah satu atau kedua jenis nukleon inti.

Reaksi fisi atau lebih sering disebut proses fisi merupakan jenis reaksi yang paling banyak dimanfaatkan dalam kehidupan manusia. Reaksi ini merupakan reaksi pemisahan inti berat menjadi dua inti atau lebih yang lebih ringan dengan sifat yang juga radioaktif. Proses reaksinya yang berantai dan bersifat spontan menjadi salah satu alasannya. Untuk proses fisi yang takterkendali sangat cocok digunakan dalam menciptakan ledakan besar, sehingga banyak digunakan sebagai senjata dalam bentuk bom atau peluru kendali berhulu ledak nuklir. Sedangkan proses fisi yang lebih terkendali banyak digunakan sebagai bahan bakar dalam reactor nuklir. Reactor nuklir ini dapat berupa reactor penelitian ataupun reactor untuk keperluan energi listrik.

Selain fisi, reaksi fusi juga merupakan jenis reaksi yang banyak digunakan. Jika proses fisi merupakan reaksi pemecahan/pemisahan maka proses fusi merupakan reaksi penggabungan inti ringan menjadi inti yang lebih berat. Proses ini menjadi sedikit lebih sederhana dan jauh lebih aman dari proses fisi, namun sulit realisasikan. Hal ini karena reaksi fusi membutuhkan panas yang cukup tinggi (termonuklir). Diyakini bahwa proses fusi adalah proses yang terjadi dalam inti semua bintang.

B. Pedoman Mempelajari Materi

Bacalah dengan seksama setiap jenis reaksi inti yang disajikan dalam materi ini. Pahami dengan baik setiap contoh reaksi yang bersangkutan. Pada bagian akhir bab disajikan latihan yang sangat membantu dalam pemahaman konsep reaksi inti, juga disajikan rangkuman untuk lebih memfokuskan bagian-bagian yang perlu dipelajari dan dipahami dengan baik.

C. Tujuan Pembelajaran

Setelah mempelajari materi ini, mahasiswa diharapkan mampu

1. Membedakan jenis-reaksi inti nuklir
2. Memahami karakteristik setiap jenis reaksi inti
3. Memahami proses reaksi fisi
4. Memahami proses reaksi fusi
5. Memahami pemanfaatan reaksi fisi dan fusi
6. Membedakan neutron-neutron langsung dengan neutron-neutron tunda.
7. Membedakan jenis reaksi pada proses fusi.

Reaksi inti pada prinsipnya sama dengan reaksi dalam reaksi kimia, dimana harus memenuhi persamaan reaksi, jumlah proton dan neutron harus sama untuk kedua ruas (sebelum dan sesudah reaksi) (Krane,1996). Selain itu proses reaksi inti yang hanya terjadi dibawah pengaruh gaya internal antara proyektil dan sasaran juga harus tunduk pada hukum kekekalan energi dan momentum (linier dan angular).

Dalam setiap reaksi berikut selalu tercipta jenis partikel lain dengan membawa atau melepaskan sejumlah energi tertentu dan proses reaksi dapat balik ke reaksi awalnya sehingga kembali pad bentuk semula partikel yang sama. Dalam surat *Al Baqarah* ayat 117,

بَدِيعُ السَّمَوَاتِ وَالْأَرْضِ وَإِذَا قَضَىٰ أَمْرًا فَإِنَّمَا يَقُولُ لَهُ كُنْ فَيَكُونُ

Terjemahnya;

Allah Pencipta langit dan bumi, dan bila Dia berkehendak (untuk menciptakan) sesuatu, maka (cukuplah) Dia hanya mengatakan kepadanya: "Jadilah". Lalu jadilah ia. (QS 2:117).

yang mengisyaratkan bahwa segalanya dapat terjadi dengan hanya (Allah) mengatakan *Kun-Fayakun*, jadilah, maka jadilah, seperti halnya partikel hasil reaksi. Hal yang sama juga terdapat dalam surat *Al-An'aam* ayat 73,

وَهُوَ الَّذِي خَلَقَ السَّمَوَاتِ وَالْأَرْضَ بِالْحَقِّ وَيَوْمَ يَقُولُ كُنْ فَيَكُونُ قَوْلَهُ الْحَقُّ وَلَهُ الْمُلْكُ يَوْمَ يُنْفَخُ فِي الصُّورِ عِلْمُ الْغَيْبِ وَالشَّهَادَةُ وَهُوَ الْحَكِيمُ الْخَبِيرُ

Terjemahnya;

Dan Dialah yang menciptakan langit dan bumi dengan benar. Dan benarlah perkataan-Nya di waktu Dia mengatakan: "Jadilah, lalu terjadilah", dan di tangan-Nyalah segala kekuasaan di waktu sangkakala ditup. Dia mengetahui yang ghaib dan yang nampak. Dan Dialah Yang Maha Bijaksana lagi Maha Mengetahui. (QS 6:73).

dan surat Maryan ayat 35,

مَا كَانَ لِلَّهِ أَنْ يَتَّخِذَ مِنْ وَلَدٍ سُبْحَانَهُ إِذَا قَضَىٰ أَمْرًا فَإِنَّمَا يَقُولُ لَهُ كُن فَيَكُونُ

Terjemahnya;

Tidak layak bagi Allah mempunyai anak, Maha Suci Dia. Apabila Dia telah menetapkan sesuatu, maka Dia hanya berkata kepadanya: "Jadilah", maka jadilah ia. (QS 19:35).

Serta surat Ghafir ayat 68,

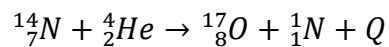
هُوَ الَّذِي يُحْيِي وَيُمِيتُ فَإِذَا قَضَىٰ أَمْرًا فَإِنَّمَا يَقُولُ لَهُ كُن فَيَكُونُ

Terjemahnya;

Dia-lah yang menghidupkan dan mematikan, maka apabila Dia menetapkan sesuatu urusan, Dia hanya berkata kepadanya: "Jadilah", maka jadilah ia. (QS 40:68).

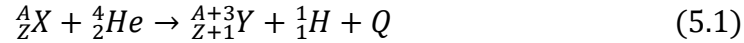
5.1. Reaksi α , p

Proses reaksi nuklir pertama telah dilakukan oleh Rutherford pada tahun 1919 yang dikenal juga dengan hamburan Rutherford. Reaksi dilakukan dengan membombardir gas nitrogen dengan partikel alfa yang dihasilkan oleh suatu sumber radioaktif (Khan, 2003). Reaksi tersebut dapat dituliskan



dengan Q adalah energi yang diserap atau dilepaskan selama proses reaksi

Reaksi dimana partikel α berinteraksi dengan inti akan menghasilkan inti baru akibat penolakan oleh proton, sehingga disebut juga reaksi α, p . Secara sederhana model reaksi ini dapat ditentukan dengan menggunakan persamaan berikut



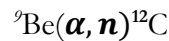
Atau dapat pula dalam notasi yang lebih sederhana yaitu,



5.2. Reaksi α, n

Sebagaimana diketahui bahwa selain proton juga terdapat neutron dalam inti sebuah atom, jika pada proton bombardment reaksi melibatkan partikel alfa dan proton maka pada reaksi ini, partikel yang terlibat adalah partikel alfa dan neutron. Mengingat neutron tidak bermuatan (1_0n) maka hasil reaksi tidak akan menghasilkan partikel baru sebagaimana pada reaksi sebelumnya.

Proses reaksi alfa neutron dapat dihitung dengan menggunakan persamaan

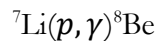


Atau



5.3. Penembakan proton (*proton bombardment*)

Reaksi yang paling umum terdiri atas proton dengan emisi sinar gamma, reaksi ini biasa juga disebut sebagai reaksi p, γ seperti yang ditunjukkan pada contoh reaksi berikut



dan



Selain jenis reaksi diatas, juga memungkinkan reaksi melalui penembakan proton (*proton bombardment*) dengan tipe reaksi p, n

(proton-neutron), p, d (proton-deutron), p, α (proton-alfa). Dengan symbol d untuk deutron (2_1H) dan α untuk partikel alfa (4_2He).

5.4. Penembakan Deutron (*Deutron bombardment*)

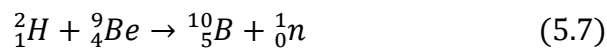
Partikel deutron merupakan kombinasi atau gabungan dari proton dan neutron. Karena merupakan kombinasi maka proses reaksi juga dapat menjadi dua bagian yaitu d, p dan d, n dengan persamaan reaksi



dan



Salah satu reaksi yang paling penting yang menggunakan neutron berenergi tinggi adalah penembakan beryllium (dengan neutron sebagai proyektil), persamaan reaksinya dapat dilihat berikut



5.5. Penembakan neutron (*Neutron bombardment*)

Neutron merupakan partikel proyektil yang paling efektif digunakan untuk menembak inti suatu atom. Hal ini dapat terjadi karena dua alasan, **pertama** neutron tidak bermuatan sehingga sangat mudah untuk memasuki medan inti tanpa harus mengalami gaya elektrostatis dari partikel inti target dan menghasilkan reaksi nuklir. **Kedua**, karena tak bermuatan maka neutron tidak membutuhkan energi kinetik yang besar (*high kinetic energies*) untuk menembus medan inti dan menghasilkan reaksi (Khan, 2003).

Terdapat dua jenis reaksi yang menggunakan neutron sebagai partikel penembak (*bombardment*) yaitu, neutron-neutron lambat (*slow neutrons*) dan neutron-neutron bersuhu tinggi (*thermal neutrons*).

5.5.1. Neutron-neutron lambat (*slow neutrons*)

Reaksi yang melibatkan neutron-neutron lambat dapat dilihat pada contoh berikut



Bentuk reaksi diatas merupakan bentuk dasar pendeteksian neutron. Reaksi tersebut menghasilkan partikel alfa akibat penembakan inti Boron dengan neutron-neutron lambat, reaksi ini juga biasa disebut sebagai reaksi n, α .

Proses yang paling umum dari penangkapan neutron adalah reaksi *neutron-gamma* (n, γ). Pada kasus ini partikel-partikel inti (gabungan neutron dan proton) akan mengalami eksitasi dari keadaan dasar kemudian segera kembali ke keadaan sebelumnya sambil memancarkan sinar gamma atau foton. Sinar γ biasa juga disebut penangkapan sinar gamma, kejadiannya dapat diamati dari sebuah material seperti *paraffin* dengan penembakan berulang terhadap inti. Reaksinya dapat dituliskan sebagai berikut;



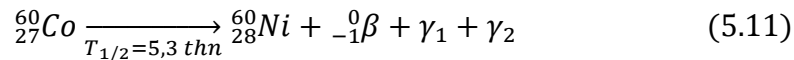
5.5.2. Neutron-neutron bersuhu tinggi (*thermal neutrons*)

Pada jenis reaksi ini digunakan jenis neutron yang bersuhu tinggi, karena itu disebut sebagai neutron-neutron termal. Karena energi kinetik dari neutron dapat diabaikan, maka energi penangkapan sinar γ dari reaksi diatas dapat dihitung dari perbedaan massa antara partikel awal dengan partikel produk reaksi dengan asumsi bahwa loncatan (perubahan) energi dari ${}^2_1\text{H}$ diabaikan.

Produk reaksi n, γ dalam banyak kasus ditemukan juga bersifat radioaktif dengan memancarkan partikel β , misalnya pada reaksi berikut;



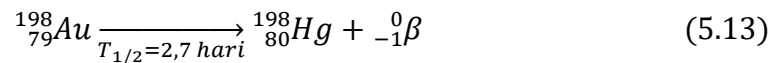
Selanjutnya diikuti oleh reaksi hasil produknya



Atau reaksi



yang akan diikuti oleh reaksi

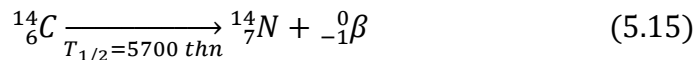


Jenis reaksi yang lain yang melibatkan neutron adalah reaksi n, p (neutron-proton), dalam banyak kasus juga mengemisikan partikel β .

Jenis reaksi ini dapat diamati dengan menggunakan nitrogen sebagai inti target dan menggunakan neutron lambat, reaksinya dapat dilihat sebagai berikut;



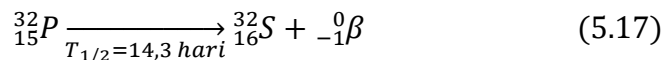
dan akan diikuti dengan reaksi



Sedangkan reaksi yang melibatkan neutron cepat dapat diperoleh dari produksi ${}^{32}\text{P}$ berikut;



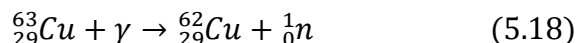
yang akan diikuti dengan reaksi



Pada kasus ini setiap jenis reaksi, apakah menggunakan neutron-neutron lambat atau neutron-neutron cepat bergantung pada magnitude perbedaan antara hasil produk inti (hasil reaksi) dan inti yang target yang di tembak (bombardier dengan neutron).

5.6. Photo disintegration

Sebuah reaksi yang melibatkan foton berenergi tinggi dengan sebuah inti atom dapat memicu reaksi nuklir inti dan mengemisikan satu atau lebih partikel inti (nukleon). Dalam banyak kasus hasil *photo disintegration* inti akan mengemisikan neutron. Sebagai contoh, reaksi yang menggunakan inti ${}^{63}\text{Cu}$ sebagai target yang di bombardier dengan hamburan foton;



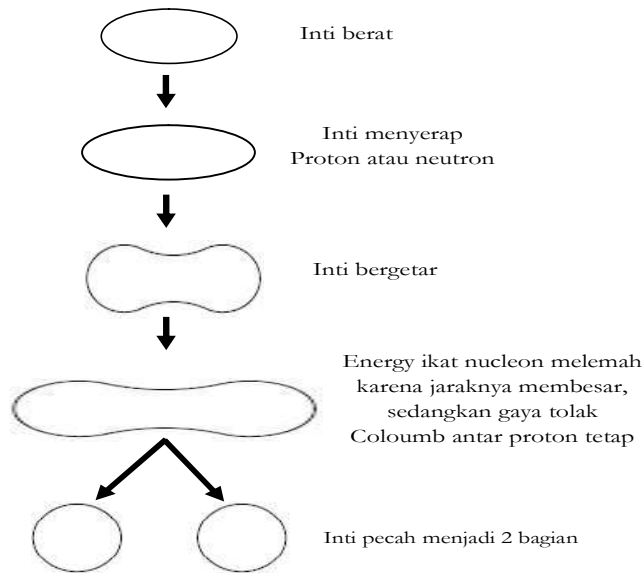
Reaksi tersebut memiliki energi *threshold* 10,86 MeV yang diperoleh dari perbedaan energi diam inti target dengan inti sisa (yang tidak mengalami emisi) ditambah dengan nukleon-nukleon yang teremisikan.

Jenis reaksi (*photo disintegration*) yang lain adalah reaksi γ, n ; γ, p ; γ, d ; γ, t ; dan γ, α dengan d sebagai deuteron (2_1H) dan t sebagai triton (3_1H).

5.7. Reaksi Fisi

Reaksi fisi atau lebih sering disebut fisi tanpa kata reaksi, dapat disefenisikan sebagai reaksi pemecahan inti berat menjadi dua atau beberapa inti yang lebih ringan. Reaksi ini umumnya terjadi secara spontan dan berantai. Pada tahun 1939, O. Hahn dan F. Strassmann menemukan bahwa logam-logam alkali tanah dapat diproduksi ketika uranium diradiasi dengan neutron-neutron (O. Hahn dan F. Strassmann dalam Enge, 1983: 439). Temuan tersebut mengindikasikan bahwa dalam absorpsi atau penyerapan oleh sebuah neutron, inti uranium menjadi sangat cukup untuk terbagi menjadi dua bagian atau *fragments* dengan massa yang kurang lebih sama besar (L. Meitner dan O.R. Frisch, 1939: 239). Proses tersebut dapat di lihat dengan mempelajari massa atom atau energi ikat atom yang bersangkutan. Pada atom dengan massa sedang ($A \approx 120$), energi ikat perpartikel sekitar 8,5 MeV, namun untuk uranium sekitar 7,6 MeV.

Suatu inti berat dapat diilustrasikan sebagai suatu tetes cairan dengan bentuk yang lebih lonjong. Jika inti tersebut memperoleh gangguan dari luar, misalnya menyerap proton atau neutron maka inti akan bergetar. Jika getaran yang terjadi sangat kuat sehingga dalam keadaan tertentu bentuknya menjadi sangat lonjong ditambah dengan gaya tolak Coulomb antar proton maka inti dapat terbelah menjadi dua bagian, seperti dalam gambar berikut



Gambar 5.1 Urutan perubahan bentuk inti dalam proses fisi

Jika inti berat terbelah menjadi dua pecahan yang lebih kecil, kelebihan energi ikat akan di ubah menjadi energi kinetik pada setiap bagian (pecahan). Dalam proses fisi distribusi energi untuk setiap pecahan dan partikel yang terlibat tidak sama untuk setiap partikel seperti pada table berikut

Table 5.1 Distribusi energi pada proses fisi

No	Jenis	Energi, MeV
1.	Energi kinetik fisi pecahan	165 ± 5
2.	Energi pancaran sinar gamma (foton)	7 ± 1
3.	Energi kinetik fisi neutron	$5 \pm 0,5$
4.	Partikel beta (e) dari fisi produk	7 ± 1
5.	Sinar gamma dari partikel produk	6 ± 1
6.	Neutrino dari fisi produk	10
	Total energi per fisi	200 ± 6

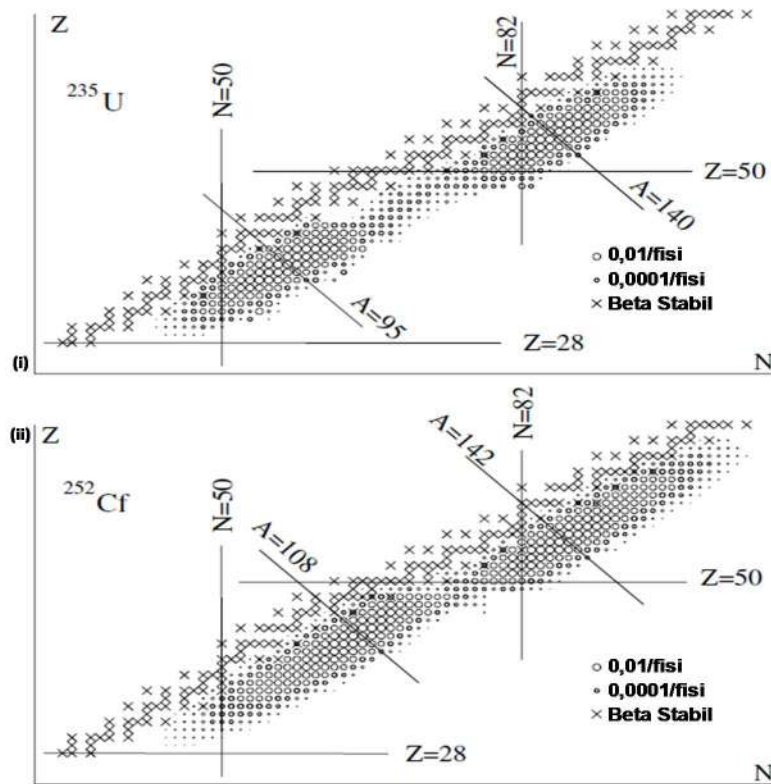
(Sumber: Harald A. Enge, 1983: 440 dan J. L. Basdevant *et.al.* 2004: 290).

Jika dirata-ratakan dari berbagai komponen energi diatas ($\sim 200\text{MeV}$), hanya sekitar 190 ± 6 MeV yang bermanfaat (dapat digunakan). Hal ini karena neutrino meluruh dengan cepat (hilang) sebelum memberi kontribusi pada inti atau medium reaksi.

Hasil pecahan dari sebuah fisi secara statistik dapat dibedakan berdasarkan perbedaan nomor massanya, biasa juga disebut sebagai fisi Asimetrik (*asymmetric fission*). Pada kasus fisi neutron dengan target inti ^{235}U dapat dibagi dalam dua grup, yaitu

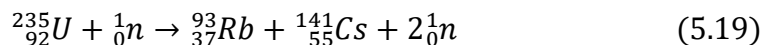
- Pecahan dalam grup dengan $A \approx 95$ dan $Z \approx 36$ (Br, Kr, Sr dan Zr)
- Pecahan dalam grup dengan $A \approx 140$ dan $Z \approx 54$ (I, Zed an Ba)

dimana kedua grup dibagi dalam jumlah neutron $N=50$ dan $N=82$. Jumlah neutron diatas ($N=50$ dan $N=82$) seringkali disebut sebagai angka ganjil dari neutron (*magic neutron number*). Hal yang sama ditunjukkan pada fisi spontan dari ^{252}Cf , tetap disominasi oleh fisi asimetrik, seperti yang ditunjukkan dalam gambar 5.2 berikut

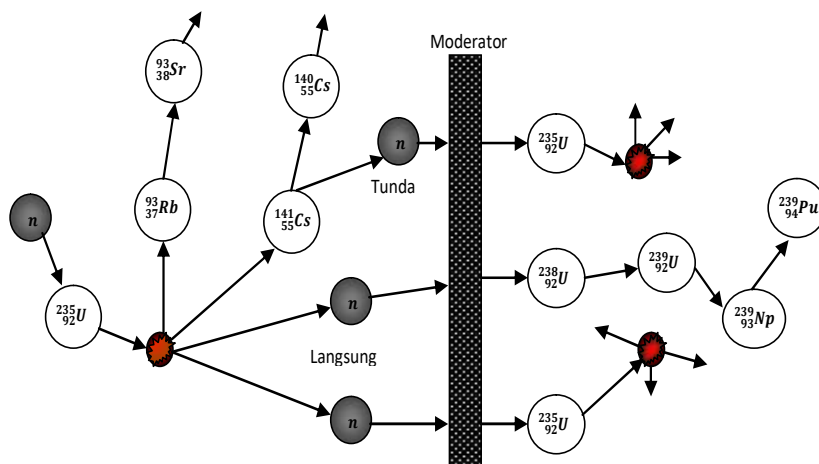


Gambar 5.2 Distribusi pecahan fisi. (i) fisi untuk neutron dengan inti target ^{235}U . (ii) fisi spontan untuk ^{252}Cf

Salah satu reaksi fisi yang khas adalah



Tampak bahwa jumlah neutron yang dihasilkan dari fisi tersebut adalah 2 neutron. Untuk jenis reaksi yang lain jumlah neutron hasil proses fisi dapat berbeda-beda namun rata-rata sekitar 2,5 neutron. Tiap neutron hasil reaksi ini kemudian dapat kembali memulai proses fisi yang baru dan neutron hasil reaksi kembali melakukan proses fisi dan menghasilkan neutron baru dan seterusnya. Proses fisi tersebut menghasilkan reaksi berantai (*chain reactions*) yang berlangsung secara spontan dan dalam waktu yang singkat, dengan membebaskan energi untuk tiap reaksi sebesar 200MeV. Proses reaksi fisi ini dapat dilihat pada skema berikut



Gambar 5.3 Proses fisi dengan inti uranium ${}^{235}\text{U}$.

Reaksi fisi yang tak terkendali digunakan untuk keperluan militer seperti bom atom, bom atom yang meledak di Hiroshima dan Nagasaki adalah contohnya. Sedangkan reaksi fisi yang terkendali, digunakan dalam teras reactor atau pembangkit tenaga listrik, PLTN.

Keistimewaan proses fisi Nuklir

Setidaknya ada tiga alasan mengapa proses fisi yang banyak digunakan pemanfaatannya dalam reactor nuklir (Krane, 1996: 423), yaitu;

1. Energi disipasi (*Energy dissipation*)

Sebagian besar energi yang dibebaskan dalam bentuk energi kinetik pecahan fisi. Inti pecahan yang relative berat ini akan bergerak dalam reactor dalam jarak yang tidak terlalu jauh karena bertumbukan dengan atom-atom dalam bahan bakar reactor. Energi kinetik ini berubah menjadi panas yang kemudian digunakan untuk mendidihkan air. Uap air yang dihasilkan digunakan untuk menggerakkan generator (turbin) guna membangkitkan energi listrik.

2. Neutron ganda (*Neutron multiplicity*)
Jumlah neutron yang dihasilkan lebih dari satu, sehingga memungkinkan terjadinya reaksi berantai. Banyak tidaknya reaksi berantai ditentukan oleh jenis dan kualitas dan konstruksi reaktornya.
3. Neutron tunda (*Delayed neutron*)
Proses pecahan fisi merupakan satu-satunya yang memungkinkan operator atau system mekanis dapat mengontrol reaksinya dan menjaganya berlangsung cepat. Kedua neutron yang dipancarkan dalam proses pecahan fisi adalah neutron-neutron langsung yang terpancar pada saat pemecahan fisi. Sekitar 1 persen neutron yang terpancar merupakan neutron-neutron tunda (lambat) yang dipancarkan setelah terjadi kerusakan pecahan-pecahan inti berat.

5.8.Reaksi Fusi

Selain proses fisi juga dikenal proses fusi, jika proses fisi merupakan reaksi pemecahan inti berat menjadi inti-inti yang lebih ringan sebaliknya proses fusi merupakan penggabungan dua inti ringan menjadi sebuah inti yang lebih berat. Inti-inti ringan ini memiliki nomor massa $A < 20$. Pada proses penggabungan inti ini terjadi pelepasan energi yang diperoleh dari selisih energi ikat inti berat yang terbentuk dengan dengan kedua inti ringan pembentuknya.

Salah satu contoh dari proses fusi tampak pada reaksi berikut;



Reaksi tersebut merupakan reaksi penggabungan proton dan neutron yang menghasilkan deutron dan melepaskan energi sebesar, $Q=2,23\text{MeV}$. Proses fisi yang lain dapat dilihat berikut ;



Atau dapat pula menghasilkan partikel alfa, α

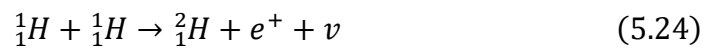


Proses reaksi pertama akan menghasilkan energi Q sebesar 4 MeV sedangkan reaksi kedua akan menghasilkan energi Q sebesar 23,8 MeV. Dengan $Q = 4$ MeV dapat dipahami bahwa setiap nukleon membebaskan energi sebesar 1 MeV kurang lebih sama dengan reaksi fisi, namun energi total hasil reaksi masih lebih kecil dari reaksi fisi ($Q \sim 200$ MeV).

Meskipun reaksi tampak mudah namun pada dasarnya reaksi fusi adalah proses yang sulit. Hal ini karena untuk menghasilkan sebuah reaksi fusi diperlukan suhu yang sangat tinggi, sehingga biasa juga disebut fusi *termonuklir*. Sebagai contoh, untuk memanaskan gas deuterium (2_1H) hingga mencapai suhu yang sesuai dan memungkinkan terjadinya reaksi penggabungan diperlukan energi termal sebesar

$$3/2kT \quad (5.23)$$

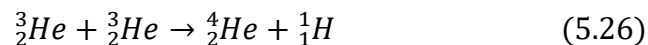
Dengan kondisi (syarat) seperti itu, maka para fisikawan meyakini bahwa proses termonuklir fusi yang dapat terjadi dengan mudah adalah pada bintang. Matahari sebagai salah satu bintang memiliki hidrogen sebagai bahan bakar proses termonuklir ini. Karena proses fusi menggunakan deutron maka hidrogen tersebut terlebih dahulu diubah menjadi deutron melalui reaksi seperti berikut;



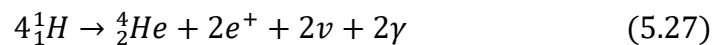
Proses reaksi ini melibatkan proton yang menghasilkan deutron dan sebuah partikel beta (e^+). Setelah deutron terbentuk maka reaksi selanjutnya adalah



yang diikuti dengan reaksi



Gambar 5.4 memperlihatkan bahwa harus terjadi dua kali reaksi agar dapat menghasilkan 3_2He yang diperlukan pada reaksi ketiga. Hasil akhir dari proses ini dapat dituliskan



Besarnya energi yang diperoleh dari reaksi tersebut dapat dihitung dengan menggunakan persamaan energi ikat.

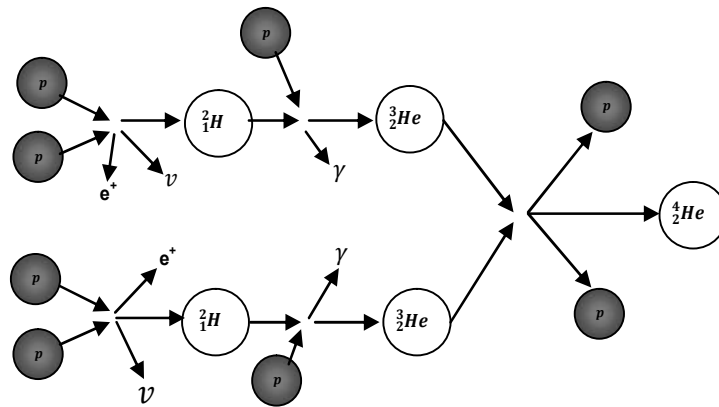
Contoh 1

Tentukan besarnya energi yang diperoleh dari persamaan reaksi (5.27).

Jawaban

$$\begin{aligned}
 Q &= [4x\text{massa}({}_1^1\text{H}) - \text{massa}({}_2^4\text{He})] & (5.28) \\
 &= (4x1,007825 u - 4,002603 u)931,5 \frac{\text{MeV}}{u} \\
 &= 26,7 \text{ MeV}
 \end{aligned}$$

Proses reaksi tersebut dapat dilihat pada skema berikut



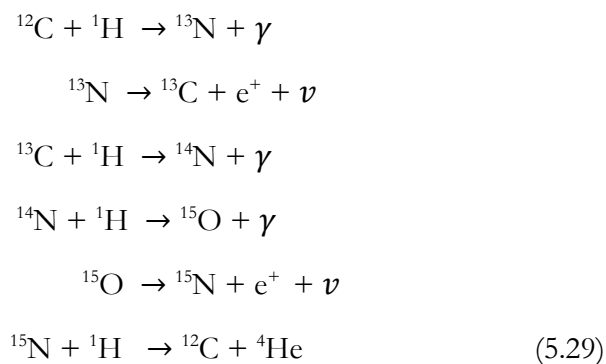
Gambar 5.4 Skema pembentukan inti helium

Hasil ini merupakan energi yang dihasilkan dari setiap proses fusi. Karena daya matahari yang tiba dibumi sekitar $1,4 \times 10^3 \text{ W/m}^2$ dapat dihitung berapa reaksi yang harus terjadi setiap detiknya.

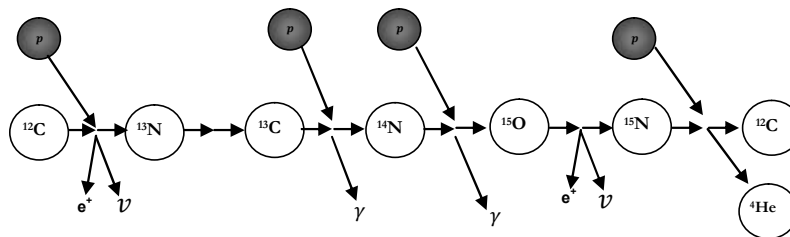
- Jarak bumi-matahari : sekitar $1,5 \times 10^{11} \text{ m}$
- Luas permukaan matahari : $4\pi r^2 = 28 \times 10^{22} \text{ m}^2$
Asumsi bahwa matahari berbentuk bola dan energi tersebar diseluruh permukaan bola tersebut.
- Keluaran energi matahari : $4 \times 10^{26} \text{ W} \approx 2 \times 10^{39} \text{ MeV/s}$

Karena tiap reaksi menghasilkan energi sebesar 26,7 MeV maka untuk mencapai energi 2×10^{39} MeV/s diperlukan reaksi sebanyak 10^{38} reaksi setiap detiknya. Reaksi sebanyak ini akan memerlukan proton sebanyak 4×10^{38} proton per detik, suatu jumlah yang cukup besar. Dengan massa matahari sekitar 2×10^{30} kg, atau setara dengan jumlah proton sekitar 10^{57} proton, maka jumlah tersebut akan cukup untuk miliaran tahun lagi.

Reaksi yang menggunakan proton seperti diatas dikenal juga sebagai *daur proton-proton* yang dipercaya sebagai reaksi utama yang mungkin terjadi dalam inti matahari. Reaksi jenis ini (proton-proton) belum tentu menjadi sumber utama (sebagai sumber energi) untuk bintang lain. Hal ini disebabkan oleh karena proses reaksi proton-proton memerlukan waktu yang agak lama untuk reaksi pertamanya (pada saat pembentukan deutron). Reaksi lain yang mungkin terjadi adalah *daur karbon-karbon* seperti berikut;

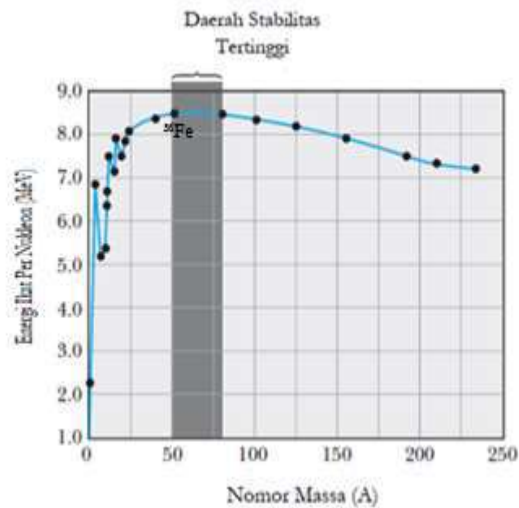


Carbon ${}^{12}\text{C}$ disini berperan sebagai katalisator, karena hanya digunakan untuk memicu ${}^{13}\text{N}$ dan ${}^{12}\text{C}$ tidak digunakan atau pun dihasilkan dari reaksi-reaksi berikutnya. Kehadiran karbon berperan penting memicu laju reaksi yang lebih besar dari daur proto-proton. skema dari proses reaksi ini dapat dilihat berikut ini



Gambar 5.5 Skema daur karbon-karbon.

Besarnya energi yang dilepaskan oleh setiap reaksi fusi, baik melalui daur proton-proton maupun dengan daur karbon-karbon akan sesuai dengan energi ikat per nukleon, dengan nilai maksimal diperoleh dari ^{56}Fe , seperti yang diperlihatkan pada ilustrasi grafik berikut;



Gambar 5.6 Kurva energi ikat inti sebagai fungsi dari nomor massa (A)

Jenis reaksi fusi yang lain adalah reaksi D-T (*Deuterium-Tritium*). Reaksi ini membebaskan energi yang relative lebih besar dari dua jenis reaksi sebelumnya, karenanya dianggap sebagai jenis reaksi yang paling baik diterapkan dalam suatu reator fusi. Seperti yang diungkapkan sebelumnya bahwa kendala utama dalam proses fusi adalah bagaimana memperoleh suhu yang sangat tinggi (sekitar 10^8 K) agar dapat mengatasi gaya tolakan coulomb inti. Diperlukan suatu reaktor khusus, bagian ini akan dibahas pada bab yang lain.

Contoh 2

Saat ^6_3Li diberondong dengan deuteron berenergi 4 MeV, salah satu reaksi yang teramati adalah terbentuknya dua partikel α , masing-masing dengan energi sebesar 13,2 MeV. Tentukanlah besarnya energi Q dari reaksi tersebut.

Jawaban

$$\begin{aligned}
 Q &= \{K(\alpha_1) + K(\alpha_2)\} - K_d \\
 &= (13,2 \text{ MeV} + 13,2 \text{ MeV}) - 4 \text{ MeV} \\
 &= 22,4 \text{ MeV}
 \end{aligned}$$

Jadi besarnya energi yang tercipta dalam reaksi tersebut adalah 22,4 MeV.

Contoh 3

Berapakah energi kinetik neutron termal 300K?

Jawaban

Energi termal suatu partikel berada dalam orde kT , dengan k adalah konstanta Boltzman. Dengan demikian, energi kinetiknya

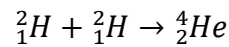
$$K \approx (8,617 \times 10^{-5} \text{ eV/K})(300\text{K}) = 0,026 \text{ eV}$$

Contoh 4

Hitunglah energi yang dilepaskan jika dua nucleus deuterium melebur menjadi partikel α ?

Jawaban

Terlebih dahulu di tuliskan reaksinya, yaitu



Hukum kekekalan energi memberikan

$$2m_{\text{H}} \cdot c^2 = m_{\text{He}} \cdot c^2 + Q$$

Sehingga

$$\begin{aligned} Q &= (2m_{\text{H}} - m_{\text{He}}) c^2 \\ &= (2 \times 2,014102 \text{ u} - 4,002603 \text{ u})(931,5 \text{ MeV/u}) \\ &= 23,80 \text{ MeV} \end{aligned}$$

Latihan

Jawablah soal latihan berikut;

1. Tuliskan jenis reaksi yang melibatkan proton
2. Jelaskan mengapa pada reaksi inti tertentu tercipta elektron
3. Apakah jenis elektron yang dihasilkan (pada no.2) sama dengan elektron pada kulit sebuah atom?
4. Berikan penjelasan kemana elektron hasil reaksi tersebut setelah tercipta, apakah tetap dalam inti?
5. Tuliskan perbedaan neutron langsung dan neutron tunda
6. Berapakah energi yang dihasilkan oleh satu proses fisi?
7. Jelaskan mengapa proses fusi sangat sulit diwujudkan dalam skala industri?
8. Bandingkan jumlah energi yang dapat tercipta dari hasil proses fisi dan fusi

Rangkuman

1. Reaksi inti adalah reaksi yang melibatkan nukleon (partikel penyusun inti).
2. Jenis reaksi inti ditentukan oleh jenis partikel proyektil yang digunakan dan partikel inti target.
3. Hasil reaksi inti umumnya bersifat radioaktif
4. Setiap reaksi inti tunduk pada hukum kekekalan yang ada, kekekalan massa, kekekalan momentum (linier dan sudut), dan kekekalan energi
5. Reaksi fisi adalah proses reaksi pemecahan inti berat menjadi inti-inti yang lebih ringan.
6. Dalam reaksi fisi dapat dihasilkan neutron-neutro langsung dan neutron tunda.
7. Reaksi fisi merupakan reaksi berantai yang berlangsung spontan dengan melepas energi (panas) yang besar (≈ 200 MeV) setiap reaksi.
8. Reaksi fusi merupakan reaksi penggabungan inti-inti sedang menjadi inti yang lebih berat.
9. Setiap proses reaksi fisi dan fusi akan menghasikan energi (energi per nukleon dan energi total reaksi).

Tes Formatif

1. Selesaikanlah reaksi-reaksi berikut;
 - a. ${}^4\text{He} + {}^{14}\text{N} \rightarrow {}^{17}\text{O} + \dots\dots$
 - b. ${}^9\text{Be} + {}^4\text{He} \rightarrow {}^{12}\text{C} + \dots\dots$
 - c. ${}^{27}\text{Al} + {}^4\text{He} \rightarrow \text{n} + \dots\dots\dots$
 - d. ${}^{12}\text{C} + \dots\dots \rightarrow {}^{13}\text{N} + \text{n}$

Jawaban: Jelas

2. Mengapa proton harus diubah menjadi neutron dalam tahap pertama daur fusi proton-proton?

Jawaban: Jelas

3. Tuliskan perbedaaan mendasar antara daur proton-proton dan daur karbon-karbon dalam proses fusi

Jawaban: Jelas

4. Berdasarkan karakteristik reaksi fusi, berikan gambaran jenis reactor yang mungkin dapat dibangun untuk memproduksi energi listrik dari proses fusi?

Jawaban: Jelas

5. Dalam reaksi fisi yang khas, pecahan fisi yang manakah (yang lebih berat atau ringan) yang memiliki energi kinetic terbesar?

Jawaban: Jelas

6. Sama dengan no.5, manakah yang memiliki momentum dan laju yang lebih besar?

- Jawaban: Jelas*
7. Tentukan partikel yang tidak diketahui dalam reaksi-reaksi inti berikut;
- ${}^{18}_8\text{O}(d, p)X$
 - $X(p, \alpha) {}^{87}_{39}\text{Y}$
 - ${}^{122}_{52}\text{Te}(X, d) {}^{124}_{53}\text{I}$

*Jawaban: a. satu neutron dengan hasil ${}^{19}_8\text{O}$,
b. satu proton dan dua neutron, ${}^{90}_{40}\text{Zr}$, c. satu
deuteron dan dua proton (4 nukleon), ${}^4_2\text{He}$*

8. Hitunglah nilai Q dari reaksi-reaksi berikut

- ${}^{16}_8\text{O}(\gamma, p) {}^{15}_7\text{N}$
- ${}^{150}_{62}\text{Sm}(p, x) {}^{174}_{61}\text{Pm}$

Jawaban: a. $Q = -12,13 \text{ MeV}$, b. $Q = 6,88 \text{ MeV}$

9. Tentukanlah energi kinetic akhir dari fotofisi ${}^{235}_{92}\text{U}$ oleh sinar gamma berenergi 6 MeV menjadi ${}^{90}_{36}\text{Kr}$, ${}^{142}_{56}\text{Ba}$ dan tiga buah neutron.

Jawaban: $K = 175,4 \text{ MeV}$

10. Hitunglah temperature minimal yang dibutuhkan untuk menghasilkan fusi di dalam plasma deuterium (campuran netral dari elektron-elektron bermuatan negative dan nucleus-nukleus deuterium bermuatan positif).

Jawaban: $T = 10^7\text{K}$

BAB VI REAKTOR NUKLIR

A. Gambaran Singkat Mengenai Materi Kuliah

Materi ini membahas tentang reaktor nuklir yang dibagi dalam dua bagian besar, yakni reaktor nuklir untuk energi listrik (*nuclear power plant*) dan akselerator. Pada bagian awal diuraikan tentang syarat-syarat yang harus dipenuhi oleh sebuah reaktor nuklir (PLTN) dimasa datang. Hal ini mengacu pada peristiwa meledaknya 3 reaktor nuklir di Fukushima Daiichi akibat gempa dan tsunami tahun 2011 lalu. Selanjutnya diuraikan mengenai perkembangan reaktor nuklir dari generasi-kegenerasi. Pemetaan sejumlah Negara yang menggunakan reaktor nuklir untuk pemenuhan kebutuhan listriknya juga ditampilkan.

Uraian selanjutnya membahas secara detail jenis-jenis reaktor pada tiap generasi. Uraian tentang akselerator yang menjadi bagian terakhir dalam bab ini, membahas tentang seluruh jenis reaktor (akselerator) yang pernah dibuat. Pemetaan jenis-jenis akselerator ini disajikan dalam bentuk tabel yang sangat informative.

B. Pedoman Mempelajari Materi

Baca dan pahami materi yang disajikan. Pada bagian akhir bab terdapat latihan dan tes formatif yang harus dikerjakan agar memperdalam pemahaman tentang reaktor nuklir. Rangkuman yang disajikan dapat membantu memfokuskan materi yang telah diuraikan.

C. Tujuan Pembelajaran

Setelah mengikuti materi ini, mahasiswa diharapkan dapat;

1. Memahami apa yang dimaksud dengan reaktor nuklir
 2. Memahami perbedaan reaktor nuklir untuk energi listrik dan reaktor penelitian.
 3. Menjelaskan perkembangan reaktor dari generasi I ke generasi IV.
 4. Menyebutkan jenis-jenis reaktor yang pernah dan akan dibangun.
 5. Menyebutkan Negara-negara yang secara aktif melakukan riset dan rekayasa dibidang reaktor nuklir.
 6. Membedakan jenis reaktor PWRs, BWRs dan SMRs.
 7. Menjelaskan prinsip kerja reaktor PWRs dan BWRs
 8. Memahami jenis-jenis akselerator
 9. Membedakan akselerator linier dan lingkaran
 10. Menyebutkan Negara-negara yang pernah dan sedang mengoperasikan sebuah akselerator.
-

Reaktor secara umum dapat dibedakan berdasarkan fungsinya yakni reaktor untuk penelitian dan reaktor untuk pembangkit tenaga listrik. Reaktor penelitian umumnya berada berupa reaktor laboratorium pada universitas-universitas dan Konsorsium ilmu atau lembaga penelitian. Contoh reaktor penelitian diantaranya; reaktor di BATAN (PUSPITEK), LINAC di FermiLab, dan reaktor partikel terbesar di CERN-Swiss. Reaktor nuklir untuk pembangkit tenaga listrik, PLTN umumnya berada pada negara-negara yang menguasai teknologi ini dan kebutuhan listriknya tidak terpenuhi dari tenaga fosil. Negara yang menggunakan PLTN diantaranya; Prancis, Amerika Serikat, Rusia, China, Jepang, Korea Selatan, India dan Iran.

Peristiwa meledaknya reaktor nuklir di Fukushima Daiichi, Jepang tahun 2011 memberikan dampak luar biasa terhadap perkembangan reaktor nuklir dimasa mendatang. Energi nuklir, industri nuklir dan nuklir secara global semuanya menjadi perlu mendapat tinjauan lebih serius. Sebagaimana diketahui bahwa 3 dari 6 reaktor yang ada meledak karena kelebihan panas (*overheated*) setelah dihantam gempa bumi dan tsunami dahsyat. Segala sesuatu yang dilakukan (termasuk dalam pemanfaatan nuklir) haruslah sesuai dengan keperluan dan tidak melampaui batas agar tidak terjadi kerusakan, sebagaimana yang diungkapkan oleh Allah Swt. dalam surat *Asy Syu'araa'* ayat 152,

الَّذِينَ يُفْسِدُونَ فِي الْأَرْضِ وَلَا يُصْلِحُونَ

Terjemahnya;

yang membuat kerusakan di muka bumi dan tidak mengadakan perbaikan". (QS 26:152).

dan ayat 183,

وَلَا تَبْخُسُوا النَّاسَ أَمْثِيَاءَهُمْ وَلَا تَعْنُوا فِي الْأَرْضِ مُفْسِدِينَ

Terjemahnya;

Dan janganlah kamu merugikan manusia pada hak-haknya dan janganlah kamu merajalela di muka bumi dengan membuat kerusakan. (QS 26:183).

6.1. Reaktor Nuklir Pembangkit Tenaga Listrik (*Nuclear power plant*)

Pemanfaatan nuklir untuk kebutuhan energi listrik telah digunakan sejak tahun 1951 yaitu reactor experimental Breeder EBR-I in Arco, Idaho, USA dan pada tahun 1954 di Rusia dari reactor APS-1. Berdasarkan data yang diperoleh dari ENS (*European Nuclear Society*) tertanggal 2 juli 2012, terdapat 435 reaktor nuklir yang telah dibangun dengan kapasitas 370 GW yang tersebar di 31 negara. Dan 62 unit yang sedang dalam konstruksi di 14 negara dengan kapasitas 59 GW.

Table 6.1 Jumlah reactor nuklir yang telah beroperasi dan sedang dalam konstruksi di seluruh dunia.

Negara	Beroperasi		Dalam Konstruksi	
	Jumlah	Kapasitas (MW)	Jumlah	Kapasitas (MW)
Argentina	2	935	1	692
Armenia	1	375	-	-
Belgia	7	5,927	-	-
Brasil	2	1,884	1	1,245
Bulgaria	2	1,906	-	-
Kanada	18	12,604	-	-
China	16	11,816	26	26,620
Taiwan	6	5,018	2	2,600
Republik Ceko	6	3,766	-	-
Finlandia	4	2,736	1	1,600
Prancis	58	63,130	1	1,600
Jerman	9	12,068	-	-
Hungaria	4	1,889	-	-
India	20	4,391	7	4,824
Iran	1	915	-	-
Japan	50	44,215	2	2,650
Korea Selatan	23	20,671	3	3,640
Mexico	2	1,300	-	-
Belanda	1	482	-	-
Pakistan	3	725	2	630
Romania	2	1,300	-	-
Rusia	33	23,643	11	9,927

Slovakia	4	1,816	2	782
Slovenia	1	688	-	-
Afrika Selatan	2	1,830	-	-
Spanyol	8	7,567	-	-
Swedia	10	9,325	-	-
Switzerland	5	3,263	-	-
Ukraina	15	13,107	2	1,900
Inggris Raya	16	9,246	-	-
USA	104	101,465	1	1,165
Total	435	370,003	62	59,245

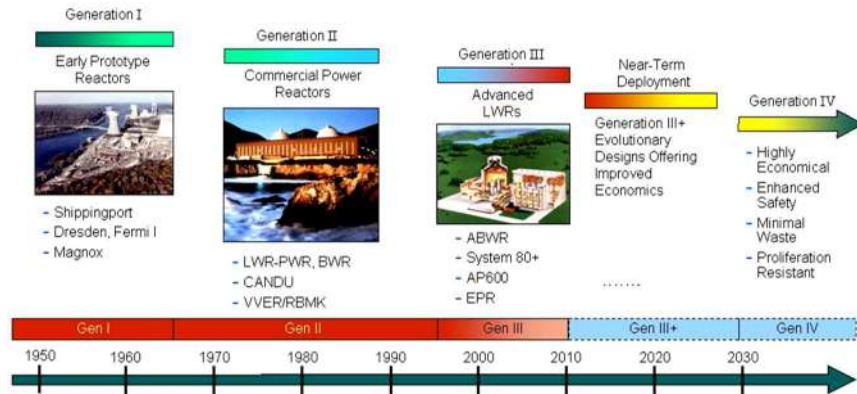
Sumber: European nuclear society, ENS <http://www.euronuclear.org/info/encyclopedia/n/nuclear-power-plant-world-wide.htm>

Banyak faktor yang perlu ditinjau dalam mengembangkan dan menggunakan reaktor nuklir di masa mendatang. Setidaknya terdapat enam factor yang telah diidentifikasi (S. M. Goldberg, 2011),

- Keefektifan harga (*cost-effectiveness*)
Secara ekonomis harganya harus dapat dibeli oleh konsumen. Oleh karena itu harganya harus lebih murah atau paling tidak sama dengan harga listrik dari bahan bakar fosil atau yang lainnya. Agar memiliki nilai ekonomi yang kompetitif maka rekayasa dalam hal bahan bakarnya (*life cycle*) harus dengan teknologi termutakhir
- Keamanan reaktor (*safety*)
Reaktor harus memiliki system keamanan dalam artian harus dikelola oleh perusahaan khusus (professional) dan dengan aturan atau undang-undang (*public policy*) yang jelas.
- Penjagaan dan kenampakan noproliferasi (*security and nonproliferation features*)
Reaktor harus aman dari pembajakan teroris, berkerja sama (terbuka) dengan komisi nuklir internasional, IAEA. Kerjasama dalam bentuk keterbukaan terhadap pemeriksaan, jangan sampai reaktor digunakan untuk produksi senjata nuklir.
- Kesesuaian grid (*grid appropriateness*)
Reaktor yang dibangun harus sesuai dengan kebutuhan energi yang diperlukan, harus sesuai dengan proposal.
- Peta komersil (*commercialization roadmap*), termasuk peluang konstruksi dan lisensi konstruksi.
Memiliki roadmap yang jelas sehingga dapat menarik investor.
- System manajemen bahan bakar (*management of the fuel cycle*)

Bagian *fuel cycle* merupakan bagian yang paling crucial dan elemen yang paling menentukan resiko nuklir yang mungkin terjadi sehingga harus benar-benar aman, terjaga dan bergaransi atau dapat depertanggung jawabkan (*safety, security, and Surety*).

Agar menerapkan seluruh komponen diatas dapat diterapkan pada jenis reaktor masa depan, diperlukan **riset** yang cukup panjang. Riset tentang reaktor tentu merupakan penyempurnaan terhadap jenis reaktor sebelumnya. Perkembangan reaktor dapat dilihat dari masa ke masa atau dari generasi (reaktor) ke generasi. Hingga saat ini reaktor telah memasuki generasi IV, dengan urutan, reaktor generasi I, generasi II, generasi III, generasi III+ dan reaktor generasi IV, seperti gambar berikut;



Gambar 6.1 Reaktor nuklir dari generasi ke generasi

Sumber: U.S Department of Energy dan American Academy of Arts & Sciences ([http://nuclear.en-ergy.gov/genIV/neGenIV1.html](http://nuclear.energy.gov/genIV/neGenIV1.html))

6.2. Reaktor Generasi I

Reaktor generasi I merupakan prototype dan reaktor daya pertama yang di perkenalkan dan digunakan untuk keperluan sipil. Generasi ini dimulai sejak reaktor protipe diperkenalkan pada tahun 1950an dan 1960an, seperti **Shippingport** (1957-1982 di Pennsylvania, **Dresden-1** (1960-1978) di Illinois dan **Calder Hall-1** (1956-2003) di Inggris. Jenis reaktor ini khusus dijalankan pada level daya yang disebut pembuktian dari teori (*proof of concept*). Hingga saat ini, tinggal satu reaktor daya generasi I yang masih beroperasi yaitu **Wylfa Nuclear Reactor Power Station** di Wales (United Kindom, UK).

Reaktor tersebut menurut jadwal seharusnya di matikan pada Oktober tahun 2010 lalu, namun otoritas komisi nuklir UK masih mengijinkannya beroperasi hingga Desember 2012.

6.3. Reaktor Generasi II

Reaktor generasi II merupakan reaktor yang didesain untuk keperluan komersial, bernilai ekonomi dan handal. Generasi II ini didesain untuk dapat beroperasi hingga 40 tahun, prototype dari reaktor ini antara lain **Presszured Water Reactors (PWRs), CANada Deutrium Uranium Reactors (CANDU), Boiling Water Reactors (BWRs), advanced gas-cooled reactors (AGR)** dan **Vodo-Vodyanoi Energetichesky Reactors (VVER)**.

Reaktor generasi II ini mulai beroperasi pada akhir tahun 1960an dan sebagian besar (lebih dari 400 reaktor) merupakan **PWRs dan BWRs**. Reaktor-reaktor ini mengacu pada **light water reactor (LWRs)** yang memiliki keamanan yang sangat tinggi. Kebanyakan reaktor ini masih beroperasi di (dunia) barat yang dioperasikan oleh salah satu dari tiga perusahaan; Westinghouse, Framatome (AREVA) dan General Electric.

Reaktor PWRs dan BWRs banyak digunakan karena menggunakan air sebagai pendingin teras reaktor. Oleh karena menggunakan air maka semua pembangkit jenis ini berada dekat dengan sumber air, misalnya sungai atau danau. Skema dan proses kerja reaktor ini diperlihatkan pada gambar 6.2 dan 6.3.

Generasi II ini telah dikembangkan oleh Korea Selatan (*Korean Standar Nuclear Power Plant*, KSNP) kemudian dikenal dengan nama **KSNP+**. Pada tahun 2005 **KSNP+** berganti nama menjadi **OPR-1000** (*Optimized Power Reactor*) yang diperuntukkan untuk pasar asia, seperti Indonesia dan Vietnam. Saat ini sudah enam jenis reaktor ini yang beroperasi dan empat lainnya dalam konstruksi. China juga mengembangkan reaktor dari reaktor dasar PWR, yaitu **PWR 1000 (CPR-1000)** yang berdasar pada milik Framatome, dapat menghasilkan 900 MW, dan standar PWR 600 MW dan 1.000 MW (**CNP series**). Jumlah reaktor generasi II yang telah beroperasi dan yang masih dalam tahap konstruksi diperlihatkan dalam tabel 6.2

Tabel 6.2 Konstruksi pembangkit listrik tenaga nuklir di dunia

Desain Reaktor	China	Prancis	Jepang	Korea Selatan	Rusia	Lainnya	Total GW
Gen II							
CPR-1000	18						19,4

CNP series	3						2,0
OPR-1000				4			4,0
VVER series					7	4	12,3
Gen III							
APR-1400				2			2,7
ABWR			2			2	5,4
APWR			2				3,1
Gen III+							
AP-1000	4						4,8
EPR	2	1				1	6,6
Jumlah	27	1	4	6	7	7	
Total							60,3

6.4. Reaktor Generasi III

Reaktor generasi III pada hakekatnya merupakan reaktor generasi II yang telah berevolusi, terutama desain reaktornya. Peningkatan desain generasi II (menjadi generasi III) pada area teknologi bahan bakar, efisiensi thermal, modul konstruksi, keamanan system, dan standar desain. Peningkatan ini bertujuan untuk memperpanjang usia pakai reaktor agar dapat beroperasi hingga 60 tahun (generasi II hanya 40 tahun) dan memiliki potensi lebih dari 60 tahun. Berbeda dengan generasi I dan generasi II, generasi III diregulasi (diatur dan diawasi) oleh regulasi NRC (*NRC regulations*) pada 10 CFR bagian 52 (energi *policy act* tahun 1992, lihat lampiran table L.1)

6.5. Reaktor Generasi III+

Jika reaktor generasi III dikembangkan dari generasi II, maka reaktor generasi III+ merupakan pengembangan dari generasi III. Semua reaktor generasi III+ harus disertifikasi oleh NRC sesuai dengan 10 CFR bagian 52. Berikut beberapa contoh reaktor generasi III+,

- **VVER-1200/392 M** Reactor tipe dari **AES-2006**.
- Advanced CANDU Reactor (**ACR-1000**)
- European Pressurized Reactor (**EPR**): evolusi dari keturunan Framatome **N4** dan Siemens Power Generation Division **KONVOI** reactor.
- Economic Simplified Boiling Water Reactor (**ESWBR**); dasar dari reaktor **ABWR**
- **APR-1400: PWR** lanjutan yang dikembangkan dari **U.S System 80+**, aslinya disebut Korean Next Generation Reactor (**KNGR**).

- **EU-ABWR**: dasar dari **ABWR** dengan peningkatan daya output dan penyesuaian dengan standar keamanan uni-Eropa.
- **Advanced PWR (APWR)**: didesai oleh *Mitsubishi Heavy Industries (MHI)*.
- **ATMEA I**: daya sekitar 1.000 – 1.160 MW **PWR**, hasil kolaborasi antara **MHI** dan **AREVA**

Desain reaktor generasi III dan III+ telah menjadi standar bagi dunia barat dan diharapkan menjadi standar diseluruh dunia sebagai standar keamanan dan pengamanan.

6.6. Reaktor Generasi IV

Reaktor generasi IV hingga saat ini masih dalam taraf konsep. Generasi ini merupakan implementasi gabungan dari Generasi III, generasi III+ dan **SMR** (**SMR** akan dibahas pada sub bab berikutnya). Selain konsep generasi IV dikembangkan dari ketiga jenis reaktor itu, juga diharapkan dapat diterapkan dari konsep reaktor fusi. Konsep reaktor generasi IV diantaranya;

- Reaktor air bertemperatur tinggi tinggi, reaktor gas bertemperatur tinggi dan reaktor *liquid salt-base pebble bed thermal* dan reaktor epitermal.
- Reaktor *liquid meta-cooled* dan reaktor-reaktor lain dengan pendingin lanjutan. Salah satu desain yang dikembangkan oleh GE-Hitachi adalah **power Reactor innovative small module (PRISM)**.
- Reaktor dengan transmudasi nuklir (*nuclear transmutation*) yang dikembangkan oleh **TerraPower**.
- **Hyperion Power Module (25 MW Module)**.

Model-model reaktor generasi IV diatas diperkirakan baru dapat direalisasikan 20 hingga 40 tahun lagi. Salah satu reaktor generasi keempat yang saat ini sedang dikembangkan adalah **Very High Temperature Reactor**, dengan temperature hingga 950 °C. reaktor ini dikembangkan oleh Departemen energi Amerika (*U.S. Department of Energy, DOE*) dan komisi regulasi nuklir (*Nuclear Regulatory Commission, NRC*) dengan nama proyek **The Next Generation Nuclear Power Plant (NGNP)** (S. M. Goldberg dan R. Rosner, 2011).

Riset mengenai reaktor generasi IV sangat aktif dilakukan di beberapa negara yang mengandalkan energi nuklir sebagai sumber energi listriknya. Negara-negara yang dimaksud adalah Amerika Serikat, China, Prancis, India dan beberapa Negara bekas Uni Soviet. Saat ini terdapat delapan jenis reaktor generasi IV yang sedang dikembangkan, seperti pada tabel berikut;

Tabel 6.3 Karakteristik dan parameter operasi dari delapan sistem reaktor generasi IV yang sedang dikembangkan

	Neutron Sprktrum (Cepat/panas)	Pendingin	Tempertur (°C)	Tekanan*	Bahan bakar	Siklus bahan bakar	Ukuran (s) (MWc)	Kegunaan
Gas-cooled fast reactors	Fast	Helium	850	High	U-238 [†]	Closed, on site	1.200	Listrik & Hidrogen ^{††}
Lead-cooled fast reactors	Fast	Lead or lead-bismuth	480-800	Low	U-238 [†]	Closed, regional	20-180** 300-1.200 600-1.000	Listrik & Hidrogen ^{††}
Molten salt fast reactors	Fast	Fluoride salts	750-1.000		UF in salt	Open	1.000	Listrik & Hidrogen ^{††}
Molten salt reactor-Advanced high temperature ractors	Thermal	Fluoride salts	750-1.000		UO ₂ particles in prism	Open	1.000-1.500 30-150	Hydrogen
Sodium-cooled fast reactors	Fast	Sodium	550	Low	U-238 & MOX	Closed	300-1.500 1.000-2.000 300-700	Listrik
Travelling wave reactors	Fast	Sodium	~510	Low	U-238 metal with U-235 igniter	Open	400-1.500	Listrik

					seed			
Supercritical water-cooled reactors	Thermal or fast	Water	510-625	Very high	UO ₂	Open (thermal) Closed (fast)	1.000-1.500	Listrik
Very high temperature gas reactors	Thermal	Helium	900-1.000	High	UO ₂ prism or pebbles	Pen	250-300	Listrik & Hidrogen ^{††}

* High = 7 – 15 megapascal

** Model baterai (umur operasi 15-20 tahun) atau dengan modul reaktor yang bias diganti

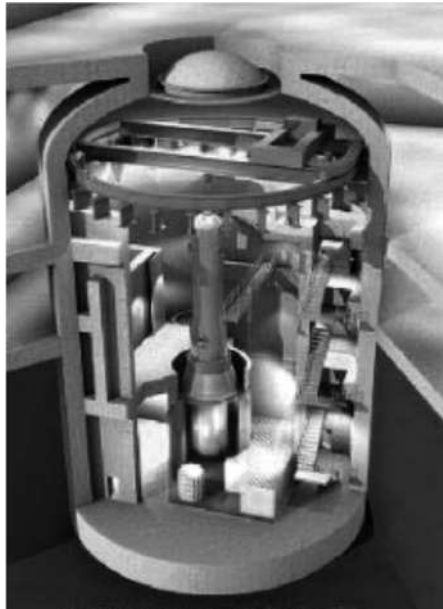
† Campuran dengan beberapa U-235 atau Pu-239

†† Pembangkit dapat mengefisinkan produksi hydrogen karena beroperasi dalam temperature tinggi.

Sumber: S. M. Goldberg dan R. Rosner, 2011: 17

6.7. Small Module Reactors (SMRs)

Jenis reaktor ini lebih kecil dari jenis reaktor yang lain. Kelebihan reaktor ini adalah tingkat keamanan dan keselamatannya yang sangat tinggi. Namun karena ukurannya jauh lebih kecil dari jenis reaktor konvensional maka biaya pengembangan dan konstruksinya sangat mahal. Salah satu contoh jenis reaktor SMRs ini adalah reaktor **mPower 125 MW module** (lihat gambar 6.4) yang merupakan pengembangan desain dari **LWR modul. mPower** dikembangkan oleh *Babcock and Wilcox Nuclear Energy Inc. (B&W NE)* dan *Bechtel Power Corporation*.



Gambar 6.2 Desain Small Module Reactor

Jenis-jenis reaktor SMRs yang sedang dikembangkan oleh beberapa vendor dan perusahaan adalah sebagai berikut;

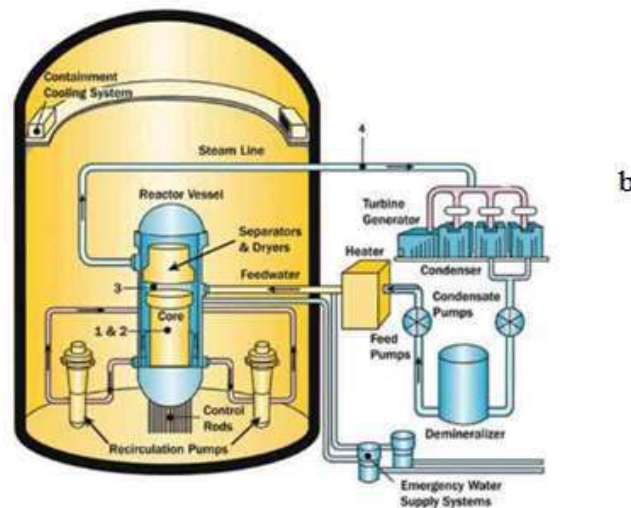
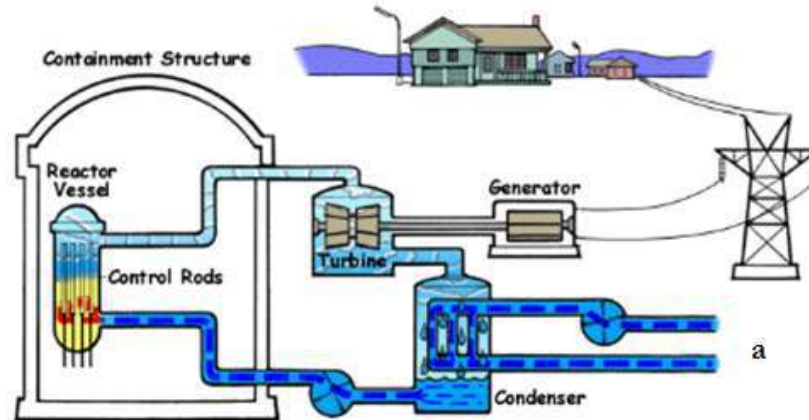
- **Water cooled reactor with small coated particle fuel without on-site refueling : AFPR (PNNL)**
- **Sodium-cooled small reactor with extended fuel cycle : 4S (Westinghouse/Toshiba); PRISM (GE); ARC (ARC).**
- **Lead or lead-bismuth-cooled small reactor with extended fuel cycle : HPM (Hyperion); LFR/SSTAR dan berbagai variasinya**

seperti STAR-LM, STAR-H2, dan SSTAR (ANL, LLNL, dan LANL); ENHS (UC BERKELY).

- Gas-cooled fast neutron spectrum reactor *with extended fuel cycle*: EM2 (GA).
- Gas-cooled thermal neutron spectrum reactor: MHR (GA); PBMR (Westinghouse); ANTARES (AREVA-U.S).
- Salt-cooled small reactor *with pebble-bed fuel*: PB-AHTR (UC Berkeley); SmATH (ORNL).

6.8. Jenis reaktor berdasarkan proses kerjanya.

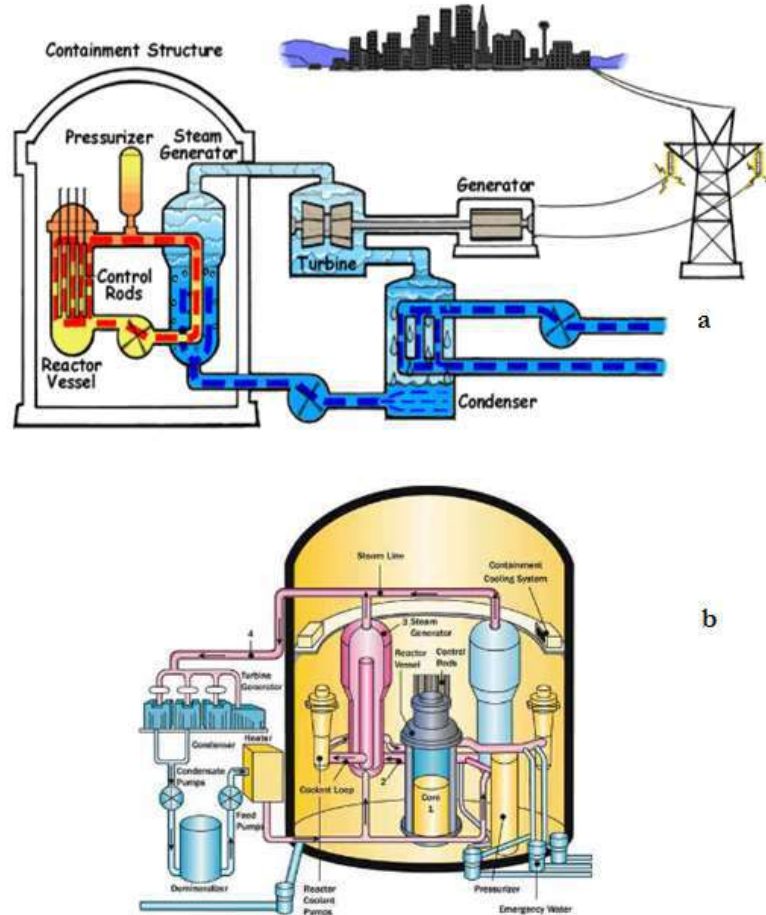
6.8.1. Reaktor Air Didih (*Boiling water reactors, BWRs*)



Gambar 6.3 Reaktor Air Didih (*Boiling water reactors, BWRs*). (a) Alur kerja, (b) Inti reaktor

Sumber: United State Nuclear Regulatory Commission, U. S. NRC: <http://www.nrc.gov/reactors/pwrs.html> (Update: agustus 2012)

6.8.2. Reaktor Air Tekan (*Pressurized water reactor, PWRs*)

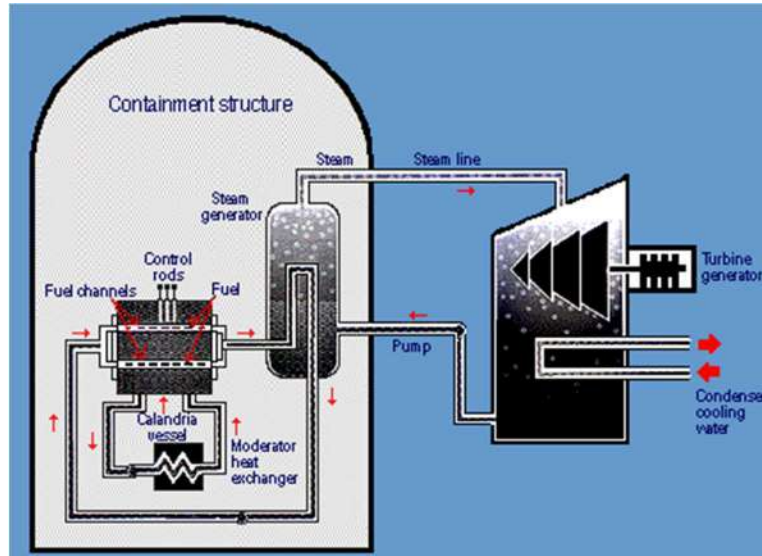


Gambar 6.4 Reaktor Air Tekan (*Pressurized water reactor, PWRs*). (a) Alur kerja, (b) Inti reaktor

Sumber: United State Nuclear Regulatory Commission, U. S. NRC: <http://www.nrc.gov/reactors/pwrs.html> (Update: agustus 2012)

6.8.3. Pressurised Heavy Water Reactor (PHWR atau CANDU)

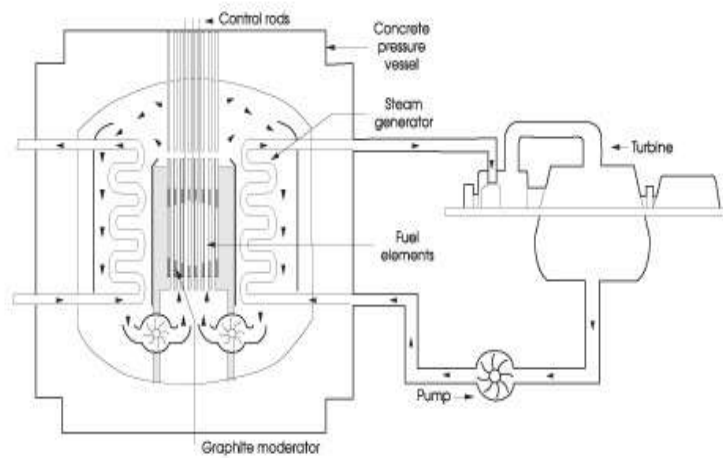
Reactor PHWR atau CANDU telah dikembangkan sejak tahun 1950an di Canada dan reactor terbaru terdapat di India. Reactor ini menggunakan bahan bakar uranium alami (0,7 % ^{235}U) dan moderator air berat (D_2O), karena menggunakan air berat maka tanki moderator di buat sangat besar yang disebut Candaria. Desain terbaru dari reactor CANDU adalah Advaced Candu Reactor (ACR) yang diperkaya dari segi bahn bakarnya.



Gambar 6.5 Reaktor CANDU

6.8.4. Advanced Gas-cooled Reactor (AGR)

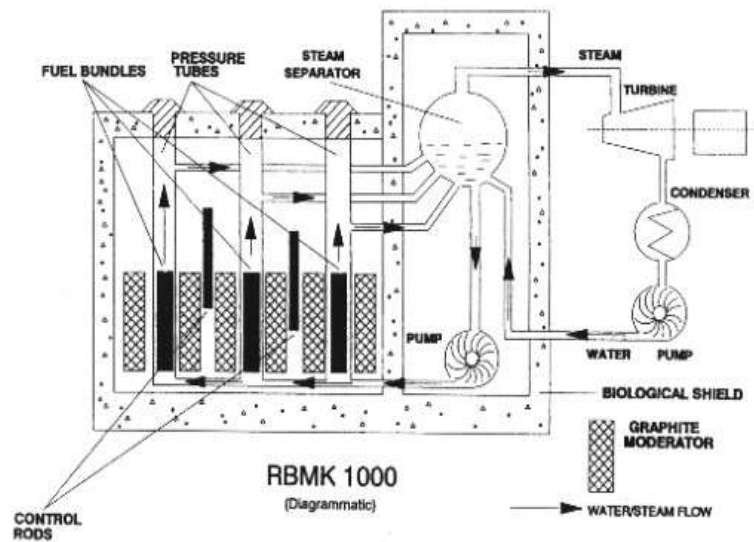
Reactor AGR merupakan generasi kedua dari British gas-cooled reactor. Menggunakan graphite sebagai moderator dan berpendingin karbondioksida. Bahan bakar yang digunakan adalah uranium oksida berbentuk bola-bola kecil (*uranium oxide pellets*) yang diperkaya 2,5-3,5%. Saat ini terdapat dua dari jenis reactor ini yang masih beroperasi di Inggris, masing-masing berpendingin CO_2 dan Air.



Gambar 6.6 Skematik Reaktor AGR

6.8.5. Light water graphite-moderated reactor (RBMK)

Reaktor RBMK atau *reaktor bolshoy moshchnosty kanalny*, high-power channel reactor merupakan jenis reaktor yang sangat berbeda dengan jenis reaktor yang banyak digunakan di dunia. Reaktor ini didesain dan hanya digunakan di Rusia (Uni Soviet). RBMK menggunakan air dingin bertekanan tinggi dengan saluran bahan bakar tunggal dan menggunakan graphite sebagai moderatornya. Desain ini dimaksudkan agar reaktor dapat memproduksi energi listrik dan sekaligus dapat menghasilkan plutonium. Reaktor Chernobyl yang meledak pada 26 April 1986 adalah merupakan jenis RBMK. Tercatat bahwa terdapat 19 (3 di Lithuania, 4 di Ukraina dan 12 di Rusia) reaktor jenis ini yang pernah di bangun dan 11 diantaranya masih beroperasi (hingga 2026)



Gambar 6.7 Skematik reaktor RBMK

<http://www.world-nuclear.org/info/inf31.html>

6.8.6. Fast neutron reactors (FNR)

FNR merupakan jenis reaktor yang menggunakan ^{238}U , mirip dengan ^{235}U yang digunakan dalam kebanyakan reaktor. Jika FNR didesain untuk menghasilkan banyak plutonium maka reaktor ini disebut Fast Breeder Reactors (FBR). Jenis reaktor FNR baru 1 yang di gunakan sebagai pembangkit listrik sedangkan lainnya masih merupakan reaktor eksperien dan prototype. Namun setidaknya terdapat sekitar 20 jenis reaktor ini yang akan memasuki tahap konstruksi untuk keperluan energi listrik. USA, China, Prancis, Jepang, Jerman, Khazakstan, India dan Rusia adalah Negara yang aktif dalam mengembangkan jenis reaktor ini.

Sebaran penggunaan jenis reactor nuklir diberbagai Negara dapat dilihat pada table berikut

Table 6.4 Jumlah reactor nuklir berdasarkan jenisnya yang telah beroperasi

Tipe Reactor	Negara	Jumlah	Kapasitas (GW)	Bahan Bakar	Pendingin	Moderator
Pressurised Water Reactor (PWR)	USA, Prancis, Jepang, Rusia, China	271	270.4	UO ₂ yang diperkaya	Air	Air
Boiling Water reactor (BWR)	USA, Japan, Swedia	84	81.2	UO ₂ yang diperkaya	Air	Air
Pressurised Heavy Water Reactor 'CANDU' (PHWR)	Kanada	48	27.1	Natural UO ₂	Air berat	Air berat
Gas-cooled Reactor (AGR & Magnox)	UK	17	9.6	Natural U (metal), UO ₂ yang diperkaya	CO ₂	Graphite
Light Water Graphite Reactor (RBMK)	Rusia	11	10.4	UO ₂ yang diperkaya	Air	Graphite
Fast Neutron Reactor (FNR)	Rusia	1	0.6	PuO ₂ dan UO ₂	liquid sodium	-
Lainnya	Rusia	4	0.04	UO ₂ yang diperkaya	Air	Graphite
Jumlah		436 399.3	436 399.3			

Berdasarkan data dari **World Nuclear Assosiation** akan dibangun puluhan reactor nuklir diberbagai negara hingga tahun 2017. Sebagian telah memasuki tahap konstruksi pada tahun 2012 ini (lihat table 6.1) dan sisanya akan dibangun hingga tahun 2017 seperti yang ditunjukkan dalam table berikut;

Tabel 6.5 Jumlah Reaktor Yang Akan Dibangun Hingga Tahun 2017

No	Rencana Operasi	Negara, Perusahaan Operator	Nama Reactor	Tipe	Kapasitas (MW)
1	2012	India, NPCIL	Kaiga 4	PHWR	202
2	2012	Iran, AEOI	Bushehr 1	PWR	950
3	2012	Russia, Rosenergoatom	Kalinin 4	PWR	950
4	2012	Korea, KHNP	Shin Kori 2	PWR	1000
5	2012	Korea, KHNP	Shin Wolsong 1	PWR	1000
6	2012	Canada, Bruce Pwr	Bruce A1	PHWR	769
7	2012	Canada, Bruce Pwr	Bruce A2	PHWR	769
8	2012	Canada, NB Power	Point Lepreau 1	PHWR	635
9	2012	Argentina, CNEA	Atucha 2	PHWR	692
10	2012	India, NPCIL	Kudankulam 1	PWR	950
11	2012	India, NPCIL	Kudankulam 2	PWR	950
12	2012	China, CNNC	Qinshan phase II-4	PWR	650

13	2012	China, CGNPC	Hongyanhe 1	PWR	1080
14	2012	China, CGNPC	Ningde 1	PWR	1080
1	2013	Slovakia, SE	Mochovce 3	PWR	440
2	2013	Korea, KHNP	Shin Wolsong 2	PWR	1000
3	2013	Korea, KHNP	Shin-Kori 3	PWR	1350
4	2013	USA, TVA	Watts Bar 2	PWR	1180
5	2013	Russia, Rosenergoatom	Leningrad II-1	PWR	1070
6	2013	China, CNNC	Sanmen 1	PWR	1250
7	2013	China, CGNPC	Ningde 2	PWR	1080
8	2013	China, CGNPC	Yangjiang 1	PWR	1080
9	2013	China, CGNPC	Taishan 1	PWR	1700
10	2013	China, CNNC	Fangjiashan 1	PWR	1080
11	2013	China, CNNC	Fuqing 1	PWR	1080
12	2013	China, CGNPC	Hongyanhe 2	PWR	1080
13	2013	Slovakia, SE	Mochovce 4	PWR	440
14	2013	India, Bhavini	Kalpakkam	PWR	470
1	2014	Finland, TVO	Olkilouto 3	PWR	1600

2	2014	Russia, Rosenergoatom	Vilyuchinsk	PWR x 2	70
3	2014	Russia, Rosenergoatom	Novovoronezh II-1	PWR	1070
4	2014	Taiwan Power	Lungmen 1	ABWR	1300
5	2014	Japan, Chugoku	Shimane 3	ABWR	1375
6	2014	China, CNNC	Sanmen 2	PWR	1250
7	2014	China, CPI	Haiyang 1	PWR	1250
8	2014	China, CGNPC	Ningde 3	PWR	1080
9	2014	China, CGNPC	Hongyanhe 3	PWR	1080
10	2014	China, CGNPC	Hongyanhe 4	PWR	1080
11	2014	China, CGNPC	Yangjiang 2	PWR	1080
12	2014	China, CGNPC	Taishan 2	PWR	1700
13	2014	China, CNNC	Fangjiashan 2	PWR	1080
14	2014	China, CNNC	Fuqing 2	PWR	1080
15	2014	China, CNNC	Changjiang 1	PWR	650
16	2014	Korea, KHNP	Shin-Kori 4	PWR	1350
17	2014	Japan, EPDC/J Power	Ohma 1	ABWR	1350
18	2014	Russia, Rosenergoatom	Rostov 3	PWR	1070

19	2014	Russia, Rosenergoatom	Beloyarsk 4	FNR	750
1	2015	Taiwan Power	Lungmen 2	ABWR	1300
2	2015	China, CGNPC	Yangjiang 3	PWR	1080
3	2015	China, CPI	Haiyang 2	PWR	1250
4	2015	China, CGNPC	Ningde 4	PWR	1080
5	2015	China, CGNPC	Fangchenggang 1	PWR	1080
6	2015	China, CNNC	Changjiang 2	PWR	650
7	2015	China, CNNC	Hongshiding 1	PWR	1080
8	2015	China, CNNC	Fuqing 3	PWR	1080
9	2015	China, China Huaneng	Shidaowan	HTR	200
10	2015	India, NPCIL	Kakrapar 3	PHWR	640
1	2016	France, EdF	Flamanville 3	PWR	1600
2	2016	Korea, KHNP	Shin-Ulchin 1	PWR	1350
3	2016	Romania, SNN	Cernavoda 3	PHWR	655
4	2016	Russia, Rosenergoatom	Novovoronezh II-2	PWR	1070
5	2016	Russia, Rosenergoatom	Leningrad II-2	PWR	1200
6	2016	Russia, Rosenergoatom	Rostov 4	PWR	1200

7	2016	Ukraine, Energoatom	Khmelnitsky 3	PWR	1000
8	2016	India, NPCIL	Kakrapar 4	PHWR	640
9	2016	India, NPCIL	Rajasthan 7	PHWR	640
10	2016	China, CGNPC	Yangjiang 4	PWR	1080
11	2016	China, CGNPC	Hongyanhe 5	PWR	1080
12	2016	Pakistan, PAEC	Chashma 3	PWR	300
13	2016	China,	Beberapa lainnya		
1	2017	Russia, Rosenergoatom	Baltic 1	PWR	1200
2	2017	Russia, Rosenergoatom	Leningrad II-3	PWR	1200
3	2017	Ukraine, Energoatom	Khmelnitsky 4	PWR	1000
4	2017	India, NPCIL	Rajasthan 8	PHWR	640
5	2017	Korea, KHNP	Shin-Ulchin 2	PWR	1350
6	2017	Romania, SNN	Cernavoda 4	PHWR	655
7	2017	Japan, JAPC	Tsuruga 3	APWR	1538
8	2017	Pakistan, PAEC	Chashma 4	PWR	300
9	2017	Bulgaria, NEK	Belene 1	PWR	1000
10	2017	China, CNNC	Taohuajiang 1	PWR	1250

11	2017	China,	Beberapa lainnya		
----	------	--------	------------------	--	--

6.9. Akselerator (*accelerator*)

Akselerator merupakan reaktor khusus yang digunakan untuk mempercepat partikel sehingga sering juga disebut akselerator partikel (*particle accelerators*). Reaktor jenis ini umumnya digunakan untuk penelitian, namun sebagian juga digunakan dalam dunia medis. Akselerator dapat dibedakan berdasarkan fungsi dan energi yang dihasilkan.

- **Akselerator elektrostatik**
 - Cockcroft-Walton Machines
 - Akselerator Van de Graaff
- **Resonan akselerator**
 - Cyclotron
 - LINAC (*linear Accelerator*)
- **Akselerator penumbuk partikel (Colliders)**
 - Elektron-positron colliders
 - Hadron collider
 - Elektron-proton colliders

Berikut ini disajikan jenis-jenis akselerator yang pernah dibuat dan dioperasikan baik yang digunakan untuk penelitian fisika nuklir maupun yang digunakan untuk fisika partikel.

6.9.1. Akselerator pertama (*Early Accselerators*)

a. Cyclotron

Tabel 6.5 Jenis-jenis Akselerator Cyclotron*

Akselerator	Lokasi	Tahun operasi	Bentuk	Partikel yang dipercepat	Energi kinetik	Keterangan
23 cm cyclotron	University of California, Berkeley	1931	Circular	H_2^+	1,0 MeV	Pembuktian konsep
28 cm cyclotron	University of California, Berkeley	1932	Circular	Proton	1,2 MeV	
68 cm cyclotron	University of California, Berkeley	1932–1936	Circular	Deuteron	4,8 MeV	Investigasi interaksi deuteron-inti
94 cm cyclotron	University of California, Berkeley	1937–1938	Circular	Deuteron	8 MeV	Menemukan banyak isotop
152 cm cyclotron	University of California, Berkeley	1939-	Circular	Deuteron	16 MeV	Menemukan banyak isotop
467 cm cyclotron	Berkeley Rad Lab	1942-	Circular	Bervariasi	>100 MeV	Riset pembelahan uranium
Calutrons	Oak ridge National Laboratory	1943-	Horseshoe	Inti Uranium		Digunakan dalam proyek Manhattan

95-inch cyclotron	Harvard cyclotron laboratory	1949–2002	Circular	Proton	160 MeV	Riset fisika nuklir (1949-1961), Riset terapi proton hingga 2002
-------------------	------------------------------	-----------	----------	--------	---------	--

b. Cockcroft-Walton Machines

Tabel 6.6 Akselerator Cockcroft-Walton*

Akselerator	Lokasi	Tahun operasi	Bentuk	Partikel yang dipercepat	Energi kinetik	Keterangan
Cockcroft-Walton electrostatic accelerator	Cavendish Laboratory	1932		Proton	0,7 MeV	Mempelajari pembelahan inti (litium)

c. Synchrotron

Tabel 6.7 Jenis-jenis Akselerator Synchrotron

Akselerator	Lokasi	Tahun operasi	Bentuk	Partikel yang dipercepat	Energi kinetik	Keterangan
Cosmotron	Brookhaven National Laboratory	1953–1968	Circular ring (keliling 27 m)	Proton	3,3 GeV	Menemukan partikel V, mempelajari produksi meson
Birmingham Synchrotron	University of Birmingham	1953–1967		Proton	1 GeV	
Bevatron	Berkeley Rad Lab i.e. LBNL	1954-~1970	Race track	Proton	6.2 GeV	Menemukan anti proton dan anti neutron
Bevalac	Berkeley Rad Lab i.e. LBNL	~1970-1993	LINAC dilanjutkan dengan race	Semua inti nuklir stabil		Observasi komposisi nuklir dan penggunaan ion untuk terapi kanker

			track			
Saturne	Saclay, Prancis				3 GeV	
Synchrotron	Dubna, Rusia	1949-sekarang			10 GeV	
Zero gradientsynchrotron	Argonne National Laboratory	1963–1979			12,5 GeV	
Proton synchrotron	Brookhaven National Laboratory	1960-	Circular ring (keliling 600 m)		28 GeV	Untuk menunjang ISR, SPS & LHC

6.9.2. Akselerator dengan target tetap (*Fixed-Target Accelerators*)

a. Akselerator Hadron intensitas tinggi (*High Intensity Hadron Accelerators*)

Tabel 6.8 Jenis-jenis Akselerator Hadron intensitas tinggi (*High Intensity Hadron Accelerators*)*

Akselerator	Lokasi	Tahun operasi	Bentuk	Partikel yang dipercepat	Energi kinetik	Keterangan
High Current Proton Accelerator Los Alamos Neutron Science Center	Los Alamos National Laboratory	1972–sekarang	Linear (800 m) dan Circular (30 m)	Proton	800 MeV	Riset Neutron Material, proton radiografi, neutron energi tinggi, neutron ultra dingin.
PSI, HIPA High Intensity 590 MeV Proton Accelerator	PSI, Villigen, Switzerland	1974 - sekarang	0.8 MeV CW, 72 MeV Injector 2, 590 MeV Ringcyclotron	Proton	590 MeV, 2.4 mA, =1.4 MW	Highest beam power, used for meson and neutron production with applications in materials science

TRIUMF Cyclotron	1974 - sekarang		Circular	H-ion	500 MeV	Menjadi konsep dasar pengembangan cyclotron, merupakan cyclotron terbesar (17,9 m)
ISIS neutron source	Rutherford Appleton Laboratory, Chilton, Oxfordshire, United Kingdom	1984 - sekarang	H- Linac diikuti oleh proton RCS	Proton	800 MeV	Proton beam dengan pulse operasi terbesar di dunia
Spallation neutron source	Oak ridge National Laboratory	2006 - sekarang	Linear (335 m) and Circular (248 m)	Proton	800 MeV - 1 GeV	

b. Akselerator elektron dan hadron intensitas rendah (*electron and hadron low intensity accelerators*)

Tabel 6.9 Jenis-jenis Akselerator elektron dan hadron intensitas rendah (*electron and hadron low intensity accelerators*)*

Akselerator	Lokasi	Tahun operasi	Bentuk	Partikel yang dipercepat	Energi kinetik	Keterangan
Cambridge Electron Accelerator	Harvard University dan MIT, Cambridge, MA	1962-1974	236 ft diameter synchrotron	Elektron	6 GeV	

SLAC Linac	SLAC National Laboratory	1966–sekarang	3 km (LINAC)	Elektron, positron	50 GeV	Beberapakali di upgrade untuk keperluan PEP, SPEAR, SLC, dan PEP-II
Fermilab Booster	Fermilab	1970-sekarang	Circular Synchrotron	Proton	8 GeV	MiniBooNE
Fermilab Main Injector	Fermilab	1955-sekarang	Circular Synchrotron	Protons and antiprotons	150 GeV	MINOS
Fermilab Main Ring	Fermilab	1970–1995	Circular Synchrotron	Protons and antiprotons	400 GeV (sampai 1979), 150 GeV setelahnya	
Super proton synchrotron	CERN	1980-sekarang	Circular Synchrotron	Protons and ions	480 GeV	COMPASS, OPERA dan ICARUS di Laboratori Nazionali del Gran Sasso
Bates Linear accelerators	Middleton, MA	1967–2005	500 MeV recirculating linac and storage ring	Polarisasi elektron	1 GeV	
Continuous Electron Beam Accelerator Facility (CEBAF)	Thomas Jefferson National Accelerator Facility, Newport News, VA	1995-sekarang (upgrading to 12 GeV)	6 GeV recirculating linac	Polarisasi elektron	6 GeV	DVCS, PrimEx II, Qweak, Superconducting RF
ELSA	Physikalisches Institut der	1987-sekarang	synchrotron and stretcher	Polarisasi elektron	3.5 GeV	Crystal barrier

	Universität Bonn, Germany					
MAMI	Mainz, Germany		1.5 GeV accelerator	Polarisasi elektron		
Tevatron	Fermilab	1983–2011	Superconducting Circular Synchrotron	Proton	980 GeV	
Universal Linear Accelerator (UNILAC)	GSI Helmholtz Centre for Heavy Ion Research, Darmstadt, Germany	1974- sekarang	Linear (120 m)	Ion dari semua elemen		
Schwerionensynchrotron (SIS18)	GSI Helmholtz Centre for Heavy Ion Research, Darmstadt, Germany	1990- sekarang	Synchrotron dengan keliling 271 m	Ion dari semua elemen	U: 50- 1000 MeV /u Ne: 50- 2000 MeV /up: 4,5 GeV	
ALBA	C ELLS Cerdanyola del Vallès, Catalonia, Spanyol	2010- sekarang	Synchrotron dengan keliling 270 m	Polarisasi elektron	3 GeV	MSPD Material Sciences and Powder Diffraction, MISTRAL X-ray microscopy, NCD Non- Crystalline Diffraction, XALOC Macromolecular Crystallography, CLÆSS

						Core-Level Absorption & Emission Spectroscopies, CIRCE Photoemission Spectroscopy and Microscopy, BOREAS Resonant absorption and scattering
--	--	--	--	--	--	---

6.9.3. Akselerator penumbuk partikel (*Colliders*)

a. Electron-positron colliders

Tabel 6.10 Jenis-jenis Akselerator Elektron-positron colliders*

Akselerator	Lokasi	Tahun operasi	Bentuk, ukuran	Energi elektron	Energi positron	Eksperimen	Temuan
AdA	Frascati, Italia; Orsay, Prancis	1961–1964	Circular, 3 m	250 MeV	250 MeV		Touschek effect (1963); first e^-e^- interactions recorded (1964)
Princeton-Stanford (e^-e^-)	Stanford, California	1962–1967	Two-ring, 12 m	300 MeV	300 MeV		e^-e^- interactions
VEP-1 (e^-e^-)	INP, Novosibirsk, Uni Soviet	1964–1968	Two-ring, 2.70 m	130 MeV	130 MeV		e^-e^- scattering; QED radiative effects confirmed
VEPP-2	INP, Novosibirsk,	1965–1974	Circular, 11.5 m	700 MeV	700 MeV	OLYA, CMD	multihadron production (1966), $e^+e^- \rightarrow \varphi$ (1966),

	Uni Soviet						$e^+e^- \rightarrow \gamma\gamma$ (1971)
SPEAR	SLAC	1972-1990				Mark I, Mark II, Mark III	Discovery of Charmonium states
VEPP-2M	BINP, Novosibirsk	1974-2000	Circular, 17.88 m	700 MeV	700 MeV	ND, SND, CMD-2	e^+e^- cross sections, radiative decays of ρ , ω , and φ mesons
DORIS	DESY	1974-1993	Circular, 300m	5 GeV	5 GeV	ARGUS, Crystal Ball, DASP, PLUTO	Oscillation in neutral B mesons
PETRA	DESY	1978-1986	Circular, 2 km	20 GeV	20 GeV	JADE, MARK-J, PLUTO, TASSO	Discovery of the gluon in three jet events
CESR	Cornell University	1979-2002	Circular, 768m	6 GeV	6 GeV	CUSB, CHES, CLEO, CLEO-2, CLEO-2.5, CLEO-3	First observation of B decay, charmless and "radiative penguin" B decays
SLC	SLAC	1988-1998	Addition to SLAC Linac	45 GeV	45 GeV	SLD, Mark II	First linear collider
PEP	SLAC	1980-1990				Mark II	
LEP	CERN	1989-2000	Circular,	104 GeV	104 GeV	Aleph,	Only 3 light ($m \leq m_Z/2$)

			27 km			Delphi, Opal, L3	weakly interacting neutrinos exist, implying only three generations of quarks and leptons
BEPC	China	1989–2004	Circular, 240m	2.2 GeV	2.2 GeV	Beijing Spectrometer (I and II)	
VEPP-4M	BINP, Novosibirsk	1994-	Circular, 366m	6.0 GeV	6.0 GeV	KEDR	Precise measurement of Υ -meson masses
PEP-II	SLAC	1998–2008	Circular, 2.2 km	9 GeV	3,1 GeV	BaBar	Discovery of CP violation in B meson system
KEKB	KEK, Japan	1999–2009	Circular, 3 km	8.0 GeV	3,5 GeV	Belle	Discovery of CP violation in B meson system
DAΦNE	Frascati, Italia	1999-	Circular, 98m	0.7 GeV	0.7 GeV	KLOE	Crab-waist collisions (2007)
CESR-c	Cornell University	2002–2008	Circular, 768m	6 GeV	6 GeV	CHES, CLEO-c	
VEPP-2000	BINP, Novosibirsk	2006-	Circular, 24.4m	1.0 GeV	1.0 GeV	SND, CMD- 3	Round beams (2007)
BEPC II	China	2008-	Circular, 240m	3.7 GeV	3.7 GeV	Beijing Spectrometer III	

b. Hadron collider

Tabel 6.11 Jenis-jenis Akselerator Hadron collider*

Akselerator	Lokasi	Tahun operasi	Bentuk, ukuran	Partikel yang ditumbukkan	Energi hamburan	Eksperimen
Intersecting Storage Rings	CERN	1971–1984	Circular rings, 948 m	Proton/Proton	31.5 GeV	
Super Proton Synchrotron/Spps	CERN	1981–1984	Circular ring, 6.9 km	Proton/Antiproton	270-315 GeV	UA1, UA2
Tevatron Run I	Fermilab	1992–1995	Circular ring, 6.3 km	Proton/Antiproton	900 GeV	CDF, D0
Tevatron Run II	Fermilab	2001–2011	Circular ring, 6.3 km	Proton/Antiproton	980 GeV	CDF, D0
Relativistic Heavy Ion Collider RHIC) polarized proton mode	Brookhaven National Laboratory, New York	2001–sekarang	Hexagonal rings, 3.8 km	Polarized Proton/Proton	100-250 GeV	PHENIX, STAR
Relativistic Heavy Ion Collider RHIC) ion mode	Brookhaven National Laboratory, New York	2000–sekarang	Hexagonal rings, 3.8 km	d- $^{197}\text{Au}^{79+}$; $^{63}\text{Cu}^{29+}$ - $^{63}\text{Cu}^{29+}$; $^{197}\text{Au}^{79+}$ - $^{197}\text{Au}^{79+}$	4.6-100 GeV per nukleon	STAR, PHENIX, Brahms, Phobos
Large Hadron Collider (LHC)	CERN	2008–sekarang	Circular rings, 27 km	Proton/Proton	4 TeV (desain: 7	ALICE, ATLAS, CMS, LHCb, LHCf, TOTEM

proton mode**					TeV)	
Large Hadron Collider (LHC) ion mode	CERN	2008-sekarang	Circular rings, 27 km	208Pb ⁸²⁺ -208Pb ⁸²⁺	2.76 TeV per nucleon	ALICE, ATLAS, CMS

c. Elektron-proton colliders

Tabel 6.12 Akselerator Elektron-proton colliders*

Akselerator	Lokasi	Tahun operasi	Bentuk, ukuran	Energi elektron	Energi positron	Eksperimen
HERA	DESY	1992–2007	Circular ring, 6336 m	27.5 GeV	920 GeV	H1, ZEUS, HERMES, HERA-B

* Data-data diatas diperoleh dari sumber berikut;

(A. Das dan T. Ferbel, 2005; W. K. H. Panofsky, 1997;

http://en.wikipedia.org/wiki/List_of_accelerators_in_particle_physics#Fixed-target_accelerators;

http://en.wikipedia.org/wiki/Particle_physics; <http://public.web.cern.ch/public/>;

<http://www6.slac.stanford.edu/AboutSLAC.aspx>; http://en.wikipedia.org/wiki/Large_Hadron_Collider;

<http://oasis.lib.harvard.edu/oasis/deliver/~hua11001>; http://en.wikipedia.org/wiki/Cockcroft-Walton_generator;

<http://en.wikipedia.org/wiki/Cyclotron>)__**(Update: Agustus, 2012)**.

** LHC CERN berhasil mendeteksi keberadaan partikel Tuhan (*Higgs Boson*) yang diumumkan pada 4 Juli 2012.

Gambar berbagai jenis akselerator yang disebutkan diatas dapat dilihat pada lampiran

Latihan

1. Sebutkan berapa generasi reaktor pembangkit listrik tenaga nuklir
2. Jelaskan perbedaan reaktor nuklir untuk penelitian dan untuk tenaga listrik.
3. Apa yang dimaksud dengan PWRs
4. Apayang dimaksud dengan BWRs
5. Mengapa kedua jenis reaktor (PWRs dan BWRs) yang paling banyak digunakan?

Rangkuman

1. Reaktor nuklir pada awalnya merupakan reaktor penelitian kemudian berkembang dan dimanfaatkan sebagai sumber energi listrik dan terapi kanker pada radioterapi dan kedokteran nuklir.
2. Meledaknya 3 reaktor pada PLTN Fukushima Daiichi menjadi titik baru dalam pembangunan PLTN dimasa datang.
3. Sejarah perkembangan reaktor nuklir untuk energi listrik dapat dibagi dalam 5 generasi; generasi I, generasi II, generasi III, generasi III+ dan generasi IV.
4. Reaktor generasi I-III+ sudah di aplikasikan sedangkan generasi IV masih dalam tahap Kensep.
5. Reaktor SMRs merupakan reaktor dengan ukuran yang lebih kecil dari jenis reaktor konvensional (PWR atau BWR). Reaktor jenis ini sedang dikembangkan di Amerika Serikat.
6. Accelerator merupakan reaktor pemercepat partikel, yang biasanya digunakan untuk penelitian.
7. Akselerator terbesar didunia saat ini terdapat pada CERN, Konsorsium penelitian nuklir Eropa dengan keliling 27 km.
8. Pada tahun 2012, LHC di CERN berhasil mendeteksi partikel Boson yang diusulkan oleh Higgs (*Higgs boson, God particle*) yang dianggap sebagai partikel terakhir penyusun alam semesta.

Tes Formatif**

1. Sebutkan criteria yang harus dipenuhi oleh reaktor nuklir dimasa depan.
2. Sebutkan jenis-jenis reaktor nuklir generasi I dan II
3. Sebutkan jenis-jenis reaktor nuklir generasi III dan III+
4. Jelaskan perbedaan mendasar antara reaktor disetiap generasi.
5. Mengapa konsep reaktor generasi IV belum dapat di implementasikan?
6. Sebutkan Negara-negara yang saat ini mengoperasikan reaktor generasi II, III dan III+.
7. Jelaskan proses kerja reaktor PWR.
8. Jelaskan proses kerja reaktor BWR
9. Sebutkan bagian-bagian utama dari reaktor PWR dan BWR
10. Sebutkan perbedaan akselerator linier (LINAC) dengan akselerator lingkaran.
11. Berikan contoh akselerator linier dan lingkaran (*circular*).

12. Jelaskan proses kerja sebuah akselerator linier.
13. Jelaskan bagaimana sebuah partikel dapat dipercepat.
14. Sebutkan jenis-jenis partikel yang dapat dipercepat.
15. Akselerator biasanya berada dalam suatu laboratorium milik universitas atau lembaga penelitian disuatu Negara atau beberapa Negara. Sebutkan universitas atau Negara yang memiliki akselerator partikel.

*** Jawaban tes formatif secara jelas telah diuraikan dalam materi.*

BAB VII APLIKASI FISIKA INTI DALAM KESEHATAN

A. Gambaran Singkat Mengenai Materi Kuliah

Materi ini menguraikan tentang aplikasi fisika radiasi dalam kesehatan. Aplikasi ini ditinjau dari segi pemanfaatan teori dan pengetahuan tentang reaksi inti, sehingga dapat diterapkan pada peralatan-peralatan medis yang menggunakan radioaktif. Materi diawali dengan interaksi partikel dengan materi yang menguraikan tentang bagaimana kelakuan partikel ketika berinteraksi dengan materi tertentu. Partikel berat seperti proton memiliki memiliki sifat tersendiri saat berinteraksi dengan materi, demikian halnya dengan elektron yang memiliki massa yang jauh lebih kecil akan memiliki sifat interaksi yang berbeda.

Interaksi foton dengan materi menjadi uraian selanjutnya. Pada bagian ini dibahas mengenai *mean free path* yaitu berapa jauh sebuah partikel bergerak bebas sebelum berinteraksi dengan materi. Jenis interaksi yang dialami foton dengan materi dapat berupa hamburan Rayleigh, fotolistrik, hamburan Compton atau produksi pasangan. Jenis interaksi ini ditentukan oleh besarnya energi partikel foton datang. Bahasan selanjutnya adalah generator radiasi klinik, menguraikan berbagai jenis generator yang digunakan di dunia medis. Detektor radiasi menjadi sub bab penutup pada materi ini.

B. Pedoman Mempelajari Materi

Baca dan pahami materi yang ada. Rangkuman pada akhir bab dapat membantu untuk memfokuskan bagian-bagian materi yang penting dan substansial. Untuk memperdalam pemahaman, kerjakan soal latihan dan tes sumatif.

C. Tujuan Pembelajaran

Setelah mempelajari materi ini, mahasiswa diharapkan mampu;

1. Memahami interaksi partikel bermuatan dengan materi.
2. Menjelaskan pengertian potensial henti.
3. Menjelaskan variable-variabel yang mempengaruhi besarnya energi interaksi.
4. Memahami proses interaksi foton dengan materi
5. Menentukan jarak bebas rata-rata foton sebelum berinteraksi dengan materi.
6. Menentukan jenis interaksi yang dialami sebuah foton saat berinteraksi dengan materi.

7. Menjelaskan proses hamburan Coheren
8. Menjelaskan proses fotolistrik foton
9. Menjelaskan proses hamburan Compton
10. Menjelaskan proses terjadinya produksi pasangan
11. Membedakan jenis-jenis generator radiasi klinik
12. Membedakan jenis detektor radiasi.

Pemanfaatan fisika inti dalam bidang kesehatan telah berlangsung sejak masa Marie Curie. Perkembangan ilmu pengetahuan di bidang nuklir dan penemuan-penemuan teknologi baru yang memungkinkan pemanfaatan nuklir dalam pengobatan semakin luas. Baik untuk terapi maupun untuk treatment. Segala yang sesuatu yang telah diciptakan oleh Allah Swt. memiliki manfaat dan kegunaan yang dapat menunjang kehidupan manusia, namun tidak semuanya dapat dimanfaatkan karena keterbatasan akal dan ilmu. Seperti dalam surat *Ali Imraan* ayat 191,

الَّذِينَ يَذْكُرُونَ اللَّهَ قِيَمًا وَقُعُودًا وَعَلَىٰ جُنُوبِهِمْ وَيَتَفَكَّرُونَ فِي خَلْقِ السَّمَوَاتِ وَالْأَرْضِ رَبَّنَا مَا خَلَقْتَ هَذَا بَطْلًا سُبْحَانَكَ فَقِنَا عَذَابَ النَّارِ

Terjemahnya;

orang-orang yang mengingat Allah sambil berdiri atau duduk atau dalam keadaan berbaring dan mereka memikirkan tentang penciptaan langit dan bumi (seraya berkata): "Ya Tuhan kami, tiadalah Engkau menciptakan ini dengan sia-sia. Maha Suci Engkau, maka peliharalah kami dari siksa neraka. (QS 3:191).

Ayat ini menegaskan bahwa hanya orang-orang yang berilmu dan berfikir secara tekun (riset berkelanjutan) yang dapat memahami manfaat dari ciptaan Allah Swt. Dalam ayat yang lain Allah Swt. memberikan contoh pemanfaatan hasil ciptaannya menjadi obat, yaitu surat *An-Nahl* ayat 69,

ثُمَّ كُلِي مِن كُلِّ الثَّمَرَاتِ فَاسْلُكِي سُبُلَ رَبِّكِ ذُلُلًا يَخْرُجُ مِنْ بَطُونِهَا شَرَابٌ مُّخْتَلِفٌ أَلْوَانُهُ فِيهِ شِفَاءٌ لِلنَّاسِ إِنَّ فِي ذَٰلِكَ لَآيَةً لِّقَوْمٍ يَتَفَكَّرُونَ

Terjemahnya;

kemudian makanlah dari tiap-tiap (macam) buah-buahan dan tempuhlah jalan Tuhanmu yang telah dimudahkan (bagimu). Dari perut lebah itu

keluar minuman (madu) yang bermacam-macam warnanya, di dalamnya terdapat obat yang menyembuhkan bagi manusia. Sesungguhnya pada yang demikian itu benar-benar terdapat tanda (kebesaran Tuhan) bagi orang-orang yang memikirkan. (QS 16:69).

Meskipun dalam ayat tersebut disebutkan madu yang mengandung obat, bukan nuklir sebagaimana yang sedang diuraikan, namun yang menjadi catatan adalah segala manfaat (untuk obat) tersebut hanya dapat diperoleh bagi orang-orang yang berilmu dan memikirkannya. Artinya bahwa segala sesuatu memerlukan suatu pengetahuan dan riset untuk mengetahui kandungan dan manfaatnya bagi manusia.

7.1. Interaksi Partikel Dengan Materi

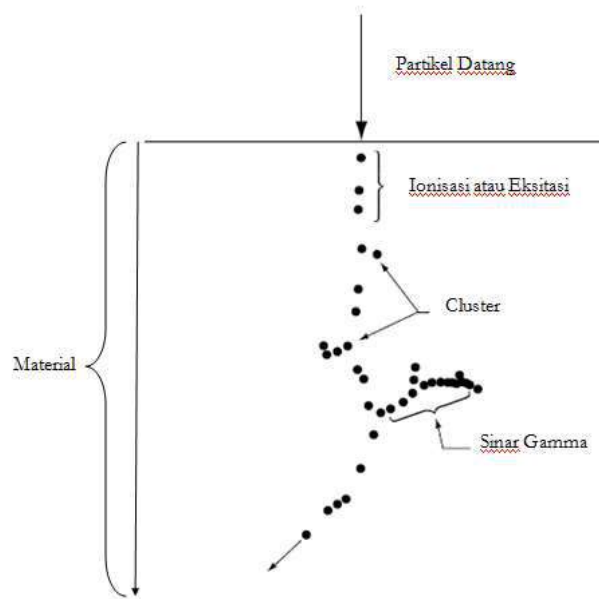
Interaksi partikel dengan materi merupakan bagian yang sangat krusial dalam pemanfaatan fisika nuklir. Pengetahuan tentang karakteristik setiap partikel saat memasuki suatu materi sangat diperlukan guna menentukan kemungkinan pemanfaatannya. Interaksi antara partikel dengan suatu materi tentu berbeda ketikan partikel yang sama berinteraksi dengan jenis materi yang lain. Pada kesempatan akan dibahas mengenai interaksi partikel berat dan partikel bermuatan dengan materi. Mamahami karakteristik ini memungkinkan pemanfaatannya terhadap proteksi radiasi, pembuatan detektor dan efek biologi yang bias ditimbulkan.

7.1.1. Partikel Berat Bermuatan

Partikel berat yang bermuatan seperti proton atau alfa dapat bergerak menembus zat padat, cair maupun gas hingga mencapai jarak dan diam (Mayer, *et.el.*, 2007 dan Serway, *et.el.*, 2005). Jarak yang ditempuh partikel ini disebut partikel range (*range of particle*). Saat partikel bergerak membus suatu meteri, partikel akan kehilangan energi akibat interaksi dengan atom materi. Kehilangan energi ini dapat berupa eksitasi atau ionisasi sebagai akibat tumbukan dengan atom madium yang ditembusnya. Sebagian partikel akan mengalami interaksi dengan inti atom medium dalam bentuk tumbukan elastic. Interkasi ini akan mengakibatkan peningkatan suhu atau energi termal yang diperoleh dari energi kinetic partikel. Saat partikel mencapai jarak maksimum range-nya, rata-rata energi termal yang timbul dapat ditentukan. Besarnya energi ini dipengaruhi oleh

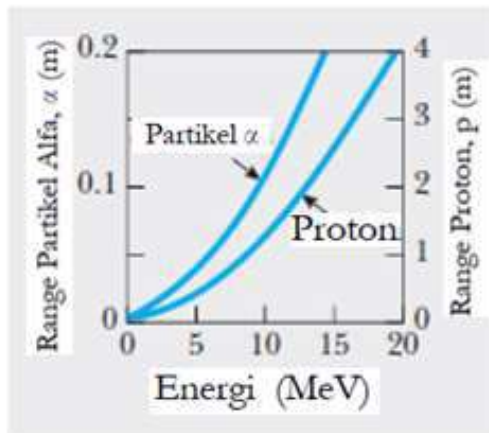
- a. Muatan partikel
- b. Massa partikel
- c. Energi partikel

- d. Kerapatan medium interaksi
- e. Ionisasi potensial dalam medium
- f. Nomor atom (Z) dari atom dalam medium



Gambar 7.1 Ilustrasi partikel dalam medium

Partikel alfa akan mengalami interaksi yang lebih kuat saat menembus suatu medium. Sedangkan proton tidak mengalami interaksi sebesar partikel alfa dalam medium sehingga memiliki peluang yang lebih besar dalam menembus medium atau mencapai jarak yang lebih jauh (range besar). Hal ini disebabkan karena proton memiliki muatan yang lebih kecil dari partikel alfa, selain itu partikel alfa juga jauh lebih massif dari proton sehingga bergerak lebih lambat dalam medium, akibatnya partikel alfa kehabisan energi untuk membuatnya bergerak dan berinteraksi lagi dengan atom lain. Range energi ini untuk partikel alfa dan proton diplot pada gambar 7.2, tampak bahwa range partikel proton sekitar 10 kali lebih besar dari range partikel alfa.



Gambar 7.2 Range energi partikel alfa dan proton di udara

Besaran kecepatan energi yang hilang persatuan panjang (*energi loss rate*) atau

$$-\frac{dE}{dx} \quad (7.1)$$

versus energi kinetik partikel bermuatan ditunjukkan pada gambar 7.2.

Kehilangan energi ini (*energi loss rate*) disebut juga sebagai **energi potensial henti** (*stopping power*) yang nilainya proporsional dengan energi kinetik dari rentang minimum ($v \ll c$) hingga maksimum ($v \sim c$), lihat gambar 7.3. Besarnya energi yang hilang per satuan panjang ini dikenal sebagai energi bebas. Pada partikel dengan energi yang sangat lemah, kehilangan energi ini mengakibatkan partikel bergerak sangat lambat sehingga produksi ionisasi umumnya hanya berupa tumbukan elastic. Besarnya potensial henti total dapat ditentukan berdasarkan persamaan

$$\left(\frac{dE}{dx}\right)_{Tot} = \left(\frac{dE}{dx}\right)_{col} + \left(\frac{dE}{dx}\right)_{rad} \quad (7.2)$$

dengan $\left(\frac{dE}{dx}\right)_{col}$ adalah potensial henti saat terjadi tumbukan (*collitions*) dengan atom-atom medium dan $\left(\frac{dE}{dx}\right)_{rad}$ sebagai potensial henti radiasi ionisasi atau eksitasi. Mungkin akan terjadi beberapa tumbukan

dan radiasi ionisasi atau eksitasi, semua nilai tersebut harus dimasukkan dalam persamaan. Energi eksitasi dengan berbagai potensial henti dalam jaringan manusia dapat dilihat pada tabel 71 berikut

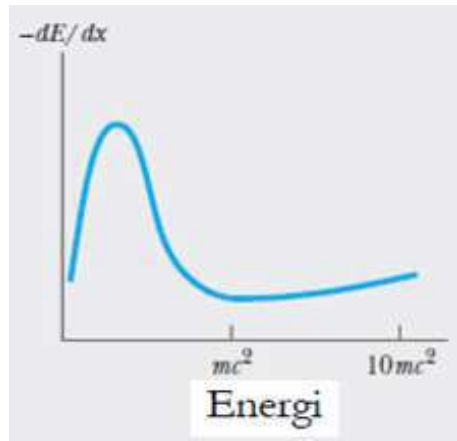
Tabel 7.1 Energi eksitasi, I dan berbagai kuantitas yang relevan dengan potensial henti untuk jaringan manusia.

Material	I (eV)	Z/A	ρ (g cm ⁻³)
Jaringan (ICRP)	63,2	0,558468	0,920
Udara kering	85,7	0,499190	1,205 x 10 ⁻³
Tulang padat (ICRU)	91,9	0,530103	1,850
Tulang (ICRP)	106,4	0,521299	1,850
Besi-sulfat	76,3	0,553282	1,024
Litium fluoride	94,0	0,462617	2,635
Otot, skeletal (ICRP)	75,3	0,549378	1,040
Otot, (ICRU)	74,7	0,550051	1,040
Emulsi fotografi	331,0	0,454532	3,815
PMMA(Lucite, Perspex)	74,0	0,539369	1,190
Polystyrene	68,7	0,537680	1,060
Air	75,0	0,555087	1,000

Sumber: Nahum, A. E dalam Mayes, *et.al.*, 2007.

Besarnya potensial henti juga dipengaruhi oleh kerapatan medium tempat partikel bermuatan bergerak dan berinteraksi. Hal ini yang dapat digunakan untuk menjelaskan mekanismen kehilangan energi atau ionisasi yang terjadi akibat eksitasi elektron dalam medium, dimana dengan meningkatnya kerapatan medium mengakibatkan meningkatnya kerapatan elektron dalam medium yang bersangkutan. Sebagai contoh range dalam aluminium untuk proton memiliki energi dari 1 hingga 10 MeV atau sekitar 1/6000 ketika di udara. (Serway, *et.al.*, 2005)

Sebagai pembandingan, pecahan fisi (dari proses reaksi fisi) dengan energi sekitar 80 MeV memiliki range energi hanya sekitar 0,02 m di udara. Tampak bahwa hasil dari proses fisi ini 1000 kali lebih kecil dari range proton untuk energi yang sama. Perbedaan signifikan ini terjadi karena partikel pecahan fisi memiliki muatan yang lebih besar, sebagaimana dibahas sebelumnya bahwa semakin besar muatan semakin kecil potensial hentinya.

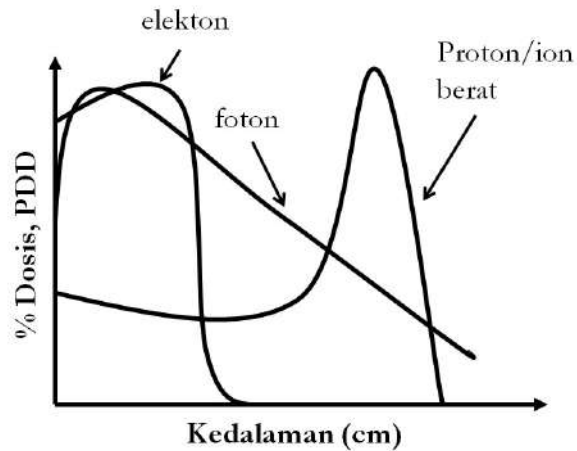


Gambar 7.3 Plot kehilangan energi $-dE/dx$ versus energi partikel bermuatan dengan massa m bergerak dalam medium.

7.1.2. Elektron

Ketika sebuah elektron dengan energi lebih kecil dari 1 MeV bergerak menembus suatu materi, elektron akan kehilangan energi dengan kejadian yang sama dengan partikel berat lainnya. Namun demikian range energi ini tidak dapat didefinisikan dengan baik, karena elektron memiliki ukuran yang sangat kecil bila dibandingkan dengan proton. Fenomena mengenai elektron seperti ini disebut elektron hambur (*straggling*), hanya membutuhkan tumbukan kecil untuk menghentikan laju elektron dalam materi. Hamburan elektron lebih mungkin terjadi daripada partikel berat lainnya untuk energi yang sama. Umumnya hamburan elektron terjadi dalam bentuk yang dikenal sebagai **bremstrahlung**, hamburan partikel (elektron) saat mendekati suatu atom. Seperti yang dijelaskan dalam fisika modern bahwa peristiwa *bremstrahlung* merupakan reaksi yang paling umum dan sering terjadi saat elektron dihamburkan menuju suatu inti atom. Hal ini karena partikel elektron akan berinteraksi dengan elektron-elektron atom medium. Semakin banyak elektron yang dimiliki oleh atom medium semakin besar peluang terjadinya *bremstrahlung*. Peristiwa ini akan menghasilkan energi ionisasi dengan nilai yang bervariasi.

Ilustrasi pada gambar 7.4 memperlihatkan daya tembus atau *percent depth dose, PDD* partikel elektron, foton dan proton (atau partikel berat lainnya) dalam air.



Gambar 7.4 PDD partikel dalam air

Gambar 7.4 diatas dengan jelas menerangkan bahwa elektron memiliki energi (presentase) yang besar namun untuk kedalaman rendah, proton memiliki daya tembus yang besar namun dengan energi yang meningkat hanya pada kedalaman tertentu dan proton lebih bersifat moderat tinggi hingga menurun secara eksponensial. Kaitannya dalam pemanfaatandibidang kedokteran (dalam radioterapi) maka, elektron sangat cocok untuk terapi tumor permukaan hingga kedalaman rendah, sedangkan protn atau partikel berat lainnya cocok untuk terapi tumor yang lebih dalam. Foton sendiri cocok untuk semua jarak tumor namun memiliki presentase yang menurun sehingga memerlukan terapi yang lebih lama.

7.2. Interaksi Foton dengan Materi

7.2.1. Cross-Sections Interaksi Foton

Partikel foton merupakan partikel yang tak bermuatan, dalam peluruhan radioaktif dikenal sebagai sinar gamma. Foton dapat berinteraksi dengan berbagai target seperti elektron suatu atom, inti atom, atom ataupun dengan molekul-molekul. Probabilitas interaksi foton dengan suatu target (materi) biasanya dalam bentuk *cross-section*, σ . Cross-section menyatakan “penggabungan nilai” interaksi yang terjadi dari berbagai variable dalam suatu range (daerah) tertentu.

Probabilitas, p , dari interaksi diberikan oleh fraksi setiap unit yang mungkin bagi daerah target. Secara numerik nilainya sama dengan σ . Interaksi foton dapat di karakterisasikan sebagai proses absorbs

atau proses hamburan. Dalam absorpsi sempurna, foton datang (proyektil) akan kehilangan semua energinya. Energi ini seluruhnya ditransfer ke target dan partikel lain akan diemisikan selama (atau sesudah) proses interaksi. Proses hamburan yang sempurna antara foton datang dengan target akan menyebabkan perubahan pada arah, energi dan momentum foton. Perlu di ingat bahwa hukum kekekalan energi, muatan, dan momentum tetap berlaku pada interaksi foton dengan materi target.

Proses absorpsi utama yang mungkin terjadi adalah absorpsi fotolistrik (*pe*), absorpsi produksi pasangan (*pair*), dan absorpsi produksi *triplet* (tiga pasang). Sedangkan proses hamburan yang utama adalah hamburan koheren (*coh*), hamburan Compton (*comp*). Total interaksi cross-section

$$\sigma_{tot} = \sigma_{coh} + \sigma_{pe} + \sigma_{comp} + \sigma_{pair} + \sigma_{trip} + \sigma_{phn} \quad (7.3)$$

Keterangan:

σ_{coh} = Hamburan koheren

σ_{pe} = Efek fotolistrik

σ_{comp} = Hamburan Compton

σ_{pair} = Produksi pasangan

σ_{trip} = Tripel production

σ_{phn} = Efek fotonuklir

Proses absorpsi diatas sangat jarang terjadi dalam satu reaksi atau insiden. Oleh karena itu persamaan dapat kita sederhanakan dengan hanya memasukkan absorpsi dan hamburan yang paling sering terjadi dalam setiap interaksi foton dengan materi target.

$$\sigma_{tot} = \sigma_{coh} + \sigma_{pe} + \sigma_{comp} + \sigma_{pair} \quad (7.4)$$

Koefisien absorpsi linier untuk sinar-x pada berbagai media dapat dilihat pada tabel 7.2 sedangkan koefisien absorpsi foton (sinar gamma) disajikan dalam tabel 7.3.

Tabel 7.2 Koefisien absorpsi linier sinar-x

Koefisien absorpsi linier (cm ⁻¹)					
λ (pm)	Udara	Air	Aluminium	Tembaga	Timah
10		0,16	0,43	3,2	43
20		0,18	0,76	13	55
30		0,29	1,3	38	158
40		0,44	3,0	87	350
50	$8,6 \times 10^{-4}$	0,66	5,4	170	610
60	$1,3 \times 10^{-3}$	1,0	9,2	286	1000
70	$1,95 \times 10^{-3}$	1,5	14	430	1600
80	$2,73 \times 10^{-3}$	2,1	20	625	
90	$3,64 \times 10^{-3}$	2,8	30	875	
100	$4,94 \times 10^{-3}$	3,8	41	1200	
150	$1,56 \times 10^{-2}$	12	124		
200	$3,64 \times 10^{-2}$	28	275		
250	$6,63 \times 10^{-2}$	51	524		

Karena setiap materi memiliki koefisien atenuasi, μ maka persamaan (7.4) menjadi

$$\left(\frac{\sigma}{\mu}\right)_{tot} = \sigma_{coh} + \sigma_{pe} + \sigma_{comp} + \sigma_{pair} \quad (7.5)$$

Cross-section dinyatakan dalam satuan m^2 , meskipun tidak memiliki satuan dalam system satuan internasional namun disepakati bahwa

$$1 \text{ barn} = 10^{-24} \text{ cm}^2 = 10^{-28} \text{ m}^2$$

Tabel 7.3 Koefisien absorpsi sinar gamma pada berbagai media

Energi foton (MeV)	Koefisien absorpsi linier (cm ⁻¹)			
	Air	Aluminium	Besi	Timah
0,1	0,167	0,432	2,69	59,8
0,15	0,149	0,359	1,43	20,8
0,2	0,139	0,324	1,08	10,1
0,3	0,118	0,278	0,833	2,79
0,4	0,106	0,249	0,722	2,35

0,5	0,0967	0,227	0,651	1,64
0,6	0,0896	0,210	0,598	1,29
0,8	0,0786	0,184	0,525	0,946
1,0	0,0706	0,166	0,468	0,772
1,5	0,0576	0,135	0,380	0,581
2,0	0,0493	0,166	0,332	0,510
3,0	0,0396	0,0953	0,282	0,463
4,0	0,0339	0,0837	0,259	0,470
5,0	0,0302	0,0767	0,247	0,486
6,0	0,0277	0,0718	0,240	0,514
8,0	0,0242	0,0656	0,234	0,532
10,0	0,0221	0,0626	0,236	0,568

7.2.2. Proses Interaksi foton

A. Penentuan jenis interaksi dan jarak bebas rata-rata (*mean free path*)

Jarak bebas rata-rata (*mean free path*)

Ketika sebuah partikel lahir, maka informasi awal yang harus diketahui adalah jenis partikel, energi dan geometri dari partikel tersebut. Setelah data tersebut diketahui, sekarang sejauhmana partikel bergerak sebelum berinteraksi. Jarak yang ditempuh partikel sebelum berinteraksi ini disebut sebagai jarak bebas rata-rata (*mean free path*). Jarak yang ditempuh dapat dihitung dengan persamaan (*inverse cumulative probability density function*)

$$I = I_0 e^{-\mu_{total} x}$$

$$x = - \frac{1}{\mu_{total}} \ln \frac{I}{I_0} \quad (7.6)$$

$$x = - \frac{1}{\mu_{total}} \ln \xi_1$$

dimana ξ merupakan bilangan random dan μ_{total} adalah *cross-section* total.

Penentuan Jenis Interaksi

Pada suatu jarak tertentu partikel (foton) akan mengalami interaksi dengan materi. Untuk foton jenis interaksi yang dapat terjadi adalah hamburan Rayleigh, efek fotolistrik, hamburan Compton dan jika energinya cukup besar dapat menghasilkan produksi pasangan. Untuk menentukan jenis interaksi yang terjadi, digunakan metode rejeksi (*rejection method*). Diperlukan data *cross section* untuk semua jenis interaksi, misalnya jika menggunakan media air, maka *cross-section* untuk semua interaksi dapat ditulis sebagai

$$\mu_{tot} = \mu_{comp} + \mu_{pe} + \mu_{pair} \quad (7.7)$$

Probabilitas untuk setiap interaksi dapat didefinisikan sebagai

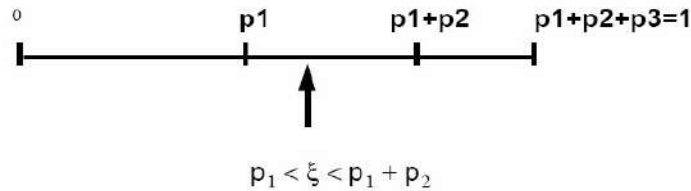
$$p_1 = \frac{\mu_{comp}}{\mu_{tot}}, \quad p_2 = \frac{\mu_{pe}}{\mu_{tot}}, \quad \text{dan} \quad p_3 = \frac{\mu_{pair}}{\mu_{tot}} \quad (7.8)$$

dengan

$$\sum_{i=1}^3 p_i = 1 \quad (7.9)$$

Sehingga jenis interaksi dapat ditentukan sebagai berikut;

Jika $p_1 < \xi < p_1 + p_2$



atau $\xi < \frac{\mu_{\text{fotolistrik}} + \mu_{\text{compton}}}{\mu_{\text{total}}}$ terjadi efek fotolistrik

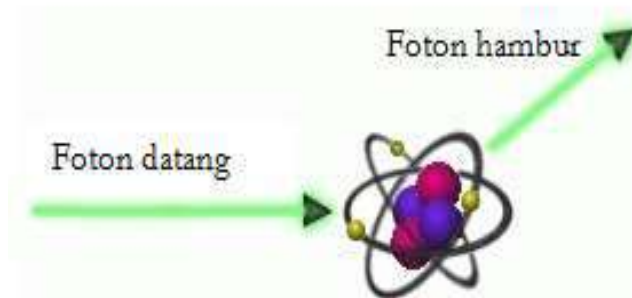
Jika $\xi < \frac{\mu_{\text{compton}}}{\mu_{\text{total}}}$ terjadi hamburan Compton, jika tidak

untuk keduanya maka terjadi produksi pasangan.

Setelah mengalami interaksi, foton akan mengalami perubahan arah, posisi, energi, atau mungkin “musnah” dan menyebabkan munculnya partikel lain. Informasi setelah interaksi menentukan peluang kejadian selanjutnya

B. Hamburan Koheren

Hamburan koheren biasa juga disebut hamburan klasik atau hamburan Rayleigh. Hamburan koheren dapat terjadi ketika sebuah foton dengan energi rendah berinteraksi dengan salah satu elektron dari suatu materi (target). Interaksi ini menyebabkan foton mengalami pembelokan atau perubahan arah (tidak signifikan) dengan panjang gelombang atau frekuensi yang tetap. Tidak ada energi foton yang diserap oleh materi. Proses ini biasanya banyak terjadi ketika foton dengan energi rendah berinteraksi dengan materi dengan nomor atom yang besar.



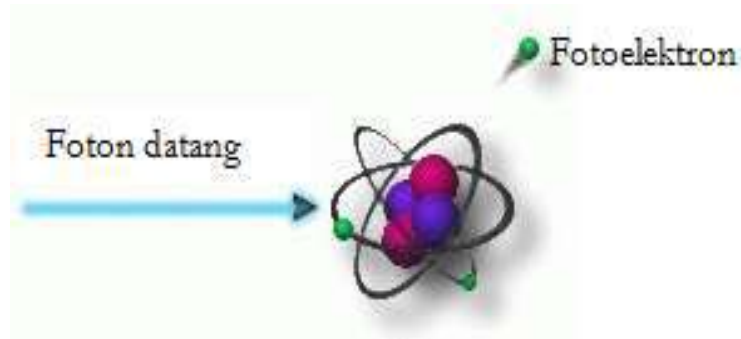
Gambar 7.5 Proses hamburan koheren

C. Efek Fotolistrik

Efek fotolistrik terjadi jika berkas foton berinteraksi dengan sebuah atom dimana energi foton diserap oleh partikel (elektron) dalam atom. Foton dapat berinteraksi dengan elektron yang berada pada kulit K, L, M, atau M dalam atom. Ketika Energi foton yang terserap lebih besar dari energi ikat elektron, maka elektron akan terlepas (*photoelektron*) dan bergerak dengan energi kinetik tertentu.

Besarnya energi kinetik *photoelektron* sama dengan $h\nu - B_e$, dimana B_e adalah energi ikat elektron dalam atom.

Daerah kosong pada kulit yang ditinggalkan elektron akan diisi oleh elektron dari kulit yang di atasnya sambil memancarkan energi. Energi yang dipancarkan ini dikenal sebagai *x-ray characteristics*. Ketika energi foton yang datang semakin besar maka efek fotolistrik akan mulai berkurang, sebaliknya hamburan Compton mulai terjadi.



Gambar 7.6 Efek fotolistrik

D. Hamburan Compton

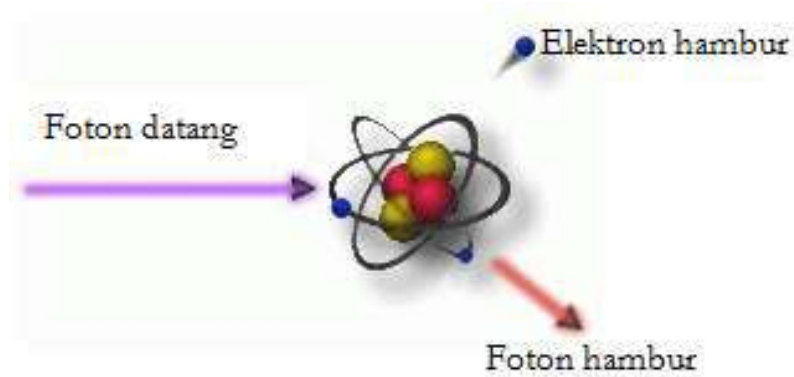
Pada hamburan Compton, energi foton sangat besar sehingga elektron target dapat dianggap sebagai *elektron bebas*. Elektron bebas dalam artian bahwa energi foton jauh lebih besar dari energi ikat elektron. Saat foton menumbuk elektron, elektron akan terpental dengan sudut tertentu sedangkan foton bergerak dengan sudut tertentu dengan frekuensi yang melemah (lihat gambar 7.7). Dalam proses ini dapat diterapkan konsep kekekalan energi dan momentum. Penerapan hubungan relativistik antara momentum dan energi memberikan persamaan

$$\frac{1}{E'} - \frac{1}{E} = \frac{1}{m_e c^2} (1 - \cos \phi) \quad (7.6)$$

atau

$$\lambda' - \lambda = \frac{h}{m_e c} (1 - \cos \phi) \quad (7.7)$$

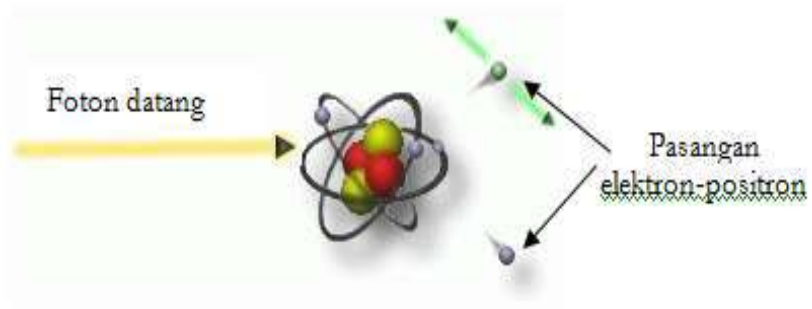
Persamaan (7.6) dan (7.7) memberikan gambaran perubahan energi atau panjang gelombang foton sebagai fungsi dari *sudut hamburan* θ . Energi foton datang, E selalu lebih besar dari energi foton hambur, E' dan selisih $E-E'$ merupakan besarnya energi yang diberikan ke elektron.



Gambar 7.7 Hamburan Compton

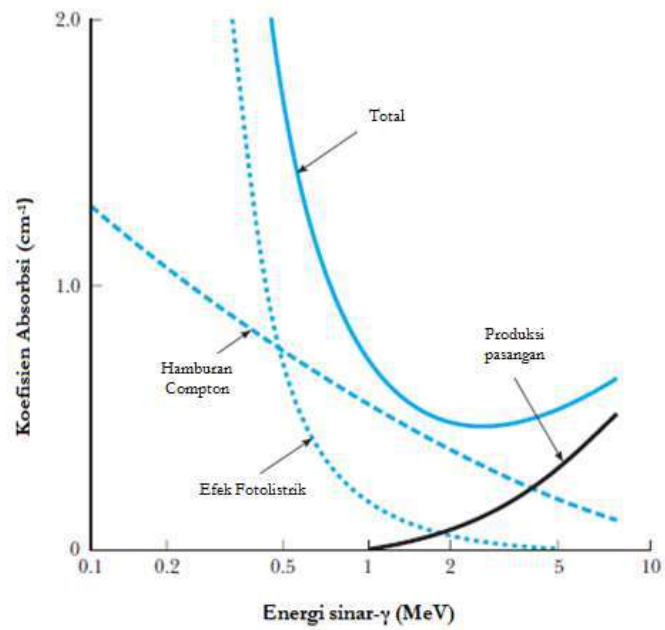
E. Produksi Pasangan

Pada kasus ini foton datang berinteraksi dengan medan elektromagnetik inti dan memberikan semua energinya untuk membentuk pasangan elektron (negatron)-positron. Produksi pasangan hanya bisa terjadi jika energi foton datang minimal dua kali dari energi bebas elektron. Energi bebas sebuah elektron sebesar 0.511 MeV, sehingga untuk membentuk pasangan elektron (negatron-proton) foton datang minimal berenergi 1.02 MeV. Energi ini biasa disebut sebagai energi *threshold*.



Gambar 7.8 Produksi pasangan

Berikut adalah gambaran ketiga proses diatas yang didasarkan pada peningkatan energi foton datang.



Gambar 7. 9 Efek fotolistrik, Hamburan Compton dan Produksi pasangan

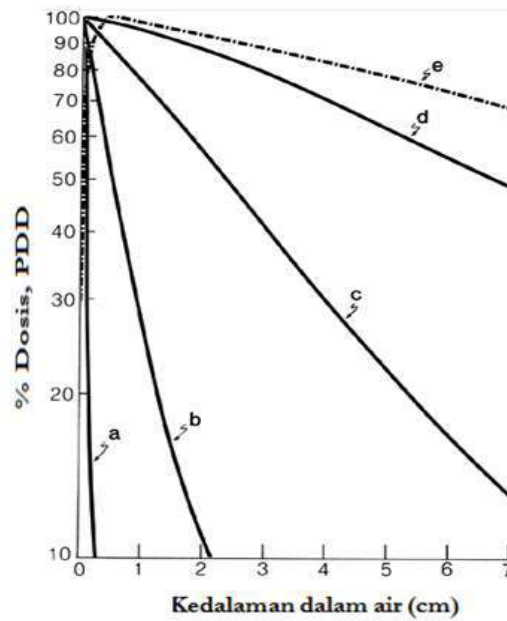
7.3. Generator Radiasi Klinik

Pemanfaatan fisika inti dan fisika radiasi dalam bidang kesehatan umumnya dalam bentuk alat-alat kesehatan, baik untuk sekedar diagnosa maupun terapi atau treatment. Berikut ini disajikan generator radiasi klinik yang banyak digunakan dalam bidang kedokteran.

7.3.1. Kilovoltage Unit

Kilovoltage unit menyatakan semua alat atau generator klinik yang beroperasi dengan menggunakan energi dalam *range* kilovolt. Jenis generator ini dibedakan berdasarkan energinya, besaran energi ini disesuaikan dengan fungsi pada setiap generator. Jenis-jenis gerator kilovolt sebagai berikut (Khan, 2003);

- a. Grenz-ray therapy
Energi sekitar 20 kV, digunakan untuk terapi dengan jarak rendah (karena memiliki daya tembus yang sangat kecil).
- b. Contact therapy
Energi 40 kV hingga 50 kV dan kebutuhan arus $I = 2\text{mA}$, digunakan untuk terapi kulit, efektif untuk terapi tumor hingga kedalaman maksimum 2 mm.
- c. Superficial therapy
Energi sekitar 50 kV hingga 150 kV dan $I = 5$ sampai 8 mA, digunakan untuk terapi tumor yang lebih dalam namun efektif hingga 5 mm.
- d. Deep therapy atau ortovoltage therapy
Energi 150 kV hingga 500 kV namun kebanyakan dioperasikan pada 200 kV hingga 300kV, kebutuhan arus $I = 10$ sampai 20 mA. Kedalaman efektif hingga 3 cm dalam jaringan tubuh.
- e. Supervoltage therapy
Energi antar 500 kV hingga 1000 kV, setara dengan energi sinar-x untuk terapi.
- f. Megavoltage therapy
Energi 1 MeV atau lebih, contoh generator Van De Graaff, linier akselerator, betatron dan mikrotron, dan Cobalt-60.



Gambar 7.10 Kilovoltage Unit

Gambar 7.10 memperlihatkan persen dosis pada kedalaman tertentu dari masing-masing generator kilovoltage. Tampak bahwa generator *deep therapy* dan *supervoltage therapy* memiliki presentase yang sangat baik hingga kedalaman maksimum.

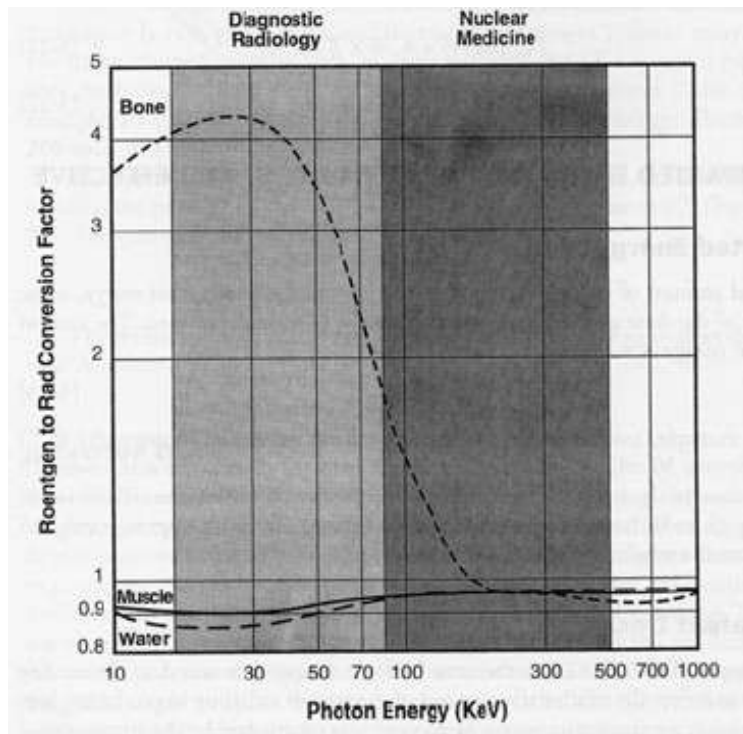
7.4. Radiotherapy dan Kedokteran Nuklir

Salah satu cabang bidang kedokteran yang menggunakan radiasi adalah bagian radiotherapy. Radiotherapy sendiri menurut sifatnya dibagi dalam dua bagian yakni

- Teletherapy
Teletherapy merupakan proses pemberian sinar radioaktif pada tubuh pasien dari luar. Proses ini umumnya untuk diagnostik, namun untuk energi tinggi dapat juga digunakan untuk treatment. Proses interaksi partikel (berat) atau foton dengan materi seperti dijelaskan pada sub bab sebelumnya didapatkan dari radiasi foton (Cobalt-60 dan Linear akselerator) dan radiasi partikel (elektron therapy, proton therapy dan neutron therapy).
- Brachytherapy

Jika pada teletherapy zat radioaktif diberikan dari luar tubuh pasien, maka pada brachytherapy zat radioaktif ditempatkan atau ditaman langsung di dalam atau disekitar kanker (tumor). Proses interaksi partikel juga sama dengan teletherapy namun dengan jenis radiasi yang berbeda yaitu radiasi sinar gamma dan sinar beta.

Perbedaan mendasar antara radiotherapy (radiologi) dengan kedokteran nuklir adalah didasarkan pada *range* energi yang digunakan. Energi yang digunakan dalam dalam kedokteran nuklir jauh lebih besar dari pada radiotherapy, seperti yang ditunjukkan pada gambar berikut



Gambar 7.11 Perbedaan range energi radiology dengan Kedokteran nuklir. (sumber: Anonim, 2009)

Gambar 7.11 melukiskan bahwa pada daerah radiotherapy (radiologi) atau energi rendah (keV) jaringan tubuh seperti tulang, otot dan air masih sangat jelas untuk dibedakan. Berbeda halnya ketika energinya meningkat tajam (kedokteran nuklir), jaringan tubuh tidak lagi dapat dibedakan.

Alat-alat atau generator yang digunakan dalam kedokteran nuklir adalah sebagai berikut;

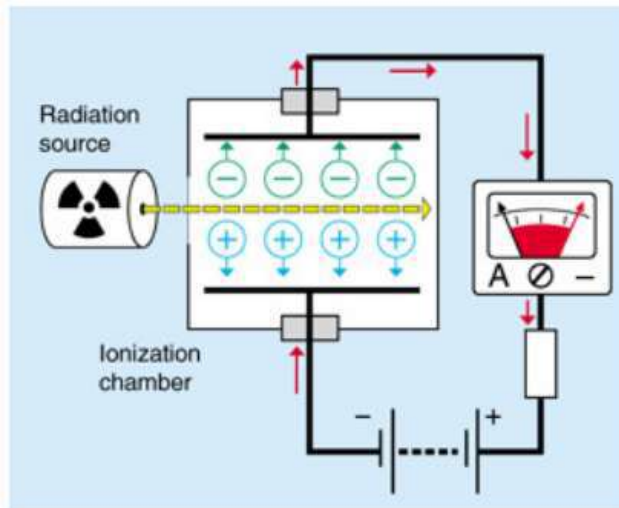
- *Gamma camera*
- *Single photon emission computed tomography, SPECT*
- *Positron emission tomography, PET*
- *Boron neutron capture therapy, BNCT*

7.5. Detektor Radiasi

Detektor digunakan untuk mendeteksi dan mengukur variable-variabel dari suatu interaksi. Interaksi dapat berupa reaksi peluruhan, tumbukan partikel dalam akselerator (*colliders*) ataupun radiasi dalam artian luas. Meskipun perilaku partikel yang berinteraksi tidak dapat diukur secara visual karena ukurannya yang sangat kecil, namun gejala-gejala yang ditimbulkan dapat dideteksi. Gejala yang dimaksud diantaranya, panjang gelombang, energi, frekuensi dan momentumnya. Jenis detektor biasanya dinamakan sesuai dengan fungsi, proses kerja ataupun bahan pembuatnya.

7.5.1. Detektor gas (*gas filled detectors*)

Detektor ini lebih sering disebut sebagai detektor ionisasi (*ionization detectors*). Detektor ini dirancang khusus untuk mendeteksi partikel ionisasi dari suatu disintegrasi atau reaksi partikel dengan materi. Ketika suatu elektron terionisasi dan melewati detektor maka perubahan komposisi dalam *chamber* akan menyebabkan pergeseran pada jarum. Hal yang sama terjadi jika sebuah proton melewati atau terdeteksi oleh detektor (lihat gambar 7.10)



Gambar 7.12 Prinsip dasar sebuah detektor ionisasi

Sumber: European Nuclear Society (<http://www.euronuclear.org/info/encyclopedia/i/ionizationchamber.htm>)_Update: Agustus 2012)

Salah satu detektor ionisasi sangat banyak digunakan adalah detektor asap (kebakaran) detektor radiasi di laboratorium atau kedokteran nuklir.

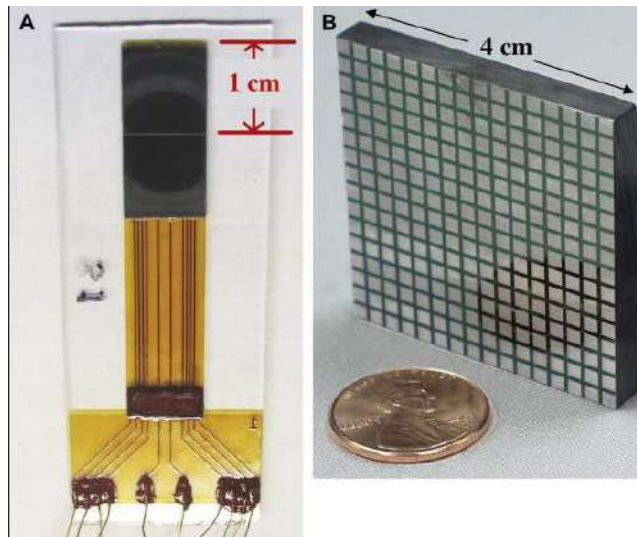


Gambar 7.13 Contoh Detektor ionisasi (*portabel*)

Sumber: <http://news.thomasnet.com/fullstory/Portabel-Flame-Ionization-Detector-offers-Bluetooth-connectivity-831216>

7.5.2. Detektor Semikonduktor (*semiconductor detectors*)

Detektor jenis ini pada dasarnya mirip dengan detektor ionisasi tetapi dalam bentuk lebih padat (menggunakan semikonduktor). Jenis detektor ini banyak digunakan di laboratorium penumbuhan atau karakterisasi semikonduktor.

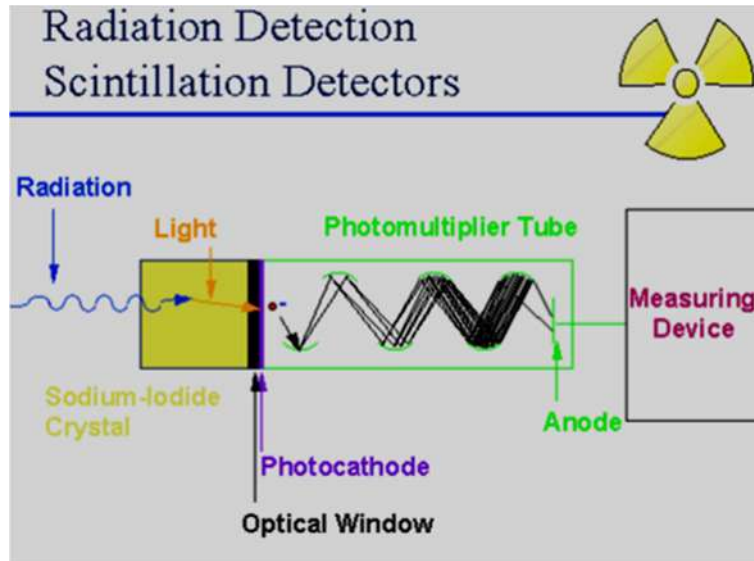


Gambar 7.14 Detektor semokondutor (A) Bentuk detektor (B) Elemen detektor

Sumber:<http://www.sciencedirect.com/science/article/pii/S1556859807000545&doid>

7.5.3. Detektor Scintilasi (*scintillation detectors*)

Detektor scintilasi merupakan salah satu detektor yang paling banyak digunakan untuk mendeteksi radiasi. Detektor ini juga dapat dipakai pada eksperimen fisika partikel, gamma kamera, CT, dan eksplorasi gas pada pertambangan.



Gambar 7.15 Skematik detektor scintilasi

Sumber: <http://www.physics.isu.edu/radinf/naidetector.htm>

7.6. Manfaat radiasi dan radioaktifitas yang lain

- Sterilisasi Makanan

Penggunaan radiasi dalam bidang industry makanan biasanya untuk mengionisasi atau memastikan makanan bebas dari berbagai jenis serangga atau mikroorganisme berbahaya. sumber radiasi yang digunakan umumnya ^{60}Co dengan energi sekitar 1 MeV foton yang diemisikan. Proses ini sangat mudah dan menguntungkan karena tidak mengurangi kandungan dari makanan atau bahan makanan yang diradiasi. Selain itu prosesnya sangat efisien, murah dan yang paling penting bebas dari zat beracun atau toxic.

- Pembiakan tumbuhan secara genetic

Radiasi sinar gamma secara genetic terhadap gen tumbuhan dapat menghasilkan tumbuhan sejenis yang memiliki karakteristik yang sangat berbeda dari gen induknya. Padi, kentang, kapas, gandum, jagung dan kedelai adalah beberapa contoh tanaman yang biasa di kembang biakkan dengan metode radiasi. Produk akhirnya berupa padi yang lebih tahan terhadap berbagai jenis hama dan penyakit. Begitu pula dengan kedelai dan lainnya, menghasilkan biji yang lebih besar dan gurih.

- Sterilisasi Insekta

Sterilisasi insekta atau serangga merupakan cara pengendalian populasi serangga dengan menggunakan radiasi. Cara ini tidak

memberikan efek samping seperti dengan menggunakan pestisida. Proses sterilisasi ini dapat dilakukan dengan memandulkan serangga jantan ataupun membuat serangga betina menjadi tidak subur. Dengan demikian populasi jenis serangga tertentu dapat dikendalikan. Metode ini terbukti sangat berhasil, seperti di Jepang untuk melawan serangga melon, di Mexico, Peru dan Mesir melawan lalat buah dan di Afrika untuk mengendalikan populasi lalat TseTse.

- **Detektor kebakaran**

Sumber radiasi ^{241}Am mengionisasi udara secara permanen. Proses ionisasi dapat dimodifikasi untuk mendeteksi partikel asap. Modifikasi ini memberikan sinyal ketika mendeteksi keberadaan partikel asap meski dalam konsentrasi yang sangat sedikit. Pemanfaatan detektor ini telah di aplikasikan di semua gedung-gedung modern.

- **Radioaktif tracer**

Radioaktif tracer digunakan untuk mendeteksi zat radioaktif yang terdapat pada tubuh karena radiasi tertentu. Selain itu metode ini sangat membantu dalam menentukan dan mendeteksi kebocoran suatu bendungan atau pipa. Dengan menginjeksikan zat radioaktif dengan konsentrasi tertentu dalam bendungan atau pipa, maka jika terdapat kebocoran, detektor akan mendeteksi zat radioaktif keluar melalui bagian tersebut. Metode ini juga banyak digunakan untuk mengukur dan mengetahui jalur atau kandungan suatu sumur minyak dalam pertambangan.

- **Batteray nuklir**

Sumber radioaktif seperti ^{238}Pu , ^{60}Co dan ^{90}Sr adalah beberapa jenis sumber radioaktif yang banyak digunakan sebagai baterai dengan daya beberapa ribu watt. Panas yang dihasilkan dalam proses peluruhan dikonversi menjadi energi listrik. Salah satu kelebihan baterai radioaktif ini adalah memiliki umur yang panjang tanpa memerlukan pemeliharaan (tergantung pada waktu paruh sumber radioaktif). Jenis baterai ini banyak digunakan pada satelit dan instrument meteorologi jarak jauh, misalnya pesawat (luar angkasa) Vayoger yang menggunakan tiga generator ^{238}Pu yang diluncurkan pada tahun 1977 dan mendekati Neptunus pada tahun 1989. Proses semacam ini juga digunakan sebagai pendoron atau sumber tenaga bagi kapal perang bertenaga nuklir, misalnya kapal induk atau kapal selam nuklir.

- **Konservasi arkeologi**

Pemanfaatan radiasi dalam bidang arkeologi digunakan untuk mensterilkan dan membunuh insekta, mikroorganisme dan mold yang terdapat dalam barang-barang arkeologi saat ditemukan. Proses ini telah digunakan pada mumi raja Ramses

II (Firaun) di Mesir. Selain itu dapat pula digunakan untuk meningkatkan daya tahan kayu atau batu dengan polimer radiasi gamma. Penggunaa yang paling umum adalah untuk penentuan umur suatu bahan arkeologi dan dalam bidang forensik.

Latihan

1. Jelaskan apa yang dimaksud dengan partikel berat bermuatan?
2. Apa yang dimaksud dengan mean free path?
3. Sebutkan jenis-jenis interaksi yang mungkin dialami oleh foton saat berinteraksi dengan materi.
4. Jelaskan perbedaan antara radiologi dengan kedokteran nuklir.
5. Sebutkan 3 jenis detektor radiasi yang anda ketahui.

Rangkuman

1. Interaksi partikel dengan materi dapat berupa partikel berat bermuatan dengan materi, elektron dengan materi atau foton dengan materi.
2. Semakin massif materi maka semakin banyak interaksi yang mungkin terjadi.
3. Interaksi partikel dengan materi pada dasarnya terjadi antar partikel (proyektil) dengan, atau inti atom dari materi target.
4. Mean free path menyatakan jarak rata-rata yang dilami oleh foton sebelum berinteraksi dengan materi.
5. Jenis interaksi yang terjadi antar foton dengan materi bergantung dari energi partikel foton datang.
6. Interaksi foton dapat berupa hamburan Reyleght, efek fotolistrik, hamburan Compton atau jika energinya cukup besar dapat menghasilkan pasangan elctron-positron.
7. Teleterapi merupakan proses pemberian atau penyinaran radiokatif terhadap pasien dari luar tubuh.
8. Brachytherapy merupakan proses pemberian zat radioaktif pada pasien dimana zat radioaktif di tempatkan langsung di dekat atau dalam tumor.
9. Perbedaan mendasar antara radiotherapy dengan kedokteran nuklir adalah dalam penggunaan energi radiasi.
10. Energi radiasi untuk radiotherapy jauh lebih kecil dari energi pada kedokteran nuklir, seperti pada gambar 7.11.
11. Dtektor radiasi digunakan untuk mendeteksi partkel radiasi hasil interaksi, detektor ini diantaranya; detektor ionisasi, dtektor semikonduktor dan detektor scintilasi.

Tes Formatif*

1. Jelaskan proses interaksi partikel berat bermuatan dengan materi.
2. Jelaskan proses interaksi antara foton dengan materi

3. Berapa jauhkah sebuah fotonbergerak bebas sebelum berinteraksi dengan materi.
4. Jelaskan proses apa yang dimaksud dengan hamburan Reyleght?
5. Jelaskan proses apa yang dimaksud dengan efek fotolistrik?
6. Jelaskan proses apa yang dimaksud dengan hamburan Compton?
7. Berikan penjelasan tentang produksi pasangan
8. Proses fotolistrik, hamburan Compton dan produksi pasangan ditunjukkan oleh gambar 7.9, berikan penjelasan pda grafik tersebut.
9. Sebutkan jenis-jenis generator radiasi klinik yang didasarkan pada tingkatan energinya.
10. Sebutkan beberapa contoh alat atau generator yang digunakan dalam kedokteran nuklir.
11. Berikan penjelasan pada gambar 7.11

** Jawaban Tes Sumatif secara abstrak telah disajikan dalam materi.*

BAB VIII

PARTIKEL ELEMENTER

A. Gambaran Singkat Mengenai Materi Kuliah

Materi kuliah ini membahas tentang partikel elementer dengan berbagai karakteristiknya. Pembahasan diawali dengan interaksi dasar yang terjadi di alam kemudian secara berturut-turut partikel dan anti partikel, keluarga partikel, interaksi dan peluruhan partikel, energi reaksi partikel, model quark dan standar model.

B. Pedoman Mempelajari Materi

Baca dan pahami materi yang disajikan. Table yang disajikan sangat membantu dalam membedakan dan mengetahui karakteristik setiap partikel. Rangkuman pada akhir bab membantu untuk menemukan poin-poin yang menjadi kata kunci dalam materi ini. Untuk menambah dan memperluas pemahaman, disediakan contoh dan soal latihan dan tes formatif.

C. Tujuan Pembelajaran

Setelah mengikuti materi ini mahasiswa diharapkan mampu;

1. Memahami apa yang dimaksud dengan partikel elementer
2. Menjelaskan empat jenis interaksi dasar yang terdapat di alam.
3. Membedakan jenis-jenis partikel elementer.
4. Menyebutkan partikel dan pasangan partikel dengan benar.
5. Mengklasifikasikan jenis partikel dengan benar.
6. Menjelaskan karakteristik setiap partikel dengan baik.
7. Menjelaskan mengapa partikel elementer umumnya “diciptakan” dengan menumbukkan partikel elementer yang telah diketahui dengan kecepatan tinggi (relativistic).
8. Menjelaskan mengapa partikel hasil tumbukan memiliki waktu hidup yang sangat singkat.
9. Memahami bahwa partikel hadron masih memiliki struktur yang lebih kecil yang disebut quark.
10. Membedakan jenis-jenis quark.
11. Menjelaskan mengapa muatan quark dilambangkan dalam warna seperti red, blue dan green.
12. Memahami bahwa semua hukum kekekalan juga berlaku pada proses reaksi dan peluruhan partikel elementer.

Atom yang berasal dari bahasa Yunani *atomos* berarti sesuatu yang tak terlihat. Sejak diperkenalkan oleh filosof Yunani **Democritus** hingga **John Dalton** dan **Dmitri Mendeleev** dipercaya sebagai elemen terkecil dari suatu materi dan telah digunakan untuk menjelaskan struktur materi. Namun setelah eksperimen yang dilakukan oleh Rutherford ditemukan bahwa elemen terkecil itu bukanlah atom namun masih ada elemen yang membentuk suatu atom. Elemen yang dimaksud adalah elektron, proton dan neutron. Pada awal abad ke-20 telah sekitar 100 unsur yang ditemukan dan terdiri atas ketiga elemen tersebut.

Sejak tahun 1945 telah banyak partikel yang ditemukan, yang diperoleh dengan menumbukkan partikel-partikel yang telah diketahui dalam energi yang sangat tinggi. Kebanyakan partikel yang terdeteksi dari proses ini tidak stabil (meluruh dengan cepat) dan memiliki waktu paruh yang sangat singkat rata-rata pada rentang 10^{-6} – 10^{-23} detik. Kemajuan pesat dalam bidang akselerator pada tahun 1960an menyebabkan jumlah partikel elementer yang ditemukan meningkat. Salah satu yang paling menarik adalah ditemukannya pasangan partikel (anti-partikel) dan Quarks dan antiquark.

Secara teori semua partikel memiliki pasangan dan semua partikel yang telah terdeteksi secara eksperimen membuktikan keberadaan pasangan partikel tersebut. Jauh sebelum teori ini ditemukan (dan dibuktikan), Allah Swt. dalam Alquran telah menyatakan dengan jelas bahwa semua makhluk diciptakan secara berpasangan dan dari jenisnya sendiri. Seperti dalam surat Ar-Ruum ayat ke-21;

وَمِنْ آيَاتِهِ أَنْ خَلَقَ لَكُمْ مِنْ أَنْفُسِكُمْ أَزْوَاجًا لِتَسْكُنُوا إِلَيْهَا وَجَعَلَ بَيْنَكُمْ مَوَدَّةً وَرَحْمَةً
 إِنَّ فِي ذَلِكَ لَآيَاتٍ لِقَوْمٍ يَتَفَكَّرُونَ

Terjemahnya:

Dan di antara tanda-tanda kekuasaan-Nya ialah Dia menciptakan untukmu isteri-isteri dari jenismu sendiri, supaya kamu cenderung dan merasa tenteram kepadanya, dan dijadikan-Nya di antaramu rasa kasih dan sayang. Sesungguhnya pada yang demikian itu benar-benar terdapat tanda-tanda bagi kaum yang berfikir (QS 30:21).

Kemudian dilanjutkan dalam ayat berikutnya

وَمِنْ آيَاتِهِ خَلْقَ السَّمَوَاتِ وَالْأَرْضِ وَاخْتِلَافُ أَلْسِنَتِكُمْ وَالْوَالِدَاتُ إِذَا حَمَلْنَ
 لِلْعَالَمِينَ

Terjemahnya:

Dan di antara tanda-tanda kekuasaan-Nya ialah menciptakan langit dan bumi dan berlain-lainan bahasamu dan warna kulitmu. Sesungguhnya pada yang demikian itu benar-benar terdapat tanda-tanda bagi orang-orang yang mengetahui (QS 30:22).

Ayat diatas kurang lebih menjelaskan bahwa kita diciptakan berpasangan-pasangan dan dari jenis kita sendiri serta dengan bahasa dan warna kulit yang berbeda. Sama halnya dengan partikel memiliki pasangan yang disebut sebagai antipartikel dari jenis yang sama namun dengan muatan atau spin yang berbeda, misalnya elektron yang bermuatan negatif memiliki pasangan elektron positif yang disebut positron. Secara keseluruhan kedua partikel tersebut adalah sama namun berbeda dalam hal muatan dan waktu paruhnya. Jenis partikel juga bermacam-macam seperti yang dikelompokkan dalam table 8.2, yang dapat berinteraksi satu sama lain namun dengan pasangan yang sesuai dengan anti partikelnya sendiri.

Pada surat An-Nahl ayat 72 Allah berfirman:

وَاللَّهُ جَعَلَ لَكُمْ مِنْ أَنْفُسِكُمْ أَزْوَاجًا وَجَعَلَ لَكُمْ مِنْ أَنْفُسِكُمْ بَيْنًا وَحَفْدَةً وَرَزَقَكُمْ مِنَ الطَّيِّبَاتِ أَفَبِالْبَاطِلِ يُؤْمِنُونَ وَبِعِمَّةِ اللَّهِ هُمْ يَكْفُرُونَ

Terjemahnya:

Allah menjadikan bagi kamu isteri-isteri dari jenis kamu sendiri dan menjadikan bagimu dari isteri-isteri kamu itu, anak anak dan cucu-cucu, dan memberimu rezki dari yang baik-baik. Maka mengapakah mereka beriman kepada yang bathil dan mengingkari ni`mat Allah? (QS 16:72).

Ketika dua buah partikel ditabrakkan dengan energi yang cukup, maka akan tercipta berbagai partikel lain yang bermassa lebih kecil dan reaktif. Reaktif dalam artian bahwa partikel produk in dapat meluruh dengan cepat dan menghasilkan jenis partikel yang lain.

8.1. Interaksi Dasar (*Four Basic Forces*)

Untuk memahami karakteristik sebuah partikel elementer, perlu dipahami interaksi atau gaya antar partikel tersebut. Interaksi antar partikel dapat terjadi dalam empat jenis interaksi fundamental, yaitu interaksi kuat (*strong force*), interaksi lemah (*weak force*), interaksi elektromagnetik (*electromagnetic force*) dan interaksi gravitasi (*gravitational force*).

- Interaksi kuat (*strong force*)

Interaksi ini merupakan interaksi yang terjadi dalam suatu inti atom. Gaya antara nucleon-nukleon inti seperti proton dan neutron dan inti-inti berat lainnya. Meskipun gaya ini merupakan interaksi kuat (terkuat yang pernah ditemukan) namun memiliki jangkauan yang sangat pendek, hanya sejauh radius inti (10^{-15} m). Interaksi ini juga terjadi antara quark dalam inti atom (proton atau neutron).

- Interaksi lemah (*weak force*)

Interaksi ini juga merupakan memiliki jangkauan pendek (*short-range force*) sekitar 0,001 fm. Interaksi ini muncul dalam peluruhan beta dan peluruhan quark dan lepton. Gaya ini sekitar 10^{-6} kali lebih rendah interaksi kuat.

- Interaksi elektromagnetik (*electromagnetic force*)

Gaya elektromagnetik yang paling umum terjadi dalam atom. Gaya interaksi antara partikel seperti nucleon dengan elektron adalah salah satu contohnya. Jangkauan gaya ini hampir tak terbatas dengan kekuatan sekitar 10^{-2} kali lebih kecil dari gaya kuat. Penggabungan gaya elektromagnetik dengan gaya lemah yang diusulkan oleh Abdussalam dan Stephen Weinberg dikenal dengan nama gaya elektromagnetik lemah (*electroweak force*). Atas jasa keduanya di hadiah Nobel pada tahun 1979.

- Interaksi gravitasi (*gravitational force*)

merupakan gaya dengan jangkauan terjauh namun dengan energi rendah. Kekuatan gaya ini hanya sekitar 10^{-38} kali lebih rendah dari gaya kuat. Gaya gravitasi disini pada dasarnya sama dengan gaya gravitasi yang dipahami dalam skala makro.

Keempat jenis interaksi dilihat pada table 8.1 berikut

Table 8.1 empat interaksi dasar di alam

Interaksi (gaya)	Partikel yang berinteraksi	Kekuatan relative	Waktu hidup	Jangkauan	Medan partikel
Kuat	Quark, hadron	1	$\leq 10^{-20}$ s	Pendek (≈ 1 fm)	Gluon
Elektromagnetik	Partikel bermuatan	$\approx 10^{-2}$	$\approx 10^{-16}$ s	Panjang (∞)	Foton
Lemah	Quark, lepton	$\approx 10^{-6}$	$\geq 10^{-10}$ s	Pendek ($\approx 10^{-3}$ fm)	W^{\pm}, Z^0 boson
Gravitasi	Semua partikel	$\approx 10^{-43}$	Tahunan	Panjang (∞)	Graviton

8.2. Partikel dan Antipartikel

Salah satu yang paling menarik dalam bidang fisika partikel adalah bahwa secara teoritis setiap partikel memiliki pasangan. Ekperimen membuktikan bahwa beberapa pasangan partikel telah ditemukan. Pasangan partikel menyatakan bahwa partikel utama (misalnya elektron, e^-) memiliki pasangan (positron, e^+) dengan karakteristik yang sama namun dengan muatan yang berbeda. Misalnya elektron positif memiliki pasangan elektron negative yang disebut positron.

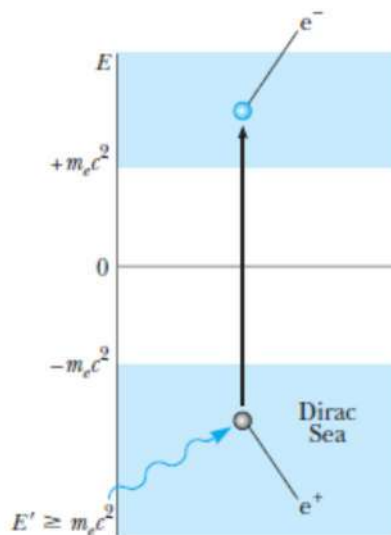


Paul Adrien Maurice Dirac, lahir 8 Agustus 1902 di Bristol Inggris dan meninggal 20 Oktober 1984 di Tallahasee Florida, USA. Memperoleh B.Sc tahun 1921 di Bristol dan Ph.D tahun 1926 di Cambridge. Memperoleh hadiah nobel pada tahun 1933 bersama dengan Erwin Schrodinger. Papernya tentang *theory of electron* (1928) dan *theory of holes* (1930) memprediksikan tentang kehadiran suatu partikel elektron bermuatan positif dengan massa yang sama dengan elektron, kemudian dikenal dengan nama positron. Partikel ini terdeteksi secara eksperimen pada tahun 1932 oleh C. D. Anderson.

Pada tahun 1920an, Paul A. Dirac seorang fisikawan berkebangsaan inggris mencoba menjelaskan proses pembentukan pasangan elektron-positron. Dirac meninjau spin dan moment magnetic dari elektron dengan mengusulkan persamaan yang dikenal sebagai persamaan gelombang relativistic Dirac. Sebagaimana kita ketahui bahwa setiap partikel yang bergerak dengan kecepatan relativistic memiliki energi sebesar

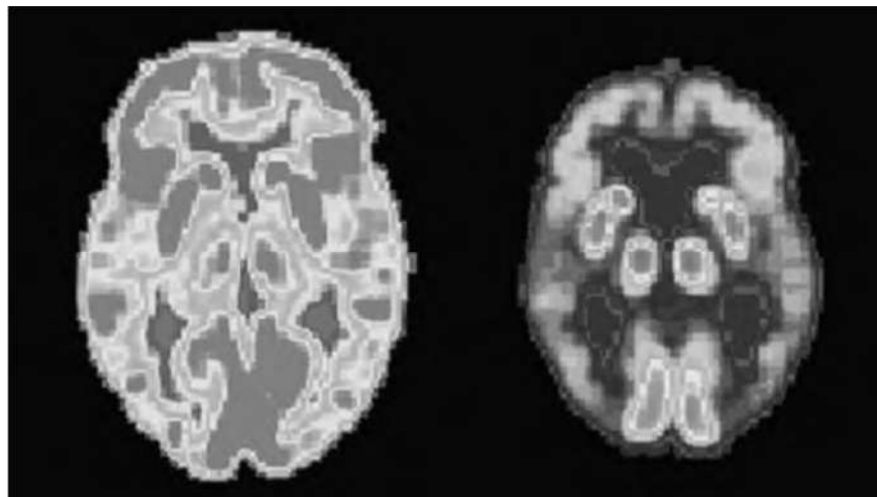
$$E = \pm\sqrt{p^2c^2 + m_e^2c^4} \quad (8.1)$$

Mengingat reaksi harun menghasilkan pasangan elektron maka energi yang dibutuhkan minimal dua kali energi diam elektron. Energi diam elektron sekitar 0.511 MeV sehingga untuk menghasilkan pasangan elektron minimal dibutuhkan energi sebesar 1,22 MeV.



Gambar 8.1 Model Dirac dalam produksi pasangan elektron-positron

Gambar 8.1 melukiskan bahwa tingkat energi rendah ($-m_e c^2$) tetap akan terisi oleh elektron tapi dengan muatan positif. Elektron positif ini disebut sebagai pasangan elektron atau positron yang terperangkap dalam “dirac sea”. Positron dapat meloloskan diri apabila memiliki energi sebesar $2m_e c^2$. Pasangan tiap partikel dengan antipartikelnya dapat dilihat pada table 8.2. Pemanfaatan proses produksi pasangan ini dalam bidang kedokteran digunakan dalam diagnostic, **positron emission tomography (PET)**.



Gambar 8.2 Citra otak hasil PET

8.3. Keluarga Partikel

Pengelompokan partikel elementer diperlukan untuk membuat klasifikasinya menjadi jelas. Pengelompokan ini didasarkan pada interaksinya. Klasifikasi ini secara umum dibagi atas **hadron** dan **lepton**. Selain dari jenis interaksinya partikel elementer juga dapat dibedakan berdasarkan massa dan spinnya. **Meson** dan **baryon** merupakan bagian dari **hadron** yang diklasifikasikan berdasarkan perbedaan massa dan spinnya.



Richard P. Feynman, lahir 11 Mei 1918 di New York dan meninggal 15 Februari 1988 di Los Angeles, USA. Memperoleh B.Sc dari MIT tahun 1939 dan Ph.D tahun 1942 dari Princeton University. Mendapat beberapa penghargaan diantaranya Albert Einstein Award (1954, Princeton); Einstein Award (Albert Einstein Award College of Medicine); Lawrence Award (1962) dan menerima hadiah nobel tahun 1965 bersama Shin-Itiro Tomanaga dan Julian Schwinger. Teorinya yang mengawinkan mekanika kuantum dan elektromagnet mengantarnya memperoleh hadiah nobel. Hampir semua bidang mekanika kuantum tak

lepas dari sumbangannya. Feynman merupakan salah satu fisikawan yang tetap mengajar di tingkat S1 dan sangat digemari oleh mahasiswa. Bukunya *Feynman lecture on physics* merupakan salah satu buku yang paling laris di USA.

Hadron

Semua partikel elementer yang beriteraksi kuat diklasifikasikan sebagai Hadron. Hadron juga masih diklasifikasikan menjadi **meson** dan **baryon** yang didasarkan pada perbedaan massa dan spinnya. Semua meson memiliki spin 0 atau 1 dengan massa kira-kira antara massa elektron dan massa proton. Setiap meson diketahui meluruh dengan hasil akhir berupa elektron, positron, neutrino dan foton.

Baryon yang merupakan klasifikasi kedua dari hadron memiliki massa yang sama atau lebih besar dari massa proton (baryon dalam bahasa yunani *baryon* berarti berat) dan spin yang ganjil setengah ($1/2$,

3/2, 5/2,.....). Proton, neutron dan partikel-partikel berat lainnya diklasifikasikan sebagai baryon. Yang menarik dari baryon adalah semua baryon (kecuali proton) meluruh dengan salah satu produk akhir adalah proton. Semua ahdron terdiri atas elemen yang lebih kecil yang disebut **quark**, yang dipercaya sebagai struktur terkecil dari suatu partikel. Kalsifikasi partikel elementer ini dapat dilihat pada tabel 8.2, simbol **B**, **L_e**, **L_μ**, **L_τ** dan **S** masing-masing menyatakan massa dan tenaga dari baryon, elektron, muon dan tau.

Table 8.2 Klasifikasi keluarga partikel*

Category	Particle Name	Symbol	Anti-particle	Mass (MeV/c ²)	B	L _e	L _μ	L _τ	S	Lifetime (s)	Principal Decay Modes ^a	
Leptons	Electron	e ⁻	e ⁺	0.511	0	+1	0	0	0	Stable		
	Electron-neutrino	ν _e	$\bar{\nu}_e$	<2.8 × 10 ⁻⁶	0	+1	0	0	0	Stable		
	Muon	μ ⁻	μ ⁺	105.7	0	0	+1	0	0	2.19 × 10 ⁻⁶	c ⁻ $\bar{\nu}_e$ ν _μ	
	Muon-neutrino	ν _μ	$\bar{\nu}_\mu$	<3.5 × 10 ⁻⁶	0	0	+1	0	0	Stable		
	Tau	τ ⁻	τ ⁺	1784	0	0	0	+1	0	3.3 × 10 ⁻¹³	μ ⁻ $\bar{\nu}_\mu$ ν _τ , c ⁻ $\bar{\nu}_e$ ν _τ	
	Tau-neutrino	ν _τ	$\bar{\nu}_\tau$	<8.4 × 10 ⁻⁶	0	0	0	+1	0	Stable		
Hadrons	Mesons	Pion	π ⁺	π ⁻	139.6	0	0	0	0	2.60 × 10 ⁻⁸	μ ⁺ ν _μ	
			π ⁰	Self	135.0	0	0	0	0	0.83 × 10 ⁻¹⁶	2γ	
		Kaon	K ⁺	K ⁻	493.7	0	0	0	0	+1	1.24 × 10 ⁻⁸	μ ⁺ ν _μ
			K _S ⁰	\bar{K}_S^0	497.7	0	0	0	0	+1	0.89 × 10 ⁻¹⁰	π ⁺ π ⁰
			K _L ⁰	\bar{K}_L^0	497.7	0	0	0	0	+1	5.2 × 10 ⁻⁸	π ⁺ π ⁻ , 2π ⁰ , π ⁺ e ⁻ $\bar{\nu}_e$, 3π ⁰
											π ⁻ μ ⁺ $\bar{\nu}_\mu$	
		Eta	η	Self	548.8	0	0	0	0	0	<10 ⁻¹⁸	2γ, 3π ⁰
			η'	Self	958	0	0	0	0	0	2.2 × 10 ⁻²¹	ηπ ⁺ π ⁻
	Baryons	Proton	p	\bar{p}	938.3	+1	0	0	0	0	Stable	
		Neutron	n	\bar{n}	939.6	+1	0	0	0	0	624	p e ⁻ $\bar{\nu}_e$
		Lambda	Λ ⁰	$\bar{\Lambda}^0$	1115.6	+1	0	0	0	-1	2.6 × 10 ⁻¹⁰	pπ ⁻ , nπ ⁰
		Sigma	Σ ⁺	$\bar{\Sigma}^-$	1189.4	+1	0	0	0	-1	0.80 × 10 ⁻¹⁰	pπ ⁰ , nπ ⁺
Σ ⁰			$\bar{\Sigma}^0$	1192.5	+1	0	0	0	-1	6 × 10 ⁻²⁰	Λ ⁰ γ	
Σ ⁻			$\bar{\Sigma}^+$	1197.3	+1	0	0	0	-1	1.5 × 10 ⁻¹⁰	nπ ⁻	
Delta		Δ ⁺⁺	$\bar{\Delta}^-$	1230	+1	0	0	0	0	6 × 10 ⁻²⁴	pπ ⁺	
		Δ ⁺	$\bar{\Delta}^-$	1231	+1	0	0	0	0	6 × 10 ⁻²⁴	pπ ⁰ , nπ ⁺	
		Δ ⁰	$\bar{\Delta}^0$	1232	+1	0	0	0	0	6 × 10 ⁻²⁴	nπ ⁰ , pπ ⁻	
		Δ ⁻	$\bar{\Delta}^+$	1234	+1	0	0	0	0	6 × 10 ⁻²⁴	nπ ⁻	
Xi		Ξ ⁰	$\bar{\Xi}^0$	1315	+1	0	0	0	-2	2.9 × 10 ⁻¹⁰	Λ ⁰ π ⁰	
		Ξ ⁻	$\bar{\Xi}^+$	1321	+1	0	0	0	-2	1.64 × 10 ⁻¹⁰	Λ ⁰ π ⁻	
Omega		Ω ⁻	Ω ⁺	1672	+1	0	0	0	-3	0.82 × 10 ⁻¹⁰	$\bar{\Xi}^-$ π ⁰ , $\bar{\Xi}^0$ π ⁻ , Λ ⁰ K ⁻	

*Masih terdapat satu partikel lagi yang tidak tercantum dalam tabel ini, yaitu **Higgs boson**. Partikel ini baru terdeteksi setelah energi collider CERN ditingkatkan. Konfirmasi penemuan partikel ini diumumkan oleh CERN pada tanggal 4 Juli 2012.

Sumber: Serway, *et.al.*, 2005

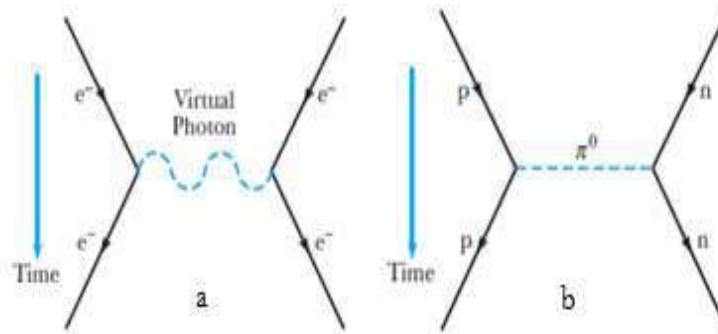
Lepton

Lepton dalam bahasa Yunani *leptos* berarti kecil atau cahaya. Semua partikel dalam klasifikasi lepton berinteraksi lemah dan elektromagnetik. Semua lepton memiliki spin $\frac{1}{2}$. Berbeda dengan hadron yang memiliki ukuran dan struktur (seperti Quark), lepton hanya merupakan “titik” tanpa struktur apapun. Jumlah lepton yang telah dikenal (ditemukan) juga lebih sedikit dari hadron. Hingga saat ini, para fisikawan baru mengidentifikasi enam lepton, yaitu: elektron, muon, tau, elektron neutrino, muon neutrino dan tau neutrino. Bagian yang menarik dari lepton adalah semua lepton memiliki anti partikel. Neutrino dengan antipartikel, antineutrino. Momentum neutrino berlawanan arah dengan arah gerak neutrino, namun untuk antipartikelnya anti neutrino memiliki arah gerak yang paralel dengan momentumnya.

8.4. Interaksi dan Peluruhan Partikel

Atom dan molekul yang memiliki ukuran yang lebih besar dari partikel dengan mudah dapat dipelajari strukturnya (melalui eksperimen). Berbeda dengan atom dan molekul yang dapat diperoleh (tersedia) di alam, partikel umumnya harus diciptakan melalui hamburan atau menumbukkan sesama partikel (*colliders*). Umumnya partikel hasil tumbukan memiliki waktu hidup yang sangat singkat (waktu paruh sangat kecil) dan meluruh dengan cepat. Hal ini pula yang menyebabkannya sulit dideteksi. Richard P. Feynman adalah salah satu fisikawan yang berhasil menyusun teori mengenai penumbukan partikel ini (untuk menciptakan partikel). Untuk melihat partikel yang mungkin tercipta dari sebuah proton, maka proton harus ditumbukkan dengan sesamanya dalam kecepatan yang super cepat. Hasil tumbukan kemudian akan dideteksi oleh detector, yang pasti adalah partikel hasil tidak mungkin berupa proton lagi,

$$p + p \rightarrow \text{partikel produk} \quad (8.2)$$



Gambar 8.3 Diagram Feynman. (a) Gaya EM foton diantara elektronn, (b) Interaksi kuat proton-neutron
 Sumber: Serway,*et.al.*, 2005

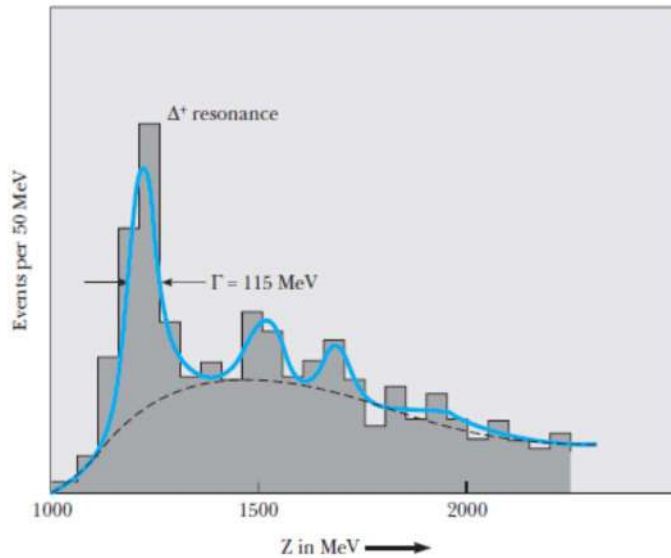
Reaksi lain yang mungkin terjadi adalah;

$$\pi + p \rightarrow \text{partikel produk} \quad (8.3)$$

$$K + p \rightarrow \text{partikel produk} \quad (8.4)$$

$$\pi^- \rightarrow \mu^- + \bar{\nu}_\mu \quad (8.5)$$

$$\pi^- \rightarrow e^- + \nu_\mu + \bar{\nu}_c \quad (8.6)$$



Gambar 8.4 Hasil eksperimen partikel Δ^+

Gambar 8.4 memperlihatkan salah satu hasil eksperimen peluruhan Δ^+ dan menghasilkan partikel π^+ . Bagian yang menghasilkan partikel ini berada pada puncak grafik dengan energi sekitar 1.230 MeV.

8.5. Energi Peluruhan Partikel

Analisis pada reaksi dan peluruhan partikel elementer pada dasarnya sama dengan reaksi dan peluruhan inti nuklir. Hukum kekekalan energi, momentum linier dan total momentum angular harus tetap berlaku. Namun masih perlu ditambah dengan total nilai bilangan kuantum yang bersesuaian dengan muatan elektrik partikel, bilangan lepton, bilangan baryon (biasa juga disebut jumlah nucleon) harus tetap sama sebelum dan sesudah peluruhan.

Mengingat proses benturan dan reaksi terjadi dalam skala relativisti, maka persamaan-persamaan relativistic juga harus digunakan dalam analisis terutama untuk analisis energi dan momentum. Peluruhan pada partikel elementer sebagaimana disebutkan sebelumnya, dapat diperlakukan sama dengan peluruhan inti atom;

- a. Energi yang mungkin dalam peluruhan adalah perbedaan energi antara energi diam partikel (induk) dengan energi partikel hasil peluruhan.

$$Q = (m_i - m_f)c^2 \quad (8.7)$$

dimana $m_i c^2$ adalah energi diam partikel induk dan $m_f c^2$ adalah total energi hasil peluruhan.

- b. Energi Q dapat diubah menjadi energi kinetik partikel hasil (sama seperti pada peluruhan inti)

Contoh 1

Tentukan energi proton dan π meson sebagai hasil dari peluruhan Δ^0

Jawaban

Persamaan reaksi peluruhan



Dengan menggunakan data dari table 8.2, energi Q diperoleh

$$Q = (m_{\Delta^0} - m_p + m_{\pi^-})c^2 \quad (8.9)$$

$$= 1116 \text{ MeV} - 938 \text{ MeV} - 140 \text{ MeV}$$

$$= 38 \text{ MeV}$$

Jadi energi kinetik total produk

$$K_p + K_{\pi^-} = 38 \text{ MeV}$$

Sekarang gunakan persamaan energi kinetik relativistic

$$K_p + K_{\pi^-} = \left(\sqrt{c^2 p_p^2 + c^4 m_p^2} - c^2 m_p \right) + \left(\sqrt{c^2 p_{\pi^-}^2 + c^4 m_{\pi^-}^2} - c^2 m_{\pi^-} \right) \quad (8.10)$$

$$K_p + K_{\pi^-} = 38 \text{ MeV}$$

Kekekalan momentum memberikan momentum $p_p = p_{\pi^-}$ Sehingga dengan memasukkan salah satu nilai momentum tersebut dan menganggap momentum yang lain tidak diketahui maka diperoleh

$$p_p = p_{\pi^-} = 101 \text{ MeV}/c$$

dan energi kinetiknya dapat diperoleh

$$K_{\pi^-} = 33 \text{ MeV}$$

$$K_p = 5 \text{ MeV}$$

8.6. Energi Reaksi Partikel

Eksperimen fisika partikel, partikel dipercepat hingga mendekati kecepatan cahaya sebelum ditumbukkan dengan partikel yang lain. Oleh karena itu harus ditinjau dalam kerangka relativistic, pada bagian ini uraian akan difokuskan pada energi ambang (*threshold*) yang dibutuhkan untuk memproduksi partikel.

Berdasarkan persamaan

$$m_1 + m_2 \rightarrow m_3 + m_4 + m_5 + \dots \quad (8.11)$$

dimana m_1 dan m_2 adalah massa partikel yang ditumbukkan, sedangkan massa yang lain adalah massa partikel hasil tumbukan. Jika massa partikel yang ditumbukkan m_1 dengan energi total E_1 , maka energi kinetiknya

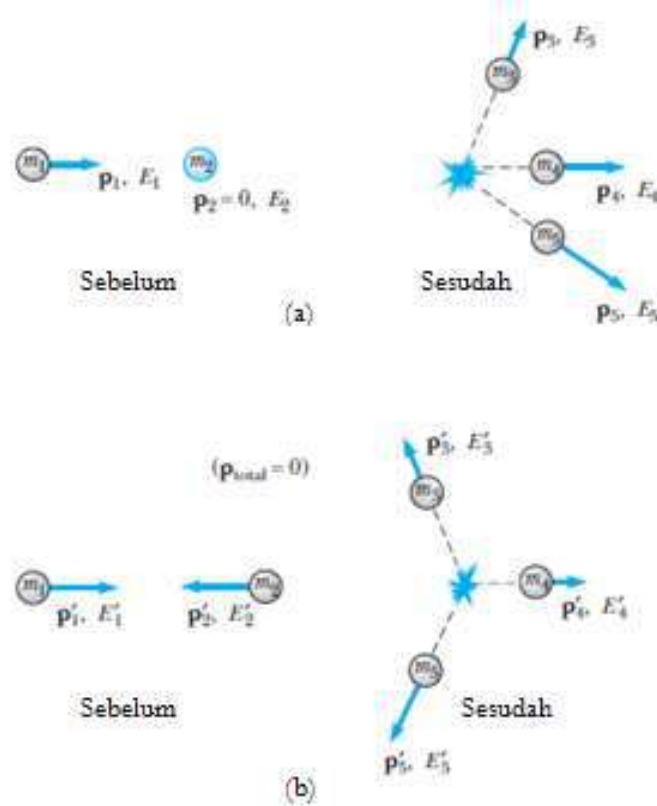
$$K_1 = E_1 - m_1 c^2 \quad (8.12)$$

dan momentumnya

$$p_1 = \sqrt{p_1^2 - m_1^2 c^2} \quad (8.13)$$

Dengan menganggap m_2 sebagai target yang diam, maka energi Q dari reaksi tersebut diberikan oleh persamaan

$$Q = [m_1 + m_2 - (m_3 + m_4 + m_5 + \dots)]c^2 \quad (8.14)$$



Gambar 8.5 Ilustrasi tumbukan partikel, (a) Tumbukan dengan partikel target diam, (b) Tumbukan dengan kedua partikel bergerak

Contoh 2

Tentukan nilai Q dari reaksi



Jawaban

$$\begin{aligned} Q &= [m_{\pi^-} + m_p - (m_{K^0} + m_{\Delta^0})]c^2 \\ &= 140 \text{ MeV} + 938 \text{ MeV} - 498 \text{ MeV} - 1116 \text{ MeV} \\ &= -536 \text{ MeV} \end{aligned}$$

Energi Q bernilai negatif menunjukkan bahwa energi kinetik partikel penumbuk sebagian diubah menjadi energi diam (setara dengan energi yang dibutuhkan untuk menghasilkan produk reaksi).

Besarnya energi minimum atau energi *threshold* yang dibutuhkan dalam suatu reaksi partikel diberikan oleh

$$K_{th} = \frac{(m_3 + m_4 + m_5 + \dots)^2 c^2 - (m_1 + m_2)^2 c^2}{m_2} \quad (8.16)$$

8.7. Model Quark

Seperti yang telah diuraikan sebelumnya bahwa lepton merupakan real partikel elementer karena tidak mengandung struktur dan ukuran penyusun didalamnya. Sedangkan hadron (baryon dan meson) belum dapat dikatakan sebagai real partikel elementer seperti lepton, hal ini karena hadron masih memiliki struktur yang lebih kecil yaitu **Quark**. Pada tahun 1963 Murray Gellman dan George Zweig (Serway, *et.al.*, 2005) yang bekerja secara terpisah mengemukakan bahwa hadron masih mengandung elemen yang lebih kecil dalam strukturnya. Dalam model yang diusulkan menyatakan bahwa setiap hadron setidaknya memiliki dua atau tiga struktur yang disebut **quark**. Pada awalnya quark disebut *fork* dan oleh Zweig disebut *aces* kemudian berubah dan disepakati dengan nama quark.

Pada awalnya dikenal tiga model quark yaitu **up**, **down** dan **sideways** yang kemudian disebut juga **strange**. Ketiga model quark tersebut disimbolkan dengan **u,d** dan **s**.

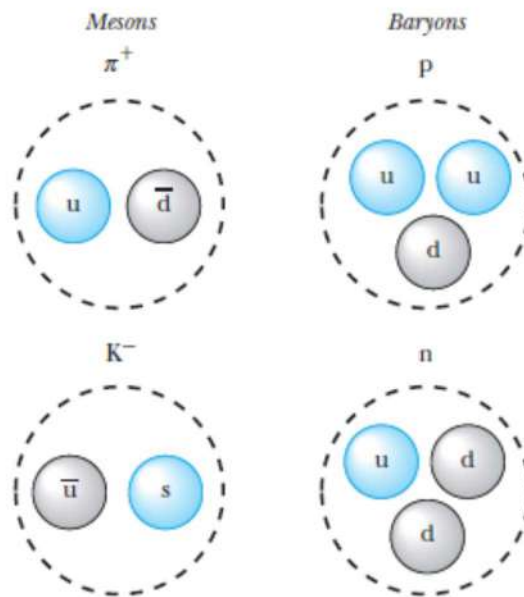
Jumlah quark dan antiquark yang telah diketahui dapat dilihat dalam table 8.3

Table 8.3 Karakteristik Quark dan AntiQuark yang telah ditemukan

Quarks								
Name	Symbol	Spin	Charge	Baryon Number	Strangeness	Charm	Bottomness	Topness
Up	u	$\frac{1}{2}$	$+\frac{2}{3}e$	$\frac{1}{3}$	0	0	0	0
Down	d	$\frac{1}{2}$	$-\frac{1}{3}e$	$\frac{1}{3}$	0	0	0	0
Strange	s	$\frac{1}{2}$	$-\frac{1}{3}e$	$\frac{1}{3}$	-1	0	0	0
Charmed	c	$\frac{1}{2}$	$+\frac{2}{3}e$	$\frac{1}{3}$	0	+1	0	0
Bottom	b	$\frac{1}{2}$	$-\frac{1}{3}e$	$\frac{1}{3}$	0	0	+1	0
Top	t	$\frac{1}{2}$	$+\frac{2}{3}e$	$\frac{1}{3}$	0	0	0	+1

Antiquarks								
Name	Symbol	Spin	Charge	Baryon Number	Strangeness	Charm	Bottomness	Topness
Anti-up	\bar{u}	$\frac{1}{2}$	$-\frac{2}{3}e$	$-\frac{1}{3}$	0	0	0	0
Anti-down	\bar{d}	$\frac{1}{2}$	$+\frac{1}{3}e$	$-\frac{1}{3}$	0	0	0	0
Anti-strange	\bar{s}	$\frac{1}{2}$	$+\frac{1}{3}e$	$-\frac{1}{3}$	+1	0	0	0
Anti-charmed	\bar{c}	$\frac{1}{2}$	$-\frac{2}{3}e$	$-\frac{1}{3}$	0	-1	0	0
Anti-bottom	\bar{b}	$\frac{1}{2}$	$+\frac{1}{3}e$	$-\frac{1}{3}$	0	0	-1	0
Anti-top	\bar{t}	$\frac{1}{2}$	$-\frac{2}{3}e$	$-\frac{1}{3}$	0	0	0	-1

Sumber: Serway, *et. al.*, 2005



Gambar 8.6 Quark yang dimiliki oleh meson dan baryon

Jumlah quark yang dimiliki oleh beberapa partikel hadron dapat dilihat pada table 8.4 berikut

Table 8.4 Kandungan quark pada beberapa partikel Hadron

Particle	Quark Composition
Mesons	
π^+	$u\bar{d}$
π^-	$\bar{u}d$
K^+	$u\bar{s}$
K^-	$\bar{u}s$
K^0	$d\bar{s}$
Baryons	
p	uud
n	udd
Λ^0	uds
Σ^+	uus
Σ^0	uds
Σ^-	dds
Ξ^0	uss
Ξ^-	dss
Ω^-	sss

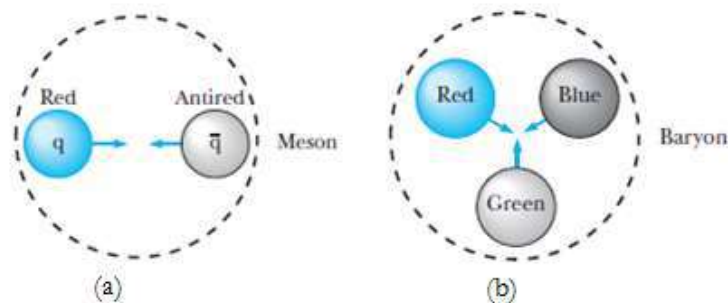
Quark **u**, **d** dan **s** memiliki muatan elektronik masing-masing sebesar $+2e/3$, $-e/3$, $-e/3$ secara berturut-turut dengan e sebagai muatan positron. Setiap quark memiliki **nomor barion** = $1/3$ dan **spin** = $1/2$. Dengan **u** dan **d** memiliki **strangeness** = 0 dan **s** = - 1. Usulan Gellmann-Zweig dapat dikelompokkan dalam tiga bagian berikut

- Meson terdiri atas quark dan antiquark dengan nomor barion = 0 dan terjadi interaksi kuat antara quark (*strong force*).
- Sebuah baryon terdiri atas tiga quark.
- Sebuah anti baryon juga terdiri atas tiga quark.

Muatan quark dilambangkan dengan warna (*color charge*)

Prinsip eksklusi Pauli mensyaratkan bahwa muatan suatu partikel harus berpasangan sedangkan muatan quark tidak selalu memenuhi eksklusi ini. Selain itu energi partikel meson dan baryon yang mengandung quarks jauh lebih besar dari energi dalam skala atom. Sehingga quark juga disebut sebagai fermion (berenergi tinggi). Solusi mengenai masalah ini muncul pada tahun 1965 oleh Moo-Young Han

dan Yoichiro Nambu yang mengusulkan muatan quark dalam sebutan warna (*color charge*). Tiga warna dasar yang diusulkan adalah merah (*red*), hijau (*green*) dan biru (*blue*) dan anticolor sebagai antiquark; *antired*, *antigreen* dan *antiblue* serta kombinasi ketiga warna disebut putih (*white*) atau *colorless* dengan *anticolorless*.



Gambar 8.7 Pemberian warna pada muatan quark

8.8. Standar Model

Kesuksesan teori electroweak yang di usulkan oleh Weinberg-Salam, para ilmuwan kemudian mencoba menggabungkannya dengan teori **QCD** (*Quantum Electrodynamics*) menjadi **grand unified theory (GUT)** atau teori kemanunggalan agung. Dalam model ini, interaksi electroweak digabungkan dengan interaksi warna kuat (*strong color force*) sehingga menjadi interaksi kemanunggalan agung (*grand unified force*). QUT yang terdiri atas lepton dan quark dalam keadaan spesifik memiliki partikel tunggal disebut sebagai *leptoquark* yang diidentifikasi memiliki *flavors* yang sama dengan lepton dan quark. QUT memprediksikan bahwa lepton dan quark dapat dipertukarkan jika waktunya mencukupi untuk itu. GUT juga memprediksikan bahwa quark mengisi proton yang tidak stabil dan akan meluruh dengan waktu hidup sekitar 10^{32} tahun dan menjadi positron, namun deteksi mengenai partikel ini belum dapat dibuktikan.

Pencarian tentang model unifikasi ini berujung pada suatu system simetri yang unik (*beautiful symmetry principle*) yang disebut sebagai **supersymmetry (SUSY)**. SUSY menyatakan bahwa setiap partikel elementer memiliki pasangan yang disebut **super-partner** atau **sparticle**, meskipun sparticle belum bias ditemukan secara eksperimen.

Latihan

1. Apa yang dimaksud dengan partikel elementer?
2. Mengapa atom disebut sebagai bagian terkecil dari suatu materi?
3. Sebutkan empat interaksi dasar di alam
4. Apa yang dimaksud dengan quark?
5. Jelaskan apa yang dimaksud dengan interaksi *electroweak*?

Rangkuman

1. Partikel elementer merupakan partikel dasar yang menyusun sebuah atom atau inti atom.
2. Partikel elementer dibagi atas dua bagian besar yaitu hadron dan lepton.
3. Interaksi yang dialami yang dialami partikel dapat berupa interaksi lemah, interaksi kuat, interaksi gravitasi atau gaya elektromagnetik.
4. Interaksi kuat (*strong force*) merupakan interaksi yang dialami partikel inti (nukleon) dan yang terkuat yang pernah diketahui, namun memiliki jangkauan yang sangat pendek 10^{-15} m.
5. Setiap partikel memiliki pasangan yang disebut antipartikel, misalnya elektron memiliki antipartikel yang disebut positron.
6. Selain hadron dan lepton masih terdapat partikel elementer yang disebut boson. Higgs boson baru terdeteksi setelah energi akselerator di CERN ditingkatkan dalam orde Tera elektron Volt (TeV). Keberadannya dilaporkan terdeteksi pada 4 juli 2012.
7. Hadron dapat dibedakan dalam dua jenis yaitu baryon dan meson.
8. Semua partikel elementer dari kelompok hadron pada dasarnya masih memiliki struktur yang lebih kecil yang disebut quark.
9. Analisis proses peluruhan partikel elementer pada dasarnya sama dengan peluruhan pada inti, dimana semua hukum kekekalan juga berlaku.
10. Quark dapat memiliki berupa up, down dan strange yang dilambangkan dalam u, d dan s.
11. Muatan quark diberi nama sesuai dengan nama warna dasar, seperti red, green dan blue sedangkan antiquarknya antired, antigreen dan antiblue.

Tes Formatif

1. Jelaskan empat interaksi dasar yang terjadi di alam.
2. Jelaskan mengapa interaksi atau gaya gravitasi tidak memberikan pengaruh yang signifikan dalam interaksi partikel elementer?
3. Jelaskan mengapa partikel elementer dikelompokkan dalam lepton, hadron dan boson?
4. Jelaskan proses terjadinya anti partikel?

5. Mengapa untuk menciptakan beberapa partikel elementer harus melalui tumbukan dengan energi, momentum dan kecepatan yang relativistik?
6. Jelaskan mengapa partikel yang tercipta dari hasil tumbukan partikel umumnya berumur pendek (sangat cepat meluruh)?
7. Mengapa muatan quark harus dilambangkan dengan nama warna?
8. Mengapa hanya hadron yang memiliki quark sedangkan lepton tidak?
9. Sebutkan jenis partikel yang masuk dalam keluarga lepton, meson dan baryon.
10. Berapakah energi kinetik maksimum dari peluruhan berikut

$$\pi^- \rightarrow e^- + \nu_\mu + \bar{\nu}_c$$

$$\text{Jawaban: } K_e = 52,3 \text{ MeV}$$

11. Tentukan energi maksimum dari positron dan π meson produk dari peluruhan

$$K^+ \rightarrow \pi^0 + e^+ + \nu_e$$

$$\text{Jawaban: } (E_\pi)_{\text{maks}} = 229 \text{ MeV}$$

12. Tentukan nilai Q dari reaksi berikut

$$K^- + p \rightarrow \Delta^0 + \pi^0$$

$$\text{Jawaban: } Q = 181 \text{ MeV}$$

13. Tentukan energi kinetik threshold untuk memproduksi π meson dari reaksi berikut

$$p + p \rightarrow p + p + \pi^0$$

$$\text{Jawaban: } K_{th} = 280 \text{ MeV}$$

14. Eksperimen untuk menghasilkan antiproton dilakukan di Berkeley pada tahun 1956. Antiproton dapat tercipta menurut persamaan reaksi

$$p + p \rightarrow p + p + p + \bar{p}$$

Berapakah energi threshold dari persamaan reaksi tersebut?

$$\text{Jawaban: } K_{th} = 5,628 \text{ GeV}$$

15. Buktikan apakah reaksi berikut dapat terjadi?

$$\pi^- \rightarrow e^- + \bar{\nu}_c$$

Jawaban: Tidak, karena bilangan muatan-lepton sebelum peluruhan adalah 1 dan bernilai 0 setelah peluruhan

BAB IX FISIKA NUKLIR DALAM ASTROFISIKA DAN KOSMOLOGI

A. Gambaran Singkat Mengenai Materi Kuliah

Materi ini pada dasarnya merupakan pengantar untuk mata kuliah lebih lanjut yaitu astronomi dan kosmologi. Karena sifatnya pengantar, maka materi yang diuraikan tidak terlalu menenankan pada persamaan-persamaan rumit yang banyak dijumpai dalam astronomi dan kosmologi. Uraian materi dimulai dengan memperkenalkan struktur bintang, proses pembakaran dalam bintang dan akhir evolusi dari sebuah bintang.

Uraian berikutnya membahas mengenai alam semesta yang dimulai dengan ledakan besar hingga alam semesta masa kini.

B. Pedoman Mempelajari Materi

Baca dan pahami materi yang disajikan. Rangkuman pada akhir bab dapat memfokuskan bagian-bagian yang menjadi kunci dari materi. Latihan dan tes formatif sangat membantu dalam menambah pemahaman konsep yang disajikan

C. Tujuan Pembelajaran

Setelah mempelajari materi ini mahasiswa diharapkan dapat

1. Memahami konsep fisika nuklir dalam astro fisika dan kosmologi
 2. Memahami struktur sebuah bintang
 3. Menjelaskan proses pembakaran dalam inti bintang.
 4. Menjelaskan proses terbentuknya bintang katai
 5. Memahami jenis bintang katai dengan baik
 6. Memahami proses terjadinya supernova
 7. Menjelaskan empat proses reaksi rantai dalam pembakaran hydrogen dalam inti bintang.
 8. Membedakan jenis-jenis supernova berdasarkan spektrum dan energinya.
 9. Menjelaskan apa yang dimaksud dengan Big-Bang dalam proses awal kejadian alam semesta.
 10. Memahami
-

Salah satu prestasi paling mengagumkan dari fisika nuklir adalah kemampuannya menjelaskan proses produksi energi dalam inti sebuah bintang dan sintesis inti bintang (*stellar nucleosynthesis*). Para astrofisikawan meyakini bahwa bagaimana sebuah bintang terbentuk mulai dari sekumpulan awan, terjadi tahap pembakaran dalam inti hingga bintang tersebut musnah menjadi supernova (*supernovae*) atau bintang katai putih (*white dwarfs*). Konsep fisika inti mampu

menjelaskan bagaimana produksi hydrogen dan helium hingga partikel-partikel berat dalam inti sebuah bintang dan jagat raya.

Menurut teori yang dikemukakan oleh George Gamow pada tahun 1946, bahwa alam semesta bermula dari suatu ledakan besar (*big bang*) dari suatu titik lalu mengembang keluar. Terdapat teori lain yang mengajukan model alam semesta yang disebut penciptaan berkelanjutan (*continous creation*) yang dikemukakan oleh H. Bondi, T. Bold dan F. Hoyle pada tahun 1948. Namun dari hasil pengamatan dan fakta-fakta empiris ditemukan bahwa model alam semesta lebih cocok dengan model yang diusulkan oleh G. Gamow yang kemudian menjadi model baku (standar) alam semesta.

Hasil pengamatan yang lebih awal dilakukan oleh Edwin Powell Hubble menunjukkan bahwa cahaya dari semua galaksi (yang teramati) mengalami pergeseran kearah merah (*red shift*) yang menunjukkan bahwa materi alam semesta sedang bergerak menjauhi bumi dengan kecepatan yang sebanding dengan jaraknya. Hal ini menunjukkan bahwa alam semesta sedang mengembang hingga kini. Secara teoritis terdapat tiga model jagat raya yang mungkin yaitu jagat raya tertutup (*close universe*), datar (*flat universe*), dan jagat raya terbuka (*open universe*).

Jauh sebelum penemuan E.W. Hubble, penciptaan alam semesta telah tertulis dalam Al Quran yakni pada surat *Yunus* ayat 3:

إِنَّ رَبَّكُمُ اللَّهُ الَّذِي خَلَقَ السَّمَوَاتِ وَالْأَرْضَ فِي سِتَّةِ أَيَّامٍ ثُمَّ اسْتَوَىٰ عَلَى الْعَرْشِ يُدِيرُ الْأَمْرَ
مَا مِنْ شَيْءٍ إِلَّا مِنْ بَعْدِ إِذْنِهِ ذَلِكُمْ اللَّهُ رَبُّكُمْ فَاعْبُدُوهُ أَفَلَا تَذَكَّرُونَ

Terjemahnya:

Sesungguhnya Tuhan kamu ialah Allah Yang menciptakan langit dan bumi dalam enam masa, kemudian Dia bersemayam di atas `Arsy untuk mengatur segala urusan. Tiada seorangpun yang akan memberi syafa`at kecuali sesudah ada izin-Nya. (Dzat) yang demikian itulah Allah, Tuhan kamu, maka sembahlah Dia. Maka apakah kamu tidak mengambil pelajaran?

dan ayat *Al-Anbiyaa'* ayat 30 berbunyi:

أَوَلَمْ يَرِ الَّذِينَ كَفَرُوا أَنَّ السَّمَوَاتِ وَالْأَرْضَ كَانَتَا رَتْقًا فَفَتَقْنَاهُمَا وَجَعَلْنَا مِنَ الْمَاءِ كُلَّ
شَيْءٍ حَيٍّ أَفَلَا يُؤْمِنُونَ

Terjemahnya:

Dan apakah orang-orang kafir tidak mengetahui langit dan bumi itu keduanya dahulu adalah suatu yang padu, kemudian kami pisahkan antara keduanya. Dan dari air, kami jadikan segala sesuatu yang hidup, maka mengapakah mereka tiada juga beriman?

Dari kedua ayat tersebut dapat dipahami bahwa langit dan bumi dahulunya merupakan sesuatu yang padu (satu kesatuan) yang diciptakan dalam enam masa. Apakah proses pemisahan tersebut melalui ledakan besar (*big bang*) seperti yang ilmuwan pahami dan berapa kali ledakan, apakah enam kali (enam masa) atau satu kali saja. Sedangkan dalam ayat yang lain Allah Swt. menyiratkan proses penciptaan langit dan alam semesta yang lebih luas yang diciptakan dalam dua masa, seperti dalam surat *Fushshilat* ayat 12,

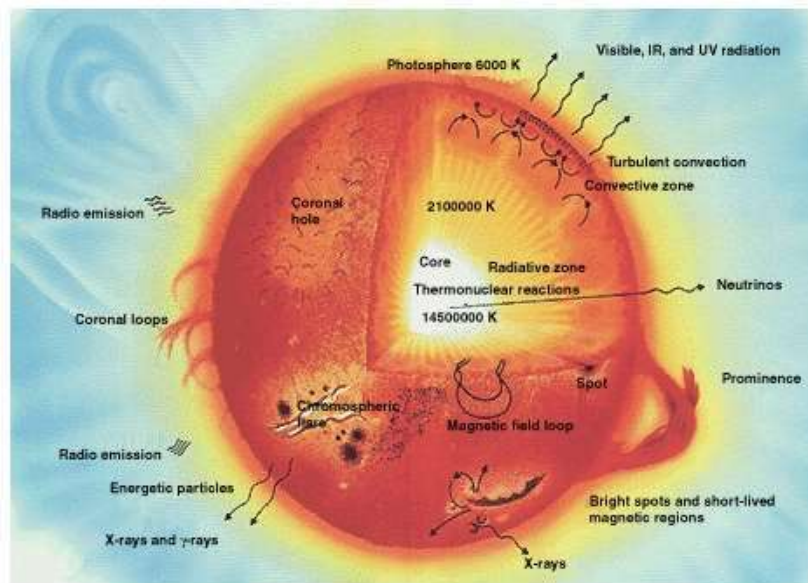
فَقَضَيْنَهُنَّ سَبْعَ سَمَوَاتٍ فِي يَوْمَيْنِ وَأَوْحَىٰ فِي كُلِّ سَمَاءٍ أَمْرَهَا ۗ وَزَيَّنَّا السَّمَاءَ الدُّنْيَا
بِمَصَٰبِيحٍ وَحِفْظٍ ۗ ذَٰلِكَ تَقْدِيرُ الْعَزِيزِ الْعَلِيمِ

Terjemahnya:

Maka Dia menjadikannya tujuh langit dalam dua masa dan Dia mewahyukan pada tiap-tiap langit urusannya. Dan Kami hiasi langit yang dekat dengan bintang-bintang yang cemerlang dan Kami memeliharanya dengan sebaik-baiknya. Demikianlah ketentuan Yang Maha Perkasa lagi Maha Mengetahui.

9.1. Struktur Bintang

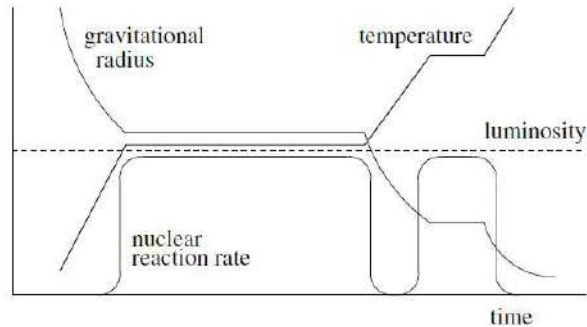
Sebuah bintang pada dasarnya merupakan medan gravitasi yang mengoleksi inti dan elektron (basdevant, *et.al.*, 2005), artinya inti atom dan elektron terperangkap dan tidak dapat meloloskan diri dari medan gravitasi bintang yang massif.



Gambar 9.1 Struktur bintang

http://en.wikipedia.org/wiki/Stellar_structure

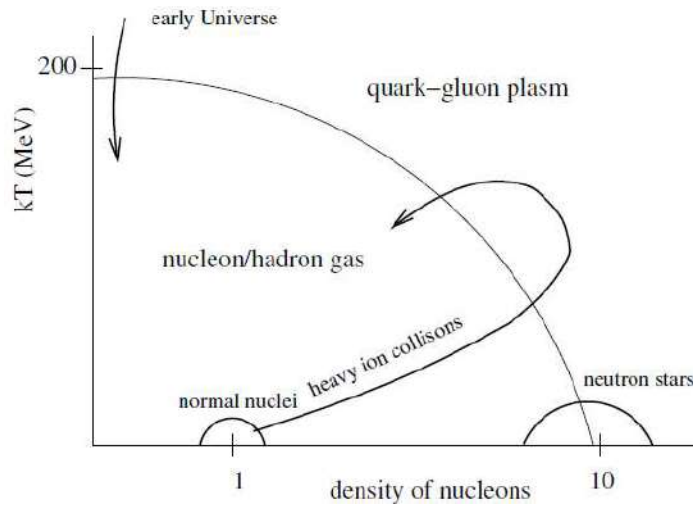
Untuk memahami struktur sebuah bintang maka perlu diketahui kerapatan $\rho(r)$, tekanan $P(r)$ dan temperatur $T(r)$ permukaan dari bintang tersebut. Pada evolusi sebuah bintang klasik, bintang mengalami kontraksi dan temperaturnya meningkat hingga terjadi fusi hydrogen (*hydrogen fusion*). Radius dan temperature akan bertahan pada nilai tertentu yang bersifat konstan hingga bahan bakarnya habis (reaksi berhenti), pada tahap ini bintang memasuki fase kontraksi berikutnya. Temperature kembali akan meningkat hingga bahan bakar berikutnya (helium) mengalami pembakaran. Selama proses ini luminositas (*luminosity*) akan bernilai konstan yang berarti bahwa *cross-section* font juga konstan.



Gambar 9.2 Ilustrasi evolusi pembentukan bintang klasik

Sumber: Basdevant, *et.al.*, 2005

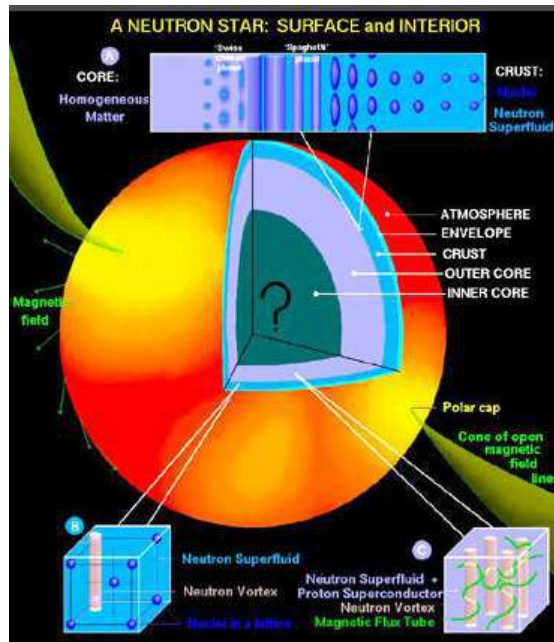
Pada bintang degenerate (*degenerate stars*) estimasi lebih diarahkan energi pada keadaan dasar (*ground-state*) dari koleksi elektron dan nukleon (proton dan neutron) yang terperangkap dalam medan gravitasi bintang. Seperti yang telah dijelaskan pada bab sebelumnya bahwa partikel-partikel dalam inti mengalami interaksi kuat (*strong forces*), maka dalam inti bintang juga mengalami interaksi yang sama.



Gambar 9.3 Diagram ekspektasi keadaan inti (*nuclear state*) sebagai fungsi temperature dan kerapatan nukleon (baryon)

Sumber: Basdevant, *et.al.*, 2005

Ekspektasi fase diagram inti meteri yang menunjukkan keadaan energi inti sebagai fungsi dari temperature dan densitas baryon (tanpa antipartikel baryon) ditunjukkan dalam gambar 9.3 pada temperature dan densitas tinggi, quark dan gluon berkelakuan sebagai partikel bebas dalam *quark-gluon plasma*. Sedangkan pada temperature dan densitas rendah, gluon dan quark menyatu membentuk hadron dan nukleon. Saat temperatur menghilang, transisi densitas nukleon menjadi 10 kali lebih besar dari inti normal, sehingga setiap nukleon menjadi sangat rapat. Bintang neutron yang hanya berukuran kira-kira 10 km diyakini mengalami transisi ini. Meski ukurannya sangat kecil (dibandingkan dengan ukuran bintang) namun massanya jauh lebih besar dari bintang biasa. Hal ini karena pada setiap bintang neutron hanya menyisakan inti atom sebagai bahan pembentuknya.



Gambar 9.4 Ilustrasi sebuah bintang neutron

<http://www.astro.umd.edu/~miller/nstar.html>

9.2. Tingkat Pembakaran inti dalam bintang

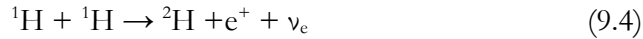
Proses pembakaran dalam inti bintang merupakan bagian yang menyebabkan bintang tersebut tetap hidup. Ketersediaan bahan bakar dan proses reaksi inti sangat menentukan umur dari suatu bintang. Bahan bakar dalam inti sebuah bintang umumnya berupa helium atau hydrogen tau keduanya. Sebuah bintang dapat berakhir (mati) menjadi bintang katai putih atau supernova. Bintang katai putih (*white dwarfs*) terjadi jika reaksi inti atau proses pembakaran dalam inti bintang berhenti, sehingga bintang mendingin. Sedangkan pada supernova, reaksi inti bintang berlangsung sangat dahsyat menyebabkan energinya yang berlebihan (jauh lebih besar dari gravitasi bintang) sehingga terjadi ledakan besar yang disebut supernova.

9.2.1. Pembakaran Hydrogen

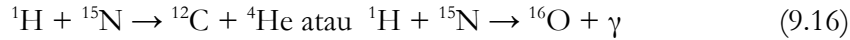
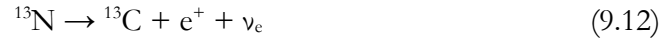
Terdapat empat prinsip reaksi menkonversi 4^1H menjadi ^4He melalui reaksi eksotermal.

- PPI, hanya menggunakan ^1H sebagai bahan utama
- PPII, menggunakan ^4He sebagai katalis
- PPIII, menggunakan ^4He sebagai katalis
- Daur CNO, menggunakan ^{12}C sebagai katalis

Pada awal mula jagat raya terbentuk hanya reaksi 1 hingga 3 (PPI, PPII, dan PPIII) yang terjadi sedangkan daur CNO berlangsung pada tahap pengembang jagat raya selanjutnya.

Reaksi rantai PPI**Reaksi rantai PPII dan PPIII**

atau

**Reaksi rantai CNO**

Catatan penting yang perlu diperhatikan dari keempat jenis reaksi berantai pembakaran hydrogen tersebut adalah bahwa kempatnya bergantung pada massa dan komposisi kima dari bintang yang bersangkutan. Bintang generasi pertama (awal terbentuk) tidak mungkin berlangsung reaksi CNO karena pada saat itu unsure karbon belum terbentuk. Pada bintang dengan komposisi yang mirip dengan matahari, daur CNO tidak dapat terjadi dalam interaksi lemah namun tetap menjadi bagian dalam reaksi karena proses penangkapan elektron dari unsure karbon. Daur CNO menjadi sangat penting untuk bintang dengan massa hydrogen yang besar karena temperature pembakaran meningkat sebagai fungsi massa. Pada bintang dengan massa kecil proses yang umum terjadi adalah reaksi rantai PPII, reaksi jenis ini berkontribusi 8-10% dalam produksi energi matahari dan 90% dari PPI, 0,02 dari PPII dan sekitar 1% dari daur CNO.

9.2.2. Pembakaran helium

Setelah inti bintang memiliki temperature yang cukup, maka tahap selanjutnya (dari pembakaran hydrogen) adalah pembakaran helium. Mekanisme proses pembakaran helium (^4He) berbeda dengan pembakaran hydrogen. Dalam pembakaran helium tidak diperlukan interaksi electroweak sebagaimana dalam proses hydrogen dan hanya menggunakan ^4He . Selain itu massa energi ^8Be sekitar 92 KeV lebih besar dari kedua massa ^4He yang meluruh dengan cepat ($T_{1/2} = 2 \times 10^{-16}$ s) dan kembali menjadi $^4\text{He}^4\text{He}$;



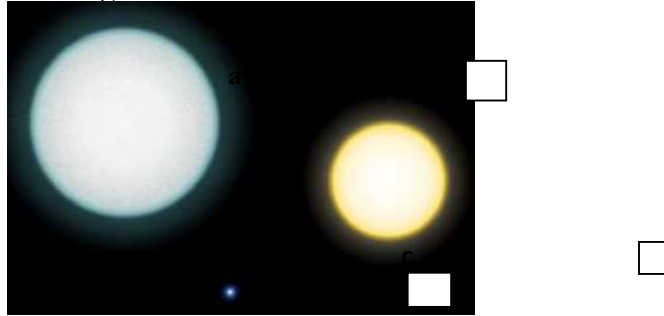
Kelebihan dari ^8Be dapat digunakan untuk memproduksi carbon, ^{12}C menurut persamaan



Proses yang terjadi umumnya peluruhan partikel alfa, α .

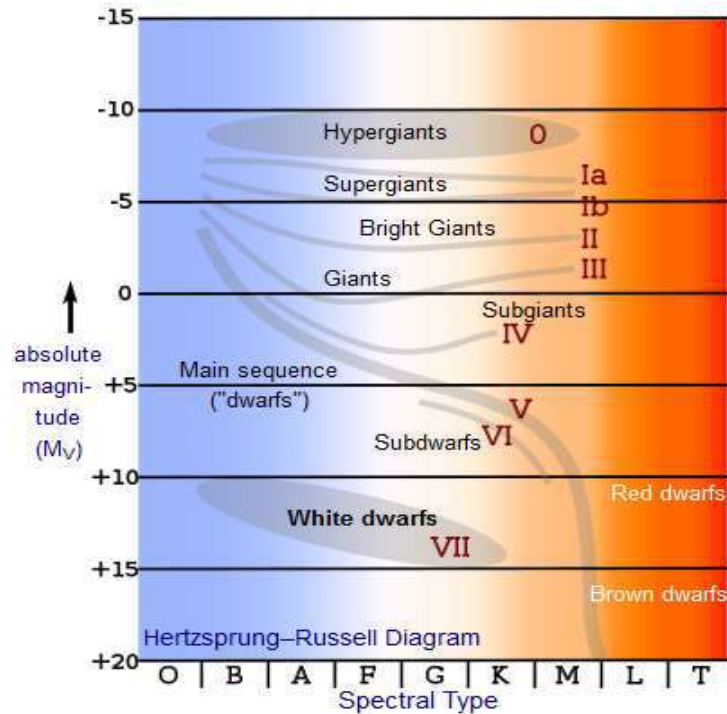
9.2.3. Bintang katai putih dan Supernova

Bintang katai putih (*white dwarfs*) seperti yang telah dijelaskan sebelumnya sebagai bintang yang meredup dan mengalami pendinginan. Sering juga disebut sebagai bintang katai degenerate (*degenerate dwarfs*) umumnya merupakan bintang dengan ukuran yang relatif kecil namun dengan kerapatan yang sangat besar. Sebagai gambaran, jika volume bintang katai putih sebesar bumi maka massanya dapat setara dengan massa matahari.



Gambar 9.5 Perbandingan ukuran bintang katai putih dengan matahari. a. Bintang katai IK-Pegasi A, b. Bintang katai IK Pegasi B dan c. Matahari

Bintang katai putih merupakan akhir evolusi dari sebuah bintang yang bermassa kecil-sedang dan sekitar 97% bintang di galaksi bimasakti (*milky way*). Saat suhunya terus turun maka pada suatu saat bintang katai putih menjadisangat dingin dan gelap, pada titik ini disebut bintang katai hitam (*cold black dwarfs*). Jenis bintang katai putih berdasarkan ukuran dan spektrumnya dapat dilihat pada gambar beriku;



Gambar 9.6 Kalsifikasi jenis bintang katai
http://en.wikipedia.org/wiki/White_dwarf

Supernova merupakan akhir dari sebuah bintang yang umumnya bermassa besar. Jika bintang katai putih meredup dan mendingin, supernova merupakan ledakan bintang yang memancarkan energi yang sangat besar. Karena bintang mengalami ledakan dahsyat maka tidak lagi tersisa sebagaimana bintang katai. Bintang yang mengalami supernova akan memancarkan cahaya yang sangat cemerlang dan dapat mencapai ratusan juta kali kecemerlangan bintang tersebut sebelum meledak. Semakin cemerlang cahaya yang dipancarkan saat bintang meledak maka semakin besar energi yang dilepaskan. Energi ini dapat menghancurkan ruang antar bintang dan menghasilkan gelombang kejut yang dapat mengubah formasi struktur materi yang berada dalam jangkauan ledakan.



Gambar 9.7 Supernova 1987A yang terjadi di Awan Magellan Besar. tanda panah di bagian kanan menunjukkan bintang sebelum meledak

Sumber: Australian Astronomical Observatory:
<http://www.aao.gov.au/images/captions/aat050.html>

Berdasarkan spektrum yang dipancarkan, supernova terdiri atas

- Supernova tipe Ia, tidak ditemukan spectrum hydrogen saat pengamatan
- Supernova Ib/c, tidak ditemukan spektrum hydrogen dan helium saat pengamatan
- Supernova II, ditemukan spektru hydrogen saat pengamatan
- Hipernova, melepaskan energi yang sangat besar saat meledak, jauh lebih besar dari supernova biasa .

Sedangkan berdasarkan energi yang dilepaskan, supernova dibedakan dalam supernova termonuklir (*thermonuclear supernovae*) dan supernova inti runtuh (*Core-collapse Supernovae*). Cirri-ciri kedua jenis supernova adalah sebagai berikut;

- Supernova termonuklir (*thermonuclear supernovae*)
 - o Umumnya berasal dari bintang yang bermassa kecil
 - o Berasal dari bintang yang telah berevolusi lanjut
 - o Bintang yang meledak merupakan anggota dari system bintang ganda
 - o Ledakan menghancurkan bintang hingga tak bersisa
 - o Energi ledakan berasal dari pembakaran karbon (C) dan oksigen (O)
- Supernova inti runtuh (*Core-collapse Supernovae*)
 - o Berasal dari bintang yang memiliki massa besar

- Berasal dari bintang yang memiliki selubung bintang yang besar dan masih membakar Hidrogen di dalamnya.
- Bintang yang meledak merupakan bintang tunggal (seperti Supernova Tipe II), dan bintang ganda (seperti supernova Tipe Ib/c)
- Ledakan bintang menghasilkan objek mampat berupa bintang neutron ataupun lubang hitam (*black hole*).
- Energi ledakan berasal dari tekanan

Akhir evolusi sebuah bintang menjadi bintang katai atau supernova dapat diprediksi dengan menggunakan limit Chandrasekhar (*Chandrasekhar limit*). Limit ini bernilai 1,44 massa matahari, artinya bintang yang memiliki massa lebih kecil dari 1,44 kali massa matahari diakhir evolusinya akan menjadi bintang katai. Sedangkan bintang yang memiliki massa lebih besar dari 1,44 massa matahari akan berakhir dengan ledakan supernova.

9.3. Kejadian Awal Alam Semesta*

Menurut model baku evolusi alam semesta yang pertama kali diajukan oleh George Gamow pada tahun 1946 (s. Bonometto, 2002; J. Rich, 2010; B.W. Carroll, 2007 dan A. Liddle, 2003), bahwa alam semesta bermula dari kejadian *ledakan dahsyat* (Big-Bang) dari suatu titik, lalu mengembang keluar, bak bola karet yang berisi cabikan-cabikan kertas yang ditiup. Ada beberapa kali ledakan dahsyat yang terjadi, model baku alam semesta tidak menjelaskannya. Memang ada model lain yang diajukan yang disebut *penciptaan yang berkeiterusan* (continuous creation) yang disarankan oleh H. Bondi, T. Gold dan F. Hoyle pada tahun 1948 (J. Rich, 2010), tetapi model yang disebut terakhir ini ternyata tidak bersetujuan dengan kenyataan empiris yang ditemukan kemudian, yang menunjukkan bahwa materi alam semesta dalam skala besar adalah bersifat seragam ke segala kedudukan dan arah, yang akan ditunjukkan bukti empirisnya kemudian. Tentu saja apa yang disebut model baku alam semesta bukannya tanpa kelemahan dari segi gagasannya, karena tidak disebutkan ada berapa kali terjadi ledakan dahsyat, maka pilihan satu-satunya tentulah jatuh pada anggapan *hanya terjadi satu kali ledakan*. Jika demikian halnya sekalipun di sebagian wilayah materi alam semesta masih tampak seragam ke segala kedudukan dan arah, tetapi tak dapat dipungkiri akan ada kawasan dari mana mula terjadi ledakan akan bersifat *hampa materi*, padahal kenyataannya tidak demikian.

Untuk menjelaskan dilema yang dikemukakan diatas, kita coba memahaminya dengan mengutipkan beberapa ayat Al Quran yang mempunyai jalinan erat dengan kejadian alam semesta sebagai berikut: *Al-Araf* ayat 54, *Al-Furqaan* ayat 25, *Assajadah* ayat 4, *Qaaf* ayat 38, dan *Yunus* ayat 3. Dari kelima ayat ini karena maknanya serupa,

Surat *Yunus* ayat 3:

إِنَّ رَبَّكُمُ اللَّهُ الَّذِي خَلَقَ السَّمَوَاتِ وَالْأَرْضَ فِي سِتَّةِ أَيَّامٍ ثُمَّ اسْتَوَىٰ عَلَى الْعَرْشِ يُدِيرُ الْأَمْرَ
مَا مِنْ شَيْءٍ إِلَّا مِنْ بَعْدِ إِذْ نَبَّهَ ذَٰلِكُمْ اللَّهُ رَبُّكُمْ فَاعْبُدُوهُ أَفَلَا تَذَكَّرُونَ

Terjemahnya:

Sesungguhnya Tuhan kamu ialah Allah Yang menciptakan langit dan bumi dalam enam masa, kemudian Dia bersemayam di atas 'Arsy untuk mengatur segala urusan. Tiada seorangpun yang akan memberi syafa'at kecuali sesudah ada izin-Nya. (Dzat) yang demikian itulah Allah, Tuhan kamu, maka sembahlah Dia. Maka apakah kamu tidak mengambil pelajaran?

Pada terjemahan diatas tidak diartikan *enam hari*, melainkan *enam masa*, karena nanti akan disebutkan pada ayat lain bahwa dalam urusan-urusan Allah, *satu hari*, boleh setara dengan *seribu tahun* yang kita hitungkan. Tak dapat disangkal lagi, pada proses kejadian alam semesta tentulah melibatkan ledakan dahsyat dengan tenaga gerak (*kinetic energy*) yang sangat besar, yang sekalipun antar materi bekerja tenaga potensial gravitasi (*gravitational potential energy*) yang kita tahu bersifat tarik-manarik, namun demikian materi alam semesta masih saja terus mengalami pengembangan hingga kini. Dengan adanya enam masa proses penciptaan alam semesta, maka setiap masa boleh dipahami sebagai bersangkutan dengan sebuah ledakan dahsyat, sedang pada ledakan dahsyat yang terakhir dapat dibayangkan berlangsung di dua kawasan yang berbeda secara bersamaan, yakni pada pusat dan bagian antara pusat dan tepi materi sisa yang terakhir, sehingga menghasilkan dua lapisan, dan ini menghasilkan menjadi tujuh lapisan yang selanjutnya kita tafsirkan sebagai tujuh petala langit. Tentu saja pandangan ini tidak dapat diuji secara empiris apa memang demikian, dan karena itu jika penulis salah tafsir itu karena kenaifannya sebagai manusia, dan kalau benar itu semata-mata sebagai petunjuk dari Allah Yang Maha Besar. Perihal mengenai tujuh petala langit yang terbentuk itu, diantara ayat Al-Quran yang menyebutkan tentang keberadaannya, yang menarik untuk dikemukakan disini ialah surat *Al-Mulk* ayat 3-4,

الَّذِي خَلَقَ سَبْعَ سَمَاوَاتٍ طِبَاقًا مَّا تَرَى فِي خَلْقِ الرَّحْمَنِ مِنْ تَفَوُّتٍ فَارْجِعِ الْبَصَرَ هَلْ تَرَى
مِنْ فُطُورٍ ﴿٦٧﴾ ثُمَّ ارْجِعِ الْبَصَرَ كَرَّتَيْنِ يَنْقَلِبْ إِلَيْكَ الْبَصَرُ حَاسِمًا وَهُوَ حَسِيرٌ

Terjemahnya;

Yang telah menciptakan tujuh langit berlapis-lapis, kamu sekali-kali tidak melihat pada ciptaan Tuhan Yang Maha Pemurah sesuatu yang tidak seimbang. Maka lihatlah berulang-ulang, adakah kamu lihat sesuatu yang tidak seimbang?[3]. Kemudian pandanglah sekali lagi niscaya penglihatanmu akan kembali kepadamu dengan tidak menemukan sesuatu cacat dan penglihatanmu itupun dalam keadaan payah [4]. (QS 67:3-4).

Selain ayat ini membenarkan adanya tujuh petala langit yang bersusun, maka yang penting lainnya digarisbawahi ialah penafsiran mengenai tidak terdapatnya suatu *cacat* pada penciptaan langit sebagai penyusun alam semesta. Untuk dapat menjelaskan maknanya, karena ini merupakan bagian ayat Al-Quran, maka penafsiran yang tepat harus pula dari ayat Al-Quran yang berhubungan dengan kejadian alam semesta. Dalam hal ini ayat Al-Quran yang dapat dipahami memberikan penjelasan mengenai ialah surat *Fush-shilat* ayat 11,

ثُمَّ اسْتَوَىٰ إِلَى السَّمَاءِ وَهِيَ دُخَانٌ فَقَالَ لَهَا وَلِلْأَرْضِ ائْتِيَا طَوْعًا أَوْ كَرْهًا قَالَتَا أَتَيْنَا طَائِعِينَ

Terjemahnya;

Kemudian Dia menuju langit dan langit itu masih merupakan asap, lalu Dia berkata kepadanya dan kepada bumi: "Datanglah kamu keduanya menurut perintah-Ku dengan suka hati atau terpaksa". Keduanya menjawab: "Kami datang dengan suka hati". (QS 41:11)

Dari segi pemahaman menurut makna fisika, diantara empat jenis interaksi fundamental materi yang telah dikenali dewasa ini: yakni interaksi nuklir lemah, interaksi nuklir kuat, interaksi elektromagnetik dan interaksi gravitasi maka setidaknya dua jenis interaksi yang terakhir belum lagi bekerja pada materi alam semesta yang masih berupa asap. Dalam hal ini keadaan materi yang masih merupakan asap, maknanya masih gelap, yakni belum lagi memancarkan radiasi gelombang

elektromagnetik yang seharusnya jika sudah terjadi niscaya terdapat riak gelombang cahaya yang menyebabkannya tidak lagi gelap. Ini bermakna materi belum lagi membawa muatan listrik, karena jika sudah ada, maka benda yang bermuatan listrik yang sedang mengalami percepatan ataupun perlambatan gerak akan selalu memancarkan gelombang elektromagnetik. Cuma perlu dingatkan kepada pembaca yang awam bahwa gelombang elektromagnetik itu sendiri netral muatan listrik, tetapi ia terbit dari benda bermuatan listrik yang sedang mengalami percepatan atau perlambatan gerak. Perihal interaksi gravitasi, karena ia bukan hanya menghasilkan interaksi dengan wujud materi yang bermassa, tetapi kepada apapun yang membawa besaran tenaga, maka seandainya sudah wujud maka tentulah ungkapan ayat tersebut tidak demikian redaksinya. Sebaliknya, materi alam semesta yang sedang masih dalam keadaan asap dititahkan untuk mengikuti perintah, yakni kepadanya akan mengalami hukum interaksi antara materi alam semesta. Satu hal yang patut dijelaskan segera bahwa diantara keempat jenis interaksi fundamental materi, interaksi elektromagnetik dan gravitasi keduanya mempunyai jangkauan yang pengaruhnya baru lenyap di takberhingga. Sebaliknya dengan interaksi nuklir kuat dan lemah, masing-masing pengaruhnya akan segera lenyap pada orde jarak 10^{-13} cm dan 10^{-16} cm, yang berarti jangkauannya sangat pendek sekali. Memang sekalipun tak ada bukti empiris tentang sudah adanya keempat jenis interaksi fundamental materi sejak awal alam semesta, namun secara umum para fisikawan menilai telah ada. Konsekuensi serius anggapan semacam ini, sekalipun interaksi gravitasi adalah yang terlemah pengaruhnya, namun pada daerah tenaga yang sangat besar, yang setara dengan jarak yang sangat pendek sekali, justru interaksi gravitasi menjadi yang terkuat. Karena sifatnya yang tarik-menarik, malahan akan menyebabkan materi alam semesta akan terperangkap untuk tidak akan dapat mengalami pengembangan sebagaimana pengembangannya yang kita dapati sekarang ini. Jadi ternyata dengan penafsiran yang kita berikan terhadap surat *Fush-Shilat* ayat 11, maka masalah diatas ini tidak lagi muncul, yang telah membuat bingung para fisikawan dunia--termasuk Einstein sewaktu masih hidup, karena tak berdaya menemukan penyelesaian masalahnya hingga kini. Seperti telah disebutkan dalam mukadimah, memang pandangan yang mengemukakan bahwa interaksi gravitasi materi belum lagi wujud dari awal terciptanya alam semesta, juga tak dapat dibuktikan secara empiris, tetapi setidaknya persoalan yang disebutkan diatas tidak lagi menjadi masalah.

Segi lain yang masih perlu diperbincangkan, adalah wujud lain di alam semesta yang menyerupai bumi dalam artian *ada air* yang merupakan materi dasar dapatnya muncul kehidupan seperti yang

disebutkan pada *Al-Anbiya* ayat 30 (lihat pendahuluan). Terhadap hal ini dengan jelas Al-Quran menjelaskan pada *At-Thalaq* ayat 12,

اللَّهُ الَّذِي خَلَقَ سَبْعَ سَمَاوَاتٍ وَمِنَ الْأَرْضِ مِثْلَهُنَّ يَتَنَزَّلُ الْأَمْرُ بَيْنَهُنَّ لِتَعْلَمُوا أَنَّ اللَّهَ عَلَىٰ كُلِّ شَيْءٍ قَدِيرٌ وَأَنَّ اللَّهَ قَدْ أَحَاطَ بِكُلِّ شَيْءٍ عِلْمًا

Terjemahnya;

Allah-lah yang menciptakan tujuh langit dan seperti itu pula bumi. Perintah Allah berlaku padanya, agar kamu mengetahui bahwasanya Allah Maha Kuasa atas segala sesuatu, dan sesungguhnya Allah, ilmunya benar-benar meliputi segala sesuatu. (QS 65:12).

Menurut keterangan yang diberikan oleh ayat ini, di setiap langit terdapat planet yang serupa dengan bumi, namun tidak dijelaskan ada berapa disetiap langit, tetapi tak diragukan lagi tentulah bumi berada pada suatu lingkup petala langit. Karena pada bumi terdapat air, maka kiranya dapat pula di deduksikan bahwa pada planet yang serupa dengan bumi di langit lain sepatutnya mempunyai air--suatu prasyarat bagi adanya kehidupan. Apakah planet yang disebutkan serupa dengan bumi juga terdapat kehidupan? Al-Quran tidak menjelaskannya, sementara hasil pengamatan astronomis juga belum ada kepastian pertanda empiris mengenai ada tidaknya kehidupan yang dimaksud. Akhirnya akan dipertanyakan, apakah pengertian langit menurut Al-Quran mempunyai padanan yang diperoleh dari kenyataan empiris.

Pada skala yang lebih besar daripada bintang, yaitu benda langit yang memancarkan sendiri cahaya seperti matahari, kita menemukan *galaksi* (galaxy) yang merupakan kumpulan bintang yang pada bagian tengahnya berbentuk cakram dengan lengan-lengan yang membentang secara berlawanan pada kedua sisi cakram, dengan jumlah bintang penyusun diperkirakan sekitar 5 milyar serta diameter dalam orde 10^{23} cm. Tetapi ternyata galaksi masih kecil, karena diantara galaksi-galaksi yang sudah dikenali masih saling menyusun bak buah yang bertandan, sehingga disebut sebagai *tandan galaksi* (cluster of galaxy). Bimasakti (*milky way*) sebagai galaksi dimana matahari terdapat ternyata terletak pada tandan yang disebut *local group* yang berisi 19 galaksi. Bahkan *tandan Virgo* mempunyai lebih seribu anggota galaksi yang hanya dapat diimbangi oleh *tanda Coma Berenices* yang juga mempunyai anggota lebih seribu galaksi. Apakah tandan galaksi boleh ditandai sebagai langit? Ternyata ada lebih sepuluh tandan galaksi yang telah dikenali dan bukannya tujuh, sehingga tentu saja tandan galaksi tak dapat

diterima sebagai mewakili langit. Memang sejumlah astronom mulai berteori bahwa tandan-tandan galaksi itu masih saling menyusun diri menjadi *adi-tandan* (supercluster). Ada berapa *adi-tandan* galaksi, belum lagi diketahui, karena walau bagaimanapun, baik *teleskop optis* maupun *teleskop radio*, masih tetap terbatas jangkauannya. Dengan demikian dari segi astronomi hakikat langit belum lagi dapat diberi jati-diri.

9.4. Kenyataan Masa Kini Alam Semesta*

Menurut hasil pengamatan astronomis, hingga jarak 10^8 tahun cahaya yang setara dengan orde 10^{26} cm atau lebih besar lagi, alam semesta ternyata sudah bersifat *homogen* dan *isotrop*; yakni serba sama terhadap kedudukan dan arah. Dalam hubungan ini adalah Edwin Powell Hubble pada tahun 1929 menemukan bahwa galaksi-galaksi bergerak menjauh dengan kecepatan berbanding linear terhadap jaraknya dari pengamatan di bumi. Ini bermakna pada kedudukan yang sama jaraknya, kecepatan menjauh galaksi adalah sama atau dengan kata lain materi alam semesta dalam skala besar adalah homogen. Berdasarkan temuan Hubble tersebut, juga dideduksikan bahwa umur alam semesta telah berlangsung kurang lebih 12,5 milyar tahun. Selain penemuan Hubble tersebut, yang didasarkan pada hasil pengamatan berdasarkan teleskop optis, A.A. Pezias dan R.W. Wilson dengan menggunakan teleskop radio secara tidak terduga pada tahun 1965 menemukan radiasi gelombang elektromagnetik latar belakang dengan panjang gelombang 7 cm yang setara dengan suhu $3,5$ °K atau dinyatakan dalam skala suhu Celcius adalah sekitar $-269,5$ °C. Yang menakjubkan, diarahkan kemana saja teleskop radio itu, selalu saja memberikan panjang gelombang yang sama. Setelah kejadian ini dilaporkan, maka semua teleskop radio ditempat lain juga menemukan kejadian yang sama. Gejala ini mengungkapkan bahwa suhu rata-rata alam semesta kini adalah $3,5$ °K, dan ini sekaligus menunjukkan sifat isotrop materi alam semesta dalam skala besar. Tentu saja dalam skala kecil materi alam semesta yang kita jumpai seperti bumi, matahari--bahkan galaksi adalah tidak homogen dan isotrop.

Berikutnya, tanpa ada maksud mencocok-cocokkan, melainkan justru menyesalkan bahwa sekian lama penulis pernah menjumpai suatu tafsir Al-Quran berbahasa Indonesia cetakan lama, justru salah memahami surat *Adzariyaat* ayat 47, tetapi syukurilah sekarang sudah ditepatkan sesuai dengan kenyataan empiris mengenai proses pengembangan alam semesta.

وَالسَّمَاءَ بَنَيْنَاهَا بِأَيْدٍ وَإِنَّا لَمُوسِعُونَ

Terjemahnya;

Dan langit kami bangun dengan kekuasaan (Kami) dan sesungguhnya Kami benar-benar 'meluaskannya' (mengembangkannya). (QS 51:47).

Makna yang pernah disalah pahami itu adalah yang diberi tanda petik, yang maknanya sekarang tentulah sudah sejalan dengan *mengembangkannya*. Selanjutnya, akan dipertanyakan, bagaimana nasib alam semesta menurut kosmologi dan Al-Quran? Dalam hubungan ini, tanpa perlu menggunakan teori kenisbian umum Einstein, kalau ungkapan kecepatan Hubble diterapkan pada mekanika klasik yang lumrah dan menyamakan antara tenaga gerak dan tenaga potensial gravitasi serta memperlakukan geometri alam semesta sebagai bola, maka setelah nilai parameter Hubble dimasukkan, maka akan diperoleh massa jenis genting alam semesta; yakni; *massa jenis genting* (critical density) alam semesta sekarang adalah sekitar 10^{-29} gram/cm³. Pertanyaan berikutnya, apa yang akan terjadi jika massa jenis alam semesta *lebih besar, tepat sama* atau *lebih kecil* daripada massa jenis genting yang diberikan ini. Jika lebih besar, maka alam semesta akan menyusut kembali ke asalnya dari mana dahulu ia datang. Jika tepat sama, maka pada suatu ketika akan berhenti berkembang, sehingga semua pergerakan materi alam semesta akan ikut juga berhenti. Adapun jika ia lebih kecil, maka alam semesta akan terus berkembang lalu akan lenyap di takberhingga. Dapat dimengerti, dua kemungkinan yang disebutkan terakhir jelas merupakan masa depan yang suram bagi semua makhluk. Hanya bila alam semesta mengikuti kemungkinan pertama, maka alam semesta boleh mengalami proses daur—ulang, sehingga masih ada harapan masa depan! Persoalannya sekarang, bagaimana perkiraan massa jenis alam semesta sekarang? Jika materi alam semesta hanya diandalkan pada benda-benda yang memancarkan pendaran cahaya seperti galaksi yang daripadanya dapat dikalibrasikan ke massa jenis, maka nilai perbandingannya hanya berkisar 2×10^{-31} gram/cm³—sangat kecil bila dibandingkan massa jenis genting alam semesta dengan faktor 50 kali. Akan tetapi secara asasi, alam semesta tak akan dapat mengembang seperti keadaannya sekarang, jika massa jenis alam semesta tidak selalu menghampiri sama dengan massa jenis genting dari dulu hingga masa kini. Oleh karena itu fisikawan teoretis yang berkecimpung dalam kajian fisika zarah elementer dan medan percaya bahwa sebagian besar materi alam semesta tersembunyi dalam bentuk apa yang disebut *materi kelam* (dark matter). Di antara materi kelam itu yang paling mungkin adalah *neutrino* (zarah sejenis elektron, tetapi netral muatan listrik), yang sekarang telah diketahui mempunyai massa yang kecil sekali.

Sejalan dengan keadaan yang tidak jelas ini, Al-Quran Tampaknya telah mendahului memberikan jawaban terhadap

persoalan yang disebutkan sebagaimana terungkap dari surat *Fathir* ayat 41,

إِنَّ اللَّهَ يُمْسِكُ السَّمَوَاتِ وَالْأَرْضَ أَنْ تَزُولَا وَلَئِنْ زَالَتَا إِنْ أَمْسَكْتُهُمَا مِنْ أَحَدٍ مِنْ بَعْدِهِ
إِنَّهُ كَانَ حَلِيمًا غَفُورًا

Terjemahnya;

Sesungguhnya Allah menahan langit dan bumi supaya jangan lenyap; dan sungguh jika keduanya akan lenyap tidak ada seorangpun yang dapat menahan keduanya selain Allah. Sesungguhnya Dia adalah Maha Penyantun lagi Maha Pengampun. (QS 35:41).

Dengan keterangan ayat ini, kiranya dapat dipahami bahwa bukanlah suatu hal kebetulan jika massa jenis rata-rata alam semesta tidak akan mudah diketahui dengan tepat, karena jika demikian maka manusia dapat mengetahui kapan alam semesta akan mulai didaur-ulang; yakni setara dengan keadaan akan musnahnya semua makhluk hidup melalui proses daur-ulang, Allah menjelaskan dalam Al-Quran pada surat *Ibrahim* ayat 48,

يَوْمَ تُبَدَّلُ الْأَرْضُ غَيْرَ الْأَرْضِ وَالسَّمَوَاتُ^ط وَبَرَزُوا لِلَّهِ الْوَاحِدِ الْقَهَّارِ

Terjemahnya;

(Yaitu) pada hari (ketika) bumi diganti dengan bumi yang lain dan (demikian pula) langit, dan mereka semuanya (di padang Mahsyar) berkumpul menghadap ke hadirat Allah yang Maha Esa lagi Maha Perkasa. (QS 14: 48).

Berdasarkan terjemahan ayat ini, karena bumi dan langit disebutkan nantinya akan menjadi lain, maka bermakna apa yang kita dapati sekarang betul-betul akan didaur- ulang, dan ini dipahami dapat terjadi jika alam semesta mengalami penyusutan ke kedudukan dari mana dahulu muncul dari proses ledakan dahsyat pada saat awal terciptanya.

* *Tulisan pada bagian kosmologi (9.3 dan 9.4) sebagian besar di sadur dari jurnal “TEKNOSAINS” edisi I, Volume I, 2007, yang ditulis oleh penulis bersama dengan seorang fisikawan teori fisika partikel bapak Dr. Abdullah Renreng.*

Latihan

1. Apa yang dimaksud dengan astrofisika dan kosmologi?
2. Apa peranan fisika nuklir dalam bidang astrofisika dan kosmologi?
3. Sebutkan bahan bakar yang umum dijumpai dalam reaksi inti bintang
4. Apa yang dimaksud dengan bintang neutrino.

Rangkuman

1. Bahan bakar dalam reaksi inti bintang umumnya berupa hydrogen dan helium.
2. Bintang katai putih merupakan bintang yang kehabisan bahan bakarnya dan mengalami pendinginan.
3. Supernova merupakan bintang yang mengalami ledakan dahsyat diakhir evolusinya.
4. Proses penciptaan langit dan bumi telah dijelaskan dengan baik dalam ayat-ayat Alqur'an dan sebagiannya telah dapat dibuktikan dengan teori ilmu pengetahuan sains(kosmologi).

Tes Formatif

1. Jelaskan apa yang dimaksud dengan bintang katai putih
2. Jelaskan apa yang dimaksud dengan supernova.
3. Sebutkan beberapa jenis bintang katai.
4. Evolusi akhir dari sebuah bintang dapat ditentukan apakah akan menjadi bintang katai atau supernova dengan menggunakan limi Chandrasekhar. Jelaskan.
5. Dengan menggunakan limit Chadrasekhar, bagaimana akhir evolusi dari matahari.
6. Uraikan proses terjadinya sebuah bintang katai dan supernova.
7. Sebutkan jenis supernova berdasarkan spectrum dan energinya.
8. Bintang neutrino merupakan bintang yang memiliki ukuran sangat kecil tetapi memiliki massa yang paling besar. Berikan penjelasan.
9. Saat sebuah supernova meledak hebat sehingga menghasilkan objek yang mampat dapat bertransformasi menjadi lubang hitam. Berikan penjelasan.

DAFTAR PUSTAKA

- Abdullah Renreng dan Iswadi, Jurnal TEKNOSAINS Vol.1 Edisi 1, 2008, Fak. SAINS dan Teknologi UIN Alauddin Makassar, 2008.
- A. Das dan T. Ferbel, *Introduction to Nuclear and Particle Physics Second Edition*, World Scientific Publishing Co, Pte. Ltd., USA and Singapore, 2005.
- A. Pais, *Inward Bound*, Oxford University Press, Oxford, 1986.
- A. Purwanto, *Ayat-ayat Semesta; Sisi-sisi AlQur'an yang Terlupakan*, Mizan, Bandung, 2008.
- Andrew Liddle, *An Introduction To Modern Cosmology Second Edition*. John Wiley & Sons, USA, 2003.
- Arthur Beiser, *Konsep Fisika Modern Edisi keempat*, Terjemahan The How Liong, Ph.D. Erlangga, Jakarta, 1992.
- Bradley W. Carrol dan Dale A. Ostlie, *An Introduction to Modern Astrophysics; Second Edition*, Pearson, Addison Wiley, USA, 2007.
- Carlo M. Becchi dan M. D'elia, *Introduction To The Basic Concept Of Modern Physics*, Springer, Prancis, 2007.
- Cherry, S.R., Phelps, M.E., dan Sorenson, J.A., *Physics in Nuclear Medicine*, Saunders, Elsevier, Pennsylvania, 2003.
- E. Segre, *From S-ray to Quarks*, Freeman, San Francisco, 1980.
- Edward Pochin, *Nuclear Radiation : Risks and Benefits*, Oxford Science Publication, 1983.
- Harald A. Enge. *Intorductio to Nuclear Physics*. Addison-Wiley. 1983. USA
- http://en.wikipedia.org/wiki/Chernobyl_disaster
- <http://whs.wsd.wednet.edu/faculty/busse/mathhomepage/busseclasses/radiationphysics/lecturenotes/chapter12/chapter12.html>
- <http://www.iaea.org/nuclearenergy/nuclearknowledge/>
- <http://www.world-nuclear.org/info/inf31.html>
- <http://www.world-nuclear-news.org/>
- J. l. Basdevant, J. Rich dan M. Spiro, *Fundamentals In Nuclear Physics From Nuclear Structure to Cosmology*, Springer, Prancis, 2005.
- J. L. Basdevant, J. Rich and M. Spiro. *Fundamentals in Nuclear Physics: from Nuclear Structure to Cosmology*. Springer. France. 2005

- J.E. Coggle, *Biological Effects of Radiation*, 1983.
- J.W. Negele, Erich Vogt, Matthias Burkardt dan James J. Kelly, *Advances In Nuclear Physics*, Kluwer Academic Publishers, USA, 2002.
- James E. Turner; *Atoms, Radiation, and Radiation Protection*, John Wiley, New York, 1995.
- James Rich , *Fundamentals of Cosmology, Seond Edition*, Springer, Prancis, 2010.
- John Gribbin, *Essential Science, Fisika Kuantum*, Alih Bahasa: Mirza Satriawan, Ph.D., Erlangga, Jakarta, 2003.
- Kenneth Krane, *Fisika Modern*. Terjemahan Hans J Wolspakrik, UI Press, Jakarta, 1992.
- Khan F.M., *Physics of Radiation Therapy. Third edition*, Lippincott Williams & Wilkins, USA, 2003.
- Lise Meitner and O.R. Frsch, *Nature*. 143, 239, 1939
- Louis Kervran , *Biological Transmutations and Modern Physics*, Maloine S.A. Publisher, Paris, 1982.
- Mayles, P, Nahum, A dan Rosenwald, J.C., *Handbook of Radiotherapy Physics: Theory and Practice*, Taylor & Francis, London, 2007.
- Neilashby dan Stanley C . Miller, *Principles Of Modern Physics*, Holden-Day, Inc., USA, 1970.
- O.R. Pols, *Stellar Structure, and evolution*. Ultrech 2009.
- R. E. Taylor, *Radiocarbon Dating: An Archaeological Perspective*, Academic Press, Orlando, 1987.
- Raymond a. Serway, Clement J. Moses dan Curt A. Moyer , *Modern Physics; Third Edition*, Brooks/Cole—Thomson Learning, USA, 2005.
- Ronald Gautreau dan William Savin, *Schaum's Outlines; Fisika Modern. Edisi Kedua*, Erlangga, Jakarta, 2006.
- SAFETY SERIES No. 75-INSAG-7 INSAG-7, *The Chernobyl Accident: Updating Of Insag-1 A Report By The International Nuclear Safety Advisory Group*, INTERNATIONAL ATOMIC ENERGY AGENCY, VIENNA, 1992

- Stephen M. Goldberg dan Robert Rosner , *Nuclear Reactors: Generation to Generation*, The American Academy of Arts and Sciences All rights reserved, USA, 2011.
- Steven Pollock, *Particle Physics for Non-Physicists— A Tour of the Microcosmos Part I*. THE TEACHING COMPANY Limited Partnership, USA, 2003.
- U.S. Department of Energy, *DOE Fundamentals Handbook Nuclear Physics and Reactor Theory*, U.S. Department of Energy, Washington D.C, 1993.
- Wikibooks contributors, *Basic Physics of Nuclear Medicine*. http://en.wikibooks.org/wiki/Basic_Physics_of_Nuclear_Medicine, 2006.
- Wolfgang K. H. Panofsky , *The Evolution of Particle Accelerators and Colliders*, USA, 1997.
- www.ans.org/pi/ps/docs/ps74.pdf
- www.nuc.berkeley.edu/designs/ifr
- Yung-Kuo Lim , *Problems and Solutions on Atomic, Nuclear and Particle Physics*, World Scientific, Singapore, 2000.

FAKTOR KONVERSI

$$1 \text{ eV} = 1,602 \times 10^{-19} \text{ J}$$

$$1 \text{ cal} = 4,184 \text{ J}$$

$$1 \text{ u} = 931,5 \text{ MeV}/c^2$$

$$1 \text{ MeV}/c^2 = 1,073 \times 10^{-3} \text{ u} = 1,783 \times 10^{-30} \text{ kg}$$

$$1 \text{ \AA} = 10^{-10} \text{ m} = 0,1 \text{ nm}$$

$$1 \text{ fm} = 10^{-15} \text{ m}$$

$$1 \text{ in} = 2,540 \text{ cm}$$

$$1 \text{ mi} = 1609 \text{ m}$$

$$hc = 1,240 \times 10^3 \text{ eV}\cdot\text{nm} = 1,986 \times 10^{-25} \text{ J}\cdot\text{m}$$

$$\hbar c = 1,973 \times 10^2 \text{ eV}\cdot\text{nm} = 3,162 \times 10^{-26} \text{ J}\cdot\text{m}$$

$$k_B T = 0,02525 \text{ eV} \text{ pada } T = 300 \text{ K}$$

$$ke^2 = e^2/4\pi\epsilon_0 = 1,440 \text{ eV}\cdot\text{nm}$$

$$1 \text{ barn} = 10^{-28} \text{ m}^2$$

$$1 \text{ curie} = 3,7 \times 10^{10} \text{ decays/s}$$

$$1 \text{ MeV}/c = 5,344 \times 10^{-22} \text{ kg}\cdot\text{m/s}$$

KONSTANTA DASAR

KUANTITAS	SIMBOL	NILAI
Satuan massa atom	u	$1,6605 \times 10^{-27} \text{ kg}$ $931,49 \text{ MeV}/c^2$
Bilangan Avogadro	N_A	$6,022 \times 10^{23}$ partikel/mole
Magneton Bohr	$\mu_B = \frac{e\hbar}{2m_e}$	$9,274 \times 10^{-24} \text{ J/T}$ $5,788 \times 10^{-5} \text{ eV/T}$
Radius Bohr	$a_0 = \frac{\hbar^2}{m_e e^2 k}$	$0,5292 \times 10^{-10} \text{ m}$
Konstanta Boltzmann	k_B	$1,381 \times 10^{-23} \text{ J/K}$ $8,617 \times 10^{-5} \text{ eV/K}$
Konstanta Coloumb	$k = 1/4\pi\epsilon_0$	$8,988 \times 10^9 \text{ N}\cdot\text{m}^2/\text{C}^2$
Muatan elektron	e	$1,602 \times 10^{-19} \text{ C}$
Massa elektron	m_e	$9,109 \times 10^{-31} \text{ kg}$ $5,486 \times 10^{-4} \text{ u}$ $0,511 \text{ MeV}/c^2$
Konstanta Gravitasi	G	$6,673 \times 10^{-11} \text{ N m}^2/\text{kg}^2$
Energi Hidrogen pada keadaan dasar	$E_0 = \frac{m_e e^4 k^2}{2\hbar^2}$	$-13,61 \text{ eV}$

Massa neutron	m_n	1,675 x 10 ⁻²⁷ kg 1,009 u 939,6 MeV/c ²
Magneton nuklir	$\mu_n = \frac{e\hbar}{2m_p}$	5,051 x 10 ⁻²⁷ J/T 3,152 x 10 ⁻⁴ eV/T
Permiabilitas ruang hampa	μ_0	4 π x 10 ⁻⁷ N/A ²
Permitivitas ruang hampa	ϵ_0	8,854 x 10 ⁻¹² C ² / N m ²
Konstanta Planck	h $\hbar = h/2\pi$	6,626 x 10 ⁻³⁴ J,s 4,136 x 10 ⁻¹³ eV,s 1,055 x 10 ⁻³⁴ J,s 6,582 x 10 ⁻¹⁶ eV,s
Massa Proton	m_p	1,673 x 10 ⁻²⁷ kg 1,007 u 938,3 MeV/c ²
Konstanta Rydberg	$R = \frac{m_e e^4 k^2}{4\pi c \hbar^3}$	1,097 x 10 ⁷ m ⁻¹
Kecepatan cahaya dalam ruang hampa	c	2,998 x 10 ⁸ m/s
Konstanta Stefan-Boltzmann	σ	5,6705 x 10 ⁻⁸ W/m ² K ⁴

TABEL MASSA ATOM

Nomor Atom (Z)	Elemen (Unsur)	Simbol	Nomor Massa (A)	Satuan Massa Atom (u)	Waktu Paruh ($T_{1/2}$)
0	Neutron	n	1	1,008665	10,6 min
1	Hydrogen	H	1	1,007825	
			2	2,014102	
			3	3,016049	12,33 thn
2	Helium	He	3	3,016029	
			4	4,002603	
3	Lithium	Li	6	6,015122	
			7	7,016004	
4	Beryllium	Be	7	7,016929	53,3 hari
			8	8,005305	$6,7 \times 10^{-17}$ s
			9	9,012182	
5	Boron	B	10	10,012937	
			11	11,009306	
6	Carbon	C	11	11,011433	20,4 min
			12	12,000000	
			13	13,003355	
			14	14,003242	5730 thn
7	Nitrogen	N	13	13,005739	9,96 min
			14	14,003074	
			15	15,000109	
8	Oxygen	O	15	15,003066	122 s
			16	15,994915	
			18	17,999160	
9	Fluorine	F	19	18,998403	
10	Neon	Ne	20	19,992440	
			22	21,991386	
11	Sodium	Na	22	21,994437	2,602 thn
			23	22,989770	
			24	23,990964	
12	Magnesium	Mg	24	23,985042	15,0 jam
13	Aluminum	Al	27	26,981538	
14	Silicon	Si	28	27,976926	2,62 jam
			31	30,975363	
15	Phosphorus	P	31	30,973761	
			32	31,973907	14,28 hari

16	Sulfur	S	32	31,972071	87,4 hari
			35	34,969032	
17	Chlorine	Cl	35	34,968853	
			37	36,965903	
18	Argon	Ag	40	39,962383	
19	Potassium	K	39	38,963707	
			40	39,963999	1,28 x 10 ⁹ thn
20	Calcium	C _a	40	39,962591	
21	Scandium	Sc	45	44,955910	
22	Titanium	Ti	48	47,947947	
23	Vanadium	V	51	50,943964	
24	Chromium	Cr	52	51,940512	
25	Manganese	Mn	55	54,938049	
26	Besi	Fe	56	55,934942	
27	Cobalt	Co	59	58,933200	
			60	59,933822	5,271 thn
28	Nickel	Ni	58	57,935348	
			60	59,930790	
			64	63,927969	
29	Tembaga	Cu	63	62,929601	
			64	63,929766	12,7 jam
			65	64,927794	
30	Seng	Zn	64	63,929146	
			66	65,926036	
31	Gallium	Ga	69	68,925581	
32	Germanium	Ge	72	71,922076	
			74	73,921178	
33	Arsenic	As	75	74,921597	
34	Selenium	Se	80	79,916522	
35	Bromine	Br	79	78,918338	
36	Krypton	Kr	84	83,911508	3,2 min
			89	88,917563	
37	Rubidium	Rb	85	84,911792	
38	Strontium	Sr	86	85,909265	
			88	87,905617	28,8 thn
			90	89,907738	
39	Yttrium	Y	89	88,905849	
40	Zirconium	Zr	90	89,904702	
41	Niobium	Nb	93	92,906376	

42	Molybdenum	Mo	98	97,905407	
43	Technetium	Te	97	96,906364	$2,6 \times 10^6$ thn
			98	97,907215	$4,2 \times 10^6$ thn
44	Ruthenium	Ru	102	101,904349	
45	Rhodium	Rh	103	102,905504	
46	Palladium	Pd	106	105,903484	
47	Perak	Ag	107	106,905093	
			109	108,904756	
48	Cadmium	Cd	114	113,903359	
49	Indium	Un	115	114,903879	$5,1 \times 10^{14}$ thn
50	Tin	Sn	120	119,902199	
51	Antimony	Sb	121	120,903822	
52	Tellurium	Te	130	129,906223	2×10^{21} thn
53	Iodine	I	127	126,904468	8,04 hari
			131	130,906118	
54	Xenon	Xe	132	131,904155	
			136	135,907220	
55	Cesium	Cs	133	132,905447	
56	Barium	Ba	137	136,905822	
			138	137,905242	
			144	143,922845	11,9 s
57	Lanthanum	La	139	138,906349	
58	Cerium	Ce	140	139,905435	
59	Praseodymium	Pr	141	140,907648	
60	Neodymium	Nd	142	141,907719	
61	Promethium	Pm	145	144,912743	17,7 thn
			146	145,914708	5,53 thn
62	Samarium	Sm	152	151,919729	
63	Europium	Eu	153	152,921227	
64	Gadolinium	Gd	158	157,924101	
65	Terbium	Tb	159	158,925343	
66	Dysprosium	Dy	164	163,929171	
67	Holmium	Ho	165	164,930319	
68	Erbium	Er	166	165,930290	
69	Thulium	Tm	169	168,934211	
70	Ytterbium	Yb	174	173,938858	
71	Lutecium	Lu	175	174,940768	
72	Hafnium	Hf	180	179,946549	
73	Tantalum	Ta	181	180,947996	

74	Tungsten (Wolfram)	W	184	183,950932	
75	Rhenium	Re	187	186,955750	4×10^{10} thn
76	Osmium	Os	191	190,960928	15,4 hari
			192	191,961479	
77	Iridium	Ir	191	190,960591	
			193	192,962923	
78	Platinum	Pt	195	194,964774	
79	Emas	Au	197	196,966551	
80	Mercury	Hg	202	201,970625	
81	Thallium	Tl	205	204,974412	
82	Tembaga (Lead)	Pb	204	203,973028	51,9 jam
			206	205,974449	$1,4 \times 10^{17}$ thn
			207	206,975880	
			208	207,976636	22,3 thn
			210	209,984163	36,1 min
			211	210,988735	
			212	211,991871	10,64 jam
			214	213,999798	26,8 min
83	Bismuth	Bi	209	208,980384	
			211	210,987258	2,15 min
84	Polonium	Po	207	206,981570	5,8 jam
			208	207,981222	2,9 jam
			209	208,982404	102 jam
			210	209,982848	138,38 hari
			214	213,995176	164 μ s
			218	218,008966	3,11 min
85	Astatine	At	210	209,987131	8,1 jam
			211	210,987470	7,21 jam
86	Radon	Rn	211	210,990575	14,6 jam
			220	220,011368	55,6 s
			222	222,017570	3,8235 hari
87	Francium	Fr	223	223,019731	22,0 min
88	Radium	Ra	223	223,018501	11,43 hari
			224	224,020186	3,66 hari
			225	225,023604	14,8 hari
			226	226,025402	$1,599 \times 10^3$
			228	228,031064	5,75 thn
89	Actinium	Ac	227	227,027747	21,773 thn

90	Thorium	Th	228	228,028715	1,91 thn
			230	230,033128	$7,54 \times 10^4$ thn
			232	232,038051	$1,40 \times 10^{10}$ thn
91	Protactinium	Pa	231	231,035880	$3,25 \times 10^4$ thn
			233	233,040242	27,0 hari
92	Uranium	U	131	231,036264	4,2 hari
			232	232,037129	68,9 thn
			233	233,039628	$1,592 \times 10^5$ thn
			234	234,040947	$2,45 \times 10^5$ thn
			235	235,043924	$7,038 \times 10^8$ thn
			236	236,045563	$2,342 \times 10^7$ thn
			238	238,050785	$4,468 \times 10^9$ thn
			239	239,054289	23,5 min
93	Neptunium	Np	237	237,048168	$2,14 \times 10^6$ thn
			239	239,052933	2,36 hari
94	Plutonium	Pu	2239	239,052158	$2,41 \times 10^4$ thn
			242	242,058737	$3,75 \times 10^5$ thn
			244	244,064198	$8,00 \times 10^7$ thn
95	Americium	Am	241	241,056824	432,7 thn
			243	243,061372	$7,37 \times 10^3$ thn
96	Curium	Cm	243	243,0614	29,1 thn
			244	244,0627	18,1 thn
			245	245,0655	$8,48 \times 10^3$ thn
			246	246,0672	$4,76 \times 10^3$ thn
			247	247,070346	$15,6 \times 10^6$ thn
			248	248,072343	$3,48 \times 10^5$ thn
97	Berkelium	Bk	247	247,070298	$1,4 \times 10^3$ thn
			248	248,073107	9 thn
			249	249,0750	$3,26 \times 10^2$ thn
98	Californium	Cf	249	249,074845	351 thn
			251	251,079579	$9,0 \times 10^2$ thn
99	Einsteinium	Es	252	252,082945	472 hari
			254	254,088019	276 hari
100	Fermium	Fm	253	253,085173	3,0 hari
			257	257,095099	100 hari
101	Mendelevium	Md	258	258,098572	51,5 hari
			260	260,1037	27,8 hari
102	Nobelium	No	255	255,093258	3,1 min
			259	259,100932	58 min

103	Lawrencium	Lr	260	260,105314	180 s
104	Rutherfordium	Rf	261	261,108685	65 s
105	Dubnium	Db	262	262,113763	34 s
106	Seaborgium	Sg	266	266,121955	~21 s
107	Bohrium	Bh	262	262,123028	102 ms
			264	264,124746	0,44 s
108	Hassium	Hs	269	269,134086	9,0 s
			277		16,5 min
109	Meitnerium	Mt	266	266,137950	0,8 ms
			268	268,138809	70 ms
110	Darmstadtium	Ds	171	271,146081	1,1 ms
111	Unununium‡	Uuu	272	272,1535	$1,5 \times 10^{-3}$ s
112	Ununbium‡	Uub	285		15,4 min
114	Ununquadium‡	Uuq	289		30,4 s
116	Ununhexium‡	Uuh	289		$0,60 \times 10^{-3}$ s

‡ Elemen (unsur) ini belum diberi nama oleh **IUPAC** (*The International Union of Pure and Applied Chemistry*).

TABEL APLIKASI PEMBANGKIT TENAGA NUKLIR TERBARU DI USA*

Company	Design	Site under Construction	Existing Unit(s)	Existing Plant Design	Operating Plant Design ¹⁵	State	Status
Applications accepted and docketed							
Ameren UE	US-EPR	Callaway (1 unit)	1 Operating	PWR	Westinghouse, 4 loop, 1,235 MWe	MO	Vendor change to AREVA from Westinghouse for new unit. The company suspended its plan to build a new reactor on April 23, 2009. The NRC suspended review of the combined operating license in June 2009.
Detroit Edison Co.	ESBWR	Enrico Fermi (1 unit)	1 Operating	BWR	GE, Type 4, 1,039 Mwe	MI	The only ESBWR application currently open
Dominion Resources Inc.	APWR	North Anna (1 unit)	2 Operating	PWR	Westinghouse, 3 loop, 925 MWe and 917Mwe	VA	Originally chose the ESBWR design. On May 7, 2010, Dominion said that it had selected Mitsubishi's US-APWR design and will decide over the next year whether to build the 1,700 MW APWR unit.
Duke Energy Corp.	AP-1000	William States Lee III Nuclear Station (2 units)	Greenfield ¹⁶	NA		SC	
Entergy Corp.	ESBWR	River Bend (1 unit)	1 Operating	BWR	GE, Type 6, 936 Mwe	LA	On Jan. 9, 2009, Entergy requested the NRC to suspend the review of its combined operating license because the company is considering alternate reactor technologies.
Florida Power & Light Co.	AP-1000	Turkey Point (2 units)	2 Operating	PWR	Westinghouse, 3 loop, 693 MWe each	FL	New units delayed from 2018–2020 to 2023. Uprating existing nuclear units
Luminant Power	US-APWR	Comanche Peak (2 units)	2 Operating	PWR	Westinghouse, 4 loop, 1,150 MWe Each	TX	PWR technology. Vendor changed from Westinghouse to MHI.

NRG Energy Inc.	ABWR	South Texas Project (STP) (2 units)	2 Operating	PWR	Westinghouse, 4 loop, 1,168 MWe Each	TX	Existing site has a PWR. The new unit is an ABWR
NuStart Energy ¹⁷ (Tennessee Valley Authority (TVA))	AP-1000	Bellefonte (2 units)	Greenfield	NA		AL	TVA staff has said that completing the 1,260 MW Bellefonte Unit 1 is preferable to building an AP-1000 unit. When stopped in 1988, Unit 1 was 88% complete, and Unit 2 was 58% complete. Over the years, equipment from these sites has been used elsewhere; therefore the percentage complete needs to be revised downward.
NuStart Energy	ESBWR	Grand Gulf (1 unit)	1 Operating	BWR	GE, Type 6, 1,204 Mwe	MS	On Jan. 9, 2009, NRC was requested to suspend the review of its combined operating license because the company is considering alternate reactor technologies.
PP&L Generation	US-EPR	Bell Bend ¹⁸ (1 unit)	2 Operating	BWR	GE, Type 4, 1,100 MWe and 1,103 Mwe	PA	The original units are BWRs. The EPR is a PWR. Vendor changed to AREVA from GE. Although the application is open, the company will decide in 2011–2012 whether it plans to pursue construction of a new plant.
Progress Energy Inc.	AP-1000	Levy County (2 units)	Greenfield	NA		FL	In May 2010, Progress announced plans to slow work at Levy to reduce capital spending and avoid short-term rate increases and because of a delay in the licensing timeline for its combined operating license, as well as the current economic climate and uncertainty about U.S. energy policy.
Progress Energy Inc.	AP-1000	Shearon Harris (2 units)	1 Operating	PWR	Westinghouse 3 loop, 860 Mwe	NC	
South Carolina Electric & Gas Co.	AP-1000	Virgil C Summer (2 units)	1 Operating	PWR	Westinghouse, 3 loop, 885 Mwe	SC	

Southern Nuclear Operating Co.	AP-1000	Vogtle (2 units)	2 Operating	PWR	Westinghouse, 4 loop, 1,150 MWe Each	GA	An \$8.3 billion conditional loan guarantee was received Feb. 16, 2010
Tennessee Valley Authority	MPower	Clinch River	Greenfield			TN	TVA has announced its intention to submit a Construction Permit Application in 2012. As many as 6 mPower units are planned.
Unistar	US-EPR	Calvert Cliffs (1 unit)	2 Operating	PWR	Combustion Engineering, 825 MWe Each	MD	Vendor change to AREVA (Combustion Engineering was acquired by Westinghouse in 2000)
Unistar	US-EPR	Nile Mile Point (1 unit)	2 Operating	BWR	GE, Type 2: 610MWe and Type 5:1143 MWe	NY	On Dec. 7, 2009, Unistar requested the NRC to temporarily suspend Nile Mile Point's combined operating license application.
Unannounced technology (not submitted)							
Alternate Energy Holdings	Undecided	Payette (1 unit)	Greenfield	NA		ID	
Blue Castle Project	Undecided	Blue Castle	Greenfield			UT	
Exelon Corp.	ABWR	Victoria County (2 units)	Greenfield	NA		TX	Exelon originally selected the ESBWR design and then switched to ABWR. In July 2009, the company changed its combined operating license to an early site permit application that was submitted to the NRC on March 25, 2010.
PSEG Inc.	Undecided	Salem County	3 operating	BWR & PWR	Westinghouse PWR (Salem): 1,106 MWe each BWR (Hope Creek): 1,031 Mwe	NJ	On May 25, 2010, PSEG filed an early site permit with the NRC. Location will be contiguous to the Salem and Hope Creek units in Salem County

* The Expansion of Nuclear Power Plants in the U.S: (<http://world-nuclear.org/NuclearDatabase/Default.aspx?id=27232>) (accessed on February 11, 2011).

PENERIMA HADIAH NOBEL FISIKA

TAHUN	NAMA	TOPIK
1901	Wilhelm Conrad Röntgen	Pengakuan terhadap kerja dalam menemukan sinar röntgen yang dinamai atas dirinya.
1902	Hendrik Antoon Lorentz dan Pieter Zeeman	Pengakuan terhadap kerja mereka dalam riset pengaruh magnetisme dalam fenomena radiasi.
1903	Antoine Henri Becquerel	Pengakuan terhadap kerja dalam menemukan spontanitas radioaktivitas.
	Pierre dan Marie Curie	Pengakuan terhadap kerja mereka dalam riset mereka dalam fenomena radiasi yang ditemukan oleh professor henri becquerel.
1904	John William Strutt, 3rd Baron Rayleigh	Untuk investigasinya dalam kepadatan gas yang terpenting dan untuk penemuan argon olehnya.
1905	Philipp Eduard Anton von Lenard	Untuk kerjanya dalam sinar katode.
1906	Sir Joseph John Thomson	Dalam pengakuan atas jasa besarnya dalam teori dan eksperimen menginvestigasi konduksi listrik oleh gas.
1907	Albert Abraham Michelson	Untuk ketepatan alat optik dan spektroskopik dan investigasi metrologikal yang dilakukan dengan bantuannya.
1908	Gabriel Lippmann	Untuk metodenya dalam memproduksi warna fotografi berdasarkan fenomena penggangguan.
1909	Guglielmo Marconi dan Karl Ferdinand	Dalam pengakuan kontribusi mereka terhadap pengembangan telegraf

	Braun	tanpa kabel.
1910	Johannes Diderik van der Waals	Untuk pekerjaannya pada persamaan tetapan gas dan cairan.
1911	Wilhelm Wien	Pada penemuannya mengenai hukum penentuan radiasi panas.
1912	Nils Gustaf Dalén	Untuk penemuan alat atur otomatisnya untuk penggunaan bersama dengan akumulator gas untuk memperjelas mercusuar dan pelampung.
1913	Heike Kamerlingh-Onnes	Untuk pemeriksaannya pada sifat zat pada temperatur rendah yang menunjukkan, inter alia, pada pembuatan helium cair
1914	Max von Laue	Untuk penemuan difraksi sinar-x dengan kristal.
1915	Sir William Henry Bragg dan William Lawrence Bragg	Untuk sumbangan mereka dalam analisis struktur kristal dengan memakai sinar-x.
1916		(Hadiah dialokasikan pada dana spesial dari seksi hadiah ini.)
1917	Charles Glover Barkla	Untuk penemuannya mengenai ciri-ciri radiasi röntgen pada cuaca.
1918	Max Planck	Dalam pengakuannya pada sumbangan untuk kemajuan fisika dengan menemukan energi quanta.
1919	Johannes Stark	Untuk penemuan efek doppler dalam sinar saluran dan pemisahan jalur spektral di bidang listrik.
1920	Charles Edouard Guillaume	Dalam pengakuan terhadap sumbangan ukuran presisi dalam fisika dengan penemuan anomali dalam logam campuran baja nikel

1921	Albert Einstein	Untuk sumbangannya pada teori fisika dan khususnya pada penemuan hukum efek fotoelektriknya
1922	Niels Henrik David Bohr	Untuk sumbangannya dalam pemeriksaan struktur atom dan radiasi yang keluar darinya
1923	Robert Andrews Millikan	Untuk pekerjaannya pada the isi dasar listrik dan pada efek fotoelektrik
1924	Karl Manne Georg Siegbahn	Pada penemuan dan risetnya di bidang spektroskopi sinar x
1925	James Franck dan Gustav Ludwig Hertz	Pada penemuan hukum mengenai tubrukan elektron pada atom
1926	Jean Baptiste Perrin	Untuk pekerjaannya pada struktur terputus zat, dan khususnya pada penemuan kesetimbangan sedimentasi
1927	Arthur Holly Compton	Pada penemuan efek yang dinamai menurut namanya.
	Charles Thomson Rees Wilson	Untuk metodenya membuat garis edar partikel isi listrik nampak oleh kondensasi uap air
1928	Owen Willans Richardson	Untuk pekerjaannya pada gejala panas dan khususnya untuk penemuan hukum yang dinamai menurut namanya
1929	Pangeran Louis-Victor Pierre Raymond de Broglie	Untuk penemuannya pada sifat gelombang elektron
1930	Sir Chandrasekhara Venkata Raman	Untuk pekerjaannya menghamburkan cahaya dan penemuan efek yang dinamai menurut namanya
1931		(Hadiah dialokasikan pada dana

		spesial dari seksi hadiah ini.)
1932	Werner Karl Heisenberg	Untuk penciptaan mekanika kuantum, menunjukkan penemuan bentuk allotropis dari hidrogen
1933	Erwin Schrödinger dan Paul Adrien Maurice Dirac	Untuk penemuan bentuk produktif baru dari teori atom
1934		(Uang hadiah 1/3 dialokasikan pada dana utama dan 2/3 pada dana spesial dari bagian hadiah ini.)
193	James Chadwick	Untuk penemuan neutron
1936	Victor Franz Hess	Untuk penemuan radiasinya
	Carl David Anderson	Untuk penemuan positronnya
1937	Clinton Joseph Davison dan George Paget Thomson	Untuk penemuan percobaan pada difraksi elektron dengan kristal
1938	Enrico Fermi	Untuk demonstrasi tentang keberadaan elemen radioaktif baru yang diciptakan dengan penyinaran neutron, dan untuk penemuannya yang berhubungan dengan reaksi nuklir yang dihasilkan oleh neutron lambat
1939	Ernest Orlando Lawrence	Untuk penemuan dan pengembangan siklotron dan untuk hasil dari itu, khususnya yang berkenaan pada elemen radioaktif tiruan
1940-1941-1942		Uang hadiah 1/3 dialokasikan pada dana utama dan 2/3 pada dana spesial di bagian hadiah ini.
1943	Otto Stern	Untuk sumbangannya

		mengembangkan metode sinar molekul dan penemuan momen magnetik proton
1944	Isidor Isaac Rabi	Untuk metode gemanya buat mencatat sifat magnetis inti atom
1945	Wolfgang Pauli	Untuk penemuan asas pengeluaran, juga disebut asas pauli
1946	Percy Williams Bridgman	Untuk penemuan apparatus buat membuat tekanan tinggi yang luar biasa, dan untuk penemuan yang ia membuat beserta di bidang tekanan tinggi fisik
1947	Sir Edward Victor Appleton	Buat penyelidikannya dalam fisika dari atmosfer atas khususnya pada penemuan yang disebut juga lapisan appleton
1948	Patrick Maynard Stuart Blackett	Untuk pengembangan metode kamar awan wilson, dan penemuannya beserta di bidang fisika nuklir dan radiasi kosmik
1949	Hideki Yukawa	Untuk perkiraannya pada keberadaan meson pada dasar pekerjaan teoritis tenaga nuklir
1950	Cecil Frank Powell	Untuk pengembangan metode fotografis mempelajari proses nuklir dan penemuannya mengenai meson yang dibuat dengan metode ini
1951	Sir John Douglas Cockcroft dan Ernest Thomas Sinton Walton	Untuk pekerjaan pioner mereka pada transmudasi inti atom dengan tiruan partikel atom yang dipercepat
1952	Felix Bloch dan Edward Mills Purcell	Untuk pengembangan mereka dari metode baru untuk ukuran presisi magnetik nuklir dan penemuan dalam hubungan bersama

1953	Frits (Frederik) Zernike	Untuk demonstrasinya tahap metode kontras, khususnya untuk penemuan dalam tahap mikroskop kontras
1954	Max Born	Untuk riset fundamentalnya dalam mekanika kuantum, khususnya buat interpretasi statistiknya dari fungsi gelombang
	Walther Bothe	Untuk metode kejadian kebetulan dan penemuannya membuat bersamaan dengan itu
1955	Willis Eugene Lamb	Untuk penemuannya mengenai struktur halus dari spektrum hidrogen
	Polykarp Kusch	Buat penentuan presisinya dari momen magnetis elektron
1956	William Bradford Shockley, John Bardeen, and Walter Houser Brattain	Buat riset mereka pada semikonduktor dan penemuan mereka pada efek transistor
1957	Chen Ning Yang dan Tsung-Dao Lee	Buat investigasi penetrasi mereka dari yang disebut hukum keseimbangan yang membuka jalan bagi penemuan penting tentang unsur dasar
1958	Pavel Alekseyevich Cherenkov, Il'ia Frank, dan Igor Yevgenyevich Tamm	Untuk penemuan mereka dan interpretasi efek cherenkov-vavilov
1959	Emilio Gino Segre dan Owen Chamberlain	Buat penemuan antiproton mereka
1960	Donald Arthur Glaser	Untuk penemuan bilik gelembung

1961	Robert Hofstadter	Buat studi pionirnya dari hamburan elektron dalam inti atom dan dengan demikian mencapai penemuan mengenai struktur nukleon
	Rudolf Ludwig Mössbauer	Untuk risetnya tentang penyerapan gamma dari radiasi gamma dan penemuannya pada hubungan ini dari efek yang mengangkat namanya.
1962	Lev Davidovich Landau	Untuk teori pionirnya memadatkan zat, khususnya helium cair
1963	Eugene Paul Wigner	Untuk sumbangannya pada teori nukleus atom dan partikel dasar, utamanya lewat penemuan dan aplikasi prinsip simetris fundamental
	Maria Goeppert-Mayer dan J. Hans D. Jensen	Untuk penemuan mereka mengenai struktur kulit nuklir
1964	Charles Hard Townes, Nicolay Gennadiyevich Basov dan Aleksandr Prokhorov	Untuk pekerjaan fundamental di bidang elektronika kuantum, yang merintis konstruksi osilator dan penguat menurut asas maser-laser
1965	Sin-Itiro Tomonaga, Julian Schwinger, dan Richard P. Feynman	Untuk pekerjaan fundamental mereka pada elektrodinamika kuantum, dengan <i>deep-ploughing</i> sebagai akibat fisik dari unsur dasar
1966	Alfred Kastler	Buat penemuan dan pengembangan metode optik mempelajari resonansi hertzian pada atom
1967	Hans Albrecht Bethe	Untuk sumbangannya pada reaksi nuklir, khususnya penemuannya mengenai produksi energi pada bintang
1968	Luis Walter Alvarez	Untuk sumbangannya yang menentukan pada unsur dasar fisika,

		terutama pada penemuan sejumlah besar keadaan resonansi, membuat mungkin lewat pengembangannya dari teknik pemakaian bilik gelembung hidrogen dan analisis data
1969	Murray Gell-Mann	Untuk sumbangan dan penemuannya tentang klasifikasi unsur dasar dan interaksinya
1970	Hannes Olof Gösta Alfvén	Untuk pekerjaan dan penemuan fundamental dalam magneto-hidrodinamik dengan aplikasi berhasil dalam bagian yang berbeda dari plasma fisik
	Louis Eugene Félix Néel	Untuk pekerjaan dan penemuan fundamental tentang antiferromagnetisme dan ferrimagnetisme yang membuka jalan bagi aplikasi penting dalam fisika mengenai benda padat
1971	Dennis Gabor	Untuk penemuan dan pengembangannya pada metode holografis
1972	John Bardeen, Leon Neil Cooper, dan John Robert Schrieffer	Buat teori pengembangan bersama mereka superkonduktivitas, biasanya disebut teori bcs
1973	Leo Esaki dan Ivar Giaever	Untuk penemuan eksperimental tentang fenomena terowongan dalam semikonduktor dan superkonduktor berturut-turut
	Brian David Josephson	Untuk perkiraan teoritisnya dari sifat arus yang super melewati pembatas terowongan, khususnya fenomena yang secara umum dikenal sebagai efek josephson
1974	Sir Martin Ryle dan	Buat riset pionir mereka dalam radio astrofisika: ryle untuk pengamatan

	Antony Hewish	dan penemuannya, khususnya pada teknik perpaduan lubang, dan hewish buat peran menentukannya dalam penemuan pulsar
1975	Aage Niels Bohr, Ben Roy Mottelson, dan Leo James Rainwater	Untuk penemuannya dari hubungan antara gerakan bersama dan gerakan partikel dalam inti atom dan pengembangan teori struktur inti atom menurut hubungan itu
1976	Burton Richter dan Samuel Chao Chung Ting	Untuk pekerjaan pionirnya dalam penemuan unsur dasar berat dari jenis baru. Dengan kata lain: untuk penemuan partikel j/ψ sebagaimana menegaskan ide jika zat baryon (seperti inti atom) terisi dari kuark?
1977	Philip Warren Anderson, Sir Nevill Francis Mott, dan John Hasbrouck van Vleck	Untuk pengamatan teoritis fundamental mereka struktur elektronis magnet dan sistem tak beraturan
1978	Pyotr Leonidovich Kapitsa	Buat penemuan dasarnya pada area temperatur fisik yang rendah
	Arno Allan Penzias dan Robert Woodrow Wilson	Untuk penemuan mereka tentang radiasi dasar gelombang mikro kosmik
1979	Sheldon Lee Glashow, Abdus Salam, dan Steven Weinberg	Untuk sumbangan mereka pada persatuan lemah dan interaksi elektromagnetik antara unsur dasar, termasuk, inter alia, perkiraan arus netral lemah
1980	James Watson Cronin dan Val Logsdon Fitch	Untuk penemuan <i>violations of</i> asas simetri fundamental dalam pembusukan meson k netral

1981	Nicolaas Bloembergen dan Arthur Leonard Schawlow	Untuk sumbangan mereka pada pengembangan spektroskopi laser
	Kai Manne Boerje Siegbahn	Untuk sumbangannya pada pengembangan spektroskopi elektron resolusi tinggi
1982	Kenneth G. Wilson	Untuk teorinya pada fenomena kritis dalam hubungan dengan fase transisi
1983	Subrahmanyam Chandrasekhar	Untuk studi teoritisnya pada proses fisik dari kepentingan pada susunan dan evolusi bintang
	William Alfred Fowler	Buat studi teoritis dan percobaannya pada reaksi nuklir dari pentingnya dalam pembentukan elemen kimia di alam semesta
1984	Carlo Rubbia dan Simon van der Meer	Buat sumbangan menentukan mereka dalam proyek besar, yang membuka jalan bagi penemuan partikel dasar w dan z , komunikator dari interaksi lemah
1985	Klaus von Klitzing	Buat penemuan <i>quantized</i> efek hall
1986	Ernst Ruska	Buat pekerjaan fundamentalnya dalam elektron optik, dan untuk desain mikroskop elektron pertama
	Gerd Binnig dan Heinrich Rohrer	Untuk rancangan mereka dalam <i>scanning tunneling microscope</i>
1987	Johannes Georg Bednorz dan Karl Alexander Müller	Buat pemecahan penting mereka dalam superkonduktivitas pada bahan keramik
1988	Leon Max Lederman, Melvin Schwartz, dan Jack Steinberger	Untuk metode sinar neutrino dan pertunjukan struktur ganda lepton terusan penemuan muon neutrino

1989	Norman Foster Ramsey	Untuk penemuan metode dasar osilator terpisah dan pemakaiannya pada maser hidrogen dan jam atom lainnya
	Hans Georg Dehmelt dan Wolfgang Paul	Buat pengembangan teknik perangkap ion
1990	Jerome Isaac Friedman, Henry Way Kendall, dan Richard Edward Taylor	Untuk pengamatan pionir mereka tentang hamburan inelastik tinggi dari elektron pada proton dan loncatan neutron, yang merupakan kepentingan yang perlu untuk pengembangan model quark dalam partikel fisis
1991	Pierre-Gilles de Gennes	Untuk penemuan bahwa metode pengembangan untuk mempelajari fenomena golongan dalam sistem sederhana bisa disamaratakan pada lebih banyak bentuk kompleks zat, khususnya pada kristal cair dan polimer
1992	Georges Charpak	Untuk penemuan dan pengembangannya pada detektor partikel, khususnya kamar proporsional multikabel
1993	Russell Alan Hulse dan Joseph Hooton Taylor, Jr.	Untuk penemuan tipe baru pulsar, penemuan yang telah membuka kemungkinan baru studi gravitasi
1994		Buat sumbangan pionir pada pengembangan teknik hamburan neutron untuk studi zat kental
	Bertram Neville Brockhouse	Buat pengembangan spektroskopi neutron
	Clifford Glenwood Shull	Untuk pengembangan teknik difraksi neutron

1995		Untuk sumbangan percobaan pionir pada lepton fisis
	Martin Lewis Perl	Untuk penemuan tau lepton
	Frederick Reines	Untuk deteksi neutrino
1996	David Morris Lee, Douglas Dean Osheroff, dan Robert Coleman Richardson	Untuk penemuan mereka pada superfluiditas dalam helium-3
1997	Steven Chu, Claude Cohen-Tannoudji, dan William Daniel Phillips	Untuk pengembangan metode mendinginkan dan menjerat atom dengan sinar laser
1998	Robert B. Laughlin, Horst Ludwig Störmer, dan Daniel Chee Tsui	Untuk penemuan mereka pada bentuk baru fluida kuantum dengan <i>fractionally charged excitations</i> . Dengan kata lain, penemuan efek kuantum ruangan dari percobaan pada 1982, yang secara mendasar membangun keadaan yang membuat observasi <i>fractionally charged electrons</i> .
1999	Gerardus 't Hooft dan Martinus J.G. Veltman	Buat penguraian struktur kuantum interaksi elektrolemah dalam fisika
2000	Zhores Ivanovich Alferov dan Herbert Kroemer	Untuk pengembangan heterostruktur semikonduktor digunakan dalam kecepatan tinggi dan opto-elektroniks (elektronika optis)
	Jack St. Clair Kilby	Untuk bagiannya dalam pengembangan sirkuit gabungan
2001	Eric Allin Cornell, Wolfgang Ketterle, dan Carl Edwin Wieman	Untuk prestasi pada kondensasi bose-einstein dalam gas cair dari atom alkali, dan buat studi fundamental awal dari sifat kondensasi

2002	Raymond Davis Jr. dan Masatoshi Koshihira	Untuk sumbangan pionir pada astrofisika, khususnya pada deteksi neutrino kosmik
	Riccardo Giacconi	Untuk sumbangan pionir pada astrofisika, yang membuka jalan pada penemuan sumber sinar x kosmik
2003	Alexei Alexeevich Abrikosov, Vitaly Lazarevich Ginzburg dan Anthony James Leggett	Untuk sumbangan pionir pada teori superkonduktor dan superfluida
2004	David J. Gross, H. David Politzer dan Frank Wilczek	Untuk penemuan kebebasan asimtot dalam teori interaksi kuat
2005	Roy J. Glauber	Untuk kontribusinya kepada teori kuantum untuk kejelasan optik
	John L. Hall dan Theodor W. Hänsch	Untuk sumbangan mereka kepada perkembangan spektroskopi tepat (<i>precision spectroscopy</i>) berbasis laser, termasuk teknik penyisiran frekuensi optik
2006	John C. Mather dan George F. Smoot	Untuk penemuan benda hitam dan anisotropi radiasi latar belakang gelombang mikro kosmik
2007	Albert Fert dan Peter Grünberg	Untuk penemuan magnetoresistansi raksasa
2008	Yoichiro Nambu, Makoto Kobayashi, dan Toshihide Maskawa	Untuk penemuan mekanisme pemecahan simetri spontan dalam fisika subatom
2009	Charles Kuen Kao, Willard S. Boyle, dan George E. Smith	Untuk penemuan sensor ccd dalam bidang citra

2010	Andre Geim dan Konstantin Novoselov	Untuk penemuan material grafin 2 dimensi
2011	Saul Perlmutter, Brian P. Schmidt, dan Adam G. Riess	Untuk penemuan ledakan bintang (supernova) untuk menetapkan sebuah standar pengukuran gerakan cahaya dalam satu skala kosmologis

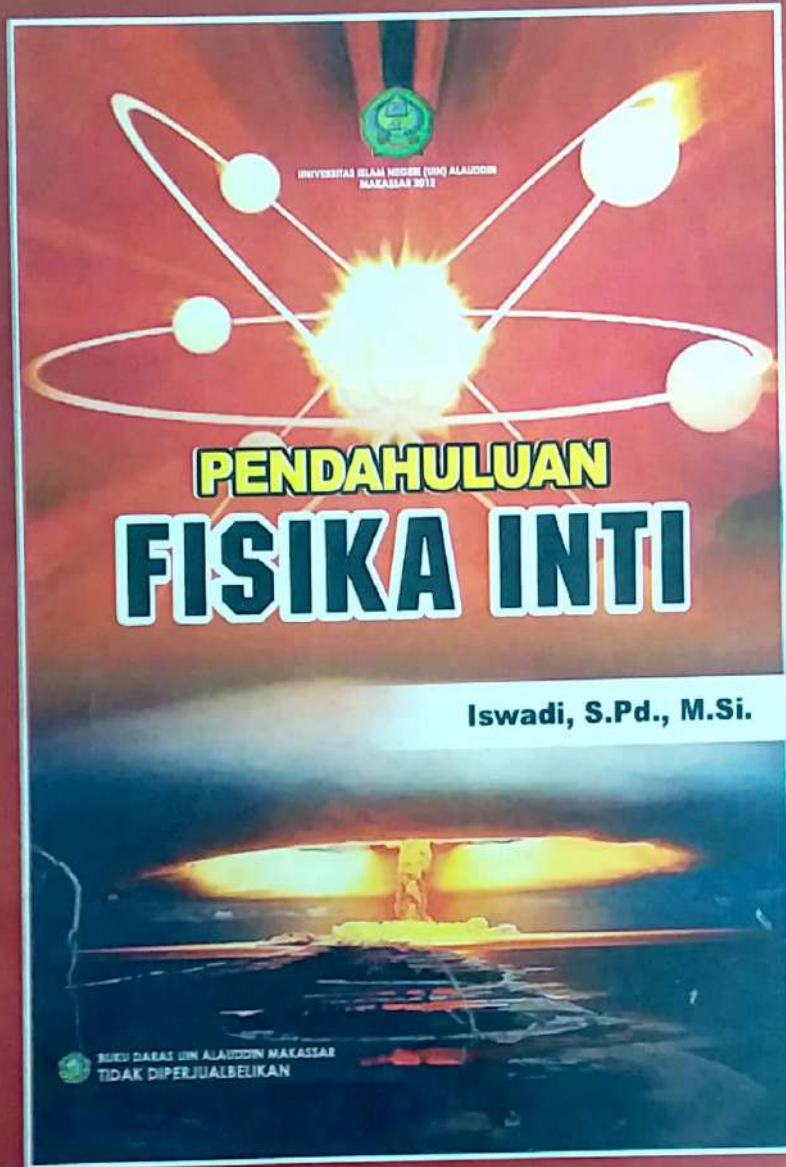
SINGKATAN

ABWR	Advanced Boiling Water Reactor
ACR	Advanced CANDU Reactor
AECL	Atomic Energy of Canada Ltd.
AFPR	Atoms for Peace Reactor
AES	AEC, Russian, Atomic Power Station
ANL	Argonne National Laboratory
ANTARES	AREVA – New Technology based on Advanced gas-cooled REactorS
APR	Advanced Power Reactor
APWR	Advanced Pressurized Water Reactor
ARC	Advanced Reactor Concepts, LLC
B&W	Babcock & Wilcox
BWR	Boiling water reactor
CANDU	CANada Deuterium Uranium Reactor
CNNC	China National Nuclear Corporation
CNP	China's Nuclear Power Reactor Series
COL	Combined construction and operating license
CPR	Chinese Pressurized Water Reactor
DOE	U.S. Department of Energy
EBR-I	Experimental Breeder Reactor-1
EDF	Électricité de France
ENHS	Encapsulated Nuclear Heat-Source Reactor
EPR	European Pressurized Reactor
ESBWR	Economic Simplified Boiling Water Reactor
FBR	Fast breeder reactor
FBTR	Fast Breeder Test Reactor
GA	General Atomics
GE	General Electric
GEH	GE Hitachi Nuclear Energy
GEN I	Generation I reactor
GEN II	Generation II reactor
GEN III	Generation III reactor
GEN III+	Generation III+ reactor
GEN IV	Generation IV reactor
GWe	Gigawatt electric
HPM	HYPERION Power Module
IAEA	International Atomic Energy Agency
IRIS	International Reactor Innovative and Secure

JSW	Japan Steel Works
KNGR	Korean Next Generation Reactor
KSNP	Korean Standard Nuclear Power Plant
kWe	One thousand watts of electric
kWh	Kilowatt hour
LANL	Los Alamos National Laboratory
LFR	Lead-cooled fast reactor
LLNL	Lawrence Livermore National Laboratory
LWR	Light water reactor
MHI	Mitsubishi Heavy Industries
MHR	Modular Helium Reactor
MOX	Mixed oxide
MPa	Megapascal
MW	Megawatt
MWe	Megawatts electric
NGNP	Next Generation Nuclear Plant
NRC	Nuclear Regulatory Commission
OPR	Optimized Power Reactor
ORNL	Oak Ridge National Laboratory
PB-AHTR	Pebble Bed Advanced High Temperature Reactor
PBMR	Pebble Bed Modular Reactor
PNNL	Pacific Northwest National Laboratory
PRISM	Power Reactor Innovative Small Module
PWR	Pressurized water reactor
SmAHTR	Small Modular Advanced High Temperature Reactor
SMR	Small modular reactor
SNPTC	State Nuclear Power Technology Corporation (China)
SSTAR;SSTAR-H2 and SSTAR-LM:	Small, Sealed, Transportable, Autonomous Reactor of many coolants—two potential coolants are hydrogen and liquid metal
TWR	Traveling Wave Reactor
UO ₂	Uranium dioxide
VVER	Vodo-Vodyanoi Energetichesky Reactor
ATLAS	A Toroidal LHC Apparatus
CMS	Compact Muon Solenoid
LHCb	LHC-beauty
ALICE	A Large Ion Collider Experiment
TOTEM	Total Cross Section, Elastic Scattering and Diffraction Dissociation

LHCf
MoEDAL

LHC-forward
Monopole and Exotics Detector At the LHC

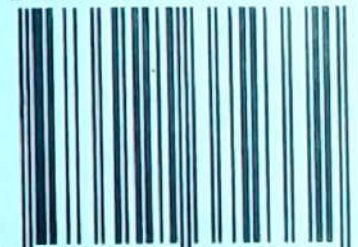


UIN ALAUDDIN MAKASSAR



ALAUDDIN UNIVERSITY POLESIA
Jl. Sultan Alauddin No. 53 Makassar
Telp. 0823 4897 1117, Fax. 0411-364023
aa_greese@yahoo.com

ISBN 602-237-233-X



9 786022 372332